



539.2
T - 38

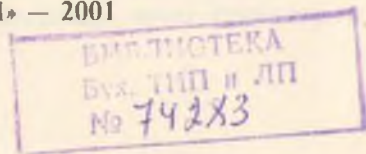
ЎЗБЕКИСТОН РЕСПУБЛИКАСИ ОЛИЙ ВА ЎРТА МАХСУС
ТАЪЛИМ ВАЗИРЛИГИ

А. ТЕШАБОЕВ, С. ЗАЙНОВИДДИНОВ, Ш. ЭРМАТОВ

ҚАТТИҚ ЖИСМ ФИЗИКАСИ

Ўзбекистон Республикаси Олий ва ўрта махсус таълим вазирлиги
тномонидан ўқув қўллашма сифатида тавсия этилган

ТОШКЕНТ — «МОЛИЯ» — 2001



УДК 539.2

А. Тешабоев, С. Зайнобидинов, Ш. Эрматов. Қаттиқ жисм физикаси. Тошкент, «Молия» нашириёти, 2001 йил. 324 б.

Ушбу ўқув қўлланмада қаттиқ жисмлар физикасининг асосий бўлимлари ҳақида маълумотлар келтирилган. Қаттиқ жисмларниң айрим хоссалари бўйича турлари, ҳозирги замон қаттиқ жисм қвант физикаси асосий тасаввурлари заминида металлар, ярим ўтказгичлар, дизэлектрикларнинг иссиқлик, механик, электрик, магнитик хоссалари баён қилинган. Бундан ташқари, ҳозир фан ва техникада катта аҳамият касб этажтган қаттиқ материаллар — керамика, мартенситлар, композитлар хоссалари ва қўлланниши тўғрисида ҳам маълумотлар берилган. Ўтилган мавзуларни мустаҳкамлаш мақсадида ҳар бобнинг охирида назорат учун саволлар, шу бобга тегишли масалалар жойлаштирилган. Қўлланмада келтирилган расмлар, жадваллар, кўшимчалар унинг матнини тўлдиради. Ўқув қўлланма олий ўқув юртларининг тегишли касблар бўйича мутахассислашаётган бакалавр, магистр талабалари, тадқиқотчилар, аспирантлар ва ўқитувчилар учун мулжалланган.

Масъул муҳаррир Э. З. Имамов, физика-математика фанлари доктори, профессор

Тақризчилар: А. Т. Мамадолимов, физика-математика фанлари доктори, профессор, ЎзРФА академиги.

М. С. Баҳодирхонов, физика-математика фанлари доктори, профессор.

Ўзбекистон Республикаси Давлат Фан Техника қўмитасининг инновация лойиҳаси асосида ҳамда ЎзРДФТҚ, Олий ва ўрга маҳсус мактаб муаммолари институти, Андижон Давлат университети ҳомийлигида нашр этилди.

© Ўзбекистон Республикаси Банк-молия
академияси «Молия» нашириёти, 2001 й.

СҮЗ БОШИ

Матьумки, ўзбек тилида қаттиқ жисм физикасидан ўкув қўлланма (дарслик) йўқ. Ваҳоланки, университетлар ва техник ўкув юртларида бу фан умумий ва маҳсус фан сифатида ўқитилади. Бинобарин, кўп минглаб талабалар, ўқитувчилар, талқиқотчи, аспирантларга ана шундай ўкув қўлланма жуда кепрек. Шу эҳтиёжларни ҳисобга олиб, мазкур фанни ўқитиш тажрибасига таяниб, ушбу «Қаттиқ жисм физикаси» ўкув қўлланмаси ёзилди. Бу китобнинг мундарижасини тузишда Олий ва ўрта маҳсус таълим вазирлиги томонидан тасдиқланган «Қаттиқ жисм физикаси» фани дастурини («Университет таълими учун физика ва астрономия мутахассисликлари бўйича ўкув дастурлари», Тошкент, «Университет», 1996 й., 90-92-бет) асос қилиб олинди. Қўлланма асосан «Бакалавр» ихтинослиги мўлжалланган бўлсада, ундан «магистр» ихтинослиги талабалари ҳам фойдаланиши мумкин. Ушбу қўлланмада қаттиқ жисмлар турлари, кристал қаттиқ жисмлар ҳақида маълумот, физик статистика асосларининг қисқача баёни берилди. Кристалл панжараси тебранишлари анча батафсил қўраб чиқилди. Кристалл қаттиқ жисмларда иссиқлик ҳолисаларига муносиб ўрин ажратилди. Қўлланманинг муҳим қисмини идеал кристал қаттиқ жисмларда электронларнинг ширгетик спектри назарияси (зоналар назарияси), ҳақиқий кристаллардаги нуқсонлар физикаси баёни ташкил этади. Суюқ кристаллар ва аморф қаттиқ жисмлар ҳақида қисқача маълумот бериш лозим деб топилди. Кейинги вақтда микроЭлектрониканинг жадал ривожланиши туфайли қаттиқ жисмлар сиртида юз берадиган ҳодисалар, хусусан, сиртнинг ҳолати масалалари муҳим аҳамиятга эга бўлиб бормоқда. Шунинг учун бу масалаларга ҳам муносиб жой ажратилди. Қаттиқ жисмларининг механик хоссалари ва уларга деформациялар таъсирига ҳам эътибор берилди. Қаттиқ жисмда содир буладиган ҳажмий Ўнваришиларнинг энг муҳимлари қараб чиқилди. Қаттиқ жисмларининг асосий турлари бўлмиш металлар, ярим ўтказгичлар,

диэлектрикларга алоҳида боблар багишланди. Тадқиқланиши ва қўлланиши тобора кенгая бораётган керамик қаттиқ жисмлар ва композицион моддалар ҳақида маълумотни қўлланмага киритишни зарур деб ҳисобладик. Қаттиқ жисмларда юз берадиган кинетик ҳодисалар, моддалар, асбоблар хоссаларини назарий ўрганиш ва амалий қўлланишла катта аҳамиятли бўлгани учун улар тўгрисида асосий маълумотлар баён қилинди. Ҳар бир боб охирида назорат учун саволлар ва масалалар жойланди. Қўлланма охирида зарурий қўшимчалар, жадваллар келтирилди, фойдаланилган ва тавсия қилинадиган алабиёт рўйхати берилди. Алоҳида таъкидлаш керакки, узоқ йиллик ҳамкоримиз Москвалик профессор В. И. Фистулнинг икки жилли «Физика и химия твердого тела» (М., «Металлургия», 1995 г.) дарслигидаги бир қатор керакли маълумотлардан фойдаландик. Ундан кўп миннатдормиз. Қўлланманинг тегишли жойларида керакли чизмалар, чизмалар, диаграммалар, жадваллар каби матнни яққоллаштирувчи материаллардан фойдаланилди. II-VIII бобларни профессор А. Тешабоев, XI, XII, XIII, XIV бобларни профессор С. Зайнобиддинов, I, IX, X, бобларни фан номзоди Ш. А. Эрматов ёзган.

Қўлланмани эътибор билап ўқиб чиқиб, ўз қимматли фикрмуюҳазаларини айтган тақризчилар: академик А. Т. Мамадолимовга ва профессор М. С. Баҳодирхоновга миннатдорчилигизни билдирамиз.

Қўлланмани нашрга тайёрлашда ластурчилар В. В. Ларкин ва Ш. Б. Баҳритдиновларнинг хизматлари ҳам катта бўлганини мамнунлик билан таъкидлаймиз.

Албатта, ўзбек тилида ёзилган ва нашр қилинаётган ушбу ўқув қўлланмада камчиликлар учраши табиий, улар ҳақида ўз фикрларини нашриётга ёзив юборган ўқувчилардан миннатдор бўлардик.

Муаллифлар

I БОБ

ҚАТТИҚ ЖИСМЛАРНИНГ ТУЗИЛИШИ ВА ТУРЛАРИ

Табиатдаги моддалар газ, суюқлик, қаттиқ жисм ва плазма ҳолатларида бўлади. Бу ҳолатлар модданинг агрегат ҳолатлари деб аталиб, бир-биридан физик хоссалари билан фарқ қилидилар. Қаттиқ жисмларниң суюқлик ва газлардан фарқи шундаки, улар ўз шаклларини сақлайди ва уларда оқувчанлик кузатилмайди. Микроскопик нуқтаи назардан бундай фарқнинг булиши, моддани ташкил этувчи атом ва молекулалар орасидаги ўзаро таъсир энергиясининг катта ёки кичикилиги билан тушунтирилади. Суюқлик ва газларда уларни ташкил қилувчи атом ва молекулалар орасидаги ўзаро таъсирлашиш энергияси уларниң иссиқлик ҳаракати энергиясидан кичик бўлади. Шунинг учун суюқлик ёки газни ташкил этувчи атом ва молекулалар бир нуқтадан иккинчи нуқтага кўчиб юриши мумкин, яъни оқувчанлик хоссасига эга. Қаттиқ жисмларда эса молекула ёки атомлар орасидаги таъсирлашув энергияси уларниң иссиқлик ҳаракати энергиясидан анча катта бўлади, шунинг учун улар эркин кўчиб юра олмайди ва мувозанат вазиятлари атрофида тебранма ҳаракат қилиб туради. Демак, қаттиқ жисмни бошқа агрегат ҳолатлардан ажратиб турувчи асосий фарқлари: биринчидан, унинг нормал шароитда ўз шаклини сақлаши; иккинчидан, уларни ташкил этувчи атом молекулаларниң тебранма ҳаракатда булишидир.

Қаттиқ жисмлар тузилишига кўра аморф, кристалл, шиша-симон ва полимер қаттиқ жисмларга бўлинади. Бундан ташқари қаттиқ жисмлар уни ташкил қилувчи атом ёки молекулаларниң ўзаро боғланишига кўра ҳам фарқланади (1.1-чизма).



1.1-чизма

1.1. Кристалл қаттиқ жисмлар

Кристалл қаттиқ жисмларда уларни ташкил қылувчи атом ва молекулалар қатъий тартиб билан жойлашади. Агар бу тартиб иккى қүшнін атом ёки молекула орасидаги масофадан бир қанча марта катта бұлган масофаларға сақлансанса уни узоқ тартиб деб аталади. Кристаллар аниқ суюлиш температурасында (нуқтасында) эзгі бўлади. Жисм бу температурага сақланып калади. Суюлиш нуқтасында ташқаридан олинаётган иссиқлик таъсирида жисм температурасы ўзгармайды ва қаттиқ жисм тўла суюқликка айлангунча температура сақланади.

Кристаллдаги атомлар ва молекулаларнинг жойлашиш тартиби бутун кристалл бўйича сақланган бўлса, бундай кристалл монокристалл деб аталади. Ҳамма монокристаллар анизориторияга эзгі, яъни уларнинг физик хоссалари турли йўналишларда турличадир. Монокристалларнинг макроскопик бўлакчаларининг тартибсиз бириккинидан ҳосил бўлган кристалл поликристалл деб аталади. Поликристаллдаги монокристал доналарнинг тартибсиз жойлашуви натижасидә унинг физик хоссалари барча йўналишлар бўйича бир хил бўлади. Бундай жисмлар изотрон жисмлар деб аталади. Кристаллардан тузилишини ва хоссалари жиҳатидан фарқ қиласиган аморф қаттиқ жисмлар VII бобда қаралади.

1.2. Кристалл панжараси

Кристални ташкил қилувчи зарралар мувозанат нүқталари атрофида тебранма ҳаракатда бўлади. Ушбу мувозанат нүқталарини фикран бирлаштирасак кристалл панжараси ҳосил бўлади. Мувозанат нүқталари эса *кристалл панжара-си тутунчаси* мухим аҳамиятта эгадир.

Кристалл тузилишга эга бўлган жисмларни тавсифлашда юқорида келтирилган кристалл панжараси тутунчаси мухим аҳамиятта эгадир.

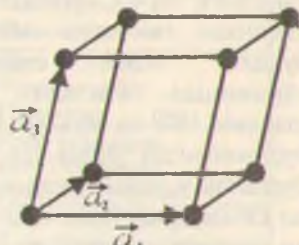
Кристалл панжарасининг тузилиш қиёфасини сақлаган энг кичик бўлагини элементар катак (элементар ячейка) деб аталади. Одатда элементар катак параллелапипеддан иборат бўлади. Ушбу параллелапипеднинг учта қирраси бўйлаб $\vec{a}_1, \vec{a}_2, \vec{a}_3$ векторларни йўналтирамиз, бу векторлар узунликлари шу параллелапипед қирраси узунлигига тенг бўлсин. Бундай векторлар асосий (трансляцион) векторлар ёки даврлар) деб аталади. (1 2-чизма).

Трансляцион векторларнинг асосий хоссаси шундан иборатки, бу векторлар ёрламида чексиз кристални $\vec{r} = n_1\vec{a}_1 + n_2\vec{a}_2 + n_3\vec{a}_3$ вектор бўйлаб қўчирсанак, кристалл ўз-ўзига устма-уст тушади (n_1, n_2, n_3 — бутун сонлар). Кўп ҳолларда бир қанча атомлар бирикмалари кристалл панжарасини ҳосил қиласади. Бундай тақрорланувчи атомлар турухини *базис* деб аталади. Ихтиёрий кристалнинг базиси на трансляцион векторлари аниқланган бўлса кристал панжараси аниқланган ҳисобланади.

1.3. Кристалларда симметрия

Симметрия деганда биз жисмнинг устида маълум бир амалларни (буриш, силжитиш, акслантириш) бажарганимизда жисм ўз-ўзига устма-уст тусиши ва барча йўналишларда физик хоссаларининг аввалгидек ўзгаришсиз қолишини тушунамиз. Мисол тариқасида 1.3-чизмада келтирилган шакллар симметриясини кўриб чиқамиз.

1.3. а- чизмадаги шаклнинг бирор ўқса ёки текисликка нисбатан симметрияси йўқ. Ушбу шакл факат 360^0 бурчакка бурилганда ўзи билан ўзи устма-уст тушади. Бундай қуйи симметрияга эга



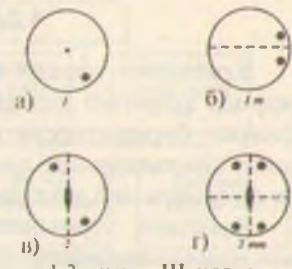
1.2-чизма. Элементар катак.

бұлған жисмларни халқаро белгиланыда I рақами билан белгиланади ва шакл биринчи тартибли симметрия ўқига эга дейилади. 1.3.б-чизмадаги шакл эса узуқ-узуқ чизик билан тасвиrlанған текисликка нисбатан симметрик бұлади, бундай шакл симметрияси $1m$ күренишда ёзилади. 1.3.в-чизмадаги шаклни 180° га маълум бир ўқ атрофида бурганимизда устма-уст тушади, 360° га бурганда у икки марта устма-уст тушади, демек, иккінчи тартибли симметрия ўқига эга — 2. Охирги шакларнан иккінчи тартибли симметрия ўқига ва икки симметрия текислигига эга, яғни — $2mm$. Кристаллар ҳам симметрияга эга, уларнинг симметрияси кристалл панжарасининг симметриясидан келиб чиқади. Кристаллар элементар катақнинг ташкил этувчиларини, яғни трансляцион векторларнинг узунлигига ва улар орасында бурчакларнинг қийматига қараб 7 та катта гурухға бўлинадилар. Бу гурухларнинг ҳар бири ўз номига эга бўлиб, кристалл сингониялари деб аталади (1.1-жадвалга қаранг).

1.1-жадвал

№	Кристалл сингонияси	Элементар катақни тавсифловчи көттәликлар (параметрлар)
1	Триклин	$a_1 \neq a_2 \neq a_3 \alpha \neq \beta \neq \gamma$
2	Моноклин	$a_1 \neq a_2 \neq a_3 \alpha = \beta = 90^\circ \neq \gamma$
3	Ромбик	$a_1 \neq a_2 \neq a_3 \alpha = \beta = \gamma = 90^\circ$
4	Тетрагонал	$a_1 = a_2 \neq a_3 \alpha = \beta = \gamma = 90^\circ$
5	Кубик	$a_1 = a_2 = a_3 \alpha = \beta = \gamma = 90^\circ$
6	Тригонал	$a_1 = a_2 = a_3 \alpha = \beta = \gamma \neq 90^\circ < 120^\circ$
7	Гексагонал	$a_1 = a_2 \neq a_3 \alpha = \beta = 90^\circ, \gamma = 120^\circ$

Кристалл учун мумкин бўлған барча симметрия амаллари кристалнинг симметрия гурухини ташкил қилади. Симметрия гурухлари ҳам икки тоифага бўлинади: *нуқтавий* ва *трансляцион*. Нуқтага нисбатан акслантириш (инверсия), ўқ атрофида буриш ва текисликка нисбатан акслантириш билан боғлиқ бўлған симметрия амаллари *нуқтавий симметрия* гурухини ташкил қилади. Кристалнинг ташқи симметриясини аниқловичи бундай нуқтавий симметрия гурухлари сони 32 та бўлиб уларнинг кристалл сингониялари бўйича бўлинishi 1.2- жадвалда келтирилган.



1.3-чизма. Шакллар симметрияси

1.2-жадвал

Кристалл синтаксиялари	Нүктавий түрүхининг белгиланышы		Нүктавий түрүх нами
	Халқаро	Шенфлис бүйінча	
1. Триклин	1	C ₁	Монодрик
	1	C _i	Пинакоидал
2. Моноклин	2	C ₂	Үңді диэдрік
	m	C _s	Үксіз диэдрік
	2/m	C _{2h}	Призматик
3. Ромбик	222	D ₂	Ромб-тетраэдрік
	mm	C _{2v}	Ромб-пирамидал
	mmm	D _{3h}	Ромб-дипирамидал
4. Тетрагонал	4	C ₄	Тетрагонал пирамидал
	422	D ₄	Тетрагонал трапециоэдрік
	4/m	C _{4h}	Тетрагонал дипирамидал
	4/mm	C _{4v}	Дитетрагонал пирамидал
	4/mmm	D _{4h}	Дитетрагонал дипирамидал
	4	S ₄	Тетрагонал тетраэдрік
5. Тригонал	3	C ₃	Тригонал пирамидал
	32	D ₃	Тригонал трапециоэдрік
	3m	C _{3v}	Дитригонал пирамидал
	3	C _{3h}	Ромбоздрік
	3 m	D _{3d}	Дитригонал скаленоэдрік
	6	C _{3h}	Тригонал дипирамидал
6. Гексагонал	6m2	D _{3h}	Дитригонал дипирамидал
	6	C ₆	Гексагонал пирамидал
	622	D ₆	Гексагонал трапециоэдрік
	6/m	C _{6h}	Гексагонал дипирамидал
	6/mm	C _{6v}	Дигексагонал пирамидал
	6/mmm	D _{6h}	Дигексагонал дипирами- дал
7. Кубик	23	T	Тритетраэдрік
	m 3	T _h	Дидодексиэдрік
	4 3m	T _d	Гексатетраэдрік
	4332	O	Трионтаздрік
	m 3 m	O _h	Гексантоздрік

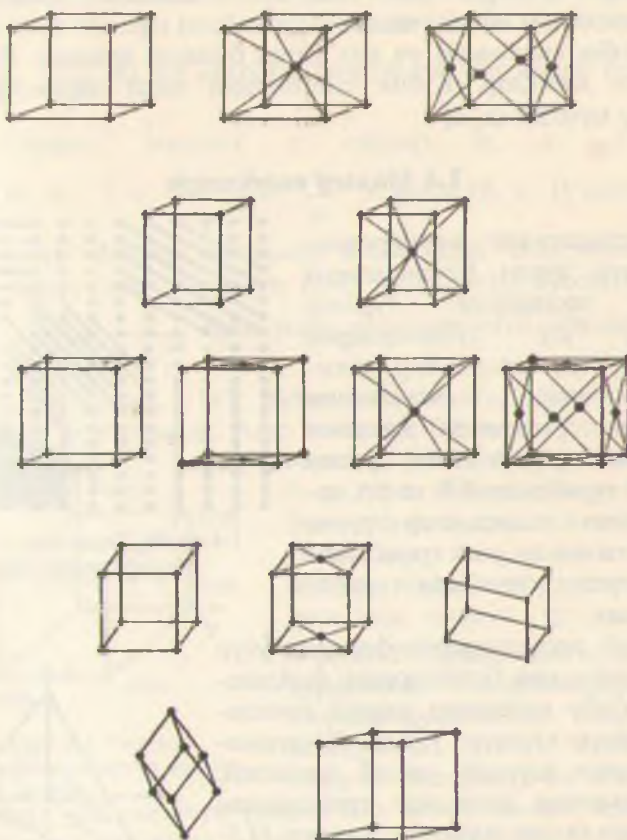
1.2-жадвалда ушбу 32 та нүктавий симметрия гурухларини халқаро қабул қилингандың белгиланышыдан ташқари. кристалограф олим Шёнфилис киритган белгилашлар ҳам келтирилген. Қаттық жисемде кристалл панжарасининг мавжудлиги 1,2,3,4, 6-чи тартибли симметрия ўқларидан юқори тартибли симметрия ўқлари бўлмаслигига олиб келади. 5-чи, 7-чи тартибли симметрия ўқи ҳам бўлиши мумкин эмас, чунки беш ва етти бурчакли шакл ёрдамида фазони қолдиқсиз тўлдириб бўлмайди (баъзи бир биологик кристаллар бундан истисно). Бошқа симметрия ўқларини эса юқорилаги симметрия ўқларига келтирилиши мумкин. Ҳар бир симметрия гурухи асосий ҳосил қўйувчи симметрия амаллари билан белгиланади. Кристаллар нүктавий симметриядан ташқари трансляцион симметрияга ҳам эгадирлар. Кристалл панжарасининг мумкин бўлган 14 хил трансляцион симметрия амали мавжуд. Ҳар бир трансляцион симметрия амалига битта элементар катақни мос қўйиш мумкин. Натижада 14 хил элементар катақ ҳосил бўлади, бу элементар катақлар *Браве панжаралари* деб аталади. Трансляцион симметрия – бу кристални маълум бир вектор бўйича қўчирганимизда ўзи билан устма-уст тушишидир. Ҳар бир кристаллар сингониясида фақат маълум бир турдаги *Браве панжараси* бўлиши мумкин.

Кристалл панжарасининг тўлиқ симметриясини фазовий симметрия гурухи аниқлайди. Фазовий симметрия гурухидан кристалини нүктавий ва трансляцион симметрия амаллари мўжассамлашган бўлади. Ҳаммаси бўлиб 230 та фазовий гурухлар мавжуд бўлиб, ҳар қандай кристалл ўз тузилишига кўра ана шу гурухларнинг бирига мансуб бўлади. Кристалнинг фазовий симметрия гурухи маълум бўлса, унинг кристалл тузилишини келтириб чиқариш жуда осон, шунинг учун кристалнинг симметрия гурухини билиш муҳим аҳамиятта эга. Ҳозирги пайтда кристалл симметрияси рентген нурлари ёрдамида аниқланади. Фаннинг ушбу йўналиши *кристалография* деб номланади. 1.3- жадвалдан кўриниб туриблики:

1. *Триклин сингония* панжаралари фақат содда Р - шаклдаги панжаралардир. Браве панжарасини ифодаловчи параметрлар сони 6 та: уч қирра ва учта бурчак.

2. *Моноклин сингонияда* иккита Браве панжараси шакллари бўлиши мумкин. Улардан бири Р – шаклдаги содда катақка эга бўлиб, иккинчиси эса, марказлашгандык асосли яъни С – шаклдаги катақка эга. Ушбу панжараларни 6 та параметр аниқлайди ($a_1, a_2, a_3, \alpha, \beta, \gamma$)

1.3-жадвал



3. Ромбик сингонияда түрт хил Браве панжаралари мавжуд булиши мүмкін; Р — содда, С — марказлашған асослы, ұажмий марказлашған — I ва ёқий марказлашған — F турдаги панжаралар. Үшбу шаклдаги панжаралар түрттә параметр билан аниқтанаади. (a_1, a_2, a_3, α)

4. Тетрагонал сингония иккى хил, яғни Р ва I шаклдаги панжараларға әга булиб учта параметр билан аниқтанаади. (a_1, a_2, α)

5. Тригонал сингония иккита параметр билан аниқтанаади (a, α) бу сингонияда фақат Р - шаклдаги Браве панжарасы мавжуд.

6. Гексагонал сингонияда битта Браве панжарасы булиб, түрт параметр билан аниқтанаади. Үшбу катак С — шаклға мансуб

булиб күп ҳолларда уни учта P — шаклдаги содда катақ күринишида ҳам ифодаланади.

7. *Кубик сингонияда* уч хил катақ булиши мумкин: P , I ва F шаклдаги катаклар. Кубик сингонияни иккى параметр билан аниқлаш мумкин (a, α)

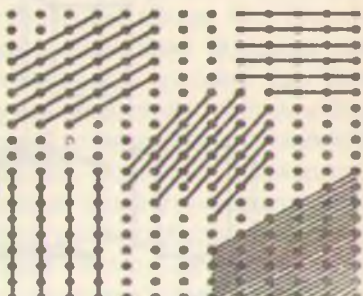
1.4 Миллер индекслари

Кристалларнинг анизотропияси, уларда турли йўналишларда физик хоссаларни турлича булиши, шу йўналишларни фарқлаш учун маълум бир белгилашлар зарур эканлигини кўрсатади. 1.4-чизмада кристалл панжараси тасвирланган, ундан куриниб турибдики 0 0 ва 0A кесиб ўтвичи текисликлар турли йўналишга эга ва улар трансляцион векторларга нисбатан турлича жойлашган.

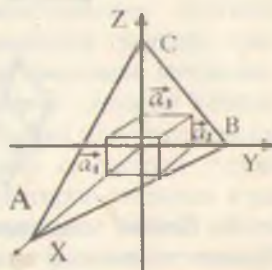
Бундай текисликларни фарқлаш учун *Миллер индекслари* белгиларидан фойдаланамиз. Ушбу индекслар қандай топилишини куйида кўрсатиб ўтамиз. Координаталар ўқини шундай танлаб оламизки, улар элементар катақнинг трансляцион векторлари билан устма-устг тушсин. (1.5-чизма). Бизга (ABC) текислик индексларини топиш керак бўлсин. Унинг учун дастлаб биз текисликни координата \rightarrow ўқлари билан кесишган жойларини

$$\text{аниқлааб } m = \frac{OA}{a_1}, n = \frac{OB}{a_2}, p = \frac{OC}{a_3} \text{ сонлар-}$$

ни топамиз. Координата ўқларини бир узунлик бирлиги ўша ўқда ётвичи трансляцион вектор узунлигига teng бўлади. Бундай турли масштабдаги координата ўқларини танлаш, белгилашларни осонлаштиради. (m, n, p) сонлари топилгандан кейин ўша текислик-



1.4-чизма. Текисликларнинг
Миллер индекслари



1.5-чизма. Миллер
индексларини топишга
доир

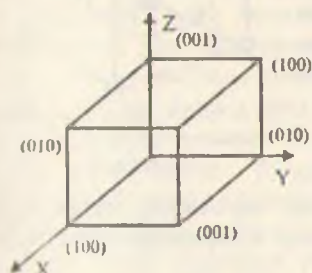
нинг Миллер индексини аниқлаш мүмкін. Унинг үчүн (m, n, p) сонларининг тескари нисбатлари ёзилади, янын

$\frac{1}{m} : \frac{1}{n} : \frac{1}{p}$ ва шу нисбатта тенг бўлган энг кичик бутун сонлар ёзилади, масалан у сонлар $h; k; \ell$ бўлсин.

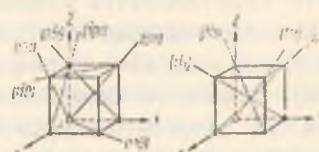
Демак, $h : k : \ell = \frac{1}{m} : \frac{1}{n} : \frac{1}{p}$ У ҳолда (h, k, l) сонлар ABC

текисликнинг Миллер индекслари деб аталади. Бир мисол кўриб ўтамиш. Бирор текислик учун $m=1, n=1/2, p=1/3$ бўлсин, у ҳолда $h:k:l = \frac{1}{1} : \frac{1}{\frac{1}{2}} : \frac{1}{\frac{1}{3}}$ яъни ушбу текислик учун Миллер текисликлари $h=1, k=2, l=3$ бўлади ва мазкур текислик (123) кўринишда белгиланади. Агар текислик бирор координата ўқига параллел бўлса, шу ўққа мос индекс 0 га тенг бўлади. Агар текислик ўқни манфий қисмида кесиб ўтса, уша ўққа мос индекс манфий бўлади, лекин ишора сонинги олдига эмас тепасига қўйилади, $h=-1, k=2, l=2$ бўлса, текислик (122) кўринишда белгиланади. 1.6-чизмада кубнинг ён текисликлари келтирилган. $|(100), (010), (001), (100)|$ ва бошқалар]. Бу текисликлар

эквивалент бўлани учун уларни бир оиласга мансуб текисликлар деб қаралади ва катта қаве билан белгиланади $\{100\}$, қаттиқ индекснинг ушбу йўналишилар бўйича физик хоссалари бир хилдири. Кристалда текисликлардан ташқари, йўналишиларни ҳам белгилаш қабул қилинган. Йўналишини белгиловчи индекслар шундай энг кичик бутун a, b, c сонларки, уларнинг нисбати ($a : b : c$) шу йўналишида олинган векторнинг координата ўқларидаги проекциялари Уларо нисбатига тенгидир. Бу ерда ҳам координаталарнинг масштаб бирлиғи транслюцион вектори узулилгига тенг деб олинади. Йўналиш индекслари тўртбурчак қавслар ичига ётади. Масалан, $|100| X$



1.6-чизма. Миллер индексларини тошиш мисоли



1.7-чизма. Йўналишиларнинг Миллер индекслари

— ўқи бўйича мусбат ва манфиий йўналишларни билдиради (1.7- чизма). Эквивалент йўналишлар оиласи синик қавс билан белгиланади $\langle u, v, w \rangle$ XOY ёқнинг диагонали $[110]$ билан белгиланади. $[111]$ - кубнинг фазовий диагонали. Кубик сингонияда агар $h=u$, $k=v$, $l=w$ бўлса, $[uvw]$ йўналиш (hkl) текисликка перпендикуляр бўлади.

Элементар катақдаги тугун координаталари ҳолатини аниқлаш учун ҳам белгилаш қабул қилинган. Тугунлар трансляцион векторларнинг қанча қисмини ташкил этса, ўша сонлар билан белгиланади.

Масалан, 1.8-чизмада келтирилган элементар ячейка марказидаги тугун координатаси $\frac{1}{2}, \frac{1}{2}, \frac{1}{2}$ ни ташкил қилади.

Ушбу сонлар қавсиз ёзилади.

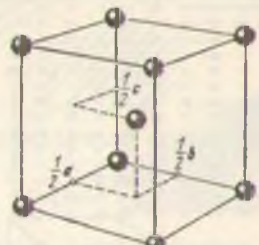
Агар тугунлар ён ёқдар марказларида бўлса, (ёқий марказлашган элементар катақ) уларнинг координаталари қўйидагicha

ёзилади: $\frac{1}{2} \frac{1}{2} 0; 0 \frac{1}{2} \frac{1}{2}; \frac{1}{2} 0 \frac{1}{2}$.

Кристалл тузилишлар тавсифи келтирилган жадвалларда олдин одатда, элементар катақ тури ва ўлчамлари берилади, кейин тугунлар координаталари келтирилади.

1.5. Кристалл атомларининг ва молекулаларининг боғланиши турлари

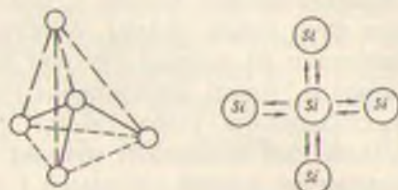
Кристалл панжараси кристалларни фарқлаш, кристалнинг геометрик тузилиши тўғрисида тасаввур ҳосил қилишга ёрдам беради. Лекин, ушбу билим кристалдаги атом ёки молекулаларни кристалл панжараси тугунларида тутиб турувчи кучларнинг табиати ҳақида маълумот бера олмайди. Шунинг учун кристалларни уларни ташкил қилувчи атомлар ёки молекулалар орасидаги таъсир кучларига қараб ажратиш ва ўрганиши мақсадга мувофиқ бўлади. 1.1-чизмада атомлар молекулаларининг боғланишига кўра беш турдаги боғланишлар мавжуд эканлиги кўрсатилган. Булар молекуляр, водород, ковалент (атом), ион ва металл боғланишлардир.



1.8-чизма. Элементар катақдаги тугунлар взаимини белгилаш

1.5.1. Атом боғланишы (ковалент, гомеокутбий) кристаллар

Атом боғланишлы кристаллар түгунларида бирор мөдданинг атомлари жойлашган бўлади. Атом боғланиш икки қўшни атомлар орасида умумий валент электронлари бўлиши билан тушунтирилади. Газ ҳолатдаги H_2 , N_2 ва O_2 молекулаларидағи атомлар ҳам ковалент равишда боғлангандир. Бир атомдан биттадан электрон иштирок этади. Бу электронлар бир атомдан иккинчисига ўтиши ҳам мумкин, шунинг учун бундай боғланиш кучларини алмашиб кучлари, боғланиш энергиясини эса алмашиб энергияси деб аталади. Атом боғланишга кремний кристали мисол бўла олади (1.9-чизма). У олмоссимон кристалл панжарасига эга бўлиб ҳар бир атом атрофилда 4 та яқин қўшниси бор. Ушбу атомлар тетраэдр түринишидаги фазовий панжара ҳосил қилиб марказда кремний атоми жойлашган бўлади. Қўшни икки атом орасидаги боғланишини ҳосил қилишда ҳар бир атомдан битта, икки атомдан иккита электрон қатнашади. Ковалент боғларнинг муҳим белгиларидан бири уларнинг тўйинган боғланиш эканлигидир, яни уларда ҳар бир боғда иккитадан электронлар қатнашади. Иккичи белгиси шундан иборатки, ковалент боғланишлар қўшни атомлар оралиги бўйича йўналган бўлади. Буни боғланишнинг йўналтирилганлиги ёки анизотропияси деб аталади. Ковалент боғланиши ҳар хил атомлар орасида ҳам ҳосил бўлиши мумкин (мисалан, SiC кремний карбиди, AlN алюминий нитриди ва бошқаларда). Кўп ҳолларда элементлар жадвалининг II, III, IV, V туругъ элементлари ковалент боғ ҳосил қиласидилар.



1.9-чизма. Кремний кристаллда атомлараро ковалент боғланиш

1.5.2. Ион (гетерокутбий) боғланишлы кристаллар

Бундай кристалларнинг панжараси түгунларида ионлар жойлашган бўлади. Турли ишорали ионлар орасидаги масофадан кичик бўлади, шунинг учун турли ишорали ионлар орасидаги тортишини кучи бир хил ишорали ионлар орасидаги итариш кучидан каттадир. Лекин тор-

тишиш күчлари мәнім бир r_0 масофагача таъсир қылалы. Агар ионлар орасидаги масофа r_0 дан кичкина бўлса улар орасида ита-риш кучи пайдо бўлади. Кристалдаги қўшни атомлар орасидаги тортишиш ва итариш күчлари квант механикаси орқали тушун-тирилади. Бъзги масалаларни очишдагина биз ион боғланишли кристаллардаги ўзаро таъсир күчларини электростатик Кулон күчлари деб олишимиз мумкин. Ион кристаллари кўп ҳолларда элементлар даврий системаси I-чи ва VII гурӯх элементлари би-рикишидан ҳосил бўлади. Ион кристалининг ҳар бир иони атро-фида муайян К сонлаги бошқа ионлар жойлашади. Ушбу ионлар сонини координацион сон — К деб аталади. Координацион сон-нинг қиймати панжарарадаги ионларнинг радиуслари нисбати би-лан аниқланади. Ушбу сонни қандай аниқлаш I.4- жадвалда кел-тирилган. Бу ерда $\frac{r_A}{r_B}$ — ионларнинг радиуслари нисбати.

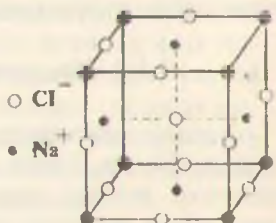
I.4-жадвал

Координацион сон	12	8	6	4	2
$\frac{r_A}{r_B}$ инг	$\frac{r_A}{r_B} = 1$	$\frac{r_A}{r_B} > 0,73$	$0,73 > \frac{r_A}{r_B} > 0,41$	$0,41 > \frac{r_A}{r_B} > 0,22$	$\frac{r_A}{r_B} < 0,22$
қиймати	$\frac{r_A}{r_B} = 1$	$\frac{r_A}{r_B} > 0,73$	$0,73 > \frac{r_A}{r_B} > 0,41$	$0,41 > \frac{r_A}{r_B} > 0,22$	$\frac{r_A}{r_B} < 0,22$

Мисол тарқасида ош тузи (NaCl) кристали тузилишини кўриб чиқамиз. Na атомининг эффектив радиуси $r_{\text{Na}}=0,98 \text{ \AA}$, хлор атоминики эса $r_{\text{Cl}}=1.81 \text{ \AA}$, демак $\frac{r_{\text{A}}}{r_{\text{B}}}=\frac{0,98}{1,81}=0,54$.

Юқоридаги жадвалдан ушбу кристал учун координацион сон $K=6$ эканлигини аниқлаймиз. Бу кристалдаги ҳар бир ионни атрофида 6 та ион ўраб туришини анилатади. (I.10-чизма).

Дарҳақиқат, ош тузи кристали содда кубик тузилишига эгалид. Кристалл тузилиши күн жиҳатдан кристалдаги ионларнинг эффектив радиуслари нисбатига боғлиқ. NaCl кристалида хлор иони радиуси натрий иони радиусидан деярли икки баробар катта, шунинг учун уларнинг ўргасига яна бир ионни жой-



I.10-чизма Ион боғланишли NaCl кристали

ланшиши учун бүш жой қолмайды. Натижала ушбу ионлар содда кубик шактада жойлашадылар. Ион кристалларида үзаро болганиш энергияси асосан электростатик тавсифга эга булиб, бу энергияни Маделунг энергияси деб ҳам аталади. Кристалдаги ихтиёрий i ва j номерлар атомлар орасидаги боғланиш энергиясини U_{ij} деб атайдык. У ҳолда i номерлар ионнинг бошқа ҳамма атомлар билан таъсирлашув энергияси $U = \sum_j U_{ij}$ га тенг бўлади ($j \neq i$). Ион

боғланиш кристалл учун икки қисмдан иборат деб қарашиб мумкин:

$$U_{ij} = \lambda \exp\left(-\frac{r_{ij}}{p}\right) \pm \frac{q^2}{r_{ij}} \quad (1.1) \quad (\text{СГС да})$$

Ифоданинг биринчи ҳади ионга таъсир қилаётган итарувчи кучнинг потенциали бўлиб, иккинчи ҳади эса Кулон таъсири потенциалидан иборатdir. Кўшни атомлар орасидаги масофани R деб оламиз ва белгилаш киритамиз $r_{ij}=P_{ij}R$. Үзаро итариш кучлари ғақат яқин жойлашган атомлар орасидагина мавжуд деб олсак, у ҳолда юқоридаги ифода соддалашади.

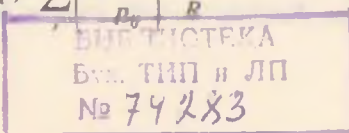
$$U_{ij} = \begin{cases} \lambda \exp\left(-\frac{R}{p}\right) - \frac{q^2}{R} & \text{- яқин атомлар учун,} \\ \pm \frac{1}{P_{ij}} \cdot \frac{q^2}{R} & \text{- қолган барча атомлар учун.} \end{cases} \quad (1.2)$$

Кристалдаги мусбат ва манфиий ионлар сони $2N$ га тенг бўлса, кристалнинг тўлиқ энергияси $U_T = N U_i$ га тенг бўлади. U_i ни N га кўпайтиришимиз сабаби Ҳар бир таъсирлашувчи жуфтни бир марта ҳисобга олинади. Юқоридаги ифодадан U_i ни топамиз:

$$U_T = Z \left[\lambda \exp(-R/p) - \frac{q^2}{R} \right] + \sum_{j=1}^{N-Z} \pm \left(\frac{1}{P_{ij}} \right) \frac{q^2}{R} \quad (1.3)$$

Ушбу формулада Z энг яқин қўшни атомлар сони. Ифодани соддигаштириш учун $Z \frac{q^2}{R}$ ни иккинчи ҳадга қўшиб қўйидагини ҳосил қиласмиз:

$$U_T = Z \lambda \exp(-R/p) - \sum_{j=1}^{N-Z} \left(\pm \frac{1}{P_{ij}} \right) \frac{q^2}{R} \quad (1.4)$$



Бу ифодага ҳам белгилаш киритамиз:

$$\alpha = \sum_j \left(\pm \frac{1}{P_{ij}} \right) \quad (1.5)$$

Ушбу сон *Маделунг доимийсі* деб аталади. Энди юқорилаги ифодамиз содда күренишга келади:

$$U_F = Z \lambda \exp(-R/p) - \alpha \cdot \frac{q^2}{R} \quad (1.6)$$

Ифодалаги охирғи ҳад әнг яқын Z та атомлар ҳиссасини ҳам үз ичига олади. Тұлиқ энергия учун эса:

$$U_T = N(Z \lambda \exp(-R/p) - \alpha \cdot \frac{q^2}{R}) \quad (1.7)$$

ифодани ҳосил қиласмыз. Мувозанат қолатда тұлиқ энергия R га боғлиқ әмас, яғни $\frac{dU_T}{dR} = 0$, шунинг учун

$$\begin{aligned} N \frac{\partial U_T}{\partial R} &= - \frac{NZ\lambda}{\rho} \exp\left(-\frac{R}{\rho}\right) + \frac{N\alpha q^2}{R^2} = 0 \text{ ёки} \\ R^2 \exp\left(-\frac{R}{\rho}\right) &= \frac{\rho \alpha q^2}{Z\lambda} \end{aligned} \quad (1.8)$$

(1.7) ва (1.8) ифодалардан

$$U_T = - \frac{N\alpha q^2}{R} \left(1 - \frac{\rho}{R} \right) \quad (1.9)$$

келиб чиқади.

Бу ифодадаги ρ кичик сон бўлиб одатда $\rho=0.1$ Ro ни ташкил этади. Шунинг учун $U_T = - \frac{N\alpha q^2}{R}$ деб олишимиз мумкин. Демак, ион боғланишли кристалларда боғланиш энергиясининг деярли ҳаммасини Қулон энергияси (ёки Маделунг энергияси) ташкил этар экан. Ҳарорат ёки босимнинг үзгариши ион кристалининг элементтар катаги үзгаришига олиб келиши мумкин. Ҳарорат ошиши билан мусбат ион (анион)нинг эффектив радиуси ман-фий ион (катион)нинг эффектив радиусынан тез катталашади. Натижада уларнинг радиуслари нисбатан тез үзгаришига олиб келади. Масалан, хлорли цезий ($CsCl$) ва хлорли рубидий ($RbCl$) кристаллари температура ошиши билан ҳажмий марказлашган кубдан содда кубга айланиб қолади. Хлорли калий, хлорли бром, хлорли йодларда эса босим

ошиши билан тескари ўтиш, яъни содда кубик панжарадан ҳажмий марказлашган панжарага айланиш кузатилади.

Ион кристалларини сувда эритилганда улар мусбат ва манфий ионларга парчаланадилар. Улар иссиқлик таъсирида эритилганда ҳам ионли суюқликка айланади. Буни уларнинг электрик токни яхши ўтказишидан билишимиз мумкин. Ионлар кристаллари паст температураларда электр токини яхши ўтказмайди. Ҳарорат ошиши билан ўтказувчаник ҳам ортиб боради. Ионлар кристаллари инфақизил нурларни яхши ютувчи моддалардир.

1.5.3. Молекуляр боғланишли кристаллар

Кристалл панжараси тугунларида молекулалар жойлашган кристалларни молекуляр боғланишли кристаллар деб аталади. Кристалдаги ҳар бир молекула ўзининг хоссаларини сақлади. Ушбу кристалларга H_2 , N_2 , Cl_2 , Br_2 , I_2 , CH_4 , CO_2 , H_2O кристаллари мисол бўла олади. Молекулаларни кристалл панжарада тушиб турувчи кучлар бошқа турдаги кучларга нисбатан заиф бўлади. Уларни Ван-Дер-Ваалс кучлари деб аталади. Бу кучлар ўз навбатида молекулалар турига кўра уч хил булиши мумкин.

1. Агар кристалдаги молекулалар қутбли, яъни молекуланинг дипол ёки квадрупол моменти нолдан фарқи бўлса, кристалл молекулалари ўзаро ореинтацион кучлар билан таъсирилашадилар. Бундай молекулалар орасидаги тортишиш кучлари молекулалар бир чизиқда жойлашганда максимал бўлади. Бу кучлар молекулаларни маълум бир йўналишга буришга ҳаракат қиласи, шунинг учун ореинтацион кучлар деб аталади. Иссиқлик ҳаракати молекулаларнинг электрик моментлари йўналишларини доим ўзгартириб туришига қарамай, ҳамма йўналишлар буйича ўргачалаштирилган таъсири кучи нолга teng эмас. Ореинтацион таъсирининг потенциал энергияси молекулалар орасидаги масофанинг олтинчи даражасига тескари пропорционал, яъни $U_{ii}(r) \sim P_1 P_2 r^6$. Бу ерда P_1 ва P_2 лар таъсирилашувчи молекулаларнинг дипол моментлари. Молекулалар орасидаги таъсири кучи $F \sim \frac{\partial U_{ii}(r)}{\partial r} \sim r^{-7}$, яъни молекулалар орасидаги масофанинг ет-тинчи даражасига тескари пропорционал. Бу кучлар масофа ортиши билан жуда тез камаяди. Ҳарорат ортиши билан молекула-

ларнинг йўналиши бузилади ва натижада ореинтацион таъсир потенциал энергияси камаяди.

2. Кристалл қутбли ва қутбсиз молекулалардан ташкил топган бўлса, уларнинг молекулалари орасида индукцион (поляризацион) таъсир кучлари пайдо бўлади. Қутбли молекула ўз атрофида электр майдони ҳосил қиласди. Бу майдон таъсирида қутбсиз молекула қутбланиди ва унда индукцияланган дипол моменти ҳосил бўлади. Молекулалар орасидаги таъсир энергияси $U_D \sim p_1 \alpha_2 \cdot r^6$ қутбли молекуланинг дипол моменти P_1 га, қутбсиз молекуланинг қутбланиш коэффициенти α_2 га тўғри пропорционал ва масофанинг олтинчи даражасига тескари пропорционал. Бу энергия температура ортиши билан ўзгармайди.

3. Учинчи турдаги Ван-дер-Ваалс кучларини дисперсион кучлар деб номланади. Бу кучлар қутбсиз молекулалар орасида пайдо бўлиб, уларнинг келиб чиқишини тушунтириш узоқ вақтлар қийинчиллик тудирган. Ушбу муаммо квант механикаси ёрдамида тушунтирилди. Қутбсиз молекулаларнинг дипол моментлари ўртача нолга teng бўлса ҳам, вақтнинг жуда қисқа бўлакларида молекуладаги электронлар булати симметрияси бузилиб турарди. Натижада бу қисқа вақтда молекула маълум бир дипол моментга эга бўлади. Бу дипол майдони қўшни молекулада индукцион дипол моменти ҳосил қиласди, натижада ўзаро таъсир кучлари пайдо бўлади. Молекулалар ўзаро таъсири потенциал энергияси ва кучи қуйидагича ёзилади:

$$U_D(r) \sim \alpha_1 \alpha_2 r^6, F_D(r) = -r^7 \quad (1.10)$$

Бу кучларни дисперсион кучлар деб номланишининг сабаби моддадаги ёргулкнинг дисперсияси ҳам молекулаларнинг юқорида келтирилган хоссаларига боғлиқлигидир.

Молекуляр боғланиши кристалларда, тортишиш кучларидан ташқари, молекулалар орасида итаришиш кучлари ҳам мавжуд. Бу кучлар молекулалар бир бирига жуда яқинлашганда пайдо бўлади. Квант механикасидаги Паули қонунидан электронлар қобиқлари бир-бирига киришиб кетиши мумкин эмаслиги келиб чиқади. Демак, молекулаларнинг электронлар қобиқлари бир-бирига яқинлашиши билан итаришиш кучлари пайдо бўлади. Тажрибалар кўрсатишicha, бундай таъсир энергияси масофанинг ўн иккинчи даражасига, таъсир кучи эса ўн учинчи даражасига тескари пропорционаллайдир.

$$U_{eff}(r) = \frac{1}{r^{12}} - \frac{1}{r^{10}}, \quad F(r) = \frac{1}{r^{11}}. \quad (1.11)$$

Молекулалар орасындағы таъсир энергиясыннан үзар орасындағы масоғага болғаннан ифодасини квант меканикаси ассоциациялардың көмегінен жақшырып, шунинг учун одатта уни түрли тәжірибелі күрініштің тәндеуінде олар олинады. Күп ҳолларда Ленинград-Джонс ифодасының фойдаланылады:

$$U(r) = -ar^6 + br^{-12}. \quad (1.12)$$

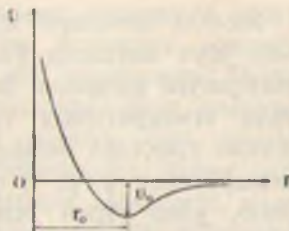
Энергияның минимум қынматига r_0 -масоға түгри келади. Шибү масоғада молекулалар орасындағы таъсир күчи нолға тең болады. Бұу масоға сон қынматини $U(r)$ ның r бүйічә ҳосиесини нолға тенглаб топиш мүмкін. r_0 -масоға кристалданған молекулалар орасындағы мувошынан түзілген масоғага тенгідір.

$$\left(\frac{\partial U(r)}{\partial r} \right)_{r=r_0} = 0.$$

Шибү ва шүнгә ўхшашиб болықа ифодаларнаның камчылықтарынан бири — уларнаның молекулалар орасындағы ориентациялық үзаро таъсирлердің күштіліктерінің үзаро таъсирини ифодалашуучи күп ҳолларда диполларнаның бурилиш бурчагини ҳисобға олувчи күпайтувчи киритилалады. Ҳозирги нағытда молекулалар орасындағы үзаро таъсирлар квант кимеси үсуллари билан ҳисобланмоқда.

1.5.4. Металл боялғаныштың кристаллар

Суюқ ёки қаттық ҳолаттарда металл атомлари бир-бираға жула иккін келади ва электронлары киришиңбет кетады. Натижада металл атомнаның валент электронлары бир атомдан иккисінчі атомга әркін ҳаракат қылса да олар оладылар. Улар бутун металл бүйілаб ҳаракат қылса да олар оладылар. Улар әркін электронлар (үтказувчанылар) ёки металлнаның электронлары деп ҳам аталады. Металлнаның кристаллары панжарасындағы атомлары аның шу умумлапшынан электронлар орқали үзаро таъсирланадылар ва уларни панжара түгүнларыда тутиб тұрады.



1.11-чизма. Молекулалараро таъсир энергиясы $U(r)$

Металл атомдары жуда ҳам зич жойлашган булади ($K=12$, $K=8$). Күп металлар ўзининг кристалл панжараси тузилишини температура ўзгариши билан ўзгартириб туради. Кристалларнинг турли температурада турли турғун кристалл тузилишига эга булиши кристалл полиморфизми деб аталади. Металлар кристал панжарасининг α , β , γ , σ деб номланган турғун турлари мавжуд булиб, улар турли температура оралиқларида турғун ҳолатда буладилар. Металл боғланишли моддалар ковалент ёки ион боғланишли моддаларга нисбатан қаттиқлиги, эгилувчанлиги ва пластиклик хоссаларга эгалиги билан ажралиб туради. Металларда эркин электронлар күп булишлиги эса уларнинг яхши электр ва иссиқлик ўтказувчанлигини таъминлайди.

1.5.5. Водород боғланишли кристаллар

Водород боғланишли кристалларда водород атоми бир молекула билан кимёвий бօғ ҳосил қилган ҳолда иккинчи молекула билан ҳам таъсирлашади, кутбланган водород атоми иккинчи молекулада ҳам дипол моменти индукциялади ва натижада етарли даражада кучли боғланиш ҳосил булади. Водород боғланишни модданинг учала агрегат ҳолатларида ҳам кузатиш мумкин. Водород боғлар электроманфийлиги юқори бўлган атомлар, масалан, F_2O ва N орасида яққол намоён булади. Водород атоми ўзининг ягона электронини қўшни атомга бериб мусбат ионга айланади ва иккинчи қўшни атом билан ион боғланиш ҳосил қиласди. Водород боғланиш органик моддалар молекулалари орасида ҳам күп учрайди. Сув молекуласининг күп ажойиб хоссалари водород боғланиш хоссасидан келиб чиқади. Юқорида келтирилган кристаллардаги боғланиш турлари якка ҳолда кузатилмайди. Кристалдаги атом ёки молекула орасида бир пайтда бир неча боғланиш турлари кузатилиши мумкин. Лекин, маълум бир шароитда кристалларда бирор боғланиш тури устивор булиши мумкин. Ана шу нуқтаи назардан кристал боғланишлари турларга ажратилади.

1.6. Кристалларни ўтириш

Модданинг кристалл бўлмаган ҳолатидан (суюқлик, газ, аморф) кристал ҳолатига (фазасига) ўтиши жараёни *кристалланиши* деб аталади. Кристалланиш бошланиши учун ўтиш ҳолатида турған моддада (тўйинган эритма, совутилган

қотиши маңында термодинамик мувозанат бузилиши зарур. Кристалланиш жараёнида ажраб чиққан иссиқлик миқдори кристалланишнинг яширин иссиқлиги деб номланади. Модда кристалланиши учун суюлиш температурасидан паст температурагача совутилиши керак. Ҳарорат мъълум бир критик қийматига етганда моддада кристал бўлакчалар пайдо бўла бошлади. Бу критик температура модданинг таркибига, унданги бегона зарраларнинг зичлигига, модда солинган идишнинг девори ҳолатига ва бошқа бир қатор омилларга боғлиқ. Айрим тоза металларни суюлиш температарасидан икки марта паст температурагача совутилса ҳам кристалланмай қолаверади.

Катта монокристалларни тўйинган эритмалардан ўстирилади. Уларга одатда кичкина «қармоқ» кристалчаси туширилади ва аста сеқинлик билан юқорига кутарилади. Бу усул кристални тагликка қўйиб ўстиришдан кўра яхши натижалар беради. Ҳозирги пайтада кристалларни ўстиришнинг тигелсиз, Чохралский, эпитаксиал усуслари қўлланилади.

I.7. Полиморфизм

Қаттиқ жисмлар турли температура ва босимларда турлича кристалл тузилишга эга бўлиши мумкин. Бу ҳодисани полиморфизм деб аталади. Масалан, углерод (карбон) атомлари олмос кўринишила ҳам, графит кўринишида ҳам бўлиши мумкин. Бу иккни кристал тузилиши бир — биридан физик хоссалари жиҳатидан кескин фарқ қиласди. Кубик тузилишга эга бўлган олмос жуда қаттиқ, шаффофф кристал, гексагонал тузилиши, графит эса мурт ши ёргулук ўтказмайди. Ушбу моддалар бир кристалл тузилишдан иккичисига ўтиши учун мъълум бир шароит (температура ва босим) бўлиши зарур. Ундан ташқари, ўтиш жараёнида атомлар энергетик түсиқни енгигиб ўтишлари зарур. Агар энергетик түсиқ етпарила кагта бўлса, бундай ўтиш ташқи таъсирсиз содир бўймаслиги ҳам мумкин. Масалан, олмос $T > 1500^{\circ} K$ ва $p = 10^8 Pa$ бўлган шароитда барқарор фазада бўлади, лекин, агар биз олмосни атмосфера босими ва хона температурасига ўтказиб қўйсак қўм, у графитга айланаб қолмайди. Олмос нормал шароитда ҳам уюқ вақт сақчаниши мумкин. Полиморф ўзгаришлар натижасида кристалда кимёвий боғланиш тури ўзгариши мумкин. Оддий шароитда коқиленг боғланган Si ва Ge ярим ўтказгичлари юқори босимларда металл боғланишли кристал тузилишга ўтиши мумкин.

1.8. Кристалларда рентген нурлари дифракцияси

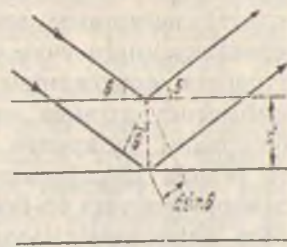
Кристалл панжараси түзилишини бөвөсита катталаштириб тасвирга тушириш кам ҳолатлардагина мумкин. Шунинг учун кристалл панжараси түзилишини ўрганишда рентген нурларининг кристал панжарарадаги дифракциясидан фойдаланилади. Түлқин узунлиги катта бўлган нурлардан ҳам дифракцион панжара даври чамасида булиши лозим. Кристалл панжарасидаги рентген нурлари дифракциясини энг содда қилиб биринчى марта У. Брэгг ва Г. А. Вулфлар тушунтириб беришли. Рентген нурлари кристалга тушгач, улар турли атом текисликларидан қайтадилар ва рентген нурларининг йўл фарқи түлқин узунлигига каррали бўлганида дифракцион максимумлар, яъни ёруғ нукталар найдо бўлаши. Агар кристалдаги икки текислик орасидаги масофа d га teng бўлса, ва рентген нурлари θ бурчак остида тушса, у ҳолда 1.12- чизмада кўрсатилганидек икки нурнинг йўл фарқи $2dsin\theta = n\lambda$ га teng бўлади. Дифракцион максимум шарти эса,

$$2dsin\theta = n\lambda, \quad (1.13)$$

бу ерда n - бутун сон λ - рентген нурининг түлқин узунлиги.

Ушбу ифода Брэгг-Вулф қонуни деб ҳам юритилади. Кристалл панжарасидан жуда кўп атом текисликларини ўтказиши мумкин (1.4- чизма). Дифракция максимумлари улар учун ҳам бажарилиши мумкин. Шунинг учун дифракцияни қайд қилувчи фотогитёнкада бир қанча ёруғ нукталарни кўрамиз.

Брэгг-Вулф қонунига асосан рентген нурлари кристалдан қайтиши учун λ ва θ уртасида маълум бир шарт бажарилиши керак. Агар биз монохроматик нурни ихтиёрий бурчак остида уч ўлчовли кристал панжарасига туширсанак, ҳеч қандай дифракция кузатилмаслиги мумкин. Дифракцион тасвир ҳосил қилиш учун биз λ -ни ёки θ -ни секин аста ўзгартириш, яъни сканерлаш имкониятига эга булишимиз керак. Ҳозирги пайтда кристаллар түзилишини ўрганишининг асосан уч хил усули қўлланилади.



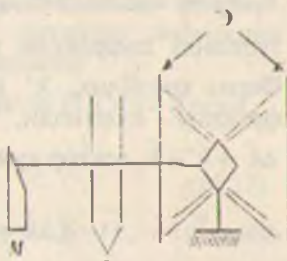
1.12-чизма. Кристалдан рентген нурлари дифракцияси.

1.8.1. Лауэ усули

Бу усулда рентген нури M майдалдан (1.13- чиыма) чыкыб, D - диафрагмадан ўтады үзүнликтеги K - монокристалга түшнеди.

Рентген нурларини монохроматик бүлмейдиди, үннинг таркибиде иложи борича катта диапазондагы түлкүн үзүнликтөрүнүрлар ҳосил қылышады.

Ингичка рентген нури кристалга түшнеч, Брэгг-Вулф қоюнинга биноан мөс йүнелишиларда дифракцион максимумдар ҳосил бўлади. Бу ёргу нуқталар кристални одди ва орқасига ўрнатилиган Э — экрандаги фотоплён-камларда тасвир ҳосил қиласилади. Унбу усул кристалл панижара түзилишинин, симметриясини аниқлашда яхши самара беради. Кристалга түлкүн үзүнликлари турлича бўлган рентген нурлари түшнандиги учун бу усулда түлкүн үзүнлиги бўйича сканерланмоқда лейни мумкин.



1.13 чиыма. Рентген нурлари дифракцияси. Лауэ усули

1.8.2. Кристални айлантириш усули

Бунда ўқка маҳкамланган монокристалл шу ўқ атрофида айланниб туради (бурчак бўйича сканерлаш). Монокристаллга монохроматик рентген нури тушнирилади. Кристал Брэгг-Вулф шартини қаноатлантирувчи бурчакка бурилганда фотоплёнкамда дифракцион максимум ҳосил бўлади. Бу усул мураккаб молекулалар түзилишинин аниқлашида кенг қўлланилади.

1.8.3. Кукун (порошок) усули

Бу усулда монокристалл намуна майдаланиб кукун ҳолига келтирилди ва юпқа шиша идишли капиллар нийга сошилади. Камерада маҳкамланган идишга монохроматик рентген нурлари тушнирилади. Тушаётган нурлар Брэгг-Вулф шартини бажарувчи вазиятда ётган кристал бўлакчаларидан қайтадилади. Унбу усулдинг қулайлик томони шундаки, йирик монокристалларини инжизатинининг ҳожати йўқ.

Агар кристалл панжарасининг трансляцион векторлари $\bar{a}_1, \bar{a}_2, \bar{a}_3$ маълум бўлса, у ҳолда \bar{k} тўлқин векторли рентген нури тушганда дифракция ҳосил бўлиш шартларини куриб чиқамиз. Фараз қиласлик, \bar{k}' йўналишда қайтган рентген нурларида дифракция кузатилди, у ҳолда Брэгг-Вулф шартига асосан $\Delta\bar{k} = \bar{k}' - \bar{k}$ вектор қўйидаги шартларни қаноатлантириши зарур.

$$\bar{a}_1\Delta\bar{k} = 2\pi n_1, \quad \bar{a}_2\Delta\bar{k} = 2\pi n_2, \quad \bar{a}_3\Delta\bar{k} = 2\pi n_3, \quad (1.14)$$

Бу ифодала n_1, n_2, n_3 лар бутун сонлар. Ушбу ифода Лауэнинг дифракция тенгламалари деб аталади.

I.9 Тескари панжара

Юқорида келтирилган $\Delta\bar{k}$ векторини яъни тушаётган ва дифракция шарти бажарилган йўналишда қайтаётган рентген нурларининг тўлқин векторлари фарқини биз векторлар йиғиндиси кўринишида тасвирлаб олишимиз мумкин:

$$\Delta\bar{k} = n_1\bar{b}_1 + n_2\bar{b}_2 + n_3\bar{b}_3, \quad (1.15)$$

(1.14) ифодадан: $\bar{a}_1\Delta\bar{k} = \bar{a}_1n_1\bar{b}_1 + \bar{a}_1n_2\bar{b}_2 + \bar{a}_1n_3\bar{b}_3 = n_1\bar{a}_1\bar{b}_1 = 2\pi n_1$, яъни $\bar{a}_1\bar{b}_1 = 2\pi$ эканлиги келиб чиқади. Худди шунингдек $\bar{a}_2\bar{b}_2 = 2\pi$, $\bar{a}_3\bar{b}_3 = 2\pi$. Демак \bar{b}_1 вектор \bar{a}_2 ва \bar{a}_3 га тик, \bar{b}_2 эса \bar{a}_1 ва \bar{a}_3 га, \bar{b}_3 вектор \bar{a}_1 ва \bar{a}_2 га тик (чунки скаляр кўпайтмалари нолга тенг). Шунинг учун $\bar{b}_1, \bar{b}_2, \bar{b}_3$ векторларни қўйидагича танлаб оламиз:

$$\bar{b}_1 = 2\pi/\bar{a}_2\bar{a}_3 / V_0, \quad \bar{b}_2 = 2\pi/\bar{a}_3\bar{a}_1 / V_0, \quad \bar{b}_3 = 2\pi/\bar{a}_1\bar{a}_2 / V_0 \quad (1.16)$$

Ушбу $\bar{b}_1, \bar{b}_2, \bar{b}_3$ векторлари кристаллнинг *тескари панжараси векторлари* деб аталади. (1.16) ифодалар маҳражидаги $V_0 = \bar{a}_1/\bar{a}_2\bar{a}_3$ -- тўгри панжара элементтар катагининг ҳажмини билдиради. Тескари панжара абстракт тушунча бўлиб, кристалдаги айрим ҳодисаларни ифодалашни осонлаштиради. Масалан, кристалда дифракция,

түлқинларнинг тарқалиши, квази зарраларнинг (фонон, солитон, плазмон ва ҳ.к.) энергетик спектрларини таҳлил қилишда фойдаланилади. Тескари панжарадан фойдаланиб, Лауэнинг дифракция тенгламасини бошқа кўринишда ёзишимиз мумкин:

$$\bar{b}n = n_1 \bar{b}_1 + n_2 \bar{b}_2 + n_3 \bar{b}_3 \text{ деб оламиз, у ҳолда (1.15) га асосан,}$$

$$\Delta \bar{k} = \bar{k}' - \bar{k} = \bar{b}_n, \quad (1.17)$$

$|\bar{k}'| = |\bar{k}|$ эканлигидан ва (1.17) дан $k_2 = k'^2 = (b_n + k)^2$ келиб чиқади

$$k'^2 = b_n^2 + k^2 + 2(\bar{b}_n \bar{k}), \quad k^2 = k'^2, \text{ бўлгани учун}$$

$$b_n^2 + 2(\bar{b}_n \bar{k}) = 0 \quad (1.18)$$

хосил қиласиз.

Ушбу ифода кристаллдаги рентген нурлари дифракциясини теккари панжара вектори орқали тавсифидир. Теккари панжара векторларининг кўйидаги хоссалари мавжуд.

а) Теккари ва тўғри панжара векторларининг скаляр кўпайтмаси бутун сонга тенг.

$\bar{b}_m = m_1 \bar{b}_1 + m_2 \bar{b}_2 + m_3 \bar{b}_3$ бўлсин. $\bar{a}_n = n_1 \bar{a}_1 + n_2 \bar{a}_2 + n_3 \bar{a}_3$. Бу ҳолда $(\bar{b}_m \bar{a}_n) = m_1 n_1 + m_2 n_2 + m_3 n_3$, яъни бутун сон бўлади.

б) \bar{b}_m вектор узунлиги текисликлар орасидаги масофанинг теккарисига каррали $|\bar{b}_m| = m^{-1/d}$, m - бутун сон, d - текисликлар орасидаги масофа.

в) \bar{b}_m вектори ўзининг ташкил этувчилари индекслари билан бирор хил Миллер индексли текисликларга тик йўналган.

1.10. Бриллюэн зонаси

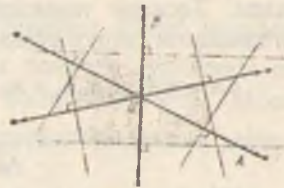
Бриллюэн зоналарини тушунтириш учун икки ўлчовли кристал панжарасини кўриб чиқамиз (1.14-чизма). Кристалл панжара тугунидаги А атомнинг атрофидаги атомлар билан бирлаштириб чиқамиз. Ҳар бир қўшни атом билан бирлаштирувчи чизиқнинг ургасидан шу чизиқга тик кесма билан тенг иккига бўламиз. Хосил бўлган штрихланган шакл Вигнер-Зейц элементар катаги лаб аталаши. Ушбу катакни текисликда трансляция векторлари бўйича кўчириксак, кристалл панжара тузилишини тиклаш мумкин,

янын Вигнер-Зеїң элементар катаги ҳам элементар катак танлашыннинг бир усулайдыр. Энди ушбу кристал панжараға тескари панжаралы тұзамиз әдебу бу панжараға ҳам юқоридагы тартибда элементар катак ажратып оламиз. Тескари панжарарады үшбу катак биринчи Бриллюэн зонасы деб атапады. Бриллюэн зонасининг физик мөхиятты шундан иборатки, Бриллюэн зонасы ичида ётувчи k түлкін векторига әга бўлган барча рентген нурлари Брэйт - Вулф шартига асосан кристалдан қайтиши мумкин. Ҳозирги кунда Бриллюэн зоналари кристаллографияда ишлатилмасала, кристалларнинг зоналар назариясида жуда муҳим аҳамиятга эга.

Бриллюэн зонасидаги электронлар ўзининг энергиясини ва импульсини узлуксиз ўзгартыра оладилар. Бриллюэн зонасини тарқ этиши учун электронларнинг энергияси сакраб ўзгариши керак.

Саволлар ва масалалар

1. Қатық жисмлар улардаги молекула ва атомларнинг боғланышында қараб қандай түрларға бўлинади?
2. Кристалл панжарасининг нүқтавий ва трансляцион симметрияси деганида нимани тушунасиз?
3. Миллер индекслари нима?
4. Браве панжаралари ва кристалл сингониялари фарқини тушунтириб беринг?
5. Ёқий ва ҳажмий марказлашған ҳамда солда кубик кристалл панжарасининг элементар катагида нечта атом жойлашған бўлади?
6. Идеал зич гексагонал панжара учун $|a_3/a_1|=1,633$ эканлигини кўрсатинг.
7. Солда кубик нацижаралы калий бром кристаллининг зичлигини топинг? ($a=6,59 \text{ \AA}$)
8. Гексагонал панжаралы кристаллининг элементар катагининг ҳажмини топинг? a_1 ва a_3 лар берилған деб ҳисобланг.
9. Қадмий кристаллы зич гексагонал кристалл панжарасига эга. Агар $a_1=2.97 \text{ \AA}$, $a_3=5.61 \text{ \AA}$, бўлса, қадмий кристаллининг зичлигини аниқланг?
10. Полиморфизм ҳодисасини тушунтиринг?



1.14- чизма Бриллюэн зонасиги
доир.

II БОБ

КРИСТАЛЛ ПАНЖАРАСИ ТЕБРАНИШЛАРИ

Кристалл панжараси динамикасини таҳлил қилишнинг икки услуби маълум. Улардан бири микроскопик (атомистик) услуб лейишиб, унинг асосини кристалл панжарасида атомлар (ионлар, молекулалар)нинг даврий дискрет жойлашиши ва уларни бирга туғиб турувчи кучлар ҳақидаги тасаввурлар ташкил қиласи. Бу услуб кристалл бўйлаб тарқалётган тўлқинлар λ узунлиги панжара доимийеси (икки қўшни атом марказлари орасидаги ўртача ёки мунисипатий масофа)дан бирмунча катта бўлган ҳолда, яъни

$$\lambda > a \quad (2.1)$$

муносабат бажарилган ҳолда маъқул бўлади. Иккинчи услубни макроскопик ёки континуал услуб дейилади. Бу услубнинг қулианиши учун

$$\lambda >> a \quad (2.2)$$

шарти бажарилиши зарур. Тажрибадан маълум бўлишича, металл, ионли ва ковалент кристалларда тарқаладиган ўз товуш тебранишлари тезлиги 5000м/с , 1 Гц такрорийликка $\lambda = 5\text{мкм}$ тўлқин узунлиги тўғри келади. Бу эса одатдаги панжара доимийеси $a=2,5 \cdot 10^{-10}\text{м}$ дан 2000 марта катта. Бу услубда қаттиқ жисмни туташ мұхит деб қаралади. Ҳар икки услубнинг фазалари ва камчиликлари бор. Улар қаттиқ жисм динамикасини урганиншида бир бирини тўлдиради.

Энди биз бу услубларни баён қилишга киришамиз.

2.1. Чизигий содда панжара атомларининг тебранишлари

Кристаллининг таркибидаги зарралар (атомлар, ионлар, молекулалар) фақат мутлоқ нол температурада панжара тугунларида тинч тураси. Температура ошган сайн атомлар (бундан кейин таркибий зарраларни атомлар деб атайдиз, таҳлилдан келиб чиқалиган холосаларни, масалан, ионлардан таркиблантган кри-

сталиарга тадбиқлаш мүмкін) тебранма ҳаракати амплитудаси ортиб боради.

Атомлар чексиз бир чизик устида даврий равишда (хар иккі күшни бир-биридан a масофада) жойлашган. Хар бир атом энг яқин иккі ён күшіниси билан квази эластик үзаро таъсирашади. Бу фараз атомларнинг мувозанат вазиятидан четланиши кичик, яни $|u_n| \ll a$ бўлганида адолатли бўлади. Квази эластик кучлар таъсирида атомлар гармоник тебранишлар бажарадилар. u_n, u_{n-1}, u_{n+1} — тегишли атомлар силжишлари.

Квази эластик куч таърифи бўйича, силжишнинг биринчи даражасига пропорционал, унинг йўналишига қарши йўналган бўлади. Демак, n - атомга $n-1$ атомнинг таъсир кучи

$$f_{n,n-1} = -\beta(u_n - u_{n-1}), \quad (2.3)$$

$n+1$ атомнинг таъсир кучи:

$$f_{n,n+1} = -\beta(u_n - u_{n+1}) \quad (2.4)$$

булиб, n - атомга таъсир қилаётган натижавий куч:

$$f_n = -\beta(2u_n - u_{n-1} - u_{n+1}), \quad (2.5)$$

бу ерда β — квази эластик куч коэффициенти.

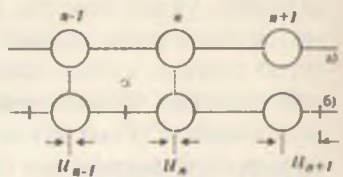
Ньютоннинг иккинчи қонунига асосан n - атомнинг ҳаракат тенгламаси:

$$\frac{md^2u_n}{dt^2} = -\beta(2u_n - u_{n-1} - u_{n+1}). \quad (2.6)$$

Унинг счими чопувчи тўлқин кўринишида бўлади;

$$u_n = A e^{-i(\varphi_0 - \omega t)}. \quad (2.7)$$

Бу ифодада A — амплитуда, $(\varphi_0 - \omega t)$ — фаза дейилади, a — координата бошидан n — атомгача дискрет масофа, $q = \frac{2\pi}{\lambda}$ — тўлқин сон, ω — такрорийлик, t — вақт, λ — тўлқин узунлиги. (2.6) тенгламага (2.7) счимни қўйсак,



2.1- чизма а) чизигий сода панжарада атомларнинг мувозанатли вазияти;
б) вертикаль чизиклар силжиган атомлар вазияти.

$$-m\omega^2 = -\beta(2 - e^{-iq\alpha} - e^{iq\alpha}) \quad (2.8)$$

$e^{-iq\alpha} + e^{iq\alpha} = 2 \cos q\alpha$ бўлганидан

$$\omega^2 = 2 \frac{\beta}{m} (1 - \cos q\alpha) = 4 \frac{\beta}{m} \sin^2 \frac{q\alpha}{2}$$

еки

$$\omega = 2 \sqrt{\frac{\beta}{m}} \left| \sin \frac{q\alpha}{2} \right| = \omega_m \left| \sin \frac{q\alpha}{2} \right| \quad (2.9)$$

иғодани ҳосил қиласиз, бунда ω_m — максимал тақрорийлик.

Агар ω тақрорийлик q тўлқин сон билан (2.9) дисперсион муносабат орқали боғланган бўлса, у ҳолда (2.7) орқали иғодаланган чопувчи тўлқин (2.6) тенгламанинг ечими бўлади. Баъзи хуласалар қўқида тўхталамиз. $\omega = \omega(q)$ функция даврий ўзгаради (2.9)га қаранг|. q ни (2.7) иғодада $q' = q + \frac{2\pi}{a}$ га алмаштирасак, $u'_n = u_n$ бўлиб чиқади, яъни q ва q' физик жиҳатдан фарқсиз. Бошқача айтганда, q ўзгаришларининг ҳар қандай $\frac{2\pi}{a}$ кенгликтаги оралигини қараш етарлидир. q нинг асосий ўзгариш оралиги қилиб

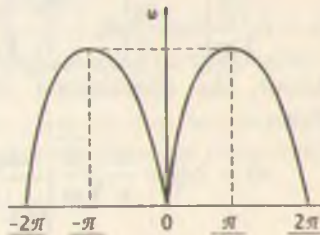
$$-\frac{\pi}{a} \leq q \leq \frac{\pi}{a} \quad (2.10)$$

соҳини танлаб олиш мумкин.

$\omega = \omega(q)$ боғланиш $\frac{2\pi}{a}$ давр билан ўнариши 2.2- расмдан кўриниб турибди, бунда

$q=0$ да $\omega=0$,

$$q = \pm \frac{\pi}{a} \text{ да } \omega = \omega_m.$$



2.2- чизма. $\omega(q)$ боғланиш

$q = \frac{2\pi}{\lambda}$ муносабатга кўра $q=0$ да $\lambda_{\max} = \infty$, $q = \pm \frac{\pi}{a}$ да $\lambda_{\min} = 2a$.

Демак, энг кичик тўлқин узунлиги $2a$ бўлиб, энг каттаси чекслайдир.

Максимал тақрорийлік ва минимал тұлқын узунлиги мавжуддегі дискрет атомлар түзими тебранишларига хос хусусияттары. Биз күрган ҳол атомлар чексиз занжирига тегишли эди. Кристалларнинг макроскопик намуналари күп, аммо чекли сондаги атомлардан таркибланған. Атомлар занжиричеси чегаралари таъсирини назарий бартараф қилиш учун G та атомларни катта радиуслы айланана бүйлаб жойлаштирилади деб фараз қилиб,

$$u_{n \pm G} = u_n \quad (2.11)$$

қуринищдаги Борн-Карман айланавий шартини киритиш мүмкін, бунда $n \pm G$ атом n - атом билан биттә. Бу шартдан (2.10) ўрнига

$$-\frac{G}{2} \leq g \leq \frac{G}{2} \quad (2.12)$$

шарт (g -бұтуң сөн) келиб чиқады. Демек, G атомдан ташкил топған чизигий занжирчанинг эркінлік даражалары G та, бинобарин, q нинг қийматлари шу сонға тенг бўлади. (2.11) шартдан:

$$q = \frac{2\pi}{a} \frac{g}{G}. \quad (2.13)$$

ω дан $\omega + d\omega$ бўлган оралиқда қанча сонда тебранишлар бор деган саволга жавоб топайлик. (2.9) ифодадан

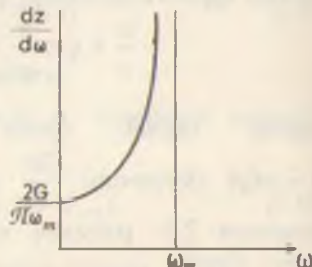
$$d\omega = a \sqrt{\frac{\beta}{m}} \cos \frac{aq}{2} dq = \frac{2\pi}{G} \sqrt{\frac{\beta}{m}} \cos \frac{qa}{2} dg.$$

Демек, $d\omega$ оралиқдаги тебранишлар сони

$$dz = 2dg = \frac{G}{\pi} \sqrt{\frac{\beta}{m}} \left| \frac{d\omega}{\cos \frac{aq}{2}} \right|. \quad (2.14)$$

бўлади. Бундан тебранишлар сони зичлиги:

$$\frac{dz}{d\omega} = \frac{2G}{\pi} \frac{1}{\sqrt{\omega_m^2 - \omega^2}}. \quad (2.15)$$



2.3-чизма. $dz/d\omega$ боғланиш.

Эластиклік назариясидан маълумки, товуш тезлигі v_o эластиклік модули ва зичлик орқали ифодаланади.

$$v_a = \sqrt{\frac{E}{\rho}} = a \sqrt{\frac{\beta}{m}}. \quad (2.16)$$

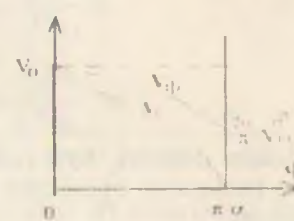
Үзүн түлқинилар үчүн $\left(\frac{aq}{2} = \frac{a\pi}{\lambda} \leq 1 \right)$ юқоридаги (2.9) ифодадан ω билен q орасыда пропорционал болганиниң бүлишлігі келиб чыкады:

$$\omega = v_a q. \quad (2.17)$$

Аммо үмүмий ҳолда түлқинлар дисперсияси мавжуд. Бунда фаза тарқалиши тезлігі v_ϕ ни ва түлқинларнинг түрүхий тезлігі v_t ни бир-биридан фарқы бор. Ҳақиқатан ҳам (2.9) асосыда олинадын

$$v_\phi = \frac{\omega}{|q|} = v_a \left| \frac{\sin \frac{aq}{2}}{\frac{aq}{2}} \right| \quad (2.18)$$

$$v_t = \left| \frac{d\omega}{dq} \right| = v_a \left| \cos \frac{aq}{2} \right| \quad (2.19)$$



ифодалар графиклари (2.4-чизма) бу фарқын курсатып турибди. Бунда биз чизигий содда панжара төбәниншлары ва түлқинларнин гармоник токибында таҳнил қылғаннан иштеп тақылдаймиз.

2.4-чизма: Фазалык түрүхий тезліктердің q -ға болғаннан токтывыла таҳнил қылғаннан иштеп тақылдаймиз.

2.2. Чизигий мұраккаб панжаралда төбәниншлар ва түлқинлар

Оиди биз элементар катаюнда иккى атом булап мұраккаб бир үшамли (чизигий) чексиз панжаралда төбәниншлар ва түлқинларни көрәп чықайынк. NaCl , CsCl каби ионлардан таркибланған, Si ва Ge каби атомлардан таркибланған кристаллар элементтар ячейкасында 2 та атом булады.



2.5-чизма: Чизигий мұраккаб панжаралда атомлар жойлашынын схемасы.

Көрнектелген чизигий панжаралда атомлар даврий жойлашынын 2.5-чизмада тасвирланған. Биринчи хит атомлар $n'-1$, n' , $n'+1$ равнинда, иккинчи хит атомлар $n''-1$, n'' , $n''+1$ равнинда белгиланған.

Бұу ҳолда ҳам гармоник тақрибда иш күрамиз. Ҳар бир атом әнг яқин иккى құшниеси билан үзаро таъсирлашади леб ҳисоблаймиз. Бунда n' ва n'' атомлар орасындағы квази эластик таъсир күчи коэффициентини β_1 , аммо n' ва $n''-1$ атомлар орасындағы таъсир күчи коэффициентини β_2 леб фараз қыламыз. Биринчи ва иккинчи хил атомлар массалари мөс равишида m' ва m'' бўлсени.

n' ва n'' атомларнинг силжишларини u'_n ва u''_n леб, бошқалариникини $u'_n - 1, u'_n + 1, u''_n - 1, u''_n + 1$ леб белгилаб қўйиладиган ҳаракат тенгламаларини ёза оламиз:

$$m' \frac{d^2 u'_n}{dt^2} = -\beta_1(u'_n - u''_n) - \beta_2(u'_n - u''_n), \quad (2.20)$$

$$m'' \frac{d^2 u''_n}{dt^2} = -\beta_1(u''_n - u'_n) - \beta_2(u''_n - u'_{n+1}). \quad (2.21)$$

Квази эластик күч таъсирида ҳамма вақт гармоник ҳаракат юзага келишини өзгиборга олсан, (2.20) ва (2.21) тенгламаларнинг ечимлари

$$u'_n = A' e^{-i(\omega n - \omega t)}, \quad u''_n = A'' e^{-i(\omega n - \omega t)}. \quad (2.22)$$

Бунда a наңжара донмийеси-иккита бир хил құшни атом орасындағы масофа. (2.22) ечимларни (2.20) ва (2.21) га олиб бориб қўйилса, баъзи амаллардан сунг A' ва A'' амплитудалар учун иккита тенглама ҳосил бўлади:

$$\left[\omega^2 - \frac{\beta_1 + \beta_2}{m'} \right] A' + \left[\frac{\beta_1 + \beta_2 e^{-\omega t}}{m'} \right] A'' = 0. \quad (2.23)$$

$$\left[\frac{\beta_1 + \beta_2 e^{-\omega t}}{m''} \right] A' + \left[\omega^2 - \frac{\beta_1 + \beta_2}{m''} \right] A'' = 0. \quad (2.24)$$

Бу иккى чиғигий бир жисси тенгламалар системаси бўлиб, A' ва A'' помадумлар оидияни кунайтүвшилардан тузилиган аниқ товчи (дeterminant)

$$\Delta = \begin{vmatrix} \omega^2 - \frac{\beta_1 + \beta_2}{m'} & \frac{\beta_1 + \beta_2 e^{-aq}}{m'} \\ \frac{\beta_1 + \beta_2 e^{-aq}}{m''} & \omega^2 - \frac{\beta_1 + \beta_2}{m''} \end{vmatrix} = 0 \quad (2.25)$$

Бұлғандагина юқоридаги система маңноли ечимдерге әга бұлади. (2.25) аниқловичи очиб чиқылса, ω^2 та нисбатан квадрат тенглама қосыл булып, унинг ечимлари иккита бұлади:

$$\omega_1^2 = \frac{1}{2} \omega_0^2 \left\{ 1 - \sqrt{1 - \gamma^2 \sin^2 \frac{aq}{2}} \right\}, \quad (2.26)$$

$$\omega_2^2 = \frac{1}{2} \omega_0^2 \left\{ 1 + \sqrt{1 - \gamma^2 \sin^2 \frac{aq}{2}} \right\}. \quad (2.27)$$

Бунда,

$$\omega_0^2 = \frac{(\beta_1 + \beta_2)(m' + m'')}{m'm''}, \gamma^2 = 16 \left[\frac{\beta_1 \beta_2}{(\beta_1 + \beta_2)^2} \right] \cdot \left[\frac{m'm''}{(m' + m'')^2} \right]$$

Алар ω ва q орасындағи бөлганиш (2.26) ва (2.27) күринишиңда бұлса, (2.22) ечимлар (2.20) ва (2.21) қаралат теніламашарини қароатлантируи.

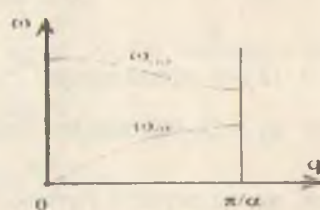
(2.26) ва (2.27) ечимлар асосида қүйидаги мұхим құлосалар көлиб чиқады.

1. (2.26) ва (2.27) ифодалар тебранишларнинг иккى тармогини анықтайды. (2.26) ифода тавсифлайдыган тармоқни акустик тармоқ, (2.27) тармоқни оптик тармоқ дейилади. Мазкур ифодалардан

$$\omega_{\text{ак}}(0) = \omega_0 \omega_{\text{ак}}\left(\frac{\pi}{a}\right) \omega_{\text{ак}}\left(\frac{\pi}{a}\right) \omega_{\text{ак}}(0) = 0 \quad (2.28)$$

мұносабаттар акустик тармоқ оптик тармоқдан пастда жойланған, үзіншінде 0, нол такрорийликдан бошланған қолда оптик тармоқ оның юқори такрорийликті тебранишларни үз ичига олади (2.6-чи ғимма).

2. Акустик ва оптик тармоқтарда тебранишлар феълини анықтайды (2.22) — (2.24) ифодалайтын



2.6-чи ғимма. $\omega(q)$ бөлганиши тармоқтары.

$$\frac{u'_n}{u''_n} = \frac{A'}{A''} = \frac{\beta_1 + \beta_2 e^{-m\omega t}}{(\beta_1 - \beta_2) - m\omega^2} \quad (2.29)$$

муносабат олиш мүмкін. Уни чегаралың ҳолларда күраілік.

А) Чексиз узун тұлқинлар ҳолида

$$\lambda = \infty, q = \left(\frac{2\pi}{\lambda} \right) = 0$$

Бу ҳолда

$$\left(\frac{u'_n}{u''_n} \right)_{\text{ж}} = 1, \left(\frac{u'_n}{u''_n} \right)_{\text{ж}} = - \frac{m^2}{m^{11}}. \quad (2.30)$$

Демак, акустик тармоққа тегишли тебранишлар тұлқинлари чексиз узун бүлганида атомлар бир фазада тебранади, яғни $u'_n = u''_n$ бўлади. Оптик тармоқда эса бу ҳолда атомлар бир бирига қарши фазада тебранади, аммо уларнинг оғирлик маркази қаракатсиз қолади.

Биринчи тармоқ эластик акустик тұлқинларға мөс келади, шундан унинг номи келиб чиққан. Иккінчи тармоқ тебранишлари оптик жиҳатдан фаол, яғни улар инфрақызыл нурланишин ютиш ва чиқаришда қатнаша олади, шундан унинг номи келиб чиққан. Ҳақиқатан, агар кристалл элементар кататын иккита қарши ишорали ионлар бўлса, улар электрик диполдан иборат бўлиб, тебраниш жараёнида дипол моменти ўзгарып туради. Электродинамикада кўрсатилишича, ўзгарувчан моментни дипол нурланиш чиқара ва юта олади.

Б) Энг қисқа узунлукдагы тұлқинлар ҳолида

$$\lambda = 2a, q = \frac{2\pi}{\lambda} = \frac{\pi}{a}.$$

(2.22), (2.24) ифодалардан $\frac{u'_n}{u''_n}$ учун муносабат ҳосил қилинади.

Унинг $\beta_1 = \beta_2$ бўлгандаги таҳлили қўйилдаги натижаларни беради:

$$\begin{aligned} m''(m'') \text{ ҳолда акустик тармоқда} & \qquad u'_n = 0, u''_n \neq 0, \\ m'(m'') \text{ ҳолда оптик тармоқда} & \qquad u'_n \neq 0, u''_n = 0. \end{aligned} \quad (2.31)$$

Демак, энг қисқа $\lambda = 2a$ түлкін ҳолида акустик тармоқда енгил атомлар ұрақатсиз, оғирлари тебраниб туради, оптик тармоқда жаңа аксинча.

В) яна бир ҳолни, яъни $m' = m''$ ва $\beta_1 \rangle \beta_2$ ҳолни күрайлик. Юқоридағыда үшаш таҳлил оқибатида бу ҳолда

$$\left(\frac{u'_n}{u''_n} \right)_{ak} = 1 \text{ ва } \left(\frac{u'_n}{u''_n} \right) = -1. \quad (2.32)$$

Энг қисқа акустик түлкінде, бу ҳолда атомлар бир хил фазада тебранади. Оптик түлкінде жаңа қаршии фазаларда тебранади. Биз олдин агар (2.9) дисперсия муносабати бажарылса, (2.7) ифода чоңувчи түлкін (2.6) тенглама ечими бұлишлигини күрдік. Аммо (2.7) гармоник түлкінлар бу занжирчадаги атомларнинг энг умумий ұрақатини тавсифламайды. Бунинг учун (2.7) күриништеги мүмкін бұлған барча түлкінларнинг чизигій йүргіндесі олинини керак. Энг умумий ҳолда атомнинг силжиши

$$u_n = \sum_q \left\{ A_q e^{i(qan-\omega t)} + A_q^* e^{-i(qan-\omega t)} \right\} \quad (2.33)$$

Күриништеги ифодаланини керак. Агар G атомдан ташкил топған занжирча қаралса, у ҳолда:

$$u_n = \frac{1}{G} \sum_q \left\{ a_q e^{i(qan-\omega t)} + a_q^* e^{-i(qan-\omega t)} \right\} \quad (2.34)$$

Бұнда $a_q = \sqrt{G} e^{-i\omega t}$.

Атомлар занжирчасынинг кинетик энергияси $E_k = \frac{m}{2} \sum_{n=1}^N u_n^2$, по-

тенциал энергияси $E_n = \frac{\beta}{2} \sum_{n=1}^N (u_n - u_{n-1})^2$. (2.34) ифодадан фойдаланып занжирчанинг тұла энергиясина

$$E = E_k + E_n = 2m \sum_q \omega_q^2 a_q a_q^*$$

Күриништеги келтириледи. $x_q = a_q + a_q^*$, $p_q = \frac{m\omega_q}{i} (a_q - a_q^*)$ белгилешілар кирилса,

$$E = \sum_q \left\{ \frac{1}{2m} p_q^2 + \frac{1}{2} m\omega_q^2 x_q^2 \right\}. \quad (2.35)$$

x_q ва $p_q = m\dot{x}_q$ катталиклар нормал координаталар ва уларга күшма импуслар вазифасини бажаради. Демак, бир ўлчовли кристалл энг умумий ҳаракати тұла энергияси E нормал тебранишлар энергиялари йигиндиси сифатида ифодаланади.

2.3 Уч ўлчовли мураккаб кристалл панжараси атомлари тебранишлари

Бир ўлчовли (чизигий) кристалл панжараси атомлари тебранишларининг асосий хоссалари фазовий панжара атомлари тебранишларига ҳам тегишилдири. Аммо фазовий панжара тебранишларига хос хусусияттар мавжуд. Биз энди уч ўлчовли (фазовий) мураккаб кристаллни қарайлик. Унинг элементар катагида s та m_k ($k=1,2,\dots,s$) түрли массаларға эга бўлган атомлар бўлсин. k -атомнинг n -элементар катакдаги вазияти

$$\vec{r}_n^k = \vec{a}_n + \vec{r}^k \quad (2.36)$$

бўлсин, бунда $\vec{a}_n = n_1 \vec{a}_1 + n_2 \vec{a}_2 + n_3 \vec{a}_3$ — тўғри панжара вектори, \vec{r}^k — k -атомнинг элементар катак ичидаги вазиятини аниқловчи радиус-вектор. Шу k -атомнинг мувозанатий вазиятидан силжишини \vec{u}_{na}^k , унинг тўғри бурчакли координата системасидаги ташкил этувчиларини \vec{u}_{na}^k ($a = x, y, z$) деб белгилаймиз.

Кристалл ичидаги ажратиб олинган кўп G сонли зарраларни ўз ичига олган соҳанинг N элементар катагида $3sN$ та u_{na}^k силжишлар бўлади, силжишлар бўлмагандан $u_{na}^k = 0$, потенциал энергия E минимал (энг кичик) бўлади, яъни $\left(\frac{\partial E_{\text{ном}}}{\partial u_{na}^k} \right)_0 = 0$. Яна

$E_{\text{ном}}(u_{na}^k = 0) = 0$ деб ҳисоблаймиз. Бу ҳолда силжишлар функцияси бўлмиш $E_{\text{ном}}(u_{na}^k)$ потенциал энергияни u_{na}^k даражалари бўйича қаторга ёямиз:

$$E_{\text{ном}} = \frac{1}{2} \sum_{nn'kk'\alpha\beta} C_{\alpha\beta} \binom{kk'}{nn'} u_{n\alpha}^k u_{n'\beta}^{k'} + \frac{1}{6} \sum_{\substack{n'n'' \\ kk'' \\ \alpha\beta\gamma}} C_{\alpha\beta\gamma} \binom{kk'k'}{nn'n''} u_{n\alpha}^k u_{n'\beta}^{k'} u_{n''\gamma}^{k''} + \dots, \quad (2.37)$$

бунда,

$$\begin{aligned} C_{\alpha\beta} &= \left(\frac{\partial^2 E_{\text{ном}}}{\partial u_{n\alpha}^k \partial u_{n'\beta}^{k'}} \right) u_{n\alpha}^k = 0, \\ &\quad u_{n'\beta}^{k'} = 0; \\ C_{\alpha\beta\gamma} &= \left(\frac{\partial^3 E_{\text{ном}}}{\partial u_{n\alpha}^k \partial u_{n'\beta}^{k'} \partial u_{n''\gamma}^{k''}} \right) u_{n\alpha}^k = 0, \\ &\quad u_{n'\beta}^{k'} = 0, \\ &\quad u_{n''\gamma}^{k''} = 0. \end{aligned}$$

Гармоник тақрибда, яни атомлар ўзаро таъсир кучлари квази эластик деб ҳисобланган ҳолда (2.37) ёйилмада биринчи йигиндидан бошқа ҳамма ҳадларни ташлаб юбориш керак:

$$E_{\text{ном}} = \frac{1}{2} \sum_{nn'kk'\alpha\beta} C_{\alpha\beta} u_{n\alpha}^k u_{n'\beta}^{k'}. \quad (2.37')$$

Мазкур соҳа атомлари кинетик энергияси йигиндиси

$$E_{\text{кин}} = \frac{1}{2} \sum_{nka} m_k (u_{n\alpha}^k)^2. \quad (2.38)$$

Квадратик (2.37) кўринишида ифодаланган $E_{\text{ном}}$ дан силжиш буйича олинган ҳосила мос квази эластик кучни аниқлайди:

$$f_{n\alpha}^k = - \frac{\partial E_{\text{ном}}}{\partial u_{n\alpha}^k}.$$

Гармоник тақрибда қаралаётган атомларнинг классик ҳаракат тенгламалари, бинобарин,

$$m_k \frac{d^2 u_{n\alpha}^k}{dt^2} = - \frac{\partial E_{\text{ном}}}{\partial u_{n\alpha}^k} = - \sum_{\alpha\beta} C_{\alpha\beta} u_{n'\beta}^{k'}, \quad (2.39)$$

кўринишида бўлиб ($n=1,2,3,\dots,N$; $k=1,2,3,\dots,s$; $=x,y,z$), улар $3sN$ та номатъум $u_{n\alpha}^k$ учун $3sN$ та дифференциал тенгламалар системасини ташкил қўлади. Бу ҳолда ҳам тенгламалар ечимини

$$u_{n\alpha}^k = \frac{1}{\sqrt{m_k}} A_\alpha^k(q) e^{i(\varphi_{n\alpha} - \omega t)} \quad (2.40)$$

чопувчи тўлқинлар кўринишида тасвиirlаймиз.

$\frac{1}{\sqrt{m_k}} A_{n\alpha}^k$ — турли атомлар хили учун турли бүлган $\frac{1}{\sqrt{m_k}} A^k$ — ком-

плекс амплитуда ташкил этувчилари, $\vec{q} = \frac{2\pi}{\lambda} \vec{n}_o$ — түлкін вектор (\vec{n}_o - ясси түлкінгә нормалнинг бирлик вектори), $\omega = \omega(\vec{q}) = \omega_q$ - тақрорийлик.

Бу масалани ечишдан келиб чиқадиган асосий натижаларга тұхтalamиз:

А) Бир ўлчовли панжара төбраницешілари ҳолидагидек, \vec{q} ва $\vec{q}' = \vec{q} + \vec{b}_g$ (бунда тескари панжара вектори $\vec{b}_g = g_1 \vec{b}_1 + g_2 \vec{b}_2 + g_3 \vec{b}_3$) векторлар тавсифлайдын түлкінлар бир бири билан айнандыр, яни

$$u_{n\alpha}^k(\vec{q}') = u_{n\alpha}^k(\vec{q}). \quad (2.41)$$

Буни \vec{a}_n ва \vec{b}_g векторлар ташкил этувчилари орасидаги боғланишшілар асосида исботлаш осон. Демак, \vec{q} га боғлиқ бүлган барча қапталыклар лаврий үзгәради, бунда $\vec{a}_n = \vec{a}$, $\vec{b}_g = \vec{b}$, кичик қиymатларни қабул қылсақ, $\vec{q}' \vec{a}_i = \vec{q} \vec{a}_i + 2\pi$ тенглик келиб чиқади. Демак, фазовий панжара төбраницелерини таҳпил қылғанда $\vec{q}' \vec{a}_i$, нинг қиymатларини

$$-\pi \leq \vec{q}' \vec{a}_i \leq +\pi \quad (i = 1, 2, 3) \quad (2.42)$$

оралиқда қаралса бўлади. Бу учта тенгсизликлар q — фазодаги бирор ҳажмни ифодалайди. Уни биринчи Бриллюэн зонаси дейилади.

Кубик кристалл учун ($a_1 = a_2 = a_3$; $\vec{a}_1 \perp \vec{a}_2, \vec{a}_2 \perp \vec{a}_3, \vec{a}_1 \perp \vec{a}_3$) (2.42) тенгсизликлар учта

$$-\frac{\pi}{a} \leq q_a \leq +\frac{\pi}{a} \quad (2.43)$$

шаклни олади. Бу ҳолда биринчи Бриллюэн зонаси ҳажми $V_B = \left(\frac{2\pi}{a}\right)^3$ бўлади, бунда $V_o = a^3$ элементар катақ ҳажми. Бошқа кристалл панжара учун қишиңгандан ҳисоб ҳам худди шундай, яни

$V_B = \frac{(2\pi)^3}{V_a}$ ифодани беради (албатта, V_a — элементар катак ҳажми түрли панжаралар үчүн ҳар хил).

Б) (2.40) ечимларни (2.39) тенгламаларға құйсак, номағылум A^k амплитудалар учун $3sN$ та бир жинсли чизигий тенгламалар система-си ҳосил бўлади. Унинг маънили ечимлари мавжуд бўлиши учун но-матлумлар олдидағи кўпайтывчилардан тузилган аниқловчи (дегер-минант) нолга тенг бўлиши зарур.

Уни ечишдан ω^2 га нисбатан $3s$ да-ражали тенглама ҳосил бўлади. Бу тенгламанинг $3s$ ечимига мос равиш-да фазовий панжара атомлари тебра-нишларининг $3s$ тармоғи мавжуд бўлади.

Бу тармоқларнинг фақат 3 таси акустик, $3s$ -3 таси оптик тармоқлар бўлади.

Агар кристаллнинг элементар катагида 1 атом бўлса, фақат учта акустик тармоқ мавжул бўлади, агар элементар катакда 2 атом ($s=2$) бўлса, 3 та акустик ва 3 та оп-тик тармоқ бўлади ва ҳокозо.

Ҳар бир тармоқдаги түлқинларнинг бири бўйлама (I ёки L ҳарфи билан белгиланади), иккитаси кўндаланғ (t ёки T ҳарфи билан белгиланади) бўлади.

В) \vec{q} нинг функцияси бўлмиш ω_j ҳам даврий ўзгари:

$$\omega_j(\vec{q} + \vec{b}_g) = \omega_j(\vec{q}) \quad (2.44)$$

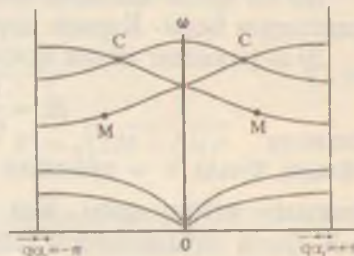
Бунда λj — ихтиёрий тармоқ белгиси.

Г) ω тақрорийлик \vec{q} нинг жуфт функцияси

$$\omega_j(-\vec{q}) = \omega_j(\vec{q}) \quad (2.45)$$

Бу ω_j ифодаларига \vec{q} нинг фақат жуфт даражалари киради демаклар.

Д) Брилиюэн зонасидаги ҳар бир тебранишлар тармоғи учун $\omega_j(\vec{q}) = const$ сиртлар ясаш мумкин. Бу бир хил тақрорийликни ёки бир хил энергияли $\hbar\omega_j(\vec{q}) = E(\vec{q})$ сиртларнинг тузилиши кристалл тўғри панжараси симметриясига муҳим даражада боғлиқ.



2.7-чизма. Уч үлчоқли панжара тебранишлари тармоқлари.

Е) 2.7- чизмадан күринишича, O , A , C ва C' нүқгаларда айниш мавжуд, яъни бу нүқгаларда бир неча тармоқлар кесишиади. Яна шуни айтиш керакки, $\omega, (\vec{q})$ нинг экстремумлари Бриллюэн зонаси мағкази ва чегараларида ҳам, унинг баъзи ички нүқгаларида (2.7- чизмада M ва M' нүқталарда) ҳам ўринли бўлиши мумкин.

Ж) Бу ҳолда ҳам кристалл асосий соҳаси сиртидаги чегаравий шартларни Борн- Карман шартлари билан алмаштирилади.

3) q -фазонинг кичик ҳажмига тўғри келган тебранишлар сони

$$dz = \frac{V}{(2\pi)^3} dV_q \quad (2.46)$$

бўлади, бунда V — кристалл соҳаси ҳажми, $dV_q = dq_x dq_y dq_z$ эса q -фазодаги кичик ҳажм. Бир тармоқдаги тебранишлар тўла сони $z=N$, барча тармоқлардаги тебранишлар тўла сони $z=3sN$, яъни асосий соҳа атомлари эркинлик даражалари сонига тенг (N — соҳадаги элементар ячейкалар сони, бир атомнинг эркинлик даражаси 3 та деб ҳисобланади).

2.4. Изотроп континуум тақрибида кристалларда тебранишлар ва тўлқинлар

Мазкур бобнинг муқаддимасида айтилганидек, кристалл панжара динамикасини тадқиқлашда иккинчи услуб — бу континуум тақриб бўлиб, унинг асосида қаттиқ жисм бир бутун эластик тулаш муҳитдан иборат деган фараз ётади. Бу тақриб кристалл панжараси доимийсиздан анча катта бўлган, яъни кристаллнинг атомлардан узилиши тузилишини ҳисобга олмаса бўладиган узуныликдаги тўлқинлар ҳолида энг яхши натижалар беради.

Биз қўйида ионлар кристаллида узун акустик ва узун оптик тўлқинлар ҳолларини кўриб чиқамиз:

А) Узун акустик тўлқинлар ҳолида континуал тақриб эластиклик назариясини қўллашга баробардир. Агар муҳитнинг r нүқтасида t вақтда силжишни $u(r, t)$ деб белгиласак, бир жинс, изотроп, эластик континуум учун ҳажмий кучлар йўқлигидаги ҳаракат тенгламаси

$$\rho \frac{\partial^2 \bar{u}}{\partial t^2} = (M + \Lambda) graddiv \bar{u} + M \nabla^2 \bar{u}, \quad (2.47)$$

бунда, M ва Λ — Λ амэ доимий коэффициентлари, ρ — бир жинсли континуумнинг доимий зичлиги (бу тенглама ҳажм бирлиги учун ёзилган, унинг ўнг томони эластиклик кучларини ифолайди). Эластиклик назариясидан маълумки, $\operatorname{div} \vec{u} = \theta$ — ҳажмнинг \vec{r}

нуқтада $\Delta V/V$ нисбий ўзгариши (қисилиши), $\frac{1}{2} \operatorname{rot} \vec{u} = \bar{\phi}$ эса ўша нуқтада ҳажм элементининг бир бутун сифатида бурилиш бурчаги. (2.47) тенгламанинг ҳар икки томонида дивергенция (div) амалини бажарсак, θ қисилиш учун

$$\frac{\partial^2 \theta}{\partial t^2} = V_i^2 \nabla^2 \theta \quad (2.48)$$

тўлқин тенглама оламиз, бунда $V_i = \sqrt{(2M + \Lambda)/\rho}$ қисилиш тўлқинлари тезлиги.

(2.47) тенгламанинг ҳар икки томонида ротор (rot) амалини бажарсак, буралиш бурчаги ϕ учун

$$\frac{\partial^2 \bar{\phi}}{\partial t^2} = V_i^2 \nabla^2 \bar{\phi} \quad (2.49)$$

тўлқин тенглама ҳосил қиласиз, бунда $V_i = \sqrt{\frac{M}{\rho}}$ буралиш тўлқинлари тезлиги. $V_i > V$, эканлиги равшан, чунки биринчи ҳолда иккинчи ҳолга нисбатан эластиклик қаршилиги каттадир.

Шу ерда таъкидлаш керакки, Юнг модули ёки бўйлама эластиклик модули E билан M ва Λ орасида (изотроп моддада) кўйидаги боғланиш бор: $E = \frac{M(3\Lambda + 2M)}{M + \Lambda}$. Бошқа эластиклик модуллари ҳам ўзаро боғлик, моддада мустақил эластиклик модуллари иккита (M ва Λ ёки E ва v , кейинги модулни Пуассон коэффиценти дейилади: $v = \frac{\Lambda}{2(M + \Lambda)}$). У намуна кўндаланг ўлчамиининг нисбий ўзгаришини бўйлама ўлчами нисбий ўзгаришига нисбатини билдиради.).

х ўқи бўйлаб тарқалаётган ясси тўлқинни қарайлик.

$$\vec{u} = \vec{A} \sin(\omega t - qx). \quad (2.50)$$

Бундан:

$$\theta = \operatorname{div} \vec{u} = -A_x(q) \cos(\omega t - qx). \quad (2.51)$$

$$\text{ва } \vec{\varphi} = \frac{1}{2} \rho \omega \vec{u} = -A_y \vec{j}_0 \left(\frac{q}{2} \right) \cos(\omega t - qx) + A_z \vec{k}_0 \left(\frac{q}{2} \right) \cos(\omega t - qx), \quad (2.52)$$

бундаги \vec{j}_0 ва \vec{k}_0 -у ва z үкілар бирлик векторлари. (2.51) дан күри-нишича, қисилиш тұлқиншары құндаланған тұлқинлардир.

(2.48) тенглама ва (2.49) тенгламанинг $\vec{\varphi}$ ташкил этувчилари учун күриниши бир хил, шунинг үчүн (2.48) тенгламани қараб чиқиши кифоя. О қисилиш тұлқинларини L қирралы кубда қараймиз. x , y , z координаталар үкіларини кубнинг қирралари буйлаб йұналтирамиз. Чегаравий шартларни барча 6 та куб ёқида ($x=y=z=0$; $x=y=z=1$) $\theta=0$ бўлсин деб танлаймиз. (2.48) ечимини

$$0 = A \sin(\omega t) \sin(ax) \sin(by) \sin(cz) \quad (2.53)$$

куриниша қидирамиз. (2.53) ни (2.48) га қойсак,

$$\omega = v_i \sqrt{a^2 + b^2 + c^2}. \quad (2.54)$$

Чегаравий шартларни қаноатлантириш учун

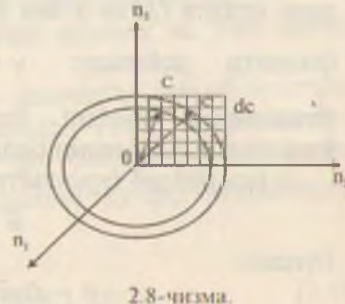
$$aL = n_1\pi, \quad bL = n_2\pi, \quad cL = n_3\pi \quad (2.55)$$

деб олиш керак, бунда n_1, n_2, n_3 – бутун мусбат сонлар ёки нол; (2.55) ни (2.54) ифодага құямыз:

$$\omega = \frac{\pi v}{L} \sqrt{n_1^2 + n_2^2 + n_3^2}. \quad (2.56)$$

n_i сонларнинг ҳар бир училигига муайян ω такрорийликли битта нормал тебраниш мос келади.

Агар n_1, n_2, n_3 сонлар катта бўлса, тебранишлар тұлқин узунлиги L дан анча кичик бўлади, бу ω такрорийлик N сонларга худди узлуксиз равишда боғланғандай бўлади. $n_1^2 + n_2^2 + n_3^2 = C^2$ белгилаш киритсак, $\omega = \frac{\pi v}{L} C$. 2.8-чизмада тасвирланган куб панжара (бунда фақат (n_2, n_3) текисликдаги тугунлар келтирилган) тугунларининг ҳар бирига



үчтә n_1, n_2, n_3 соң түгри келәди. Аммо панжаранинг ҳар бир түүнүнга биттә нормал төбәранин мөс түнәди. n_i сонлар катта бүлгәни ҳолда $\omega, \omega + d\omega$ тақроријлик оралигига түгри келгән төбәранишлар соңынан аниқтаймиз. Бу соң координат оқшандығы ($C, C+dC$) сферик қатламдагы түгүндөр сөннүнгө тенг. Демак, $(\omega, \omega + d\omega)$ оралиқка мөс келгән бүлгәннама төбәранишлар сөннүн

$$g(\omega)d\omega = \frac{4\pi C^2 dC}{8} = \frac{V}{2\pi^2 v_n^3} \omega^2 d\omega. \quad (2.57)$$

(2.49) төңгіламада $\vec{\varphi}$ векторинин ташкылт этүвчіларына нисбетен ҳам бу ҳисоб түгри, аммо бунда иккита ташкылт этүвчи бүлгәннама үчүн төбәранишлар сөннүн ҳам икки марта ортиқ:

$$g_r(\omega)d\omega = \frac{2V}{2\pi v_n^3} \omega^2 d\omega. \quad (2.58)$$

Тақроријликтер тұла тақсимоти функциясын

$$g(\omega) = g_r(\omega) + g_t(\omega) = \frac{3V}{2\pi^2 v_n^3} \omega^2. \quad (2.59)$$

Бүнде

$$\frac{1}{v_n^3} = \frac{1}{3} \left(\frac{1}{v_1^3} + \frac{2}{v_2^3} \right). \quad (2.60)$$

v_0 - уртаса төвүш тәзелігі.

Б) Эңди континуалт тақрорибда ионлар кубик кристалдана узун оптик туяқтар тарқатынын масаласынан қарағайтык. Фараз қолимиз: ионлар кубик кристалди ҳар бир ячейкесида $\pm e^*$ әффектив заряды m_+ ва m_- массалы иккита түрли иемли ионлар бор булсек. Узун оптик төбәранишлар соңасынан ионларинин барча ячейкесилердеги ҳаракатынан биридей, шунинг учун бир ячейкеси ионлар ҳаракатинин текширилген кифоя.

m_+ ва m_- мөс ишоралы ионлар сиптіжини бүлса, у ҳолда

$$m_+ \frac{d^2 \bar{u}_+}{dt^2} = -\beta(\bar{u}_+ - \bar{u}_-) + e^* E_+, \quad (2.61)$$

$$m_- \frac{d^2 \bar{u}_-}{dt^2} = -\beta(\bar{u}_- - \bar{u}_+) + e^* E_-. \quad (2.62)$$

Бүнде E - ионга ташқы майдон ва кристалдинг босқа ионларынан ишер әтувий әффектив электрик майдон. β -көзги

эластик күч коэффициенти. Юқорилаги икки тенгламани бирбiriдан айирысак,

$$m_r \frac{d^2 \bar{s}}{dt^2} = -\beta \bar{s} + e^* \bar{E}_c. \quad (2.63)$$

Бунда, $\bar{s} = \bar{u}_+ - \bar{u}_-$, $m_r^{-1} = m_+^{-1} + m_-^{-1}$.

Электролинамикадан маълумки, ионлар кубик кристаллида эфектив майдон

$$\bar{E}_c = \bar{E} + \frac{4\pi}{3} \bar{P}, \quad (2.64)$$

бунда \bar{E} — диэлектрикдаги ўртача майдон, кутбланиш вектори

$$\bar{P} = N_e [e^* \bar{s} + \alpha \bar{E}_c], \quad (2.65)$$

N_e — кристалтнинг бирлик ҳажмидаги ячейкалар сони $\alpha = \alpha_+ + \alpha_-$ — электрон кутбланувчаник. (2.64) ифодани (2.65) га қўйсак.

$$\bar{P} = N_e \frac{[e^* \bar{s} + \alpha \bar{E}]}{1 - \frac{4\pi N_e}{3} \alpha} \quad (2.66)$$

Бевосита ўлчанимни диган α катталиқни чиқариб ташлаш учун электрик индукция вектори ифодаси $\bar{D} = \bar{E} + 4\pi \bar{P} = \epsilon \bar{E}$ дан фойдаланамиз, бундан $\bar{P} = \frac{\epsilon - 1}{4\pi} \bar{E}$. Юқори тақрорийлик майдонда ($\omega \rightarrow \infty$) ионлар унинг кетидан улгуриб боролмайди, шунинг учун $s \rightarrow 0$ бўлади. Бу ҳолда,

$$\alpha = \frac{\epsilon_\infty - 1}{\frac{4\pi N_e}{3} (\epsilon_\infty + 2)}, \quad (2.67)$$

ва

$$\bar{P} = N_e \frac{e^* (\epsilon_\infty + 2)}{3} \bar{s} + \frac{\epsilon_\infty - 1}{4\pi} \bar{E} \quad (2.68)$$

(2.64) ва (2.68) ифодалардан фойдалансак,

$$m_r \frac{d^2 \bar{s}}{dt^2} = -m_r \omega_0^2 \bar{s} + \frac{e^* (\epsilon_\infty + 2)}{3} \bar{E}, \quad (2.69)$$

бундаги

$$\omega_0^2 = \left(\frac{\beta}{m_r} \right) - \frac{4\pi N_0 e^{*2} (\varepsilon_{\infty} + 2)}{9m_r} . \quad (2.70)$$

«Нормалланган» четланиш $\vec{w} = \sqrt{N_0 m_r} \vec{s}$, статик диэлектрик поимий $\varepsilon_0(\omega \rightarrow 0)$, янын $\varepsilon_{\infty} - \varepsilon_0 = \frac{N_0}{m_r} e^{*2} \frac{4\pi(\varepsilon_{\infty} + 2)^2}{9\omega_0^2}$ (2.71) киритилса, (2.69) тенглама

$$\frac{d^2 \vec{w}}{dt^2} = -\omega_0^2 \vec{w} + \omega_0 \sqrt{\frac{\varepsilon_0 - \varepsilon_{\infty}}{4\pi}} \vec{E} \quad (2.72)$$

куринишга келади ва

$$\vec{P} = \omega_0 \sqrt{\frac{\varepsilon_0 - \varepsilon_{\infty}}{4\pi}} \vec{w} + \frac{\varepsilon_{\infty} - 1}{4\pi} \vec{E} \quad (2.73)$$

булади.

Ионлар ҳаракатини таҳдил қилиш учун

$$\vec{w} = \vec{w}_t + \vec{w}_i \quad (2.74)$$

ва

$$div \vec{w}_t = 0, rot \vec{w}_t = 0 \quad (2.75)$$

деб оламиз. Бу ҳолда (2.72) ни

$$\frac{d^2}{dt^2} (\vec{w}_t + \vec{w}_i) = -\omega_0^2 \vec{w}_t - \omega_0^2 \frac{\varepsilon_0}{\varepsilon_{\infty}} \vec{w}_i \quad (2.76)$$

куринишга келтириб, уни иккитага ажратамиз:

$$\frac{d^2 \vec{w}_t}{dt^2} = -\omega_0^2 \vec{w}_t, \quad (2.76')$$

$$\frac{d^2 \vec{w}_i}{dt^2} = \omega_0^2 \frac{\varepsilon_0}{\varepsilon_{\infty}} \vec{w}_i. \quad (2.76'')$$

Атап \vec{w}_t ва \vec{w}_i ни $\hat{A} \exp[i(qr - \omega t)]$ ясси түлқин күринишида піспирдисек $\omega_t = \omega_0$ ва $\omega_i = \left\{ \frac{\varepsilon_0}{\varepsilon_{\infty}} \right\} \omega_0$ келиб чиқади. Иккитчи томондан, (2.75) шарттарға күра,

$$\begin{aligned} div \vec{w}_t &\ll \hat{A} \vec{q} = 0, \\ rot \vec{w}_i &\ll \left[\hat{A}_i \vec{q} \right] = 0 \end{aligned} \quad (2.77)$$

Бундан $\vec{A}_\parallel \perp \vec{q}$ (солиноидал \vec{w} , түлкін күндаланғ), $\vec{A}_\parallel \parallel \vec{q}$ (потенциал түлкін бүйлама) эканлигини курамыз.

$$\frac{\omega}{\omega_0} = \sqrt{\frac{\epsilon_0}{\epsilon_\infty}} \quad (2.78)$$

Иисебатни Линдцен - Сакс - Теллер мұносабати дейилади.

$\epsilon_0/\epsilon_\infty$ бұлганидан бүйлама түлкінлар тақрорийлігі ω , күндаланғ түлкінларининг ω , дан катта. Тажрибада ω , ни үлчаң осон, шунинг учун (2.78) ифодадан ω_0 ни анықташ учун фойдаланыши мүмкін.

2.5. Кристалл панжараси тебранишларининг квантлануши.

Фононлар

Кристалл атомлари тебранишларини бошқа усул билан, айнан корпускуляр (зарраяны) нүктәи назардан қараб чиқиши ҳам мүмкін. Түлкінларининг зарравий хоссалари кристалл атомларининг ҳар қандай тақрорийліктердеги тебранишлари энергиясининг энг үлчесінде (квантты) мавжуд булиши мүмкін. Бу хосса кристалл панжараси уз тебранишлари энергиясининг бир квантини (бальзам кетма-кет бир неча квантини) береди ва шу квант миқдорича энергияни олади. Демек, кристалл панжараси тебранишлари энергияси квантланған болади. Худи ёруглик түлкінини ёруглик квантлары — фотонлар оқымы сифатыда тасвирланғанига үшаш, кристалл панжараси тебранишлари энергиясы кванттыға ва унға мөс квази импульсига зерттеуден көрсетілген. Фонон сүзи төвөш заррасы деган мағынени аңлатади. Фононнинг энергиясы $\epsilon_q = h\omega_q$ булиб, уннан квази импульс $\vec{p}_q = \hbar\vec{q}$ ва у төвөш тәсілінде қаралады. \vec{p}_q векториниң квази импульс деб айттилишинини бөлсөн шуки, биринчидан, ҳар қандай квази зарралар каби фононлар ҳақиқииттік зарралардан ташкил етілген системалардагына мавжуд болады. Фононлар фәқат кристаллардагына мавжуд болып, улар кристаллдан (масалан, бүштиққа) чиқиб кета олмайды. Ҳақиқииттік зарралар — электронлар, атомлар және кристаллдан чиқиб кетиб, ундан ташқарыда

мавжуд бұла олади. Иккинчидан, квази зарралар тұқнашғанда квази импульс сақланмайды. Фононлар эса үзаро тұқнашиб йүк бұлади, бунда тұқнашған фононлардан энергияси фарқ қилады, бошқа такрорийликли янги фонон туғилади.

Эркін зарранинг энергияси зарра импульси йұналишига болғықмас, квази зарранинг энергияси эса (кристаллда атомлар дәнірій жойлашғанлығы туфайлы) квази импульсга даврий болғанған.

Фононлар спин моментлари бүлмаган зарралар сифатыда Боз-Эйнштейн статистикасига бүйсунади. Бинобарин, фононларнинг ω_q такрорийликли, $\hbar\omega_q$ квант энергиялы ҳолатдаги сони Планк ифодаси билан ифодаланади:

$$N_q = \frac{1}{kT} \left[\exp \frac{\hbar\omega_q}{kT} - 1 \right]. \quad (2.79)$$

Шу ҳолатдаги барча фононлар энергияси:

$$E_q = \hbar\omega_q N_q = \hbar\omega_q \left[\exp \frac{\hbar\omega_q}{kT} - 1 \right]. \quad (2.80)$$

Одатда ушбу энергияга яна нол энергия деб аталадын ҳад құшилади, унда

$$E_q = \frac{\hbar\omega_q}{2} + \left[\frac{\hbar\omega_q}{\exp \frac{\hbar\omega_q}{kT} - 1} \right]. \quad (2.81)$$

Кристалл атомлари тебранишлари такрорийликлари оралығыннан ёки фононларнинг энергетик спектрини аниқтайтын. Бунда тебранишлар такрорийлигі $\omega_q = 0$ дан бошланиб, уларнаннан әңг катта такрорийлигі ω_m мавжуд, бунда тебраниш такрорийликлари сони (танланған тармоқ учун) N атомдан иборат кристалда $3N$ га теңг бұлади. Такрорийликлар тақсимоти зичлиги учун (2.59) ифоданы қабул қылсақ, у ҳолда

$$\int_0^{\infty} g(\omega) d\omega = 3N. \quad (2.82)$$

Максимал ω_m тақрорийлик ўрнига тавсифиي температура тушунчасини киритилади:

$$\theta = \hbar \omega_m / k . \quad (2.83)$$

Бу θ температурани Дебай температураси дейилади. Максимал тебранишлар тақрорийликлари ω_m ва бинобарин θ түрли қаттиқ жисмлар учун турличадыр.

2.1 – жадвал

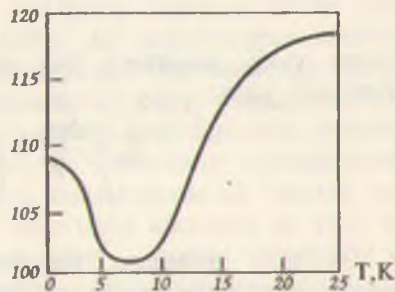
Кристаллар	Тузилиши	θ, K
Мис	ё.м.куб	365
Алюминий	ё.м.куб	438
Натрий	х.м.куб	164
Магний	Гексагон	290
Fe	х.м.куб	478
Ni	ё.м.куб	446
Ge	Олмос	377
Si	Олмос	674

Дебай температураси тушунчаси қаттиқ жисм физикасининг кўп масалаларида фойдаланилади.

Тажрибанинг кўрсатишича, θ Дебай температураси мутлақ T температурага боғлиқ равишда бир мунча ўзгаради. Кўпчилик кристаллар учун бу боғланиш унча сезиларли эмас, аммо баъзи ҳолларда у сезиларли бўлади. Масалан, метал In учун келтирилган 2.9-чиизмада паст температураналар соҳасида Дебай температураси $\theta(T)$ ҳатто минимумга эга бўлади. θ эластиклик доимийларига боғлиқ. Кучли атомлараро таъсирили (олмос) кристалларда θ нинг қиймати юқори.

Ө нинг ҳар хил усул билан аниқланган қийматлари ҳам бирбиридан фарқ қиласиди.

Дебай температураси юқори ($T > \theta$) ва паст ($T < \theta$) температура соҳаларини ажраттиб туради. Юқори температураларда мумкин



2.9-чиизма. Дебай θ температурасининг мутлақ T га боғланиши.

бұлған барча тақрорийликдаги тебранишлар мавжуд бұлади, паст температураларда эса T га қараб мұайян оралиқдаги тебранишларғина уйғонған бұлади, T пасайыб борган сайин уйғонған тебранишлар оралиғи торайыб (кичик тақрорийликтер томон) боради. Бұ қаттық жисмлар хоссаларини аниқлашда мұхимдір.

Масалалар ва саволлар

1. Кристалл панжараси доимийсі $a = 3 \cdot 10^{-10} \text{ м}$, $\lambda = 10a$ бұлған ҳол учун, чизигүй содда панжара учун ϕ тақрорийликни ҳисобланг.
2. $a = 3 \cdot 10^{-10} \text{ м}$, $\beta = 3 \text{ м}^2 \cdot \text{кг}/\text{с}^2$, $m = 10^{-26} \text{ кг}$ ҳолда чизигүй панжарада товуш тезлиги қандай бұлади?
3. $q = \pi/2a$ бұлғанда фазавий ва гурүхий тезликтер нисбатини аниқланг?
4. $\beta_1 = \beta_2 = \beta$, $m' = m'' = m$ бұлғанда икки хил атомлы панжаралар төбәранишлари тақрорийлігі қандай ифодаланади?
5. Атомлар төбәранишлари тармоқлары номлары қандай асосда келиб чиқкан?
6. Уч үлчөвли (фазовий) кристалл панжараси ҳолида төбәранишларни гармоник тақрибда қараш учун потенциал энергия күрениши қандай бұлади?
7. Биринчи Бриллюэн зонаси ұажмини аниқланг. Кубик панжара учун $a = 3 \cdot 10^{-10} \text{ м}$ деб ҳисобланг?
8. Атомистик ва континуал услублар тафовутини түшүнтириңг.
9. Фононларнинг фотонлардан тафовутлары қандай?
10. Дебай температураси нимани ифодалайди? У T температуралықта болғылғы?

III БОБ

ФИЗИК СТАТИСТИКА ҚОНУНЛАРИ

Жуда күп сонли зарралардан (молекулалар, атомлар, электронлар ва ҳоказолардан) таркибланган системалар бўлмиш макроскопик жисмларнинг хоссаларини таркибидаги зарралар хоссалари ва ўзаро таъсири асосида ўрганадиган физика булимини *статистик физика* дейилади.

Қаттиқ жисмлар жуда күп микрозарралардан тузилганлиги маълум. Шунинг учун қаттиқ жисм физикасини ўрганиш давомида статистик қонуниятлар муҳим ўрин тутади, бинобарин, улар ҳақида, ҳеч бўлмагандан, асосий маълумот билан танишиш албатта зарур.

Кўп зарралардан таркибланган система зарраларининг ҳар бир вақт моментидаги координата ва тезликларини билиш амалда бажариб бўлмайдиган масала булигина қолмасдан, бундай маълумот макросистема хоссаларини аниқлаш имконини бермайди.

Бундай системаларни тадқиқлашда эҳтимоллик тушунчасига асосланган статистик қонуниятлар билан иш кўрилади. Эҳтимоллик тасодифий ҳодисаларга (воқеаларга) тегишли бўлади. Масалан, идеал газ молекулаларининг тўқнашишлари ва унинг айни пайтда қандай тезликка (импульсга, энергияга) эга бўлишлiği тасодифий воқеалир. Тасодифий воқеалар мувайян эҳтимоллик билан юз беради. Бирор катталиктинг бирор сон қийматига эга бўлишлiği тасодифий воқеа бўлади. Бундай катталикларни тасодифий катталиклар дейилади. Молекуланинг тўқнашишини тасодифий воқеа дедик, бунда унинг тезлиги ҳам тасодифан ўзгаради, демак тезлик тасодифий катталиkdir.

Баъзи бир физик катталиклар тасодифий бўлгани ҳолда узлуксиз ёки узилишли қийматлар спектрига эга булиши мумкин.

Статистик назариялар асосан тасодифий воқеаларнинг ўинни эмас, балки уларни тавсифлайдиган тасодифий каттагиларни тадқиқ қиласи.

Бирор тасодифий воқеа N та синовда n_i марта юз берса, математик эҳтимоллик

$$W_i = \lim_{N \rightarrow \infty} \frac{n_i}{N}. \quad (3.1)$$

кўринишда ифодаланади.

Физикада тасодифий катталик кўпинча вақт ўтиши билан ўнгариб боради. У ҳолда системанинг бирор ҳолатда бўлишлик эҳтимоллиги

$$W = \lim_{T \rightarrow \infty} \frac{\Delta t}{T}, \quad (3.2)$$

бунда T — кузатиш тўла вақти, Δt — системани мазкур ҳолатда бўлиш вақти.

Эҳтимоллик назариясида, статистикала тақсимот функцияси тушунчаси марказий ўрин тутади.

Тасодифий катталик бир-бирига яқин жуда кўп қийматларга (узлусиз спектрга) эга бўлиши мумкин. Бу ҳолла шу катталикнинг мумкин бўлган қийматларининг қандайдир орнлигидаги қийматларга эга бўлиш эҳтимоллиги ҳақида гапирини мумкин. Масалан, x катталикнинг (молекула координатасининг) x , $x+\Delta x$ оралиқда бўлиш эҳтимоллиги $\Delta W(x)$ орқали белгиланади. Агар бу эҳтимоллик чексиз кичик dx оралиқда қарашса, уни $dW(x)$ орқали белгиланади. $dW(x)$ эҳтимоллик x нинг қиймати функцияси $f(x)$ бўлади ва dx оралиққа пропорционал бўлади:

$$dW(x) = f(x)dx. \quad (3.3)$$

Демак, мазкур тасодифий катталикнинг эҳтимолликларининг бирча қийматлари тақсимотини $f(x)$ функция тавсифлайди, уни тақсимот функцияси ёки эҳтимоллик зичлиги дейилади:

$$f(x) = dW(x)/dx \quad (3.4)$$

Бу тақсимот функциясининг турли ҳоллардаги кўринишини ишқилик статистик физиканинг асосий вазифасидир.

Тасодифий катталиктининг барча имконий қийматлари эҳтимолликлари йигиндиси (интегралы) ишончли воқеа эҳтимоллигига, яъни 1 га тенг бўлади:

$$\sum_i W_i(x) = 1 \quad \text{ёки} \quad \int_{-\infty}^{+\infty} f(x) dx = 1 \quad (3.5)$$

Бу ифодани нормалаш (меъёrlаш) шарти дейилади.

Тасодифий катталиктининг ўртача қийматларини аниқлаш жуда муҳим масала, чунки статистика ҳисоблаб чиқадиган ўртача катталиклар термодинамик (макроскопик) системалар ҳолатини аниқлайдиган катталикларга тенг бўлади. Шу тарзда статистик физика термодинамик катталикларнинг физик маъносини туширитиради.

3.1. Тасодифий катталикларнинг ўртача қийматлари

Тасодифий x катталиктин N та синовда (кузатишда) w_1 эҳтимоллик билан n_1 марта x_1 қийматни, w_2 эҳтимоллик билан n_2 марта x_2 қийматни ва ҳоказо, ниҳоят, w_k эҳтимоллик билан n_k марта x_k қийматни оладиган бўлсин. У ҳолда N та синовда x тасодифий катталиктин оладиган қийматлар йигиндиси

$$x_1 n_1 + x_2 n_2 + \dots + x_k n_k,$$

бир сиповга тўғри келадиган ўртача қиймат

$$\bar{x} = \frac{x_1 n_1 + x_2 n_2 + \dots + x_k n_k}{N} \quad (3.6)$$

N катта бўлса, \bar{x} бирор тайинли лимитга (чегаравий қийматга) интилади:

$$\lim_{N \rightarrow \infty} \bar{x} = x_1 \lim_{N \rightarrow \infty} \frac{n_1}{N} + x_2 \lim_{N \rightarrow \infty} \frac{n_2}{N} + \dots + x_k \lim_{N \rightarrow \infty} \frac{n_k}{N}. \quad (3.7)$$

Одатда N жуда катта деб ҳисобланиб, ўртача қиймат

$$\bar{x} = \sum_{i=1}^k x_i w_i \quad (3.7')$$

кўринишда ифодаланади.

Агар тасодифий қатталиқ (масалан, газ молекуласы төзүнүү) узлуксиз ўзгарадиган бўлса (3.7¹)даги интеграл билан алмаштирилади:

$$\bar{x} = \int_{-\infty}^{+\infty} x dw(x) = \int_{-\infty}^{+\infty} xf(x)dx. \quad (3.8)$$

x тасодифий қатталикининг квадрати ўртачаси қўйылғи ифодалар бўйича топилади:

$$\left(\overline{x^2} \right) = \sum_{i=1}^k x_i^2 w_i \quad \text{ёки} \quad \left(\overline{x^2} \right) = \int_{-\infty}^{+\infty} x^2 f(x)dx. \quad (3.9)$$

Шунинидек, x нинг $F(x)$ функцияси ўртачаси ҳам ҳисобланниши мумкин:

$$\begin{aligned} \overline{F} &= \sum_{i=1}^k F(x_i)w_i \quad \text{ёки} \\ \overline{F} &= \int_{-\infty}^{+\infty} F(x)f(x)dx \end{aligned} \quad (3.10)$$

Жуда кўп ҳолларда ўртача қийматдан четланишларни қўраш керак бўлди. Аммо, ўртача четланиш ҳамма вақт нол қиймат беради:

$$(x - \bar{x}) = \int_{-\infty}^{+\infty} (x - \bar{x})f(x)dx = \int_{-\infty}^{+\infty} xf(x)dx - \bar{x} \int_{-\infty}^{+\infty} f(x)dx = \bar{x} - \bar{x} = 0. \quad (3.11)$$

Ўртачадан четланиш квадратининг ўртачасини тасодифий қатталикининг дисперсияси дейилади:

$$\overline{\Delta x^2} = \sum_{i=1}^k (x_i - \bar{x})^2 w_i \quad \text{ва} \quad \overline{\Delta x^2} = \int (x - \bar{x})^2 f(x)dx. \quad (3.12)$$

Бу ифоданинг иккаласи ҳам

$$\overline{\Delta x^2} = \overline{(x - \bar{x})^2} = \overline{x^2} - \bar{x}^2 \quad (3.12')$$

курининга келади.

Дисперсиядан олинган квадрат идиини, физик қатталиктар қаралтида, флюктуация дейилади:

$$\sqrt{\Delta x^2} = \sqrt{\sum_{i=1}^k (x_i - \bar{x})^2 w_i} \quad \text{если} \quad \sqrt{\Delta x^2} = \sqrt{\int_{-\infty}^{+\infty} (x - \bar{x})^2 f(x) dx} \quad (3.13)$$

3.2. Тақсимот функциялари мисоллари

Статистиканинг асосий вазифаларидан бири тасодифий катталиклар тақсимот функцияларини аниқлашадир. Биз бир неча мисоллар билан чегараланимиз.

1. *Пуассон тақсимоти.* Бу тақсимот, масалан, мазкур ҳажмдаги молекулалар сони ёки муайян вақтда бугланиб кетган зарралар миқдорини тасвирлайди. Унинг кўриниши:

$$w(x) = (a^x / x!) e^{-a}. \quad (3.14)$$

Бундаги a тасодифий x катталиктининг ўртача \bar{x} кийиматларини ифодалайдиган ўзгармас сон: $a = \bar{x}$.

2. *Экспоненциал тақсимот.* Бундай тақсимот, масалан, радиоактив парчаланиш, релаксацион ҳодисалар, молекулалар сонининг баландлик бўйича ўзгаришини текширилганда ўринли бўлади. Унинг кўриниши:

$$f(x) = \text{const } e^{-\alpha x} \quad (0 \leq x < \infty) \quad (3.15)$$

Нормалаш шартидан $\text{const} = \alpha$, бинобарин,

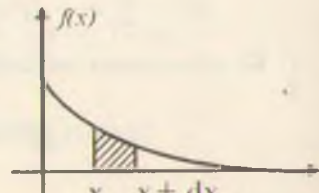
$$f(x) = \begin{cases} \alpha e^{-\alpha x}, & (0 \leq x < \infty \quad \text{да}); \\ 0, & (x, -\infty < x < 0 \quad \text{да}), \end{cases} \quad (3.15^1)$$

Бундай тақсимот учун $\bar{x} = \frac{1}{\alpha}$, шунинг учун

$$f(x) = \frac{1}{\bar{x}} e^{-\frac{x}{\bar{x}}} \quad (3.15^2)$$

3. *Гаусс тақсимоти.* Бу тақсимот католиклар назариясида, газда тезликлар проекциялари тақсимланишида, броун ҳаракатида учрайди. Унинг кўриниши:

$$f(x) = \text{const } e^{-\beta x^2}. \quad (3.16)$$



3.1-чи жма. Экспоненциал тақсимот графиги.

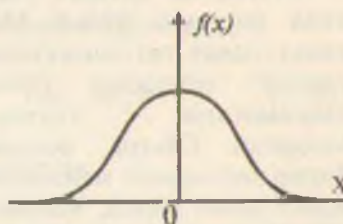
Нормалаш шарти $\text{const} = \sqrt{\frac{\beta}{\pi}}$ ни, ўртачалаш $\overline{x^2} = \frac{1}{2} \beta$ қийматларни беради ва узил-кесил Гаусс тақсимоти

$$f(x) = \sqrt{\frac{1}{2\pi\beta}} e^{-\frac{x^2}{\beta^2}} \quad (3.16)$$

күринишни олади.

4. Делта - функция. $\delta(x-x_0)$ күринишда белгиланадиган бу функция $x=x_0$ нүктедан бошқа барча нүкталарда нолга тенг ва 1 га нормаланган.

$$\int_{-\infty}^{+\infty} \delta(x - x_0) dx = 1, \quad (3.17)$$



3.2-чизма. Гаусс тақсимоти графиги.

$$\int_{-\infty}^{+\infty} F(x) \delta(x - x_0) dx = F(x_0). \quad (3.18)$$

Бунда

$$f(x) = \delta(x - x_0). \quad (3.19)$$

Бу күрилгандардан бошқа функциялар ва тақсимот қонууллари математика ва физикада күп учрайди.

3.3. Бир неча тасодифий катталиклар учун тақсимот функцияси

Учта x, y, z мустақил тасодифий катталиктар инг бир вақтда dx, dy, dz оралиқларда бўлиш эҳтимоллиги

$$dW(x, y, z) = dW(x)dW(y)dW(z) = f(x)f(y)f(z)dx dy dz, \quad (3.20)$$

тақсимот функцияси

$$f(x, y, z) = f(x)f(y)f(z) = \frac{dW(x, y, z)}{dx dy dz}, \quad (3.21)$$

и та мустақил тасодифий катталиклар учун тақсимот функцияси n -ўлчовли

$$f(x, y, \dots, t) = f(x)f(y)\dots f(t) \quad (3.22)$$

бұлади. Бу функциялар учун оллингидек нормалаш шарты ёзилади, үртаса көттәликтарни топиш қоидалари үринди бұлади.

3.4. Максвелл тақсимоти

Статистик физика тарихда биринчи бұлиб Максвелл идеал газ молекулаларининг тезликтер бүйічка тақсимотини көлтириб чиқарған. Сүнгра, Болцман бирор потенциал майдондаги идеал газни қараб, Максвелл тақсимотини бу ҳолга табиқтаган. Бу тақсимотлардан айрим ҳолларда қаттық жисм физикасида ҳам самарағынан пайдаланилади. Шу сабабдан бу тақсимотлар билан танишиш керак бұлади.

Маълумки идеал газ молекулалари масофада үзаро таъсирлашмайдын, тартибсиз ҳаракатдагы әркін зарралар бұлиб, улар тұқнашғанлардагина эластик үзаро таъсир юз беради. Газ мувозанатда деб ҳисоблаймиз.

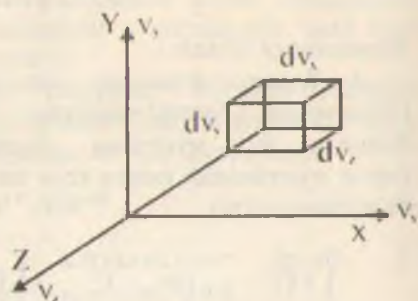
Тезликтер фазосида молекуланың тезлигі Ox үк бүйічка ташкил этиудининг $v_x, v_x + dv_x$ оралиқда бұлиш әхтимоллигиге:

$$dW(v_x) = f(v_x^2) dv_x \quad (3.23)$$

бұлади, бунда $f(v_x^2)$ тақсимот функциясы v_x нинг көттәлигига бағытталған болып, холос, шунинг учун у v_x^2 га бағытталған болиши керак. Худды шунингдегі молекула тезлигі Oy ва Oz үк бүйічка ташкил этиудиларининг $v_y, v_y + dv_y, v_z, v_z + dv_z$ оралиқтарда бұлишшигі әхтимоллиліктері:

$$dW(v_y) = f(v_y^2) dv_y \text{ ва } dW(v_z) = f(v_z^2) dv_z. \quad (3.24)$$

Барча йұналишлар тенг хуқуқынан бүлганидан $F(v_x^2), f(v_y^2), f(v_z^2)$ функциялар бир хил күрништеде бұлишшигі керак.



3.3-чизма. Тезликтер бүйічка тақсимоттағы дөнір.

Молекуланинг тезлиги ташкил этувчилари бир вақтда v_x , $v_x + dv_x$, v_y , $v_y + dv_y$, v_z , $v_z + dv_z$ оралиқларда бўлиш эҳтимоллиги:

$$dW(v_x, v_y, v_z) = f(v_x^2) f(v_y^2) f(v_z^2) dv_x dv_y dv_z. \quad (3.25)$$

Иккинчи томондан, молекула $\sqrt{v_x^2 + v_y^2 + v_z^2}$ тезлигининг $dv_x dv_y dv_z$ тезликлар фазоси ҳажмида бўлиши эҳтимоллиги:

$$dW(v_x, v_y, v_z) = f(v_x^2 + v_y^2 + v_z^2) dv_x dv_y dv_z. \quad (3.26)$$

(3.25) ва (3.26) ифодани солддалаштиурсак,

$$f(v_x^2) f(v_y^2) f(v_z^2) = f(v_x^2 + v_y^2 + v_z^2) = f(v^2) \quad (3.27)$$

Бу тенгламани

$$f(v_x^2) = A^{\frac{1}{2}} e^{-\alpha v_x^2}, f(v_y^2) = A^{\frac{1}{2}} e^{-\alpha v_y^2}, f(v_z^2) = A^{\frac{1}{2}} e^{-\alpha v_z^2}$$

ни

$$f(v_x^2 + v_y^2 + v_z^2) = A e^{-\alpha(v_x^2 + v_y^2 + v_z^2)} = f(v^2)$$

$$dW(v^2) = A e^{-\alpha v^2} dv_x dv_y dv_z$$

функциялар қаноатлантиради. Нормалаш интеграли яқинлашувчи бўлишилиги $\alpha = -\beta < 0$ талабни қўяди.

Нормалаш шартидан: $A = \left(\frac{\beta}{\pi} \right)^{\frac{3}{2}}$

Молекуланинг ихтиёрий I йўналишдаги тезлиги ташкил-лончиси учун

$$f(v^2) = \left(\frac{\beta}{\pi} \right)^{\frac{1}{2}} e^{-\beta v^2} \quad (3.28)$$

Тезлигининг мутлоқ қиймати бўйича тақсимотни топиш учун сферик координаталарга ўтамиз, бунда

$$dv_x dv_y dv_z = v^2 dv \sin\theta d\theta d\phi$$

ни

$$dW(v, \varphi, \theta) A e^{-\beta v^2} v^2 dv \sin \theta d\theta d\varphi.$$

Молекулалар ҳаракати изотроп бүлгандылык учун бурчаклар бүйича интеграллаш бажарсак,

$$dW(v) = 4\pi A e^{-\beta v^2} v^2 dv \quad (3.29)$$

Демак, бу ҳол учун тақсимот функцияси

$$f(v) = 4\pi A v^2 e^{-\beta v^2} \quad (3.30)$$

ёки $A = \left(\frac{\beta}{\pi}\right)^{\frac{3}{2}}$ эканлиги эътиборга олинса,

$$f(v) = 4 \left(\frac{\beta^3}{\pi}\right)^{\frac{1}{2}} v^2 e^{-\beta v^2}. \quad (3.30')$$

Шу тақсимотни Максвелл тақсимоти дейилди. Бундаги β параметр муглоқ T температура билан бөлгөнган. Буни кўрсатиш учун молекулаларнинг идиш деворининг 1 см^2 га 1 с да урилишида берадиган импульси – босими ҳисобланади:

$$p = \frac{m n_0}{2\beta}. \quad (3.31)$$

бунда, m – молекула массаси, $n_0 = 1 \text{ см}^3$ даги молекулалар сони, p – босим. (3.31) ифодани идеал газ ҳолат тенгламаси $PV = RT$ билан таққосласак, оқибатда V

$$\beta = \frac{m}{2kT} \quad (3.32)$$

муносабат келиб чиқади.

Энди

$$f(v^2) = \left(\frac{m}{2\pi kT} \right)^{\frac{1}{2}} \exp \left(\frac{-mv^2}{2kT} \right), \quad (3.28)$$

$\vec{P} = m\vec{v} (mv_x, mv_y, mv_z)$ импульс орқали, $E = mv^2/2$ кинетик ишергия орқали Максвелл тақсимоти қўйидагича ёзиб олинади:

$$f(p) = 4\pi (2\pi mkT)^{-\frac{3}{2}} p^2 \exp \left(\frac{-P^2}{2mkT} \right), \quad (3.33)$$

$$f(E) = \sqrt{\frac{4}{\pi(kT)^3}} \sqrt{E} \exp \left(\frac{-E}{kT} \right). \quad (3.34)$$

Максвелл тақсимоти асосида характеристик тезликларни топиб олинади.

1. Энг эҳтимолли тезлик $\frac{df(v)}{dv} = 0$ шартидан топилади, у

Максвелл тақсимоти максимумига тўғри келади. (3.30'') дан:

$$v_{\text{зз}} = \sqrt{\frac{2kT}{m}}. \quad (3.35)$$

2. Ўртача гезлик қўйидаги ифодани аниқлаиди:

$$\bar{v} = \int_0^\infty v f(v) dv = \sqrt{\frac{8kT}{\pi m}} \quad (3.36)$$

3. Ўртача квадратик тезлик:

$$\bar{v^2} = \int_0^\infty v^2 f(v) dv = \frac{3kT}{m}. \quad (3.37)$$

4. Молекуланинг илгариланма ҳаракати ўртача кинетик ишергиясини ҳам аниқлаши мумкин. У ўртача квадратик тезлик орқали ифодаланиши маълум:

$$\bar{E}_k = \frac{mv^2}{2} = \frac{3}{2}kT. \quad (3.38)$$

Демак, \bar{E}_k молекула табиатига бөглиқ әмас, фақат газнинг мутлоқ Т температурасига пропорционал.

5. Максвелл тақсимоти асосида ўртача нисбий тезликларни ҳам аниқлаш мүмкін:

$$\bar{v}_{\text{нис}} = \sqrt{2} \bar{v} \quad (3.39)$$

3.5. Классик статистик физиканинг асосий тасаввурлари

Олдин айтиб ўтилганидек, кўп сонли зарралар ҳаракатлари ҳақидаги масалани механика еча олмайди, уни статистик усуллар билан ечилади. Статистик физикада бир неча муҳим тушунчалар киритилган.

Физик системанинг мувозанатий ҳолатларида турли макроскопик параметрлар ўзгармайди. Масалан, термодинамик, кимёвий ёки механик мувозанатлар мавжуд. Мисол учун, мазкур ҳажмдаги газнинг термодинамик мувозанатида системанинг температура ва босими ўзгармайди. Газнинг ҳар қандай мувозанатий макроскопик ҳолатига молекулаларнинг жуда кўп турли вазиятлари ва ҳаракатлари тўғри келади, чунки молекулалар узлуксиз ҳаракат қилиб туради, тўқнашишади, бинобарин, улар ўз жойларини ва тезликларини ўзгартириб туради, аммо системанинг макроҳолати ўзгармайди. Демак, битта макроскопик ҳолатга жуда кўп микроҳолатлар мос келади, ҳар қандай макроскопик катталиклар микроскопик катталикларнинг функциялари бўлади.

Системанинг бир макроҳолатига тўғри келган микроҳолатлар тўплами статистик ансамбл деб аталган.

Мазкур система макроҳолатига мос келган микроҳолатлар сонини термодинамик эҳтимоллик дейилади.

Статистик физикада фазалар фазоси деган тушунча бор.

Мисол учун, молекулани нуқтавий зарра деб қарасак, унинг 3 та координатаси ва 3 та импулс ташкил этувчилари бор. Агар координаталар ва импулслар фазоси фаразий тушунчасини киритилса, бир молекуланинг ҳолати 6 та ўлчов (6 та фазалар фазоси координаталари) орқали аниқланади. Агар система N та молекуладан (атомдан) иборат бўлса, уларнинг ҳолатларини $6N$ та катталик аниқлайди, бунда фаразий $6N$ -

үлчөоли (x_1, x_2, \dots, x_n координатали) фазалар фазоси түшүнчеси киритилади ва бу фазода системанинг бир микроҳолати нүкта билан тасвирланади, уни фаза ҳам дейилади. Фазалар фазосида кичик dx_1, dx_2, \dots, dx_n ҳажмга ажратамиз. Бу ҳолда система-нинг шу қисмчада бўлишилиги ётимоллиги

$$W(x_1, x_2, \dots, x_{6N}) = w(x_1, x_2, \dots, x_{6N}) \underbrace{dx_1 dx_2 \dots dx_{6N}}_{6Nmm} \quad (3.40)$$

бўлади. Уни қисқароқ қилиб

$$dW(x) = w(x) (dx)^{6N} \quad (3.40')$$

Кўринишда ифодаланади, $w(x)$ -ётимоллик зичлиги ёки тақсимот функциясиdir.

Системанинг фазалар фазосининг чекли Γ ҳажмда бўлиши ётимоллиги

$$dW(\Gamma) = \int_{\Gamma} dW(x) = \int_{\Gamma} w(x) (dx)^{6N}. \quad (3.41)$$

Бу ҳолда нормалаш шарти:

$$\int_{-\infty}^{\infty} w(x) (dx)^{6N} = 1. \quad (3.42)$$

Фазалар фазосининг бирлик ҳажмидаги нүкталар (микроҳолатлар) сони ρ бўлсин. Статистиканинг муҳим теоремаларидан бири Лиувилл теоремаси тасдиқлайди:

Фазалар траекторияси бўйлаб ҳаракатланганда $\frac{d\rho}{dt} = 0$

бўлади, яъни фазалар фазосидаги кичик ҳажмча вақт ўтиши билан кўча бориб ўз катталигини сақлайди:

$$(dx)_0^{6N} = (dx)_t^{6N}. \quad (3.43)$$

Лиувилл теоремасидан қўйидаги натижа бевосита келиб чиқади: тақсимот функцияси умумлашган q_i координаталар ва p_j импулсларнинг вақт ўтиши билан ўзгармайдиган бирлашмалари орқали ифодаланиши керак. Фақат ҳаракатнинг механик интеграллари шундай хоссага эгадир. Тақсимот функцияси шу

интегралга боғлиқ бўлиши ва бинобарин, ўзи ҳам ҳаракат интеграли бўлиши керак. Демак, мувозанат шароитида тақсимот функциясини ва система ҳолатини энергия аниқлаши керак.

Макроскопик катталиклар фазалар фазоси бўйича ўртачалаштирилган микроскопик катталикка тенг бўлади. Масалан, ҳар қандай микроскопик физик F катталик $F(x)$ функциянинг ўртачаси сифатида аниқланади:

$$F = \overline{F}^x = \int F(x) u(x) dx = \overline{F^t} = \frac{1}{\tau} \int_0^x F(x,t) dt. \quad (3.44)$$

Вақт бўйича ва ансамбл бўйича ўртача қийматларнинг айнанлиги эргодик фараз дейилади.

3.6. Гиббснинг каноник тақсимоти

Термостатда жойланган изотермик система учун $w(x)$ тақсимот функциясини топайлик. Қараладиган системани янада катта системанинг қандайдир қисми деб ҳисобланади. Бу қисмни иккита x' ва x'' системачаларга ажратамиз. Бу системачаларда тақсимот функциялари уларнинг тўла $H(x,a)$ энергияларига боғлиқ деб ҳисоблаймиз, яъни

$$w(x') = w(H'(x', a')), \quad (3.45)$$

$$w(x'') = w(H''(x'', a'')). \quad (3.46)$$

Бунда x — системанинг $6N$ та (ички) параметри, a — ташқи параметрлари.

Изотермик системанинг тўла энергияси

$$H(x, a) = H'(x', a') + H''(x'', a'') + V_{12} \quad (3.47)$$

Бундаги V_{12} — системачалар орасидаги ўзаро таъсир энергияси. Уни H' ва H'' га нисбатан кичик қилиш учун тизимчалар етарлича катта қилиб олинади. Шундай қилиб,

$$H = H' + H''. \quad (3.48)$$

Мустақил ички тизимчадан иборат тизим учун тақсимот функцияси

$$w(H'+H'') = w(H')w(H''). \quad (3.49)$$

(3.49) ни логарифмлаб, сүнг дифференциаллаймиз:

$$\ln w(H'+H'') = \ln w(H') + \ln w(H''),$$

$$d\ln w(H'+H'') = d\ln w(H') + d\ln w(H'')$$

$$\text{еки } /d\ln w(H'+H'')/ /d(H'+H'') = /d\ln w(H')/ /dH' + /d\ln w(H'')/ /dH''.$$

dH' ва dH'' дифференциаллар мустақил нолга айланиши мүмкін деб ҳисоблаб,

$$/d\ln w(H'+H'')/ = /d\ln w(H')/ = /d\ln w(H'')/ = \alpha$$

муносабатни оламиз, бунда α — қандайдир ўзгармас катталик, үшінки турлы аргументли функциялар ҳосиласи фақат үлар үшірмас бүлгандагина бир-бираға теңг бўла олади.

Охирги тенгликни интегралласак,

$$\ln w(H) = \alpha H + \beta \quad (3.50)$$

иғодада ҳосил бўлади, бундан:

$$w(x) = e^{\alpha H + \beta} \quad (3.51)$$

Бу иғолада $\alpha < 0$ бўлиши нормалаш шартидан келиб үшінши равшан, шунинг учун қуйидагича белгилаш қиласиз:

$$\alpha = -\frac{1}{\theta}, \quad \beta = \frac{\psi}{\theta} \quad (3.52)$$

Дини (3.51) иғода

$$w(x) = e^{\frac{\psi - H}{\theta}} \quad (3.53)$$

күринишга келади. Бу ифодани Гиббснинг каноник тақсимоти дейилади. θ ни каноник тақсимот модули лейилади. ψ доимийни нормалаш шартидан аниқланади:

$$\int_{\Gamma} w(x) (dx)^{6N} = 1. \quad (3.54)$$

Гиббс каноник тақсимотини келтириб чиқаришида қаралаётган системада ўзаро таъсир кичик ва температура доимий деб ҳисобланади.

Зарралар бир-биридан фарқланмайдиган ҳолда (масалан, электронлар гази қаралғанда) фарқланадиган ҳолдагига нисбатан ўрин алмаштиришлар сони $N!$ марта кам, шунинг учун бу ҳолда

$$w(x) = \frac{1}{N!} e^{\frac{\psi - H}{\theta}}, \quad (3.55)$$

аммо $1/N!$ кўп ҳолда нормаланадиган доимийга таъсир қилмайди ва уни тушириб қолдириш мумкин.

Энди Гиббс каноник тақсимотининг асосий хоссалари ва натижалари устида тұхталамиз.

1. (3.54) нормалаш шартидан ташқи a параметр бўйича дифференциал олсак, сўнг уни 0 га тенгласак,

$$\left(\frac{\partial \psi}{\partial a_k} \right)_\theta = \left(\frac{\partial H}{\partial a_k} \right)_0 \quad (3.56)$$

муносабат келиб чиқади. $\left(\frac{\partial H}{\partial a_k} \right)_0$ ҳосила ўртача (термодинамик)

умумлашган А куч ифодасини беради, яъни

$$\left(\frac{\partial H}{\partial a_k} \right)_0 = -A_k = \left(\frac{\partial \psi}{\partial a_k} \right)_\theta \quad (3.57)$$

2. Яна нормалаш шартини θ бўйича дифференциаллаб, сўнг нолга тенгласак,

$$\theta \left(\frac{\partial \psi}{\partial a_k} \right)_a = \psi - \bar{H} \quad (3.58)$$

мүнисибат келиб чиқади. Аммо, системанинг ўртача энергияси H ички термодинамик U энергияга тенг бўлганлиги учун

$$U = \psi - \theta \left(\frac{\partial \psi}{\partial \theta} \right)_a \quad (3.59)$$

3. Олдин кўрганимиздек, қандайдир $F(x,a)$ функциянинг ўртаси қиймати

$$\bar{F} = \int_{\Gamma} F(x,a) e^{\frac{\psi-H}{\theta}} (dx)^{6N}. \quad (3.60)$$

ифодадан аниқланади.

4. (3.60) ифода бўйича:

$$\frac{\partial \bar{F}}{\partial \theta} = \frac{1}{\theta^2} (\bar{F} - \bar{F})(H - \bar{H}). \quad (3.61)$$

5. Шунингдек,

$$\left(\frac{\partial \bar{F}}{\partial a} \right)_\theta = \left(\frac{\partial F}{\partial a} \right)_\theta - \frac{1}{\theta} (\bar{F} - \bar{F}) \left(\frac{\partial H}{\partial a} - \frac{\partial \bar{H}}{\partial a} \right). \quad (3.62)$$

Клоник тақсимотнинг параметрлари θ ва ψ нинг физик маъносини аниқлайлик.

1. Гиббс тақсимот қонуни, термодинамиканинг биринчи қонуни ва (3.59) ифодадан фойдаланиб,

$\frac{\delta Q}{\theta} = d \left(- \frac{\partial \psi}{\partial \theta} \right)_a$ бўлишигини аниқланади, θ интегралловчи

кўниятгувчи эканлиги маълум бўлади. Демак, мутлоқ темпера- турат T температуранинг ўхшали (статистик температура) бўлади. Хисобнинг натижасига кўра,

$$\theta = kT \quad (3.63)$$

бўлишиги топилади.

2. $\theta = kT$ ва $a = V$ деб олинса, (3.59) дан

$$U = \psi - T \left(\frac{\partial \psi}{\partial T} \right)_T \quad (3.64)$$

ифода келиб чиқади. Буни биринчи қонунга қўйилса,

$$-\left(\frac{\partial \psi}{\partial T} \right)_T = S, \quad -T \left(\frac{\partial \psi}{\partial T} \right)_T = ST$$

эркин энергиянинг

$$\psi = F - TS \text{ ёки } F = \psi + TS \quad (3.65)$$

ифодаси келиб чиқади. Демак, $\psi = F$ термодинамик эркин энергиянинг ўзи экан.

3. Энди (3.53) ни (3.54) нормалаш шартига қўйиб, ψ ни яккаласак,

$$\psi = -\theta \ln \int_{\Gamma} e^{-\frac{H}{\theta}} (dx)^{6N} = -\theta \ln Z \quad (3.66)$$

ифодани оламиз. Бундаги

$$Z = \int_{\Gamma} e^{-\frac{E_i}{kT}} \quad (3.67)$$

интегрални ҳолатлар интеграли дейилади. Агар энергия қийматлари дискрет бўлса, у ҳолда (3.67) ўрнига

$$Z = \sum_{i=1}^n e^{-\frac{E_i}{kT}} \quad (3.67')$$

статистик йигинидан фойдаланилади, бунда E_i дискрет энергия снектрила i — ҳолат энергияси. Бу ҳолда ҳам (3.66) муносабат ўз кучини сақлади.

Максвелл-Болцман тақсимоти

Гиббс каноник тақсимотидан кинетик энергиядан бошқа потенциал энергияга эга бўлган газ зарралари учун Максвелл-Болцман тақсимотини келтириб чиқариш мумкин. Бир зарранинг энергияси бу ҳояда

$$E = E_{kin} + E_{pot} = \frac{p_x^2 + p_y^2 + p_z^2}{2m} + V(x, y, z) \quad (3.68)$$

Зарранинг (молекуланинг) импулси $p_x, p_x \leftrightarrow dp_x$; $p_y, p_y \leftrightarrow dp_y, p_z, p_z \leftrightarrow dp_z$ оралиқда, координаталари $x, x+dx; y, y+dy; z, z+dz$ оралиқда бұлған ҳолати әхтимоллиги

$$dw(p_x, p_y, p_z, x, y, z) = \text{const} \cdot \exp \left(-\frac{p_x^2 + p_y^2 + p_z^2 + V(x, y, z)}{2m kT} \right) dp_x dp_y dp_z dx dy dz \quad (1.69)$$

Бұлдан, Бу Максвелл-Болцман тақсимотидир.

3.7. Гиббснинг катта каноник тақсимоти

Термодинамикада зарралар сони үзгарувчан бұлған системалар үчүн μ кимёвий потенциал киритилади, у әркін энергиядан зарралар сони бүйіча олинган ҳосила сифатыда ифоладылады:

$$\mu = \left(\frac{\partial \psi}{\partial N} \right)_{V, T} . \quad (3.70)$$

Бұлдан:

$$\psi = \mu N + \Omega(\mu, V, T) \quad (3.71)$$

ифоли олинади (Ω - термодинамик потенциал).

Бу ҳолда тақсимот қонуни

$$w(N) = \frac{1}{N!} \exp \left(\frac{\Omega + \mu N - H}{\theta} \right) \quad (3.72)$$

күринишида булади, уни Гиббснинг катта каноник тақсимоти дейділади. Ω термодинамик потенциал нормалаш шартыдан анықланади.

Үртінша қийматлар олдин күрілған қоида асосида ифодалайды.

$$\bar{N} = \sum_{N=0}^{\infty} \frac{1}{N!} \int_{\Gamma} N \exp \frac{\Omega + \mu N - H}{kT} (dx)^{6N},$$

$$\bar{H} = \sum_{N=0}^{\infty} \frac{1}{N!} \int_{\Gamma} H \exp \frac{\Omega + \mu N - H}{kT} (dx)^{6N}.$$

Бу тақсимот учун ҳолатлар интегралы вазифасини

$$Z = \sum_{N=0}^{\infty} \frac{\exp \left(\frac{\mu N}{kT} \right)}{N!} \int_{\Gamma} e^{-\frac{H}{kT}} (dx)^{6N}$$

ифода бажаради, Ω эса

$$\Omega = -kT \ln Z \quad (3.73)$$

муносабат орқали аниқланади. Яна олинган

$$\left(\frac{\partial \Omega}{\partial V} \right)_{T, \mu} = -p, \quad \left(\frac{\partial \Omega}{\partial \mu} \right)_{V, T} = -\bar{N} \quad (3.74)$$

ифодалар Ω нинг маъносини ошкор қиласди.

3.8. Квант статистика асослари

Микрозарралар дунёсида классик физика қонунлари ишламай қолади. Улар макрожисмлардан фарқли хоссаларга эга: элементар зарралар (электронлар, протонлар, нейтронлар ва ҳоказо) ҳам зарра, ҳам тўлқин табиатга эга бўлади, бир вақтда уларнинг жойи ва импулсини аниқ ўлчаб бўлмайди, бинобарин, микрозарралар ҳолатини бир вақтда координаталар ва импулслар ёрдамида тасвирлаб бўлмайди. Микрозарралар спин моментлари, магнитик моментларга эга, уларнинг энергияси қийматлари узуқ-узуқ спектр ташкил қиласди, физик системалар ҳолатини квант механикада Шредингер тенгламаси тасвирлайди. Микрозарраларнинг барчаси бир биридан фарқланмайди. Хуллас, квант системаларда ўзига хос қонуниятлар асосида маҳсус хоссалар мавжуд.

Квант системаларининг статистик қонуниятларини квант статистикаси ўрганади.

Бу ҳолда фазалар фазоси бўйича барча интеграллар ўрнини квант системасининг барча хусусий ҳолатлари бўйича йигиндилар олади:

Статистик йигинди

$$Z = \sum_{i=1}^n \exp\left(\frac{-E_i}{kT}\right) \quad (3.75)$$

бўлади, аммо $\Omega = -kT \ln Z$ ифода сақланади.

Энергиялар бўйича тақсимот функцияси

$$W_i(E_i) = \text{const} \exp\left(\frac{-E_i}{kT}\right) \quad (3.76)$$

нормалаш шарти

$$\sum_{i=1}^m W_i(E_i) = \text{const} \sum_{i=1}^m \exp\left(\frac{-E_i}{kT}\right) = 1, \quad (3.77)$$

енергиянинг ўртача қиймати

$$\bar{E} = \frac{\sum_{i=1}^m E_i \exp\left(\frac{-E_i}{kT}\right)}{\sum_{i=1}^m \exp\left(\frac{-E_i}{kT}\right)} \quad (3.78)$$

уринишида бўлади.

(3.73) ифодани бошқачароқ қилиб ёзиб олайлик. i -ҳолат енергиясини ε_i , ундаги зарралар сонини n_i деб олсак, бу ҳолатдаги зарралар умумий энергияси $n_i \varepsilon_i$, энди $N = n_i$ бўлади.

Демак, бу ҳолатга мос термодинамик потенциал

$$\Omega_i = -kT \ln \sum_{n_i} \left(e^{\frac{\mu - \varepsilon_i}{kT}} \right)^{n_i} \quad (3.79)$$

уринишида бўлади.

i — ҳолатдаги зарралар ўртача сони

$$-\frac{\partial \Omega}{\partial \mu} = \frac{\sum_{n_i} n_i \left(e^{\frac{\mu - \epsilon_i}{kT}} \right)^{n_i}}{\sum_{n_i} \left(e^{\frac{\mu - \epsilon_i}{kT}} \right)^{n_i}} = \bar{n}_i. \quad (3.80)$$

Паули принципига бўйсунадиган (яримбутун спинли) зарралардан (электронлар учун $S=1/2$) ташкилланган системада бир ҳолатда фақат битта зарра бўлиши ё бўлмаслиги мумкин, яъни $n_i = 0, 1$ қийматлар олади, холос. Бу ҳолда:

$$\sum_{n_i} \left(e^{\frac{\mu - \epsilon_i}{kT}} \right)^{n_i} = 1 + e^{\frac{\mu - \epsilon_i}{kT}}, \quad \sum_{n_i} \left(e^{\frac{\mu - \epsilon_i}{kT}} \right)^{n_i} n_i = e^{\frac{\mu - \epsilon_i}{kT}}$$

Демак, i — ҳолатдаги ўртача зарралар сони (тўгрироғи шу ҳолатда зарранинг бўлиш эҳтимоллиги)

$$\bar{n}_i = f(\epsilon_i, T) = \frac{1}{e^{\frac{(\epsilon_i - \mu)}{kT}} + 1}. \quad (3.81)$$

Бу ифода Ферми-Дирак статистикасига бўйсунадиган (Паули принципига бўйсунадиган) идеал газ учун Ферми тақсимот функциясидир. $\exp(\epsilon - \mu)/kT \gg 1$ бўлганда у Болцман тақсимотига ўтади, яъни

$$f(\epsilon_i, T) = \exp\left(\frac{\mu - \epsilon_i}{kT}\right) \quad (3.82)$$

бўлиб олади.

Спини бўлмаган ёки спини бутун сон билан белгиланадиган зарралар ҳар қандай ҳолатда ихтиёрий сонда бўлиши мумкин (улар Паули тақиқ принципига бўйсунмайди).

Бу ҳолда

$$\Omega_i = -kT \sum_{n_i=0}^{\infty} \left(e^{\frac{\mu-\varepsilon_i}{kT}} \right)^{n_i} = -kT \left(1 + e^{\frac{\mu-\varepsilon_i}{kT}} + e^{2\frac{\mu-\varepsilon_i}{kT}} + \dots \right)$$

Ифодадаги йигинди $\exp \frac{\mu - \varepsilon_i}{kT}$ маҳражли ва у I дан кичик бўлган чексиз геометрик прогрессия бўлади, шунинг учун

$$\Omega_i = kT \ln \left(1 - e^{-\frac{\mu - \varepsilon_i}{kT}} \right). \quad (3.83)$$

Демак, бу ҳолда

$$\overline{n_i} = f(\varepsilon_i, T) = \frac{1}{e^{\frac{\varepsilon_i - \mu}{kT}} - 1}. \quad (3.84)$$

Бу ифода Бозе-Эйнштейн статистикасига бўйсунадиган тарралар идеал гази учун тақсимот функциясидир.

Ферми-Дирак квант статистикасининг электронлар айнигани газига тадқиқ қилайлик.

Электронлар гази умуман айтганда Ферми-Дирак статистикасига бўйсунади. Хусусий ҳолда электронлар зичлиги кам бўлган, яъни $\exp(\varepsilon - \mu)/kT > 1$ ҳолда, бошқача айтганда, электронлар гази айнимаган ҳолда Максвелл тақсимотидан фойдаланиши мумкин. Агар мазкур тенгиззлик бажарилмаса, у ҳолда электрон газини айнигай газ дейилади. Металларда эркин электронлар зичлиги катта, бинобарин, у газ айниганди бўлади.

Мутлоқ ҳолда электрон газ тўла айниганди бўлади, Электронлар энг паст энергияли ҳолатдан то қандайдир катта қийматли энергия ҳолатигача барча ҳолатларни тута банд қилиади. Шу энг юқориги ҳолат мутлоқ нолдаги Ферми энергияси (Ферми сатҳи) дейилади.

Р ва $p+dp$ мутлоқ қийматли импулслар оралиғида зарранинг илтириланма ҳаракат қолатлари сони

$$\frac{4\pi p^2 dp dV}{(2\pi\hbar)^3}$$

электронлар ҳолатлари статистик вазни 2. Унга ушбу ифодани күпайтирсак, квант ҳолатлар сони (V хажмда)

$$\frac{V p^2 dp}{2 \pi^2 \hbar^3} \quad \text{бұлади.}$$

Электронлар $p=0$ дан $p=p_0$ гача ҳолатларни әгаллаган, уларнинг сони:

$$N = \frac{V p_0^3}{6 \pi^2 \hbar^3}.$$

бундан юқориги импульс

$$p_0 = (3\pi^2)^{\frac{1}{3}} \left(\frac{N}{V} \right)^{\frac{1}{3}} \hbar \quad (3.85)$$

ва юқориги энергия (Ферми сатхи) $E_F = \frac{p^2}{2m} = E_F(T=0)$:

$$E_F(T=0) = (3\pi^2)^{\frac{2}{3}} \frac{\hbar^2}{2m} \left(\frac{N}{V} \right)^{\frac{2}{3}}. \quad (3.86)$$

Электронлар газининг тұла энергияси:

$$E = \frac{3}{10} (3\pi^2)^{\frac{2}{3}} \frac{\hbar^2}{2m} \left(\frac{N}{V} \right)^{\frac{2}{3}} N. \quad (3.87)$$

Бу келтирилған ифодаларнинг құлланиш шарти

$$T \ll \frac{\hbar^2}{m} \left(\frac{N}{V} \right)^{\frac{2}{3}}. \quad (3.88)$$

$k T_F = E_F$ шартидан аниқланадиган T_F температурани айниш температураси дейилади.

Ферми-Дирак статистикаси ёрдамида айниган электронлар позининг иссиқлик сигими ($C_V = \beta NT \left(\frac{N}{V} \right)^{\frac{2}{3}}$) аниқланиши мумкин.

Айниган Бозе-газининг хоссалари ҳам ўрганилган. Қандайдир чегаравий T_0 температурадан пастда газнинг энергияси

$$E = 0,770NT^{5/2}/T_0^{3/2} \sim T^{5/2}. \quad (3.89)$$

Демак, унинг иссиқлик сигими

$$C_V = \frac{5E}{2T} \sim T^{3/2}. \quad (3.90)$$

Бозе-газ босими:

$$p = 0.851 g \frac{m^{3/2} T^{5/2}}{\hbar^3} \quad (3.91)$$

3.9. Қора нурланиш

Қора нурланишни фотонлар гази деб қараш мумкин. Фотонлар бир-бири билан ўзаро таъсиrlашмайди, бинобарин, буларни идеал газ деб ҳисобласа бўлади. Фотонлар спинга эга эмис ва Бозе-Эйнштейн статистикасига бўйсунади. Фотонлар газин учун кимёвий потенциал $\mu=0$ бўлади.

$E_k = \hbar\omega_k$ энергияли ҳолатда бўлган фотонлар сони Планк инфодаси

$$f(\omega_k) = \frac{1}{e^{\frac{\hbar\omega_k}{kT}} - 1} \quad (3.92)$$

оркали тасвиirlанади. Ҳисобнинг натижасида спектрнинг такориийликлар $d\omega$ оралигига тўғри келган қора нурланиш энергияси:

$$dE_{\text{ср}} = \frac{V\hbar}{\pi^2 c^3} \frac{\omega^3 d\omega}{e^{\frac{\hbar\omega}{kT}} - 1}, \quad (3.93)$$

Агар тақрорийліклар кичик ($\hbar\omega < kT$) бўлса, Релей-Жинс ифодаси келиб чиқади:

$$dE_{\omega} = V \frac{T}{\pi^2 c^3} \omega^2 d\omega . \quad (3.94)$$

Бу ифода тебранма ҳаракат эркинлик даражалари сонини kT га кўпайтиришдан келиб чиқсан. Бу ифодани катта тақрорийліклар соҳасига асоссиз тадбиқ этилса, у ҳолда нурланиш тўла энергияси

$E = \int_0^{\infty} dE_{\omega} = \infty$ булиб чиқади. Бу бемаъниликтан "ултра бинафша ҳалокат" деб номланган.

Аслида $\hbar\omega \gg kT$ ҳолда

$$dE_{\omega} = V \frac{\hbar}{\pi^2 c^3} \omega^3 e^{-\frac{\hbar\omega}{kT}} d\omega \quad (3.95)$$

бўлади (Вим ифодаси) ва тўла энергия ∞ га айланмайди, аксинча чекли қийматга эга бўлади.

Спектрал энергия зичлиги

$\frac{dE_{\omega}}{d\omega}$ қандайлир $\omega = \omega_m$ қийматда максимумга эришади:

$\omega_m = 2.822 T_n / \hbar$. Агар бунда $\omega_m = \frac{2\pi c}{\lambda_{min}}$ алмаштириш қил-

сак, $\lambda_{min} T_m = \text{const}$ ифода ҳосил бўлади. Бу Виннинг силжиш қонуни бўлиб, у нурланувчи жисм температураи ошгамда спектрал зичлик максимуми қисқа тўлқинлар (кичик λ лар) томонга силжиди деб тасдиқлайди. Бозе-Эйнштейн статистикаси Стефан-Болцманнинг ушбу – нурланишнинг тўла энергияси

$$E = AT^4 \quad (3.96)$$

нурланувчи жисм температурасининг тўрғинчи даражасига пропорционал бўлади деган қонуними ҳам келтириб чиқаради.

Статистик физиканинг тақдикот соҳалари жуда кенг. Биз бу бобда унинг асосий тасаввурлари, тушунчалари ва қонунлари билан қиёқа танишиб чиқдик, кейинги бобларда бу маълумот бирор тўлдирилиб қўлланишияни ҳам назарда тутдик.

Саволлар ва масалалар

1. Тақсимот функциясини таърифланг.
2. Нормалаш шартининг маъносини тушунтиринг.
3. Тасодифий катталикнинг ўртача қиймати нимани билдиради?
4. Қандай тақсимотларни биласиз?
5. Максвелл тақсимоти қандай ҳолда адолатли?
6. Молекуланинг массаси 10^{-22} г ва температура 300 К бўлганда энг эҳтимолли тезлик, ўртача тезлик ва ўртача квалитатив тезликларни аниқланг.
7. Гибснинг каноник тақсимотида қандай параметрлар иштироқ этади?
8. Гиббс каноник тақсимотидан Бозе-Эйнштейн тақсимотини келтириб чиқаринг.
9. Гиббс каноник тақсимотидан Ферми-Дирак тақсимотини келтириб чиқаринг.
10. Мутлоқ қора жисем нурланиши қонунларини қайси статистика тушунтириб берад олди. Шу асосда Стефан-Болцман ва Вин силжини қонуниари қандай кўринишда бўлади?
11. Ферми-Дирак тақсимотини электронларнинг айнигган газига таџбиклааб Ферми сатхи энергиясини топишга ҳаракат қилинг.

IV БОБ

ҚАТТИҚ ЖИСМЛАРДА ИССИҚЛИК ҲОДИСАЛАРИ

Олдинги II бобда анча батафсил қараб чиқилған кристалл панжараси атомлари (ионлари) тебранишлари назариясининг энг муҳим тадбиқларидан бири кристалл панжараси иссиқлик сигими назариясидир.

4.1. Иссиқлик сигимиининг классик назарияси

Классик физикада панжара атомлари ҳаракати мумтоз меҳника қонунларига буйсунади деб ҳисобланади. Бу қонунлардан бири ўртача энергиянинг барча эркинлик даражалари бўйича тенг тақсимот қонуни бўлиб, унга кўра бир эркинлик даражасига тўгри келадиган ўртача кинетик энергия $(1/2)kT$ га тенгдир (бундаги k -Больцман доимийси). Шу асосда қаттиқ жисмнинг иссиқлик сигими мумтоз қонуни келиб чиқади. Маълумки, ҳар қандай тебранишни уч ташкил этувчига ажратиш мумкин, ҳар ташкил этувчига (тебранма ҳаракат эркинлик даражасига) тебранувчи атомнинг $(1/2) kT$ ўртача кинетик энергияси ва $(1/2) kT$ ўртача потенциал энергияси тўгри келади, демак, ҳар бир тебранма эркинлик даражасига

$$\bar{\varepsilon} = \varepsilon_{kin} + \varepsilon_{pot} = (1/2)kT + (1/2)kT = kT \quad (4.1)$$

энергия тўгри келади, тебранаётган атомнинг ўртача тўла энергияси

$$\bar{\varepsilon}_a = 3kT \quad (4.2)$$

бўлади. Агар грамм-атом миқдордаги кристалл олинса, унинг атомлари тебранишлари тўла энергияси

$$E_{NA} = N_A \bar{\varepsilon}_a = 3N_A kT = 3RT, \quad (4.3)$$

Бу ерда N -Авогадро сони, R -газ универсал доимийсі.

Таърифга күра, қаттық жисмнинг иссиқлик сигими деб температура бир градус қадар ўзгарганда унинг ички энергиясининг ўзгариши миқдорига айтилади. Бу сигимни $C = dE/dT$ тарзда аниқланади. C - сигим айрим термодинамик катталиктар функциясы булыб, унинг күриниши ва қиймати қандай шароитда аниқланишига бағлиқдір.

Агар иссиқликнинг сигими жисм ҳажми ўзгармас сақланғани ҳолда аниқланса, $C_p = \left(\frac{dE}{dT} \right)_{v=const}$, босим ўзгармас сақланса, $C_p = (dE/dT)p=const$ күринишида белгиланады. Одатда температура ўзгарганида кристалл қаттық жисмларнинг ҳажми кам ўзгарғанлығы туфайли уларнинг иссиқлик сигимини C_v деса бұлади, (хона температурасыда C_p -сигим C_v сигим дан 3-5% чамасида ортиқ холос).

Демек, граммолекуляр (моляр) иссиқлик сигим

$$C_\mu = C_p = \frac{dE_N}{dT} = 3R \approx 6 \text{ кал / мол.град} \quad (4.4)$$

Бұлади: бир атомлы кристалл қаттық жисмнинг моляр иссиқлик сигими 6 кал/мол.град булиши керак. Бу қонунни Дьюлонг-Пти қонуни дейилади. Хона температурасыда бир қатор моддалар иссиқлик сигимини ұлчашлар Дьюлонг-Пти қонуни яхши бажарилишини күрсатади, айрим моддалар учун C нинг қиймати Дьюлонг-Пти қонуника мос келмайды.

4.1 - жадвал

Модда	C_μ , кал/мол.град	Модда	C_μ , кал/мол.град
Атоминий	6,14	Күмүш	6,13
Темір	6,39	Рух	6,10
Олтин	6,36	Йод	6,6
Мис	5,90	Кремний	4,64
Қалай	6,63	Бор	2,51
Платина	6,29	Карбон(олмос)	1,35

Бу масалага кейинроқ тұхталамиз.

Юқоридаги мудоқазаларни давом эттиреңсак, икки атомлы кристаллар учун C_μ бир атомлы кристалларницидан 2 баробар, шыны $C_\mu = 12$ кал/мол. град, чунки буларнинг бир граммоли

энергияси 2 баробар күп, уч атомли кристаллар учун $C_{\mu}=18$ кал/мол.град бўлиши керак. Бир қатор кристаллар устида ўлчашлар хона температурасида мос қийматларни берали.

4.2 -жадвал

Молла	C_{μ} , кал/мол.град	Молла	C_{μ} , кал/мол.град
CuO	11,3	CaCl_2	18,2
NaCl	12,1	BaCl_2	18,6

То паст температуралар олиш усуллари ишлаб чиқилгунча ва бу температураларда иссиқлик сигимини ўлчашлар йўлга қўйилгунча хона температураси ва ундан юқорида бажарилган ўлчашлардан Дъюлонг-Пти қонуни ҳамма вақт ўринли бўладиган қонундай туюларди.

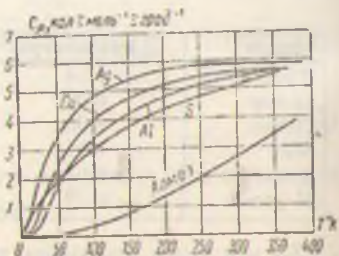
Аммо, паст температуралар соҳасида Дъюлонг-Пти қонунидан четланишлар жуда сезиларли бўлишлиги, аниқроги, температура пасайган сари қаттиқ жисмларнинг иссиқлик сигими камайиб бориши кузатилди. 4.3-жадвалда мис ва олмос иссиқлик сигимининг тажрибавий қийматлари келтирилган.

4.3 -жадвал

Мис		Олмос	
Температура °C	C_{μ} , кал/мол.град	Температура °C	C_{μ} , кал/мол.град
-259	0,04	-183	0,03
-186	3,32	-66	0,64
-39	5,59	+85	2,12
+50	5,90	+985	5,51

Бундай қонуният барча бошқа қаттиқ жисмлар учун ҳам кузатилган.

Биз бу бандла кристалл панжараси атомлари тебранишлари билан боғлиқ бўлган иссиқлик сигимини кўраётгирмиз. Юқорида бу иссиқлик сигимининг Дъюлонг-Пти қонунига олиб келадиган мумтоз назариясини қараб чиқдик.



4.1-чишма. Баъзи қаттиқ жисмлар иссиқлик сигимининг температурага боғланиниш

4.2. Кристалл наңараси иссиқлик сиғимининг квант назарияси

Дебай температураси θ дан паст температураларда квант қонуниятлари асосий аҳамиятга эга. Ҳар бир қаттиқ жисм үчүн старлича юқори температураларда бажариладиган Дьюлонг-Пти қонуни (иссиқлик сиғими температурага боғлиқмас леб тасдиқловчи қонун) паст температураларда бажарилмаслиги тажрибалардан маълум бўлгандан кейин иссиқлик сиғимининг квант назариясини яратиш зарурлиги аён бўлди. Планкнинг мутлоқ қора жисм нурланиши квант назарияси асосида А.Эйнштейн (1907) биринчи бўлиб, ўзининг иссиқлик сиғими назариясини таклиф қилди. Унингча, N атомдан ташкиланган кристалл бир хил ω тақрорийликлари $3N$ та тебранишга эга бўла олади. ω тақрорийликлари тебраниш ўтимоллигини Планк ифодаси тавсифлайди:

$$f(\hbar\omega) = \frac{1}{e^{\frac{\hbar\omega}{kT}} - 1} \quad (4.5)$$

Ҳар бир тебраниш энергияси кванти $\hbar\omega$ га teng, ўртача энергияси

$$f(\hbar\omega) \cdot \hbar\omega = \frac{\hbar\omega}{e^{\frac{\hbar\omega}{kT}} - 1}, \quad (4.5')$$

Бутун кристалл тебранишлари жами энергияси

$$E = \frac{3N\hbar\omega}{e^{\frac{\hbar\omega}{kT}} - 1}. \quad (4.6)$$

Ўзгармас ҳажм шароитида кристаллнинг иссиқлик сиғими

$$C_V = \left(\frac{\partial E}{\partial T} \right)_V = 3NkF(\omega, T), \quad (4.7)$$

Бунда

$$F(\omega, T) = \frac{(\hbar\omega / kT)^2 \exp(-\hbar\omega / kT)}{[\exp(-\hbar\omega / kT) - 1]^2}. \quad (4.8)$$

Юқори T ларда ($\hbar\omega \ll kT$ бүлгандада) $F(\omega, T)=1$, бинобарин, $C_V=3Nk$, бир граммол учун эса $C_V=3Nk=3R$ бўлиб, яъни бу ҳолда Дъюлонг -Пти қонуни адолатлидир.

Паст T ларда ($\hbar\omega > kT$ бүлгандада)

$$F(\omega_E, T) \approx \left(\frac{\hbar\omega_E}{kT} \right)^2 \exp\left(-\frac{\hbar\omega_E}{kT} \right) = \left(\frac{T_E}{T} \right)^2 \exp\left(-\frac{T_E}{T} \right), \quad (4.9)$$

бундаги $T_E = \frac{\hbar\omega_E}{k}$ - Эйнштейннинг тавсифий температураси.

Эйнштейн назарияси C_V -бўйича тажриба натижаларини сифатан тушунтиришга, яъни C_V нинг T пасайиши билан камайиб боришини кўрсатишга эришди. (4.9) ифодада температура пасайган сари $\exp(-T_E/T)$ жуда тез камаяди. $(T_E/T)^2$ секин ортади, натижада $F(\omega, T)$ бу ҳолда тез камайиб боради. Аммо, Эйнштейннинг ҳамма атомлар бир хил ω тақориийлик билан тебранади деган фарази фақат ҳамма атомлар мустақил тебрангандагина тўғри бўларди, вахоланки, ҳақиқатда кристалл атомлари бир-бири билан боғланган равишида тебранади. Эйнштейн чиқарган (4.9) ифода кўрсаткичли функция тарзида ўзгаради. Тажриба T пасайиши билан C_V нинг даражали қонун бўйича камайишини тасдиқлади.

П. Дебай (1912) таклиф қилган иссиқлик сифими назарияси кўпчилик кристаллар учун паст температураларда ўтказилган тажрибалар натижаларини яхши тушунтира олди.

Дебай ҳам кристалл N атомдан ташкилланган бўлса, унда $3N$ та тебраниш булиши керак, аммо ҳар бир тебраниш ўзининг тўлқин вектор \vec{k} га боғлиқ ω тақориийлигига эга, барча ω частоталар сони $3N$ дан иборат эркинлик даражалари сонига teng, бунда тақориийликлар 0 дан то максимал ω тақориийликгача бўлган $3N$ та қийматни олади, яъни (3.82) ифода ўринли бўлади. Акустик тебранишлар тармоғи учун аниқланган тақориийлик тақсимотининг (3.58) ифодасини (3.82) га қўйиб ҳисобласак,

$$\int_0^{\infty} g(\omega) d\omega = \frac{3V}{2\pi^2 v_0^3} \int_0^{\infty} \omega^2 d\omega = \frac{V \omega_0^3}{2\pi^2 v_0^3} = 3N$$

бундан:

$$\omega_m = v_0 \left(\frac{6\pi^2}{V_0} \right)^{\frac{1}{3}} \quad (4.10)$$

$V_0 = V/N$ - элементлар катак ҳажми.

3.5 бандда (3.83) ифода күринишида Дебай темпаратурсини максимал ω_m тақрорийлик орқали ифодалаган эдик. Энди уни (3.10) ифодадан фойдаланиб тавсифлаймиз

$$\theta_{ok} = \frac{\hbar \omega_m}{k} = \left(\frac{6\pi^2}{V_0} \right)^{\frac{1}{3}} \frac{\hbar}{k} v_0 \quad (4.11)$$

Оптик тармоқлар учун ҳам Дебай темпаратуруларини киритиш мумкин.

$$0j = \hbar \omega j / k \quad (4.12)$$

Уша 3.5 – бандда баён қилинган фононлар (энергия $\hbar \omega_q$, кинети импульси $\hbar \vec{q}$) тушунчасидан фойдаланамиз. (3.78)-(3.80) ифодаларни кўллаймиз. Унда кўрганимиздек ҳар бир ω тебрашингининг (ω тақрорийликли фононларнинг) энергияси

$$\epsilon_q = \hbar \omega_0 + \frac{\hbar \omega}{e^{\frac{\hbar \omega}{kT}} - 1} \quad (4.13)$$

Бўлиб, у (4.5) Эйнштейн ифодасидан биринчи ҳад билан фарқланади, уни тебранишнинг нолинчи энергияси дейилади. (4.13) ифодани барча тармоқлар ва тақрорийликлар бўйича ажиласак, бутун кристалл панжараси тебранишлар тўла энергияси ҳосил бўлади:

$$E = E_0 + \sum_{i=1}^3 \sum_q \frac{\hbar \omega_{qi}}{e^{\frac{\hbar \omega_{qi}}{kT}} - 1} + \sum_{j=4}^{3s} \sum_q \frac{\hbar \omega_{qj}}{e^{\frac{\hbar \omega_{qj}}{kT}} - 1} \quad (4.14)$$

Биринчи ҳад тўла нолинчи энергия, $\sum_{i=1}^3$ йигинди учта

акустик тармоқ бўйича, $\sum_{j=4}^{3s}$ эса, 3s-3 та оптик тармоқ бўйича олинади.

(4.14) ифодадаги йигиндиларни қўйидаги мулоҳазалар асосида соддороқ йўл билан ҳисоблаш мумкин. Акустик тармоқлар бўйича йигиндини интеграл билан алмаштирса бўлади.

$$E_{ak} = \sum_{i=1}^3 \sum_q \frac{\hbar \omega_{qi}}{e^{\frac{\hbar \omega_{qi}}{kT}} - 1} \approx \int_0^{\infty} \frac{\hbar \omega}{e^{\frac{\hbar \omega}{kT}} - 1} g(\omega) d\omega = \frac{3V\hbar}{2\pi^2 v_0^3} \int_0^{\infty} \frac{\omega^2 d\omega}{e^{\frac{\hbar \omega}{kT}} - 1}. \quad (4.15)$$

Агар ўлчамсиз $x = \hbar\omega / kT$ катталик киритсак,

$$E_{ak} = NkT \cdot 3D(\theta_{ak}/T) \quad (4.15')$$

бўлади, бунда

$$D(\theta_{ak}/T) = \left(\frac{T}{\theta_{ak}} \right)^{3/2} \int_0^{T/\theta_{ak}} \frac{x^{3/2} dx}{e^x - 1}. \quad (4.16)$$

Оптик тармоқларда $\omega(q)$ тақориийликлар q нинг функцияси сифатида кам ўзгаради. Шунинг учун ҳар бир оптик тармоқка бир ω_{qi} тақориийлик мос келади деб ҳисоблаймиз.

$$E_{on} = \sum_{j=4}^{3s} \sum_q \frac{\hbar \omega_{qi}}{e^{\frac{\hbar \omega_{qi}}{kT}} - 1} \approx N \sum_{j=4}^{3s} \frac{\hbar \omega_{qi}}{e^{\frac{\hbar \omega_{qi}}{kT}} - 1}. \quad (4.17)$$

Агар бу ҳолда ўлчамсиз $\frac{\hbar \omega_{qi}}{kT} = \frac{\theta_j}{T}$ катталиклар киритсак,

$$E_{on} = NkT \sum_{j=4}^{3s} \frac{\frac{\theta_j}{T}}{\frac{\theta_j}{e^T - 1}} \quad (4.17')$$

Энди кристаллнинг тебранишлари тўла энегияси қўйидаги кўринишда бўлади:

$$E = E_0 + E_{ak} + E_{on} = E_0 + NkT \left\{ 3D\left(\frac{\theta_{ak}}{T}\right) + \sum_{j=4}^{3s} \frac{\frac{\theta_j}{T}}{e^{\frac{\theta_j}{T}} - 1} \right\} \quad (4.14')$$

Чегаравий ҳолларда кристалл панжарасининг иссиқлик сигими қандай булишлигини күрайлик.

а) Юқори температуралар ($T > \theta_{ak}, \theta_j$) соҳасида $x \ll 1$ бўлганилиги туфайли (4.16) интегралда

$$e^{x-1} = 1 + x - \frac{1}{2}x^2 \approx 1, \quad \text{шунинг учун } D\left(\frac{\theta_{ak}}{T}\right) \approx 1, \quad \text{оптик тармоқ}$$

бўйича йигинди

$$\sum_{j=4}^{3s} \frac{\theta_j/T}{e^{\theta_j/T} - 1} = \sum_{j=4}^{3s} \frac{\theta_j/T}{\theta_j/T} = 3s - 3$$

Шундай қилиб,

$$E = E_0 + 3NkT + (3s - 3)NkT = E_0 + 3sNkT$$

$$\text{Бундан } C_V = \left(\frac{\partial E}{\partial T} \right)_V = 3sNk \quad \text{ва} \quad C_\mu = 3R \quad \text{булишлiği,}$$

шундай юқори температуралар соҳасида Дьюлонг-Пти қонуни тўғри эканлиги келиб чиқади. Бу ҳолда барча акустик ва оптик тармоқлардаги тебранишлар уйғотилган бўлади.

б) Энди паст температуралар ($T < \theta_{ak}, T < \theta_j$) соҳасини күрайлик. Бу ҳолда оптик тармоқларга тегишли ҳадлар $(\theta_j/T)^{-0.17}$ тартибида бўлиб, 1 га писбатан анча кичиклайди, бу йигиндиларни (4.14') да ташлаб юбориш мумкин, чунки бу ҳолда юқори такрорийли оптик тебранишларни уйғотища к²T чамасидаги иссиқлик ҳаракати энергияси етарли эмас. Бинобарин, паст температуралар соҳасида оптик тебранишлар лекирли уйғотилмаган бўлганилиги туфайли бу тармоқлар иссиқлик сигимига сезиларли хисса қўша олмайди. (4.16) интегралда юқори чегарани ∞ деб олинса,

$$\int_0^\infty \frac{x^3 dx}{e^x - 1} = \frac{\pi^4}{15}$$

Оулоди.

Демак, (4.14') ифода қуйидаги кўринишни олади:

$$E = E_0 + \frac{3\pi^4 NkT^4}{5\theta_{ak}^3} = E_0 + \frac{\pi^2 V (kT)^4}{10\hbar^3 v_0^3} \quad (4.14'')$$

Бу ифода асосида аниқланадиган иссиқлик сиғими:

$$C_V = \left(\frac{\partial E}{\partial T} \right)_V = \frac{12\pi^4 k}{5} N \left(\frac{T}{\theta_{ak}} \right)^3 \quad (4.18)$$

Агар $N=N_A$ (Авогадро сони), у ҳолда $N_A k=R$ бўлади ва (4.18) молляр иссиқлик сиғимини ифодалайди. (4.18) ифода паст температуralар соҳасида кристалл панжарасининг иссиқлик сиғими T^3 га мутаносиб равишда ўзгаради деб тасдиқлайди. Бу қонун тажрибада 20- 25 K таргibiдаги температуralарда яхши бажарилади. Дебайнинг назарияси эластик туташ муҳит тақриби (континуал тақриб) қўлланадиган паст температурада уйғонган узун тўлқинлар ҳолида адолатли эканлиги тасдиқланади.

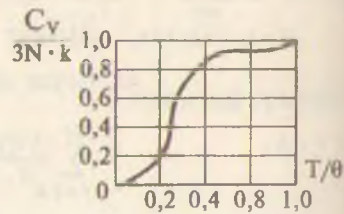
4.1- чизмадан кўринишича, иссиқлик сиғимининг унинг Дъюлонг-Пти ифодасига нисбати паст температуralарда $(T/\theta)^3$ га мутаносиб, юқори температуralарга 1 га интилади.

Яна шунга эътибор бериш керакки, классик(мумтоз) соҳа квант соҳадан $T=\theta$ да эмас, балки пастроқ температурада ажралади. Албатта, Дебай назарияси бекаму-куст назария эмас, $-T^3$ қонуннинг бажарилиш соҳаси батафсил таҳлил қилинган тадқиқотлар ҳам маълум.

4.3. Кристалл қаттиқ жисмнинг панжаравий иссиқлик ўтказувчанлиги

Қаттиқ жисмларда, газлар ва суюқликлардан фарқли равишда, иссиқлик фақат иссиқлик ўтказувчанлик орқали узатилиади.

Умумин айтганда, кристаллда иссиқлик энергияси фононлар, фотонлар, эркин электронлар (ёки эркин коваклар), электрон-ковак жуфтлари, экситонлар орқали узатилиши мумкин. Биз бу бандда фонон иссиқлик ўтказувчанликни қараб чиқамиз. Уни баъзан панжаравий иссиқлик ўтказувчанлик ҳам дейилади.



4.2-чизма. Қаттиқ жисмлар иссиқлик сиғимининг Дебай температурасидан пастда ўзгариши.

Агар қаттиқ жисм намунаси учлари турли температураларда туғиб турилса, у ҳолда намунадан иссиқликнинг узлуксиз оқими нужудга келади: иссиқроқ учдаги кристалл панжара түгүнлари каттароқ амплитуда билан тебранади, улар үзлари боғланган құшниларига таъсир қилиб, уларнинг тебраниш амплитудасини (бинобарин, энергиясини) орттиради, бу құшнилар үз навбатида намунанинг совуқрок учи томонга бу таъсирни (иссиқлик энергиясини) узатади.

Масалан, dT/dx температура градиенти мавжуд бўлган (стерженнинг) намунанинг ds қўндаланг кесими орқали dt шиктада ўтган dQ иссиқлик оқимини молекуляр физика фанидан маълум

$$dQ = -\lambda \frac{dT}{dx} dS dt , \quad (4.19)$$

ифода бўйича ҳисоблаш мумкин, бундаги λ - иссиқлик ўтказувчанлик коэффициенти.

Биз олдинги бобда кристалл панжараси атомлари тебранишларини фононлар деб аталағидан квази зарралар орқали ифодлаш мумкинлигини кўрган эдик. Ана шунга кўра кристалларда иссиқлик энергиясини фононлар орқали узатилади деб айтиш мумкин.

Дебай назарияси бўйича, панжаранинг уйғонган ҳолатини кристалл ҳажмида эркин ҳаракатланувчи фононлар идеал гази қўринишида тасаввур қилинади. Фононлар гази температуранинг муайян оралиғида идеал газ хоссаларига эга, шунинг учун қаттиқ жисмнинг панжараси (фононлар) иссиқлик ўтказувчанлиги коэффициентини идеал газникидай қўринишида ифодаласа бўлади:

$$\lambda_\phi = \frac{1}{3} C \bar{l}_\phi v_m , \quad (4.20)$$

Бунда C — фононлар гази бирлик ҳажмининг иссиқлик сиғими,

\bar{l}_ϕ — фононнинг эркин югуриш йўли ўртача узунлиги,

v_m — мазкур жисмда товуш тезлиги.

Фононларнинг эркин югуриш ўртача \bar{l}_ϕ узунлигини ҳисобланаш анча қийин, аммо назариянинг сифатий таҳлили

Етарида юқори температураарда \bar{l}_ϕ — нинг мутлоқ температурага тескари пропорционал эканлигини күрсатади.

Шунинг учун λ_ϕ иссиқлик ўтказувчаник коэффиценти ҳам $T > 0$ бўлганда мутлақ температурага тескари пропорционал, яъни, $\lambda_\phi \sim 1/T$, чунки бу соҳада C ва v_m катталиклар температурага боғлиқ эмас.

Етарида тоза кристалларда муглақ нолга яқин температураарда \bar{l}_ϕ — намунанинг ўлчамларига боғлиқ.

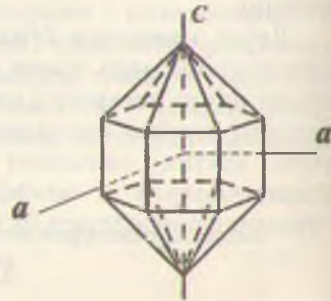
Бунинг сабаби шуки, паст температураарда фононлар зичлиги |(3.78) ифодага қаранг| жуда кам, бинобарин, фононлараро тўқнашишлар эҳтимоли кичик, бу ҳолда фононлар намунанинг у чегарасидан бу чегарасига деярли тўқнашишсиз ҳаракат қиласди, демак, агар намуна ўлчами d бўлса, $\bar{l}_\phi \sim d$ бўлади.

Бу ҳолда,

$$\lambda_\phi = \frac{1}{3} C' v_m d. \quad (4.21)$$

Энди (4.21) ифоданинг ўнг томонида фақат C - гина температурага боғлиқ. Дебай қонунига кўра, $C \sim T^3$, бинобарин, $\lambda_\phi \sim T^3$ бўлиши керак. Бу холосани тажриба тасдиқлайди.

Албатта, кристалларда боғланиш кучлари анизотроплиги иссиқлик ўтказувчаник коэффицентини λ_ϕ нинг анизотрон бўлишилгига олиб келади. Кварцининг тузилишини кўрсатадиган 4.3-чизма ва унинг йўналишга боғлиқ (анизотроп) иссиқлик ўтказувчанигини намойиш қиласдиган жадвал келтирилган.



4.3-чизма. Кварцининг тузилиши чизмаси.

4.4 -жадвал

$\lambda_\phi \cdot 10^5$ кал.моль/град с	Температура, К			
	373	273	195	83
с ўққа параллел йўналишда	7,7	11,7	16,8	42,1
с ўққа тик йўналишда	4,8	6,2	8,7	21,1

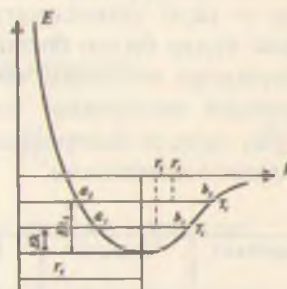
Жадвалдан кварц кристаллининг с ўқи бўйлаб иссиқлик ўтказувчанлиги, у ўқса тик йўналишдагисидан деярли икки марта катталиги кўриниб турибди. Бундан ташқари, Т температура камайган сайнин λ_f иссиқлик ўтказувчанлик ортиб бора-етгани кўринади. Бу квант назариясини тасдиқлайдиган натижадир. [9,175-б] Биз кристалл панжараси тебранишлари (фононлар) билан боғлиқ иссиқлик ўтказувчанликка оид баъзи ясасий қонуниятларни қараб чиқдик холос. Бошқа иссиқлик ўтказувчанлик механизмлари ҳақида ўз жойида яна тұхталамиз.

4.4. Қаттиқ жисмларнинг иссиқликдан кенгайиши ва узайиши

Қаттиқ жисмларнинг иссиқликдан кенгайишини тушунтириш учун қаттиқ жисм зарраларнинг ўзаро таъсир энергиясининг улар орасидаги масофага боғлиқдиги чизмага (4.4-чизмага) мурожаат қиласиз. Агар зарралар мутлақ ҳаракатсиз бўлса, бу ҳолда уларнинг кинетик энергиялари нолга teng бўлар, улар орасидаги масофа r_0 ga teng бўлиб, потенциал чуқурнинг тубила жоїлашган бўлардилар. Бу ҳол мутлақ нол температурада бўлиши мумкин эди.

Аммо, ҳақиқатда зарралар ўз мувозанати вазиятлари атрофларидан тебрадилар, яъни муайян кинетик энергияга бўладилар. Температура ортиши билан бу кинетик энергия ҳам ортиб боради. Т температурада зарра E кинетик энергияга эга бўлиб, чапга a_1 нуқтага, ўнгга b_1 нуқтага четлашади. Потенциал эгри чизиқнинг носимметриклиги туфайли тёбранасдан зарранинг ўртача вазияти энди r_0 ga teng бўлмай, ундан ўнгта силжиб r_1 қийматга эришади.

Температурани T_2 гача оширилса, зарранинг кинетик энергияси E_{k2} юқори қийматни олади. Бунда зарра чапга a_2 нуқтагача, ўнгга b_2 нуқтагача четлашади, ўртача вазият эса r_2 қийматга эришади. Шундай қилиб, температура ортиб борга-



4.4-чизма Қаттиқ жисмларнинг иссиқликдан кенгайишини тушунтирадиган тасвир

нида кристалл панжараси тугунлари оралиғи ортади, яғни иссиқликдан кенгайиши ($r_2 > r_1 > r_0$) юз беради.

Маълум $l_t = l_0(1 + \alpha t)$ ифода (бунда t — Целсий даражасидаги температура, α — ўртача узайиш коэффициенти, l_t , l_0 — температуранинг t ва 0 қийматлардаги стержен узунликлари) поликристалл, яғни хоссалари деярли йұналишларга боғлиқ бўлмаган (изотроп) моддалар учун түғри бўлади. Монокристаллар эса анизотроплик хоссаларига эга, уларнинг чизиқий узайиши α коэффициенти умуман айтганда тензор кўринишидаги катталиkdir.

Агар монокристаллдан шар ясалса, кейин уни иситилса ёки совутилса, у ҳолда шар ўз шаклини йўқотиб, энг умумий ҳолда уч ўқли эллипсоидга айланади, унинг ўқлари кристаллографик ўқлар билан боғлиқdir. Уч кристаллографик ўқ бўйлаб иссиқликдан кенгайиши коэффициентларини кристаллнинг иссиқликдан кенгайиши бош коэффициентлари дейилади ва $\alpha_1, \alpha_2, \alpha_3$ орқали белгиланади. Жадвалда баъзи кристаллар учун маълумот келтирилган.

4.5 - жадвал

Кристалл	Система	T, К	$\alpha_1 \cdot 10^6$ град ⁻¹	$\alpha_2 \cdot 10^6$ град ⁻¹	$\alpha_3 \cdot 10^6$ град ⁻¹
Гипс	Моноклин	313	1.6	42	29
		60		-2	55
Рух	Гексагонал	150		8	65
		300		13	64
Калцит	Тригонал	313		-5.6	25

Жадвалдан кўринадики, температура қамайган сари α_1 , α_2 , α_3 лар ҳам камаяди, айрим температураларда баъзида манфий қийматлар олиши ҳам мумкин, бош коэффициентлар айрим кристалларда бир-биридан анча фарқ қиласади.

Кристалларнинг иссиқликдан кенгайиши (узайиши) унинг атомлари орасидаги ўзаро таъсир кучларнинг ангармоник қисми билан боғлиқ бўлади. Буни қуйидаги ҳисоб тасдиқлайди:

Фараз қилайлик, икки атом (кристалл панжарасидаги қўшни атомлар) r_0 мувозанатли вазиятидан унча катта бўлмаган $r - r_0 = x$ четланишлар ҳолида бир-бири билан

$$F = -\frac{dU}{dx} = -\beta x + \gamma x^2 \quad (4.22)$$

куч билан ўзаро таъсирлашсин. У ҳолда ўзаро таъсир потенциал энергияси

$$U = - \int_0^x F dx = \frac{1}{2} \beta x^2 - \frac{1}{3} \gamma x^3, \quad (4.23)$$

бунда β — эластиклик (гармониклик) коэффициенти, γx^3 ни ангармоник ҳад дейилиб, γ — ангармониклик коэффициенти.

Больцман тақсимоти буйича атомнинг мувозанатли вазиятлари x масофага четланиш эҳтимоллиги

$$f(x) = A \exp \left(-\frac{U}{kT} \right) = A e^{-\beta x^2 / kT} \left(1 + \frac{\gamma x^3}{3 kT} \right), \quad (4.24)$$

бунда $\frac{\gamma x^3}{3 kT} \ll 1$ деб ҳисоблаб, иккинчи қўпаювчи

$$\exp \left(\frac{\gamma x^3}{3 kT} \right) \approx 1 + \frac{\gamma x^3}{3 kT} \quad (4.25)$$

Қиторга ёйилган.

А доимий нормалаш (мөърлаш) шартидан топилади:

$$\int_{-\infty}^{+\infty} e^{-\beta x^2 / 2 kT} \left(1 + \frac{\gamma x^3}{3 kT} \right) dx = 1, \quad (4.26)$$

қитнашган иккинчи интеграл нолга teng бўлади, чунки унинг остидаги функция тоқ функциядир. Натижада

$$A = \left(\frac{\beta}{2 \pi k T} \right)^{\frac{1}{2}} \quad (4.27)$$

қийматни ҳосил қиласиз.

Атомнинг мувозанатий вазиятдан ўртача четланиши

$$\bar{x} = \int_{-\infty}^{+\infty} x f(x) dx = \frac{\gamma k T}{\beta^2}, \quad (4.28)$$

бунда, биринчи интеграл ўз остидаги функция тоқ бўлганлиги туфайли нолга teng бўлади.

Иккинчи интеграл қиймати маълум Пуассон интегралига келтириллади.

Таърифга кўра, чизикӣ иссиқликдан кенгайиш α коэффициенти бирлик узунлик ва $10^{\circ} C$ га ҳисобланган узайишdir:

$$\alpha = \frac{\bar{x}}{aT} = \frac{\gamma k}{a\beta^2}, \quad (4.29)$$

бундаги $a=r_0$ — панжара доимийси. (4.29) дан иссиқликтан кенгайиш атомларининг ангармоник ҳаракатига боғлиқлиги яққол кўриниб турибди.

Мисол тариқасида бир валентли ионлар кристаллини қарайлик. Бу ҳолда ионлар ўзаро таъсир кучини

$$F = -\frac{e^2}{r^2} + \frac{B}{r^{10}} \quad (4.30)$$

деб ҳисобласа бўлади, бу ифодада — e^2/r^2 деформацияланмайдиган турли ишорали қўшини ионлар орасидаги Кулон қонуни бўйича тортишиш кучи, B/r^{10} — шу ионлар орасидаги итаришиш кучи, у масофа ўзгаришига қараб тез ўзгаради. Мувоза-

натда $F = 0 = -\frac{e^2}{a^2} + \frac{B}{a^{10}}$, a — ионларнинг мувозанатли оралиги. Бундан, $B=e^2a^8$ эканлиги келиб чиқади.

Аммо, $r=(a+x)$ бўлганлиги ва x нинг a га нисбатан кичкиналигини ҳисобга олсак,

$$F = -\frac{e^2}{(a+x)^2} + \frac{e^2 a^8}{(a+x)^{10}} = -\frac{8e^2}{a^3}x + \frac{52e^2}{a^4}x^2, \quad (4.31)$$

(4.31) ва (4.22) ифодаларни таққосласак,

$$\beta = 8e^2/a^3, \gamma = 52e^2/a^4. \quad (4.32)$$

Бу натижаларни (4.29) ифодага қўйсак, ионлар кристалл панжараси учун

$$\alpha = 52ak / 64e^2 \quad (4.33)$$

муносабатни ҳосил қиласиз.

$a=3*10^{-8}$ м, $k=1,38*10^{-23}$, $J\cdot K^{-1}$, $e=1,6*10^{-19}$ Кл қийматларни (4.33) ифодага қўйсак, $\alpha=1,5*10^{-5}$ град $^{-1}$ натижа келиб чиқади, бу — тартиб жиҳатдан тўғридир.

Бу бобнинг якунида шуни айтиш керакки, қаттиқ жисмларнинг иссиқлиқ сифими билан иссиқликтан кенгайиши орасида боғланиш бор:

Иссиқликтан кенгайиш коэффициенти α нинг атомлар (моляр) C_V иссиқлиқ сифимига нисбати мазкур модда учун температурага боғлиқ бўлмаган доимийликдир (Грюнейзен қонуни):

$$\alpha / C_V = \gamma_G k / 3V. \quad (4.34)$$

Ҳақиқатдан, бу икки ҳодиса температура ортганида атомлараро масофа ортишига боғланган.

Масалалар ва саволлар

1. 2 ва 3 атомли қаттиқ жисмларнинг моляр иссиқлиқ сифимини классик (мумтоз) тақрибда аниқланг.

2. Эйнштейннинг қаттиқ жисмнинг иссиқлиқ сифими назариясининг асосий фаразлари қандай?

3. Дебай температураси қандай аниқланади? У нимани ифодалайди?

4. ω тақрорийлики барча фононлар энергиясини ёзинг.

5. v (төвуш тезлиги)= $5*10^3$ м/с, элементар ячейка ҳажми $V_0=2*10^{-29}$ м 3 бўлганда Дебай температураси нимага teng?

6. Нима учун Дебай температурасидан пастда оптик тебраинилар иссиқлиқ сифимини аниқлашда эътиборга олинмайди?

7. Иссиқлии ўтказувчанликнинг қандай кўрманишлари бор? Қаттиқ жисмларда унинг қайси кўриниши муҳим?

8. Агар фонюмларнинг эркин югуриш йўли хона температурасида NaCl кристалл панжараси a доимийсидан 4 марта катта бўлса, бу кристаллнинг иссиқлиқ ўтказувчанлигини ҳисобланг.

9. Агар кумушнинг иссиқлиқ ўтказувчанлик коэффициенти 118 Ват/м.град, унда төвуш тезлиги 3700 м/с бўлса, $T=300K$ да фононнинг эркин югуриш ўртача узунлиги қашча?

10. 30 Кда олмоснинг солиштирма иссиқлиқ сифими иниқлансин.

V БОБ

ИДЕАЛ КРИСТАЛЛДА ЭЛЕКТРОНЛАРНИНГ ЭНЕРГИЯЛАРИ СПЕКТРИ

5.1. Кристалл учун Шредингер тенгламаси. Адиабатик тақриб

Ҳар қандай қаттиқ жисм жуда күп атомлардан ташкил топған бұлади. Атомларнинг ядролари идеал кристаллда мунтазам панжара ташкил қиласы. Негізде күрганимиздек, атомлар кристалл панжарасы түгунларидаги ўзининг мувозанатли вазиятлары атрофика табиғаттағы туралы. Нейтрал кристаллда ядроларнинг мусбат заряди барча электронларнинг манфий заряды миқдордан тенг бұлади. Демек, кристалл қаттиқ жисм күп зарралы квант тизимдир. Унинг стационар ҳолатларини Шредингер тенгламасини ечиб топылады:

$$\hat{H} \Psi = W \Psi_1, \quad (5.1)$$

бундаги хамилтониан (тұла энергия операторы)

$$H = \frac{-\hbar^2}{2m} \sum_i \nabla_{\eta}^2 - \frac{\hbar^2}{2} \sum_j \frac{1}{M_j} \nabla_{R_j}^2 + V(R, r) \quad (5.2)$$

күринишида бўлиб, унинг биринчи ҳади электронлар кинетик энергиялари операторлари йигиндиси, иккинчи ҳади ядролар кинетик энергиялари операторлари йигиндиси $V(R, r)$ ўзаро таъсир потенциал энергиясидан иборат. Потенциал энергияни қуидагича ёзиш мумкин:

$$V(R, r) = \sum_{j,k} \frac{z_j z_k e^2}{R_{jk}} + \sum_{i,k} \frac{e^2}{r_{ik}} - \sum_{i,j} \frac{z_j e^2}{r_j}. \quad (5.3)$$

Ушбу ифодаларда m — электрон массаси, M_j эса j — ядроларнинг массаси, r_i ва R_j — мос равища, i — электроннинг ва j —

ядронинг радиус векторлари, R_{ik} — ядролар орасидаги, r_{ik} — электронлар орасидаги, r_{ij} — электроилар билан ядролар орасидаги масофалар, z_i, z_k — ядроларнинг атом номерлари. (5.3) ифодада R_{ik}, r_{ik}, r_{ij} масофалар ҳисобида индекслар тенг бўлмаслиги керак. (5.1) ифодада W — кристаллнинг тўла хусусий энергияси, Ψ эса унинг тўлқин функцияси бўлиб, у барча зарраларнинг координаталарига боғлиқдир:

$$\Psi = \Psi(\eta, r_1, \dots, R_1, R_2, \dots) \quad (5.4)$$

Аслида (5.1) Шредингер тенгламаси ечилса, кристалл қаттиқ жисм хоссаларига тегишли барча саволларга қатъий жиоблар олиниши мумкин бўларди. Аммо, қаттиқ жисмнинг 1 m^3 ҳажмида 10^{28} дан ортиқ атом (зарраларнинг умумий сони ундан ҳам кўп) бўлади. Бу эса тўлқин функция ўшанча сон чамасидаги ўзгарувчиларга боғлиқ бўлади, демакдир. Бундай тенгламани ва унинг ечимини ҳатто ёзиб чиқиш амалда мумкин эмас. Шундай ёзув усули топилганда ҳам олинган ечим тақрибада кузатилган қонуниятларни тушунтириш учун ярамайди (газ барча молекулаларининг координаталари ва тезликларини билганда ҳам газ ҳолатини аниқлаб бўлмаслигини ёслайлик).

Синчиклаб бажарилган тадқиқотлар натижасида Шредингер тенгламасининг умумий аниқ ечимини топишга урунишинг зарурати йўқлигини, етарлича асосланган тақрибий ҳисоблаш қаттиқ жисмнинг барча муҳим хоссаларини тушинтириши мумкинлигини кўрсатди. Шредингер тенгламасини очишининг самарадор тақрибий усулини адиабатик бир электронли яқинлашиш (тақриб) деб номланган. У қаттиқ жисмларда электронларнинг энергиялари спектри назариясига асос бўлган.

Адиабатик яқинлашиш (тақриб). Атомлар ядролари массаси электрон массасидан кўп марта катта бўлганлиги учун кристаллдан атомлар ядролари панжара тугунларида қўзгалмас туради деб ҳисобланса, (5.2) ҳамилтон операторида ядролар кинетик энергиясининг $(-\hbar^2/2) \sum \frac{1}{M_j} \nabla_{R_j}^2$ операторини ташлаб юборилса, у

холда қўзгалмас ядролар майдонида ҳаракатланаётган электронлар системасининг $\varphi(r, R)$ тўлқин функцияси қўйилаги Шредингер тенгламасига бўйсунади:

$$\left\{ -\frac{\hbar^2}{2m} \sum_i \nabla_{r_i}^2 + V(R, r) \right\} \phi = E \phi, \quad (5.5)$$

бунда E — электронлар системасининг хусусий энергияси. Энди ядролар ҳаракатини ҳисобга олиш мақсадида бутун кристаллнинг түлқин функциясини

$$\Psi(r, R) = \Phi(R) \cdot \phi(r, R) \quad (5.6)$$

кўринишда ифодалаймиз. $\Phi(R)$ — ядролар тизими түлқин функцияси. Агар (5.6) ифодани (5.1) тенгламага қўйилса ва (5.5) эътиборга олинса,

$$\left[-\frac{\hbar^2}{2} \sum_j \frac{\nabla_{R_j}^2}{M_j} + E(R) \right] \Phi = W \Phi \quad (5.7)$$

тенглама ҳосил бўлади. Бу тенглама ядролар тизимининг улар $E(R)$ потенциал энергияли электронлар системаси майдонида ҳаракатланганни ҳолида стационар (вақтга боғлиқ бўлмаган) ҳолатларни аниқлаб берадиган Шредингер тенгламасидир. Шундай қилиб, электронлар ва ядролардан ташкил топган тизим ҳолатлари ҳақидаги аниқ квант механик масаласи иккита содлароқ масалаларга.

1). Электронларнинг қўзгалмас ядролар $I(r, R)$ майдонида ҳаракати ҳақидаги (5.5) масалага;

2). Ядроларнинг электронлар ҳосил қилган $E(R)$ ўртача майдонда ҳаракати ҳақидаги (5.7) масалага ажралади.

Юқорида баён қилинган тақрибий усулни **адиабатик яқинлашиш** дейилади.

5.2. Хартри-Фок усули. Бир электронни яқинлашиш

Адиабатик яқинлашиш (тақриб) кўп заррали квант система ҳолатлари ҳақидаги масалани бироз соддалаштириб, қўзгалмас ядролар майдонида электронлар ҳаракати масаласига келтиради. Бироқ, электронлар гизими учун ёзилган (5.5) тенгламани ҳам ечиш қийинлиги ва уни ечишга уринишнинг но мақбуллиги тўғрисида гапирдик. Бу масалани ечишнинг тақрибий йўлларини қидирилди. Ана шундай усулларнинг энг самаралиларидан бири Хартри-Фок усули бўлиб, у кўп элек-

тронли масалани бир электронли масалага айлантиради. Хар-три-Фок усули \hat{H} хамилтонианда электронларнинг ўзаро тасир энергиясини ҳар бир электрон мустақил ҳаракатланадиган тирий бирор ташқи майдондаги $U_{eff}(\vec{r})$ эффектив потенциал энергияси билан алмаштириш ғоясига асосланган. $U_{eff}(\vec{r})$ майдон барча бошқа электронларнинг мазкур бир электронга ўргача тасирини энг яхши равишда тавсифлайдиган қилиб танлаб олиниши керак. Тизимнинг хамилтониани энди фақат бир электроннинг координаталарга боғлиқ ҳамилтонианлар иттихидисидан иборат бўлиб қолади:

$$\hat{H} = \sum_{i=1}^N \hat{H}_i \text{. Бунда } \hat{H}_i = -\frac{\hbar^2}{2m} \nabla_i^2 + V(\vec{r}_i) + U_{eff}(\vec{r}). \quad (5.8)$$

Бу ифодада $V(\vec{r})$ қўшилувчи i — электроннинг ядролар майдонидаги, $U_{eff}(\vec{r})$ эса шу электрондан бошқа барча электронлар майдонидаги потенциал энергиялар.

Энди электронлар тизимининг тўлқин функцияси.

$$\varphi(\vec{r}_1, \vec{r}_2, \dots, \vec{r}_n) = \varphi_1(\vec{r}_1)\varphi_2(\vec{r}_2), \dots, \varphi_n(\vec{r}_n) \text{ бўлади.}$$

Ихтиёрий i — электрон учун ёзилган Шредингер тенгламаси:

$$\hat{H}_i \varphi_i^{(r_i)} = E_i \varphi_i(\vec{r}_i). \quad (5.9)$$

$U_{eff}(\vec{r})$ ни энг яхши равишда танлаб олиш қандай?

Бу ишни қандайдир ўз-ўзидан мослашган амаллар асосида болжариш мумкинлигини қўйида кўрамиз.

Олдин 2 та электрондан иборат тизимни қараб, натижаларни ихтиёрий N сондаги электронлар ҳолига умумлаштирамиз.

Икки электрон учун

$$\varphi(\vec{r}_1, \vec{r}_2) = \varphi_1(\vec{r}_1)\varphi_2(\vec{r}_2). \quad (5.10)$$

Электроннинг ҳолати учта $x, y, z (\vec{r})$ координаталардан ташқари яна спиннинг проекцияси қиймати билан ҳам ишланаади. Паули қонунига асосан, икки электрондан иборат

тизимда агар электронлар ўрнини алмаштирасак, түлқин функцияси ўз ишорасини ўзгартыриши керак, яъни:

$$\Phi(1,2) = \frac{1}{\sqrt{2}} \{ \varphi_1(1)\varphi_2(2) - \varphi_1(2)\varphi_2(1) \} = \frac{1}{\sqrt{2}} \begin{vmatrix} \varphi_1(1) & \varphi_1(2) \\ \varphi_2(1) & \varphi_2(2) \end{vmatrix}, \quad (5.11)$$

бунда 1 ва 2 ҳолатлар белгиланади. ҳақиқатан, $\Phi(2,1) = -\Phi(1,2)$. N та электронли тизим учун:

$$\Phi(1,2,3,\dots,N) = \frac{1}{\sqrt{N!}} \begin{vmatrix} \varphi_1(1)\varphi_1(2)\dots\varphi_1(N) \\ \varphi_2(1)\varphi_2(2)\dots\varphi_2(N) \\ \dots \\ \varphi_N(1)\varphi_N(2)\dots\varphi_N(N) \end{vmatrix} \quad (5.12)$$

(5.8) ва (5.12)лардан фойдаланиб, тизимнинг E энергиясини ҳисоблаб чиқилади:

$$E = \int \Phi * \hat{H} \Phi d\tau_1 d\tau_2 \dots d\tau_N \quad (5.13)$$

Мураккаб ҳисобларни келтирмасдан Хартри-Фок усулининг келгуси амалларини сўз билан айтиб ўтамиш.

(5.8) ифодага кирган H_1 ва e^2/r_{12} спинга боғлиқмас, шунини учун спин бўйича йигиш фазовий координаталаридан мустақил бажарилади. Бундан кейин $U_{eff}(\vec{r})$ куйидаги кўринишни қабул қиласди:

$$U_{eff}(\vec{r}) = \sum_j \int \frac{e^2 |\varphi_{nj}(\vec{r}_2)|^2}{r_{12}} d\vec{r}_2 - \sum_j \frac{\varphi_{nj}(\vec{r}_1)}{\varphi_{nj}(r_1)} \int \frac{e^2 \varphi_{nj}(\vec{r}_2) \varphi_{nj}(\vec{r}_2)}{r_{12}} d\vec{r}_2 \quad (5.14)$$

Бу асосда

$$[\hat{H}_1 + U_{eff}(\vec{r})] \varphi_m(\vec{r}_1) = E_m \varphi_m(\vec{r}_1). \quad (5.15)$$

ёки

$$\left[\frac{\hbar^2}{2m} \nabla_{r_1}^2 + V_{r_1} + U_{eff}(\vec{r}) \right] \varphi_m(\vec{r}_1) = E_m \varphi_m(\vec{r}_1) \quad (5.16)$$

Бу тенгламаларни Хартри-Фок тенгламалари дейилади.

$U_{eff}(\vec{r})$ ни ҳисоблаб чиқиш учун ϕ_n функцияларни танлаб олиши зарур. Нолинчи яқинлашишда қандайдир бир электронли ϕ_n функциялар олинади, сүнг U_{eff} ҳисоблаб чиқылади, кейин U_{eff} ифодасидан ϕ_n функцияларни биринчи тақрибда аниқланади, бу шаппи кераклигича давом эттириш мүмкін. Масалан, ϕ_n функциялар сифагида, үрніга қараб, әркін электрон ёки атомда болғанған электрон түлқін функциялари олинishi мүмкін. Бу мисалдаға биз кейинроқ тұхтalamиз.

5.3. Даврий электрик майдонда ҳаракатланған электрон масаласи

Кристаллар симметрияси $U_{eff}(\vec{r})$ потенциал майдоннинг зам кристалл даврийлигига эга бўлишларини тақозо қиласи. Демак, электроннинг қўзғалмас атомлар ядролари ва бошқа электронлар майдонидаги потенциали, яъни

$$V(\vec{r}, R) + U_{eff}(\vec{r}) = V(\vec{r})$$

даврий бўлади ва кристаллдаги электрон шу даврий майдонда ҳаракатланади. Бундан кейин бу потенциални $V(\vec{r})$ белгиси билан қўллаймиз.

Эди электроннинг түлқин функциясини танлаймиз. У Блох функциясидан иборат:

$$\varphi_k(\vec{r}) = u_k(\vec{r}) e^{i\vec{k}\vec{r}}, \quad (5.17)$$

бунда \vec{k} — электроннинг түлқин функцияси, $u_k(\vec{r})$ амплитуда юн даврий.

$$u_{\vec{k}}(\vec{r} + \vec{a}_n) = u_{\vec{k}}(\vec{r}). \quad (5.18)$$

Некиқитан, агар Блох түлқин функцияларини (5.14) га күпилса, $U_{eff}(\vec{r})$ нинг кристалл даврийлигига эга бўлишларини чиқади, яъни (5.17) ечим ўз-ўзига мослашганди.

Түлқин вектор \vec{k} ни қўйидаги қўринишда ёзилади (\vec{k} билан λ түлқин узунлиги $\vec{k} = (2\pi/\lambda) \hat{n}$ муносабатда болғанған):

$$\vec{k} = \frac{g_1}{G} \vec{b}_1 + \frac{g_2}{G} \vec{b}_2 + \frac{g_3}{G} \vec{b}_3 \quad (5.19)$$

бунда G — катта тоқ сон, $\vec{b}_1, \vec{b}_2, \vec{b}_3$ — тескари панжара векторлари, g_1, g_2, g_3 — бутун сонлар. \vec{k} вектор G^3 квазидискрет қиймат олади.

Бу ифодани ҳосил қилиш учун кристаллининг асосий соҳаси сифатида $G\vec{a}_1, G\vec{a}_2, G\vec{a}_3$ қирралари бўлган **паралелепипед** ажратиб олинади, бу ҳолда $G\vec{a}$, қадар силжиш тўлқин функция қийматини ўзgartирмайди (Борн-Карман даврийлик шарти). Агар (5.17) ифодада \vec{r} ўрнига $\vec{r} + \vec{a}_n$ қўйилса, $\varphi_{\vec{k}}$ ўз қийматини сақлайди. Ҳақиқатан,

$$\varphi_{\vec{k}}(\vec{r} + \vec{a}_n) = U_{\vec{k}}(\vec{r} + \vec{a}_n) e^{i\vec{k}\vec{r}} e^{i\vec{k}\vec{a}_n} = U_{\vec{k}}(\vec{r}) e^{i\vec{k}\vec{r}}$$

чунки $\exp i\vec{k}\vec{a}_n = 1$, $i\vec{k}\vec{a}_n = 2\pi \bullet$ бутун сон. \vec{a}_n нинг энг кичик қийматлари \vec{a} , булади ва $i\vec{k}\vec{a}_i = 2\pi$ келиб чиқади. Демак, тўлқин вектор шундай давр билан ўзгаради. Унинг физик жиҳатдан турли қийматлари

$$-\pi \leq k\vec{a}_i \leq +\pi \quad (i=1,2,3) \quad (5.20)$$

оралиқда ётади. Бу соҳани биринчи Бриллюэн зонаси дейилади. Кристаллининг тескари ва тўғри панжаралари векторлари кўпайтмаси $\vec{a}_i \vec{b}_k$ агар $i=k$ бўлганда 2π га, $i \neq k$ да нолга тенглигини эътиборга олиб, (5.19) ни \vec{a}_i га кўпайтирсак, $k\vec{a}_i$ нинг қийматлари $k\vec{a}_i = \frac{2\pi g_i}{G}$ булади, уларни (5.20) га қўйилса,

$$-\frac{G}{2} \leq g_i \leq +\frac{G}{2} \quad (5.21)$$

кўринишдаги оралиқ биринчи (келтирилган) Бриллюэн зонасини ифодалайди.

Блох функциясини электрон учун ёзилган

$$-\frac{\hbar^2}{2m} \nabla^2 \varphi_{\vec{k}} + V(\vec{r}) \varphi_{\vec{k}} = E_{\vec{k}} \varphi_{\vec{k}} \quad (5.9)$$

Шредингер тенгламасига қўйилса,

$$-\frac{\hbar^2}{2m}\nabla^2 u_k + V(\vec{r})u_k - \frac{i\hbar^2}{m}(\vec{k}\nabla u_k) = (E_k - \frac{\hbar^2 k^2}{2m})u_k \quad (5.22)$$

тенглама ҳосил бўлади. $k=0$ учун (5.22) тенглама ϕ_k учун ёзилган (5.9) га ўхшаш бўлади.

Турли қўринишдаги даврий майдонларда электрон қарқатини тақиқлаш электроннинг энергиялари спектри рухъяланган ва тақиқланган қийматлар оралиqlарига (зоналари) ажалишилигини кўрсатади. Кўйида бир неча ҳолларни кўриб чиқамиз.

5.4. Кучсиз ва кучли боғланган электронлар тақриблари

$E = E(\vec{k})$ боғланишини умумий ҳолда топиш муҳим масала бўлиб, аммо у шу кунгача счилмаган. У ёки бу қаттиқ жисмларининг турли физик хоссаларини ўрганишда бир неча тақрибий усуллар кўлланади.

1. Булардан бири кучсиз боғланиш тақрибининг нолинчи ишончилиши сифатида эркин электрон ҳолаги олинади, кристаллнинг даврий электрик майдони эса эркин электроннинг кинетик энергиясига нисбатан кичик бўлган потенциал энергия ҳосил қўйилсанган кичик таъсир (ғалаён) деб ҳисобланади. Шредингер тенгламаси асосида кетма-кет бажариладиган биринчи, иккинчи, тақрибий ҳисоблар оқибатида электронларнинг кристалл қаттиқ ишончларини энергиялари спектри ифодасига келинади.

Даврий жадвалнинг 1-4 гуруҳларига мансуб металларни нафрий ва тажрибий текширганда уларда ўтказувчанлик электронлари ҳаракатини тавсифлаш учун деярли доимий потенциални фойдаланиш мумкинлигини кўрсатди.

Кичик ғалаён деб қараладиган $V(\vec{r})$ кучсиз даврий потенциални Фурье қаторига ёймиз:

$$V(\vec{r}) = \sum_{g \neq 0} V_g \exp(i\vec{h}_g \cdot \vec{r}), \quad (5.23)$$

бундай \vec{h}_g тескари панжара вектори. Яна бунда $V_0=0$ деб ҳисобланадик, ўнг томон ҳақиқий бўлиши учун $V_g = V_g^*$ шарт ба-

жарилиши керак. Блох функцияси ампилитудасини ҳам Фурье қаторига ёйлади:

$$u_k(\vec{r}) = \sum_h a_h \exp(i(\vec{b}_h \vec{r})). \quad (5.24)$$

(5.23) ва (5.24) ифодаларни (5.22) тенгламага қўямиз:

$$\begin{aligned} \sum_k \frac{\hbar^2}{2m} \vec{b}_k^2 a_k e^{i(\vec{b}_k \vec{r})} + \sum_h \sum_{g \neq 0} V_g a_h e^{i(\vec{b}_k + \vec{b}_h \vec{r})} + \sum_h \frac{\hbar^2}{2m} (\vec{b}_h \vec{k}) a_h e^{i(\vec{b}_h \vec{r})} = \\ = \sum_h \left(E_k - \frac{\hbar^2 k^2}{2m} \right) a_h e^{i(\vec{b}_h \vec{r})}. \end{aligned} \quad (5.25)$$

Икки каррали йифиндида \hbar ва g бўйича йигнашни $\hbar-g$ ва g йигнашга алмаштирамиз, бу ҳолда кўрсаткичли функцияда $\vec{b}_k + \vec{b}_h$ ни \vec{b}_h га алмаштирилса, мазкур йифинди:

$$\sum_h \sum_g V_g a_{h-g} \exp(i(\vec{b}_h \vec{r}))$$

кўринишга келади. Барча \vec{r} лар учун (5.25) тенглик айнан ба-жарилиши учун ҳамма $\exp(i(\vec{b}_h \vec{r}))$ лар олдидаги коэффициентлар йифиндиси нолга тенг бўлиши зарур.

Бу ҳолда (5.25) дан:

$$\left[E_k - \frac{\hbar^2}{2m} (\vec{k} + \vec{b}_h)^2 \right] a_h - \sum_{g \neq 0} V_g a_{h-g} = 0. \quad (5.26)$$

$$(h_1, h_2, h_3 = \pm 1, \pm 2, \pm 3, \dots).$$

Эркин электрон учун $V_g = 0$ ва шунинг учун

$$E_k = \frac{\hbar^2}{2m} (\vec{k} + \vec{b}_h)^2 = \frac{\hbar^2}{2m} k^2, \quad (5.27)$$

чунки, $E(\vec{k} + \vec{b}_h) = E(\vec{k})$.

Энди (5.26) ни кучсиз даврий майдон учун ечамиз. Бу ифодада $a_0 = 1$ деб, йифиндида битта $g = h$ ли ҳадни қолдирамиз. У ҳолда

$$\alpha_h = -\frac{2m}{\hbar^2} \frac{|V_h|}{b_h^2 + 2(\bar{b}_h \bar{k})}. \quad (\hbar \neq 0) \quad (5.28)$$

$\alpha_{h=0}$ коэффициентлар электроннинг түлқин функциясига биринчи тақрибдаги тузатмалар бўлади.

Эркин электроннинг $E_k = \frac{\hbar^2 k^2}{2m}$ энергиясига қўшимча ишергина

$$E'_k = -\frac{2m}{\hbar^2} \sum_{g=0} \frac{|V_g|^2}{b_g^2 + 2(\bar{b}_g \bar{k})} \quad (5.29)$$

Пулиншилигини топиш қийин эмас, бунда (5.26) да $\hbar=0$ тегишли қўшишувчилар билан кифояланиш мумкин. Махражнинг

$$b_g^2 + 2(\bar{b}_g \bar{k}) \approx 0$$

пулиншилиги интерференцион шартни ифодалайди. Шу шартни қўшишувчиларди \bar{k} лар учун

$$E_k = \frac{\hbar^2 k^2}{2m} \pm |V_g| \quad (5.30)$$

бўлади, яъни электрон энергияси $2|V_g|$ га тенг узилишга эга бўлади. Бир ўлчовли ҳол қаралганда рухсатланган зоналар орасидаги тиқиқланган зоналар бор. Аммо, икки ўлчовли ва уч ўлчовли ғулларда бундай бўлмаслиги ва икки зона бир-бирининг устига тушинши мумкин. Бу ҳодиса металларда муҳим ўрин тутади.

Оиди кучли боғланган электронлар тақрибини қўрайлик. Электроннинг кинетик энергияси унинг $I(r)$ потенциал энергиясидан анча катта бўлгандан кейингина электрон эркин қарқатанинг галаёни деб қараш мумкин. Бу ҳол кристаллни кинетик энергияли электронлар билан нурлантирилганда рўёбга тиқинши мумкин. Аммо кристаллдаги атомдаги электроннинг кинетик энергияси унинг потенциал энергияси тебранишлари гартибидан бўлади, шунинг учун кристалл электронларига кучли боғланиш (квази эркин электрон) тақрибини қўллаш мумкин эмас. Агар электроннинг энергиялари спектрини ҳисоблешшида иолинчи яқинлашиш сифатида электроннинг якка

атомдаги ҳолати олинса ва кристаллнинг даврий электрик майдони эса ғалаён деб қаралса, у ҳолда квази боғлиқ электрон назарияси яратилади. Ҳақиқатан, айрим атомлар бир-бирига яқинлашиб кристал панжарасини ҳосил қила бошлаганида улардаги электронларнинг дискрет (ажрим) энергиялари сатхлари парчаланиб, энергия зоналарига айланы боради. Содда кубик панжара учун Шредингер тенгламаси мазкур усулда ечилса, электроннинг хусусий энергиялари

$$E(k)=E_a+C+2A(\cos k_x a + \cos k_y a + \cos k_z a) \quad (5.31)$$

ифодага келади. Бунда E_a — якка атомдаги электрон энергияси, C — үзаро таъсир доимийси, A — құшни түгунлардаги атомлар электронларининг алмашинув үзаро таъсирини ҳисобга олувчи күпайтувчи. Бу ифодадан қуйидаги холосалар келиб чиқади.

1) Кристалл панжараси ҳосил бұлғанида атомларнинг үзаро таъсирі оқибатида якка атомдаги электроннинг E_a сатхи C катталик қадар силжийди. Силжиш йұналиши C нинг ишора-сига боғлиқ.

2) Якка атомдаги электроннинг энергетик сатхи үрнига кристалл панжарада электрон энергиялари зонаси мавжуд бұлади. Электроннинг E энергияси k түлқин вектори k_x, k_y, k_z ташкил этувчиларига даврий болғиқ бұлади.

3) $\cos k_i a = \pm 1$ бұлғанда (5.31) ифоданинг катта ва кичик қийматлари қуйидеги бұлади:

$$E_{\max} = E_a + C + 6A, \quad (5.32)$$

$$E_{\min} = E_a + C - 6A. \quad (5.33)$$

Демек, содда кубик панжара учун электрон энергиялари зонаси кеңгілігі

$$E_{\max} - E_{\min} = 12A. \quad (5.34)$$

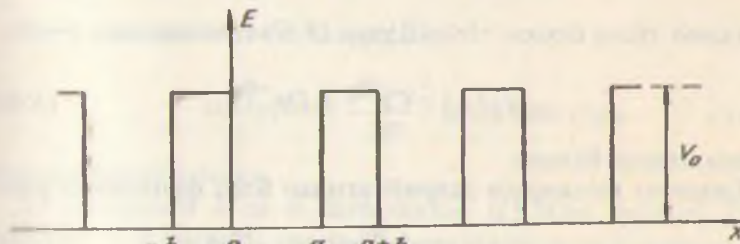
Күчли болғанған электрон тақриби, равшанки, атомларнинг чуқур энергетик сатхларыда жойлашған электронлар учун үзини оқлади, чунки, бу электронлар панжаранинг бошқа түгунларда атомлар билан үзаро суст таъсирлашади.

Албатта, құсиз болғанған электронлар ҳамда күчли болғанған электронлар тақриблари кристаллнинг үтказувчанлик

юнасидаги электронлар ҳолатини миқдоран тұғри тавсифлай олмайды, улар айрим кристаллардаги электронларнинг энергетик спектрини ва тұлқын функцияларини ҳисоб-китоб қилишга ирамайды. Бирок, муҳими шуки, бу тақриблар электроннинг даврий майдонда ҳаракати тұгрисида яққол умумий холосаларниң ишарелешіліктерін сипаттауда көзқарас жүрдегендегі деңгээлдерге қарастырылады.

5.5. Крониг-Пенни модели

Электрон даврий электрик майдонда ҳаракат қилғанда уннинг электрик спектри қандай бұлишилгінин яққол күрсатадиган содда моделлардан бири Крониг-Пенни модельділір. У атомларнинг бир чизік бүйлаб даврий жойлашган қолига мос бўлиб, бунда масалани соддалаштириш мақсадида мақкур йўналишда электрон учун навбатлашувчи (даврий) тұғри бурчакли потенциал тұғри чизиқлар мавжуд деб фараз қилинади. Тұсиқнинг кенглигі a , атомнинг электрон учун ҳосил қилған потенциал чуқурликнинг кенглигі b ва тұсиқнинг баландлигі V_0 бўлсин (5.1- чизма). Бу ҳолда кристал панжарасининг доимийсі $c=a+b$ бўлади.



5.1-чизма. Крониг-Пенни модель.

Электроннинг бундай даврий майдондаги E энергиясі тұсиқнинг баландлигидан кичик деб ҳисобланади. Шунинан күпидлаймизки, квант механикасига асосан, электрон бу потенциал тұсиқлар устидан ўтишга энергияси етарли бўлмасада, тұсиқлар деворидан туннел ўтиш (тирқиши) йўли билан ўтиб кети олиши мумкин ва шу йўсинга бу бир ўлчовли кристал бўйлаб ҳаракатлана олади.

Бу ҳолда электрон учун Шредингер тенгламаси қуйидаги күрининша бўлади:

$$+\frac{\hbar^2}{2m}\frac{d^2\psi}{dx^2}+(E-V)\psi=0, \quad (5.35)$$

бундаги $\Psi_{(x)}$ электроннинг тўлқин функцияси.

(5.35) тенглама потенциал чуқур ва потенциал тўсиқ соҳалари учун, мос равишда, қуйидаги кўринишда ёзилади:

$$\frac{d^2\psi_1}{dx^2}+k^2\psi_1=0, \quad (5.36)$$

$$\frac{d^2\psi_2}{dx^2}-k^2\psi_2=0, \quad (5.37)$$

булардаги

$$k^2=\frac{8\pi^2m}{\hbar^2}E,\theta^2=\frac{8\pi^2m}{\hbar^2}(V_o-E). \quad (5.38)$$

Потенциал чуқур соҳаси $0 < x < a$ учун (5.36) тенгламанинг ечими

$$\psi_1(x)=Ae^{ikx}+Be^{-ikx}, \quad (5.39)$$

потенциал тўсиқ соҳаси $-b < x < 0$ учун (5.37) тенгламанинг ечими

$$\psi_2(x)=Ce^{\theta x}+De^{-\theta x} \quad (5.40)$$

кўринишларда бўлади.

Кристалл панжараси даврийлигидан Блох функцияси учун

$$\psi(x+c)=e^{ikc}\psi(x)=e^{i\varphi}\psi(x) \quad (5.41)$$

муносабат ўринли, бунда $\varphi=kc$. Энди (5.40) ечимни (5.41) дан фойдаланиб, $a < x < c$ тўсиқ соҳа учун

$$\psi_2(x)=e^{i\varphi}\left[ce^{\theta(x-c)}+De^{-\theta(x-c)}\right] \quad (5.40)$$

кўринишда ёза оламиз.

Олинган ечимлар соҳалар чегараларида узлуксиз бўлишлиги, яъни бу чегараларда $\psi_1(x)$ ва $\psi_2(x)$ тўлқин функциялари ҳамда уларнинг ҳосилалари ўзаро тенг бўлишлиги керак.

$x=0$ чегарадаги $\psi_1(0)=\psi_2(0)$ ва $d\psi_1+dx|_{x=0}=d\psi_2+dx|_{x=0}$ шартлардан:

$$A+B=C+D, \quad (5.42)$$

$$ik(A-B)=\theta(C-D). \quad (5.43)$$

$x=a$ чегарадаги $\psi_1(a)=\psi_2(a)$ ва $d\psi_1/dx|_{x=a}=d\psi_2/dx|_{x=a}$ шартлардан:

$$Ae^{ika} + Be^{-ika} = e^{i\varphi}(Ce^{-\theta b} + De^{\theta b}), \quad (5.44)$$

$$ik(Ae^{ika} - Be^{-ika}) = \theta e^{i\varphi}(Ce^{-\theta b} - De^{\theta b}). \quad (5.45)$$

(5.41) - (5.44) тенгламалар системаси A, B, C, D доимийларни аниқлаш имконини беради. Бу система бир жиссли тенгламалар системаси бўлиб, унинг маъноли ечимга эга бўлиши учун ўшбу тенгламалардаги A, B, C, D лар олдидаги кўпайтувчилардан тузилган аниқловчи (детерминант) нолга тенг бўлиши керак, яъни

$$\begin{vmatrix} 1 & 1 & -1 & -1 \\ ik & -ik & -\theta & \theta \\ e^{ika} & e^{-ika} & -e^{i\varphi-\theta b} & -e^{i\varphi+\theta b} \\ ike^{ika} & -ike^{-ika} & -\theta e^{i\varphi-\theta b} & \theta e^{i\varphi+\theta b} \end{vmatrix} = 0. \quad (5.46)$$

Бу аниқловчини очиб чиқилганда

$$\cos kach\theta b + \frac{\theta^2 - k^2}{2\theta k} \sin kash\theta b = \cos\varphi \quad (5.47)$$

тenglama келиб чиқади.

Бу ифодадаги k ва θ катталиклар [(5.38)га қаранг] электроннинг E энергияси орқали ифодаланганлиги туфайли φ га турли қийматлар бериб, $E(\varphi)$ функцияни, яъни электрон энергиялари спектрини аниқлаш мумкин. Аммо (5.47) тенгламани очиш мураккаб, у тақрибий ҳисоблашни талаб қиласди. Лекин аларим чегаравий ҳолларда жуда яққол натижалар олиш мумкин. Бу ҳолда потенциал тўсиқ кенглиги b ни нолга ($b \rightarrow 0$) ва унинг баландлиги V_0 ни чексизга ($V_0 \rightarrow \infty$) интилтирамиз, аммо бул кўпайтма чекли доимий катталик бўлиб қолади деб ҳисоблаймиз, яъни

$$4\pi^2 mabV_0/h^2 = P = \text{const}. \quad (5.48)$$

Ниди $b \rightarrow 0$ ва $V_0 \rightarrow \infty$ чегаравий ҳолда:

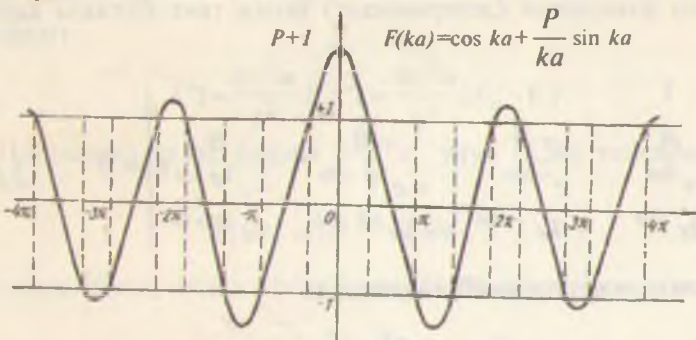
$$ch\theta b \rightarrow 1, sh\theta b \rightarrow 0;$$

$$\lim_{b \rightarrow 0} \frac{\theta^2 - k^2}{2\theta k} sh\theta b = \lim_{b \rightarrow 0} \frac{\theta^2 - k^2}{2\theta k} \theta b \frac{sh\theta b}{\theta b} = \lim_{b \rightarrow 0} \frac{b\theta^2}{2k} = \frac{P}{ka}. \quad (5.49)$$

Бу ҳолда (5.47) тенглама содда күринишга келади:

$$\cos ka + \frac{P}{ka} \sin ka = \cos \varphi. \quad (5.50)$$

5.2- чизмада (5.50) тенглама ечими график усулда тасвирланган.



5.2-чизма. Шредингер тенгламасининг счими.

Чизмадан күриниб турғанидек, соғы нинг қийматлари $+1$ дан -1 гача оралиқдаги қийматларнегін олиши туфайли, фақат шу оралиқда жойлашған соқалар (5.50) нинг ечимларыни ўз ичига олади (чизиқланған соқалар) мазкур оралиқдан ташқаридай соқаларда (5.50) нинг ечимлари бұлмайды.

Шундай қилиб, к нинг бинобарин Е нинг қийматлари мүаян оралиқда рухсатланған бўлиб, улар орасидаги соқалар тақиқланған бўлар экан. Демак, Крониг-Пенни модели бир ўлчовли (бир йұналишлы) даврий потенциал майдонида ҳаракатланастган электроннинг энергиялари рухсатланған ва тақиқланған соқалар (оралиқлар, зоналар)дан иборат булишилигини күрсатади.

Баъзи чегаравий ҳолларда (5.50) қизиқарлы натижалар беради.

1) $P \rightarrow \infty$ яғни потенциал түсік жуда баланд. Бу ҳол электронларнинг ўз атомлари билан бояланған қолига тұғри келади, $k=0$ бўлганда

$$\cos ka = 1, \sin ka/ka = 1, F(ka) = P + 1$$

Бўлишилигини аниқлаш қийин эмас. Демак $P \rightarrow \infty$ $F(ka)$ ҳолда функция k ўққа жуда тик тушади. Бунда электронларнинг рухатланған энергия соҳалари (зоналари) тор (дискрет сатҳларига мос) бўлади, тақиқланған энергия оралиқлари эса кенг бўлади. Бу ҳол якка атом электрони ҳолатларига мос келади.

2) $P \rightarrow 0$ ҳолда электронлар ўз атомлари билан кучиз бояланған, потенциал түсік паст бўлади, унда

$$\cos ka = \cos \varphi$$

шох ҳеч қандай тақиқланған соҳалар бўлмайди. Бу ҳол металлдан ёки әрқин электронлар гази қолига яқин келади.

3) $P \geq 1$ ҳолда P катта, аммо чекли қийматга эга. 5.2-чи имадан кўринишича к нинг (E энергиянинг) рухатланған қийматлари $ka = n\pi$ га чапдан ёндашади. Уларни

$$ka = n\pi + \delta \quad (5.51)$$

кўринишда ёзиш мумкин, бунда n — соҳа (зона) тартибини белгиловчи бутун сон, δ — бирдан кичик сон.

Энди электроннинг рухатланған n — соҳадаги E_n энергияси

$$E_n = A_n + (-1)^n B_n \cos \varphi \quad (5.52)$$

кўринишда ифодаланади, бунда

$$A_n = \frac{\hbar^2 n^2}{8ma^2} \left(1 - \frac{2}{P}\right), \quad B_n = \frac{\hbar^2 n^2}{8ma^2} \frac{2}{P} \quad (5.53)$$

(5.52) ифодани келтириб чиқаришда $|\delta| < 1$ деб ҳисоблаб, $\cos ka = (-1)^n$, $\sin ka = (\pm 1)$ ларни топамиз. (5.50) дан

$\delta = \frac{n\pi}{P} \left[(-1)^n \cos \varphi - 1 \right]$ муностағатни аниқлаймиз. Буни (5.51) ифодада қўйиб, $ka = n\pi \left| 1 + \frac{1}{P} (-1)^n \cos \varphi - \frac{1}{P} \right|$ тенгликни ҳосил

тага қўйиб, $ka = n\pi \left| 1 + \frac{1}{P} (-1)^n \cos \varphi - \frac{1}{P} \right|$ тенгликни ҳосил

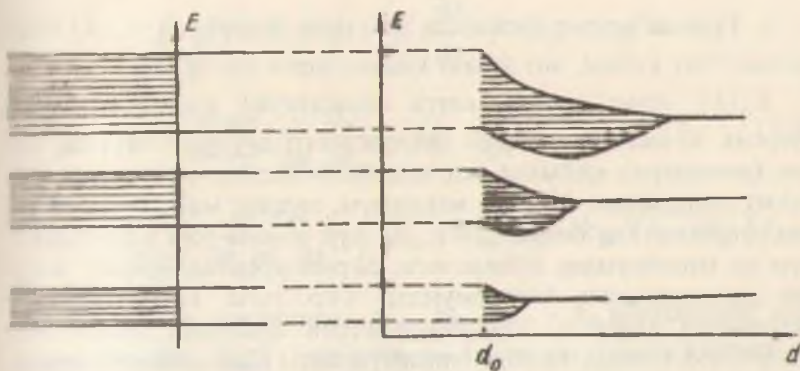
қиласиз. *ka* нинг бу қийматини (5.8) ифодалардан биринчи сига қўйсак, (5.52) натижа келиб чиқали. (5.52) дан рухсатланган электрон энергиялари соҳасининг кенглиги P та мұхим даражада боғлиқ бўлишлиги кўриниб туриди.

5.5. Идеал кристаллда электрон энергиялари спектри тўғрисида умумий холосалар

Олдинги бандларда кучсиз, кучли боғланиш ҳолларида бир ўлчовли ҳолда стационар даврий электрик майдонларда (улар кристаллда атомларнинг даврий жойлашишидан вужудга келади) ҳаракатланаётган электрон учун Шредингер тенгламасини адиабатик бир электронли тақрибда ечиб кўрдик. Улар мисолида кристалл қаттиқ жисмла электронларнинг энергетик спектри ҳақида муаяян тасаввур ҳосил қилилек. Квант механикаси қонунлари асосида юритиладиган умумий мулоҳазалар бу натижаларни тасдиқлайди. Бу натижаларнинг энг мұхими электронлар энергетик спектрининг зонавий тузилишидир. Шунинг учун ҳам бу назария зоналар назарияси номини олган. Биз қўйида унинг асосий холосаларини баён қиласиз:

Даврий электрик майдонда электроннинг энергиялари спектри рухсатланган ва тақиқланган энергия зоналарига ажralган булади. Бунинг асосий сабаби атомлар маълум масофа-ларгача бир-бирига яқинлашиб қаттиқ жисм ҳосил қилганларида бир-бирлари билан кучли таъсиrlашишга киришадилар, бунда якка атомдаги электронларнинг энергия сатҳлари шундай парчаланадики, бунда Паулининг битта энергия сатҳи иккитадан (бир квант ҳолатида биттадан) оптика электрон бўлиши мумкин эмас дейдиган тақиқ қонунига риоя қилган ҳолда, атомдаги бир энергия сатҳи ўрнига (атомлар соҳнига тенг миқдордаги сатҳларни ўз ичига олган) энергия соҳаси (зонаси) вужудга келади. Рухсатланган зоналар оралиғидаги тақиқланган зоналар кенглиги турли кристалларда турлича, рухсатланган зоналар тузилиши баъзи кристалларда мураккаб, зоналарнинг устма-уст тушениши ҳодисаси ҳам юз беради. 5.3- чизмада атомдаги айрим сатҳлардан зоналар вужудга келиши тасвирланган. d_o – атомларо масофа.

5.3 а- чизмада атомдаги 1,2,3 энергия сатҳларидан, атомлар яқинлашиб кристалл ҳосил қилганида, энергия зоналари вужудга келишини кўрачиб, бунда рухсатланган зоналарни бир-биридан тақиқланган тозумлар ажратиб туриди. зоналар устма-уст тушмаган.



Чизмада Атомдаги электрон энергиялари сатұларидан кристалдаги электрон энергиялари зоналари ҳосил бўлиши

5.3. б- чизмада 2,3 сатұлардан ҳосил бўлган зоналар бир бирини қисман қоплаган.

1. Зоналар тартиб номери ортган сари рухсатланган энергия зоналари кенгайиб тақиқланган зоналар торайиб боради.

2. Рухсатланган зона ичидә электроннинг энергияси узилешсиз ўзгаради деб ҳисоблаш мумкин, чунки ҳар бир зона ичидә энергия сатұлары жуда зич жойлашган (зонадаги сатұлар сони кристалдаги атомлар сони тартибида). Бу ҳол зона ичидә электронлар ҳаракатига боғлиқ ҳодисаларни ўрганишда мумтоз қонунлардан фойдаланиш имконини беради.

3. \vec{k} ва $\vec{k}' = \vec{k} + \vec{b}_g$ түлқин вектори тавсифлайдиган қолатлар бир бирига ўхшашир (бунда \vec{b}_g тескари панжара вектори). Бундан ихтиёрий n – зонадаги электроннинг энергияси \vec{k} нинг даврий функцияси бўлишилиги келиб чиқади:

$$E_n(\vec{k} + \vec{b}_g) = E_n(\vec{k}). \quad (5.54)$$

4. Электрон энергияси \vec{k} түлқин векторнинг жуфт функцияси бўлади:

$$E_n(\vec{k}) = E_n(-\vec{k}), \quad (5.55)$$

шами $E_n(\vec{k})$ энергиянинг ифодасига \vec{k} нинг фақат жуфт даралларни киради.

5. Тұлқин вектор фазосида электрон энергияси $E_n(\vec{k})$ экстремал (әңг кичик, әңг катта) қийматларға зерттеуде болады.

$E_n(\vec{k})$ нинг мутлақ катта (максимум) қиймати мазкур энергия зонасининг юқори чегарасини (шипини), мутлақ кичик (минимум) қиймати эса зонанинг пастки чегарасини (түбини) аниқлады. Мутлақ максимум, мутлақ минимум деб тақидашибизнинг бойын шуки, мазкур зонада бир неча максимум ва минимумлар бўлишлиги, айрим кристалларнинг энергия зоналаридаги экстремумлар бир неча карра айнигандан бўлишлиги мумкин. Масалан, галлий арсениди GaAs нинг юқориги зонасида иккита минимум бор. Кремний кристаллининг валент зонасида уч карра айнигандан максимум мавжуд.

6. Тұлқин вектор \vec{k} қийматларининг шундай соҳалари борки, бу соҳаларда электронлар энергияси узилишсиз ўзгаради (рухсатланган зоналар), аммо уларнинг чегарасида эса узилиш содир болады; бу соҳалар Бриллюэн зоналари дейилади. Биринчи Бриллюэн зонаси $-\pi \leq k_i \leq +\pi$ тенгсизликлар, иккинчи Бриллюэн зонаси $-2\pi \leq k_i \leq -\pi$ ва $+\pi \leq k_i \leq +2\pi$ тенгсизликлар билан ифодаланади. Барча юқори тартибли Бриллюэн зонасини геометрик кўчиришлар ёрдамида биринчи зонага келтириш мумкин. Шунинг учун уни келтирилган Бриллюэн зонаси дейилади. Бриллюэн зоналари шакли кристаллар тузилишини акс эттиради.

5.6. Электронларнинг кристаллдаги эффектив массаси. Ковак. Электрон энергияси ва импульси

Электронларнинг кристаллдаги рухсатланган энергиялари зоналарда унинг $E_n(\vec{k})$ энергияси \vec{k} нинг муайян қийматларыда экстремумларға (максимум ва минимумларға) зерттеуде бўлишлиги тұгрысисида юқорида айттылган эди. $E_n(\vec{k})$ функцияны экстремумлари яқинида қаторға ёйиш мумкин. Бу айрим қаттиқ жисмлар үзүн аҳамиятта зерттеуде бўлишларни кейинроқ кўрамиз. Масалан, n -зонада $E_n(\vec{k})$ энергия $\vec{k} = \vec{k}_0$, да экстремал қиймат олади дейлик. Шу $\vec{k} = \vec{k}_0$ яқинида $E_n(\vec{k})$ ни қаторға ёйиник:

$$\begin{aligned}\bar{E}_n(\vec{k}) = & \bar{E}_n(\vec{k}_0) + \sum_{\alpha} \left(\frac{\partial E_n}{\partial k_{\alpha}} \right)_{\vec{k}_0} (k_{\alpha} - k_{\alpha 0}) + \\ & + \frac{1}{2} \sum_{\alpha} \sum_{\beta} \left(\frac{\partial^2 E_n}{\partial k_{\alpha} \partial k_{\beta}} \right)_{\vec{k}_0} (k_{\alpha} - k_{\alpha 0})(k_{\beta} - k_{\beta 0}) + \quad (5.56) \\ & + \frac{1}{6} \sum_{\alpha} \sum_{\beta} \sum_{\gamma} \left(\frac{\partial^2 E_n}{\partial k_{\alpha} \partial k_{\beta} \partial k_{\gamma}} \right)_{\vec{k}_0} (k_{\alpha} - k_{\alpha 0})(k_{\beta} - k_{\beta 0})(k_{\gamma} - k_{\gamma 0}) + \dots,\end{aligned}$$

$k_{\alpha}, k_{\beta}, k_{\gamma} - k$ векторнинг, $k_{\alpha 0}, k_{\beta 0}, k_{\gamma 0} - k_0$ векторнинг ташкилловчилари. $E_n(\vec{k})$ энергия $\vec{k} = \vec{k}_0$ да экстремал қиймат олгани учун биринчи $(\partial E_n / \partial k_{\alpha})_{\vec{k}_0}$ ҳосилалар нолга тенг. Иккинчи тартибли ҳосилали ҳадлар 2-даражали тензорни ташкил қилади. Юқори тартибли ҳосилалар кирган ҳадлар жуда кичиклиги туфайли ҳисобга олинмайди. Энди (5.56) ёйилма яхши тақрибда

$$\bar{E}_n(\vec{k}) = \bar{E}_n(\vec{k}_0) + \frac{1}{2} \sum_{\alpha} \sum_{\beta} \left(\frac{\partial^2 E_n}{\partial k_{\alpha} \partial k_{\beta}} \right)_{\vec{k}_0} (k_{\alpha} - k_{\alpha 0})(k_{\beta} - k_{\beta 0}). \quad (5.57)$$

Агар тескари масса ўлчамлигига эга бўлган тескари эфектив масса тензори

$$\frac{1}{m_{\alpha\beta}} = \frac{1}{\hbar^2} \left(\frac{\partial^2 E_n}{\partial k_{\alpha} \partial k_{\beta}} \right)_{\vec{k}_0} \quad (5.58)$$

түшнинчаси киритилса, (5.57) анча соддалашади:

$$E_n(\vec{k}) = E_n(\vec{k}_0) + \frac{\hbar^2}{2} \sum_{\alpha} \sum_{\beta} \frac{(k_{\alpha} - k_{\alpha 0})(k_{\beta} - k_{\beta 0})}{m_{\alpha\beta}} \quad (5.59)$$

Тензорни учта бош ўққа келтириш амали бу ифодани яна ҳам соддалаштиради:

$$E(\vec{k}) = E(\vec{k}_0) + \sum_{\alpha} \frac{\hbar^2 (k_{\alpha} - k_{\alpha 0})}{m_{\alpha}}. \quad (5.60)$$

Агар бу ифодани эркин электрон кинетик энергияси учун ўлчам $E = \hbar^2 k^2 / 2m$ билан солиштирасак m_{α} масса маъносига эга

эканлигини пайқаймиз, аммо, умумий ҳолда, кристаллнинг ҳар бир бош ўқига ўзининг m_α массаси тұғри келади:

$$m_\alpha = \frac{1}{\hbar^2} \left(\frac{\partial^2 E}{\partial k_\alpha^2} \right)_{\vec{k}_0} \quad (5.61)$$

Эңг содда ҳолда (изотроп кристаллда) учала массалар бирдей бұлади:

$$m_1 = m_2 = m_3 = m^* = \frac{1}{\hbar^2} \left(\frac{\partial^2 E}{\partial k^2} \right)_{\vec{k}_0}. \quad (5.62)$$

Бу ифодадаги m^* скаляр эффектив масса дейилади. Бу ҳолда электроннинг энергияси, квази импульси ва Ньютоннинг иккінчи қонуни күйидегиша бұлади:

$$E_n(\vec{k}) = [\hbar^2(\vec{k} - \vec{k}_0)^2 / 2m^*] + E_n(\vec{k}_0), \quad (5.63)$$

$$\vec{P} = \hbar(\vec{k} - \vec{k}_0) = m^* \vec{v}, \quad (5.64)$$

$$\vec{F} = m^* (\vec{dv}/dt) = d\vec{p}/dt. \quad (5.65)$$

Энергия зонасининг пастки чегарасыда (мұтлақ минимума) $E_n(\vec{k})$ нинг иккінчи ҳосиласи мусбат, яғни $m^* = \hbar^{-2}(\partial^2 E_n / \partial k^2)_{\vec{k}_0} > 0$. Бу осон тушунарлы нәтижадир. Зонанинг юқориги чегарасыда эса $(\partial^2 E_n / \partial k^2)_{\vec{k}_0} < 0$ яғни $m^* < 0$.

Аммо бу ғалати нәтижаны тушуниш қийин әмас. Электрон кристалл ичидеги күчли майдон таъсирида ташқи майдон таъсири йұналишига қарши йұналған тезланишга әга бұлади (бу зонанинг юқориги чегарасыда содир бұлади). Агар зона шипида массаси $m_p = -m^*$ ва заряди $+e$ бұлған квази зарра (ковак) тушунчаси киритилса, мазкур ғалатилик бартараф бұлади. Бу квази зарранинг ковак деб аталишига сабаб у зонанинг ўша жойида электрондан бүш ҳолатин (ковакин) тавсифлашидир. Коваклар әркін электронлар билан биргаликда ярим ўтказғич кристалларда жуда мұхим ўрин тутади.

Таҳлилни соддалаштириш учун $E_n(\vec{k}_0) = 0$ ға $\vec{k}_0 = 0$ деб фараз қилинади. Эффектив масса тушунчаси $E_n(\vec{k})$ функцияни экстремумлари яқинида қаторға ёйиндан келип

чиққанлиги ва бинобарин, бу тушунча фақат зоналар чегаралари яқинидагина құлланиши мүмкінлегини таъкидлаймиз.

Скаляр эффектив масса изотроп кристалларга хос, аммо анизотроп кристалл хоссалари тавсифланганда эффектив масса тензори тушунчасидан фойдаланиш керак.

5.7. Энергия зоналари. Металлар. Ярим үтгазгичлар. Диэлектриклар

Биз юқорида квант физикаси заминнда кристалл қаттық дисмларда электронларнинг энергия зоналари ҳосил булишигини күрдик. Энди энергия зоналарининг электронлар билан түлдирилганлиги масалалари билан танишамиз, чунки юқориги энергия зоналарининг (валент сатұларидан пайдо бўлган зоналарнинг) қай даражада түлдирилганлиги ёки түлдирилмаганлиги кристаллнинг электрик хоссалари бўйича қайси гурухга — металларга (яхши үтгазгичларга) ярим үтгазгичларга ёки диэлектрикларга мансуб булишигини аниқлашиб беради. Дарвоқе, қаттиқ жисм квант физикаси (1930 йилилар бошида) яратилгандан кейингини мазкур моддалариниң кўп хоссаларини ва улар орасидаги тафовутни пухта илмини асосда тушуниш мумкин бўлди.

Умуман, энергия зонаси электронлар билан тўла түлдирилган, чала тўлдирилган ёки бутунлай тўлдирилмаган булиши мумкин.

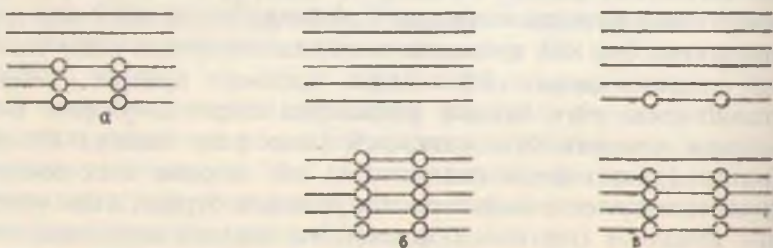
Агар энергия зонасини электронлар тўла тўлдирган бўлса (боглииган электронлар зонаси) бу ҳолда унданғи электронлар электр токда қатнаша олмайди. Сабаби шуки, бу зонанинг ҳар бир сатқыда бир хил қийматли тезликка эга бўлган икки электрон қарама-қарши йўналишида ҳаракат қиласи. Токда қатнашириш учун бундай жуфтларни ажратиш уларни бир кисмини юқорига бўш сатұларга (агар улар мавжуд бўлса) кутарини (энергиясини ошириш) ва энг муҳими электронлар йўналишини электр майдонга мос равишда буриш, яъни уларнинг йўналган (тартибли) ҳаракатини вужудга келтириш керак. Аммо тўла тўлдирилган зонада бўш сатұлар йўқ, электр майдон таъсир қилганида ҳам электронлар иккитадан ўз сатұларни қарама-қарши ҳаракат қилишида давом этади. Шунинг учун улар токда қатнаша олмайди.

Агар энергия зонаси чала тұлдирилған бұлса, уни үтказувчанлик зонаси дейилади. Бундай зона электронлари токда қатнаша олади. Улар үтказувчанлик электронлари ёки әркін электронлар дейилади. Мазкур зонанинг юқори қисміда бұш сатұлар бор, паст сатұларда жуфт-жуфт жойлашган электронлар электр майдон таъсирида тезлашиб юқориги бұш сатұларга күтарилади, тезликлари йұналишлари электр майдонға мос бурилади. Натижада зонадаги электронларнинг йұналған ҳаракати, яғни электр үтказувчанлик вужуда келади (бунда занжир ёпік бұлишлігіні назарда тутилади).

Тұлдирилған зона юқорисіда пастки зонадан тақиқланған зона билан ажратылған бұш зона бўлади. Агар қандайдир ташқи таъсир (температура, кучли электр майдон, ёргулік таъсир) оқибатида бу зонага тұлдирилған зонадан электронлар үтса бу икки зона ҳам чала тұлдирилған бўлиб қолади ва электр майдон ҳосил қылғанда токка үз ҳиссаларини қушади.

Икки муҳим ҳолни күриб чиқайлик.

1. Чала тұлдирилған валент зона ҳоли. Натрий Na кристаллини олайлик. Натрий элементлар даврий жадвалида 11-үринде туралы, унинг атомида 11 та электрон бор. Уларнинг 10 таси, Паули қонунига асосан 2 тадан 5 та сатұн тұла әгалаган, 11-электрон жойлашган валент сатұн чала (яrimиси) тұлдирилған. Натрий I валентгік элемент. Тұла тұлдириған 5 та ички сатұлардан натрий кристаллида ҳосил бўлған энергия зоналари ҳам тұла тұлдирилған, аммо валент сатұндан пайдо бўлған зонанинг ярми тұлдирилған бўлади (5.4- а чизма).



5.4-чизма. Энергия зоналарининг электронлар билан тұлдирилиш ҳоллари

Хар қандай температурада тұла тұлдирилған зонадаги электронлар электр токини үтказишда қатнаша олмайды, аммо ярми тұлдирилған зонанинг (үтказувчанлик зонасининг) электр

тронлари токда қатнаша олади, чунки уларни электр майдон тезләнтириб юқориги бүш сатҳларга (тезлик йўналишини ҳам ўнгартирган ҳолда) ўтказиши мумкин. Бу зонадаги электронларнинг тартибли ҳаракати вужудга кела олади. Натрий кристалли металл бўлиб, токни яхши ўтказадиган моддадир. Демак, юқориги инергетик зонаси электронлар билан ярмиси (чала) тўлдирилган молекулар металл хоссаларига эга бўлади. Бундай зонадаги эркин электронлар сони кристаллни ташкил қилган атомлар сони тартибида (бир cm^3 да тахминан 10^{22} та чамасида) бўлади. Металллар яхши ўтказгичлар.

Яна шуни айтиш зарур: атомда тўла тўлдирилган валент сатҳдан ва ундан юқориги бўш сатҳдан кристаллда пайдо бўладиган икки зона қисман бир бири устига тушганда ҳам (5,3,6- чизмани қ.) ушбу зоналарнинг юқориги қисмida бўш сатҳлар оралиғи мавжуд бўлади. Бу ҳолда ҳам электр майдон тасвирида электронларни тезлаштириб, юқорига бўш сатҳларга ўтказиш уларни токда қатнаштириш мумкин. Бундай моддалар ҳам металлар бўлади.

2. Тўла тўлдирилган валент зона ҳоли. Кремний кристалини олийлик. Кремний Si элементлар даврий жадвалида 14-ўринда туради. Бинобарин, унинг якка атомида 14 та электрон бўлиб, 10 таси мустаҳкам ички қобиқда 5 та сатҳни тўлдириган, қолган 4 таси 2 та валент сатҳни тўла тўлдириган. Кремний энг катта валентлиги 4 га тенг бўлган элемент, чунки унинг шу 4 та электрони қимёвий бирикишларда қатнашиши мумкин.

Валент сатҳлардан кремний кристаллида пайдо бўлган валент зоналар мутлақ нол температурада тўлдирилган бўлади (3,4,6-чизма). Демак, $T=0\text{ K}$ да бу зоналардаги электронлар электр токини ўтказишида қатнаша олмайди, яъни кремний бу ҳолда ўзини дизэлектрик (изолятор) каби тутади. Валент зонадан юқоридаги зона (у валент сатҳдан юқориги ўйғониш сатҳдан пайдо бўлади) бўм-бўш бўлади. Бу зона ўтказувчанлик зонаси дейилади. Бу номнинг келиб чиқишини ҳолири билиб оламиз. Биз бундан кейин икки валент зонасидан фикат битта юқоригиси билан иш қиласиз, чунки пастки валент зона аксарий ҳолда кремнийда содир бўладиган қолисашларда ҳеч қандай ҳиссага эга эмас.

Температура мутлақ нолдан (0K дан) юқори бўлганда зоналар тўлдирилганлиги қанақа бўлади?

Бу ҳолда ($T > OK$) валент зона электронларидан бир қисми, иссиқлик ҳаракати энергияси ҳисобига тақиқланган зона кенглиги деб аталған E_g энергетик түсікни енгіб, юқориги зонага яғни үтказувчанлик зонасига үтиб олған бұлади (5.4, в-чизма). Бу ҳодисани яққол тасаввур қилиш учун уни суюқлик молекулаларини бүг молекулаларига айланишига үхшатиши мүмкін. Энді валент зона ҳам, үтказувчанлик зонаси ҳам чала тұлдирілған зоналар бұлади. Улардаги электронлар электрик майдон таъсирида банд бұлмаган юқориги сатұларға үтиши (энергияни ва тезлик йұналишини үзгартыриши) яғни ток үтказышда қатнашиши мүмкін. Қисман тұлдирілған үтказувчанлик зонасидаги электронлар олдин айттылғанидек, әркін электронлар ёки үтказувчанлик электронлари дейилади. Улар мувозанат ҳолатида зонанинг тубида жойлашади.

Валент зонадаги коваклар. Үтказувчанлик зонасига үтиб кетған электронлар валент зонанинг юқориги чегараси яқинидаги сатұларини бүш қолдиради. Албатта, электр майдон таъсирида пастроқ сатұлардаги электронлар бу бүш сатұларға үтиб олиши мүмкін. 5.6-бандда күрганимиздек зонанинг юқориги чегараси яқинида электроннинг ташқи ва ички электр майдон таъсиридаги ҳаракатини $m_p^* > 0$ массали ва $+e$ зарядли квази зарра – ковакнинг ҳаракати орқали тавсифлаш мүмкін. Хуллас, валент зонанинг юқориги чегараси яқинида электрон бүшатиб кетған ҳолатни ковак банд қилған деб ҳисобланади. Электрон зарядига тескари зарядли ковак электрик майдон таъсирида электронлар ҳаракати йұналишига қарама қарши йұналиша ҳаракатланади, токда қатнаша олади. Коваклар энергияси юқоридан пастға томон ошиб боради!

Демек, $T > O_K$ да кремний кристалли электр үтказувчанликка эга бұлади, уни үтказувчанлик зонасидаги әркін электронлар, валент зонадиги коваклар амалға оширади. Әркін электронлар ва ҳаракатчан коваклар миқдори (үтказувчанлик ҳам) тақиқланған зонанинг E_g кенглиги (энергетик түсік баландлығига) боелиқ бұлади. Ҳар хил кристаллар учун E_g нинг қиймати түрлича бұлади. Шартли равишда ярим үтказгичларда $E_g < 2$ эВ, диэлектрикларда $E_g > 2$ эВ бұлади.

Бироқ, ярим үтказгичларда токда қатнаша оладиган заряд ташуучилар зичлиги металлдан анча кам, мос равишда электрик үтказувчанлик анча кичик бұлади. E_g си катта

бұлған диэлектриклар үтказувчанлиги, заряд ташувчилар жуда ҳам кам (баъзан, ҳисобга олмаслик даражада) бўлғанлиги туфайли, жуда ҳам кичкина бўлади, кўп ҳолларда уни йўқ деб ҳисобланади.

Температура ошиб борганида металларнинг үтказувчанлиги камаяди (қаршилиги ортади), чунки металлардаги эркин электронлар зичлиги катта ва температурага боғлиқ эмас, лекин температура ошган сари электронлар ҳаракатчанлиги камаяди.

Ярим үтказгичларда температура ошганида электр үтказувчанлик тез ортиб боради, чунки валент зонадан электронларнинг үтказувчанлик зонасига ўтишлари тез қўпаяди, бинобарин, токда қатнашувчи эркин электронлар ва ҳарикатчан коваклар зичлиги тез ортади, ҳаракатчанликлари ўз нисбатан суст ўзгаради. Ярим үтказгичлар, металлардан кўра, температурадан ташқари яна ёритишга, деформацияларга, турли нурланишларга нисбатан жуда сезгир моддалардир.

Яна бир муҳим фикрни айтиб ўтиш зарур. Ярим үтказгичларда энергия зоналаридағи сатҳларга нисбатан эркин топрил ташувчилар зичлиги анча (баъзан миллионларча) кам, шунинг учун улар зоналар чегараларидағи кичик оралиқдаги сатҳларда жойлашган бўлади: үтказувчанлик зонасидаги электронлар зонанинг туби ($E_n(k)$) энергия минимуми) яқинида, шундай зонадаги коваклар эса зонанинг шипи ($E_n(\bar{k})$) энергия максимуми) яқинида жойлашган бўлади. Демак, 5.6-бандада $E_n(\bar{k})$ энергиянинг экстремумлар яқинидаги ёйилмасидан келтириб чиқарилган эффектив масса тушунчаси мазкур электронлар ва ковакларга жуда катта аниқликда қўлланиши мумкин.

Металлар, ярим үтказгичлар, диэлектрикларга бағишлилган бобларда зоналар назариясининг маҳсус тушунчаларига тухалинади.

Шундай қилиб, қаттиқ жисимлар квант физикаси энергия индеги назарияси заминида металл, ярим үтказгич ва диэлектрик моддаларнинг электрик ва бошқа хоссаларини равшан түшинтириб беради.

Саволлар ва масалалар

1. Кристалл қаттың жисм үчүн Шредингер тенгламаси қандай ёзилади?
2. Адиабатик тақриб нимадан иборат?
3. Бир электронли тақрибнинг мазмуни қандай?
4. Крониг-Пенни модели нима ва у қандай хulosага олиб келади?
5. Блох функциясини тавсифланг.
6. Кремний кристаллида $m_1=1,55 m_o$, $m_2=m_3=0,082m_o$ (бунда m_o – эркин электрон массаси).

$$\frac{3}{m'} = \left(\frac{1}{m_1} + \frac{1}{m_2} + \frac{1}{m_3} \right) \text{ ифодадан } m' \text{ массани топинг.}$$

VI БОБ

ХАҚИҚИЙ КРИСТАЛЛ ҚАТТИҚ ЖИСМЛАРДАГИ НУҚСОНЛАР

6.1. Кристаллардаги нұқсонлар ҳақида умумий муроҳазалар

Олдинги бобларда қаттиқ кристалл жисмни мутлақ тартиб-ланған, яъни атомларнинг қатъий даврий жойлашишида ҳеч қандай бузилиш бүлмаган жисм деб қаралди. Факат атомлар төрбаниши бундан истисно әди.

Лекин, ҳақиқиий кристалларда ҳамма вақт кристалл панжарасининг анча миқдордаги бузилиши (нұқсонлари) мавжуд болади. Даставвал макро ва микро нұқсонларни фарқлаш лотим. Макронұқсонлар микроскопда осон күрінади. Бундай макронұқсонларнинг мисоллари – металл құймалардаги көшкелар, дарзлар, ёт моддалар киришмалари уюmlари, поликристаллнинг доначалари – айрим кристаллчаларнинг күрініма чегараларидір. Электронлар микроскопиясینинг нағдо бўлиши санаб ўтилган нұқсонларни анча кичик ўлчамли оғлтанды ҳам кузатиш имконини берди.

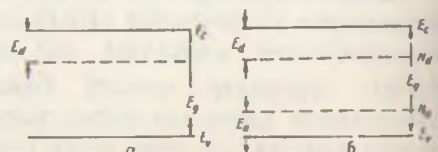
Макронұқсонларга ёки атомлар ўлчамида қараладиган нұқсонларга уч ўлчамдан (x, y, z) ҳеч бүлмагандан бири кристал панжарасининг $a = 0,2 \div 0,5$ нм даври билан таққосланувчи бўлғи нұқсонлар мансуб бўлади. Айрим күрінишдаги нұқсонларни қарашдан олдин ҳақиқиий кристаллни нұқсонсиз (идеал) кристаллдан фарқловчи умумий белгиларни топайлик.

Идеал кристаллда атомлар қатъий даврий жойлашганлиги оқибатида кристалл ичиде даврий электрик майдон шаклланған бўлади. Кристаллнинг даврий ички электр майдонининг ҳар қандай бузилиши нұқсон бўлади. Нұқсонлар мисоли таққосидан ёт атом – киришманинг кристалл атоми ўрнига обиляшиб олиши ва кристалл атомининг жойидан кетиши – ықансия (бўши жой) ҳосил бўлишини келтириш мумкин.

Агар кристаллдаги нүқсонлар оз бўлса, бу ҳолда улар бир-биридан анча йирокда жойлашган, яъни кристалл панжараси нүқсонлари маҳаллийлашган бўлади. Бунда кристалл ичидаги электр майдон фақат нүқсон атрофидагина бузилади, бошқача айтганда, кристаллнинг даврий V_0 потенциалига нүқсон яқинида V' қўшимча потенциал қўшилади, тўла потенциал $V = V_0 + V'$ бўлади. Шунинг учун ҳам фақат шу соҳада бўлган электронларнинг энергетик ҳолатлари ўзгаради, бу эса идеал қаттиқ жисм электронлари энергия зоналарига қўшимча маҳаллий энергетик ҳолатларнинг пайдо бўлишига олиб келади. Бундай маҳаллий ҳолатлар сони N нүқсонлар сонига тенг, ёки агар бир нүқсон бир неча ҳолатда бўла олса, маҳаллий ҳолатлар сони нүқсонлар сонидан катта бўлади.

Маҳаллий энергетик сатҳлар (ҳолатлар)да электронлар боғланган, бу боғланиш турли қаттиқ жисмларда моҳиятai турличадир. Металларда нүқсонлар пайдо қилган сатҳлар рухсат қилинган энергиялар зonasи ичida жойлашади. Металларда электронлардан буш нүқсонларнинг ионланган ҳолатда бўлишилиги энг эҳтиомлигидир.

Ярим ўтказгичлар ва дизэлектриклар электронлари тақиқланган энергиялари зonasи бўлган энергетик спектрга эгадир. Албатта, бундай кристалларда маҳаллий энергетик ҳолатлар рухсатланган зоналарга тушиши мумкин. Агар улар ўтказувчаник зонасида жойлашса, уларни **резонанс сатҳлар**, агар улар валент зонасида жойлашса, уларни **анти резонанс сатҳлар** дейилади. Бу ҳолларда нүқсонларга тегишли электронлар улар билан боғланишини йўқотади ва умумлашган зона электронлари жамоасига қўшилади. Лекин, аксарий кўп ҳолларда нүқсонлар сатҳларида жойлашган электронлар нүқсонларга боғлиқлигича қолиши мумкин, уларни фақат иссиқлик ҳаракати ёки бошқа энергия манбаси ҳисобига ўз нүқсонларидан ажратиб юбориш – активлантимиш мумкин. Нүқсонларга боғлиқ электронлар электр ўтказувчаникда қатнаша олмайди, албатта. Бундай нүқсонларнинг электронлар учун сатҳлари ярим ўтказгичнинг (диэлектрикнинг) тақиқланган зонасида жой-



6.1-чизма. Тақиқланган зонадаги маҳаллий сатҳлар

шынган бұлади. Бу 6.1- чизмада күрсатылған. Қайси бир мәннен олинган энергия эвазига нұқсонлар ионланади? Бир хиллари үтказувчанлик зонасига электронлар беріб, үзлари мұсbat зарядли нұқсонларға (6.1, а- чизма), бошқа хиллари, әкесинча, электронларни тутиб олиб, манфий зарядли нұқсонларға (6.1, б- чизма) айланади.

Үтказувчанлик зонасига электронлар бера оладиган нұқсонларни донорлар дейилади, таркибида донорлар бұлган шрим үтказгичларни эса электрон үтказувчанликли шримүтказгичлар ёки n - тур ярим үтказгичлар дейилади. Мөслиниша ярим үтказгичларнинг үтказувчанлик зонасидеги электронлар күчиши билан бөглиқ электр үтказувчанликтан электрон электр үтказувчанлик ёки n - тур үтказувчанлик дейилади.

Агар кристаллни қыздирғанда электронлар валент зонадан нұқсонлар сатхларига үта олса, бу ҳолда валент зонада құркаптчан мұсbat зарядли коваклар пайдо бўлади, ковак электр үтказувчанлик вужудга келади. Электронларни үзига қабул қилинған нұқсонларни акцепторлар деб аталған, таркибида акцепторлар бўлган ярим үтказгични эса ёки ковак үтказувчанликли ярим үтказгич ёки p - тур ярим үтказгич дейилади.

6.1- чизмада донорлар сатхлари үтказувчанлик зонаси туби шишинида, акцепторлар сатхлари эса - валент зона шишинида тасвиirlанған. Хусусий ионланишга нисбатан нұқсонлар ионланиши анча осон, кичикроқ температураларда жоғ беради. Сатхларнинг донор ёки акцептор бўлишлиги мазкур сатхларни ҳосил құлувчи нұқсонларнинг табиатига бөглиқ.

Донорлар электронларни фақат үтказувчанлик зонасига шысад, балки акцептор табиатли ҳар қандай нұқсонға бера олади. Акцепторлар электронларни валент зонадан қабул қилиш билди бир вақтда кристаллдаги ҳар қандай донордан ҳам олиши мүмкін.

Ниҳоят, амфотерлик ҳоссалари намоён бўладиган, яъни донор ҳам, акцептор ҳам бўла оладиган табиатли нұқсонлар мансуб. Нұқсонларни синфларга ажратиш кристалл майдонинше нұқсон томонидан бузилиши ўлчамларига асосланған:

А) нұқтай (нол ўлчовли) нұқсонлар, уларга ўлчамлар (a_1, a_2, a_3) бўлган нұқсонлар мансуб, бунда a - кристалл панжаласи доимийиси;

Б) чизифий (бир ўлчовли) нуқсонлар, икки йўналишда уларнинг ўлчамлари кичик ($< a$) ва учинчи йўналишда ўлчами ҳар қанча бўлиши ($>> a$) мумкин;

В) ясси (икки ўлчовли) нуқсонлар, уларнинг бир йўналишда ўлчами кичик, холос.

Г) ҳажмий (уч ўлчовли) нуқсонлар, уларнинг баъзилари макро нуқсонларга тааллуқли бўлади.

Бу ўлчамлар бўйича синфлашга бир неча бир хил ёки ҳар хил содда нуқсонларнинг бирлашмасидан иборат мураккаб нуқсонларни ҳам киритиш мумкин.

У ёки бу нуқсон пайдо бўлишида ўринли бўладиган тартибсизланиш авзойига қараб ҳам нуқсонларни бошқача синфларга ажратилиди. Аввало улар хусусий тартибсизланиш нуқсонлари бўлиб, уларнинг энг муҳим мисоллари электрон ва атомга оид нуқсонлардир. Улар қаттиқ жисмлардаги диффузия, эритмалар парчаланиши ва бошқа ҳодисалар иштирокчиларидир.

Бу синфга ҳаракат нуқсонлари, йўналганлик нуқсонлари, экспонентлар, электрон – ковак жуфтлар, фононлар ва поляронлар мансубдир.

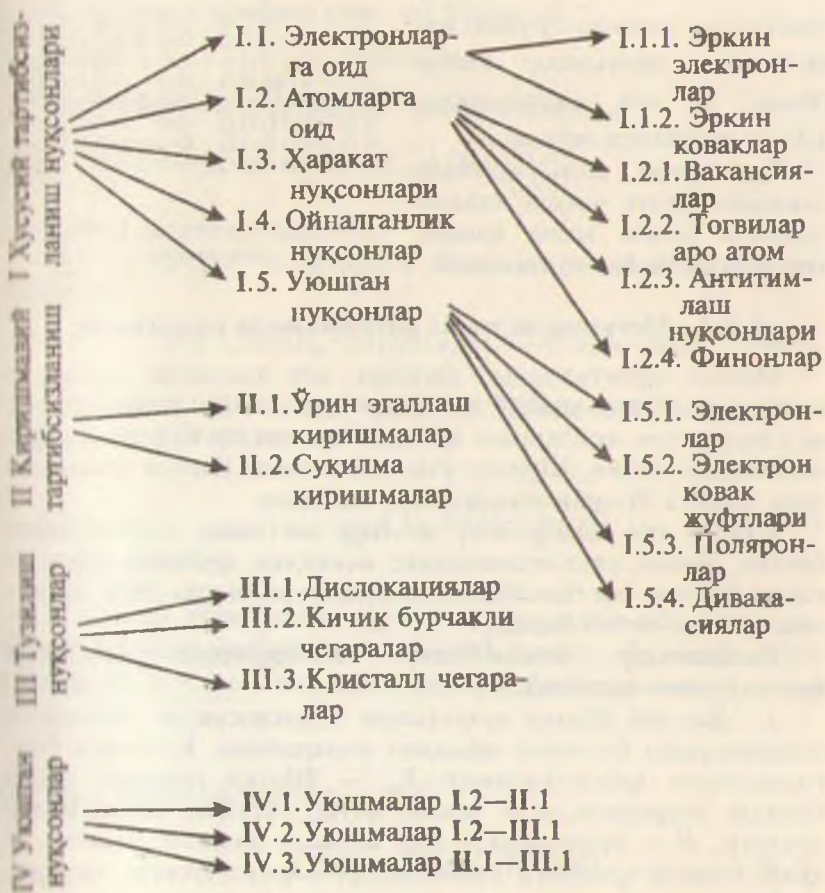
Киришма атомлар мавжуд бўлишига боғлиқ бўлган тартибсизланиш нуқсонлари бошқа синфи ташкил қиласди.

6.2. Нуқтавий нуқсонлар

Нуқтавий нуқсонларнинг қаттиқ жисмда ҳамма вақт мавжуд бўладиганлари атомлардан бўшаб қолган тугунлар – вакансиялар ва тугунлар оралигига жойлашиб олган атомлардир.

Вакансияларнинг мувозанат шароитида ҳосил бўлиши кристалл атомларининг иссиқлик тебранишлари билан боғлиқ. Мўътадил температураларда атомлар тебранишларининг ўртacha амплитудаси атомлар аро масофа (панжара доимийси)нинг бир неча фоизига этиши мумкин. Тугунлар атрофида тебранувчи атомларнинг энергияси жуда кичикдан то анча катта қийматларга эга бўла олади.

Юқори энергияли атомлар ўз мувозанатий вазиятларидан узоқлашиб кетиши (тугунни ташлаб кетиши), тугунлар оралигига ўтиши мумкин. Тугунлар оралигига ўтган атём яна буш тугунги қайтиши – рекомбинацияланиши мумкин. Лекин, мазкур атом вакансияга энг яқин тугунлар оралигидан узоқроқдагиларига томон диффузияланиши ҳам мумкин. Шу равишда Френкс нуқсонлари деб аталган вакансия – тугунлараро атом жуфтлари



6.2 – чизма. Кристаллнинг тартибсизланиши бўйича нүқсонларнинг синкли.

пужулга келади. Улар кристалл ҳажмида қўчиб юради, бу дайдин жараёни бу икки нүқтавий нүқсон қўшни вазиятларда учришиб, рекомбинация юз бергунча, ёки улардан бири сиртга чиқиб олмагунча давом этади.

Агар вакансия, кристалл бўйлаб диффузияланаб, сиртга чиқса, бу ҳолда унга ичкарироқдаги қатламдаги атом ўтиб олиши мумкин. Пайдо бўлган вакансияга кейинги қатламдаги атом

ұтади ва ҳ.к, натижада түгүншілар арқа атомдарсиз вакансиялар пайдало булади. Бұз хил вакансияларни Шотки нүқсонлари дейнләди.

Түгүншілар атом кристалл ұжымидан сиртің чиққан атомлар күшімчә қаттама ҳосил қиласы, кристалл ұжымы бир мұнча орғади.

6.2.1. Металлар ва метал қотишмаларда вакансиялар

Мегалл кристалларда, айниқса зич таҳланған кристалл панжаралы бұлғанларидан, түгүнлар оралиғи үлчамлары кичик ва уларда атом жойланиши ҳамда бу оралиқтар бүйлаб диффузияланиши қийин. Шунинг учун металларда Шотки вакансиялари мавжуд булиши әхтимоллығы кattароқ.

Иккала хил вакансиялар зичлигі даставвал температурага болғыл, чунки улар атомларнинг иссиқлик ҳаракати туғайли пайдо булади ва бинобарин, температура ошган сары вакансиялар сони ортиб боради.

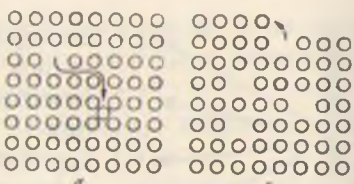
Вакансиялар зичлигининг температурага миқдорий болғаншыны топайлык.

I. Дастлаб Шотки нүқсонлари — вакансиялар зичлигини температурага болғовчы ифодани аниқтаймиз. Қуйидаги белгилашларни қабул қиласыз: $V_{\text{ш}}$ — Шотки нүқсони ҳосил булиши энергиясы, n — вакант (бұш) түгүнлар вакансиялар зичлигі, N — түгүнларда турған атомлар зичлигі бұлсın. Ү қолда бирлік ұжымдаги вакансияларни ҳосил қилиш энергиясы $E=nV_{\text{ш}}$.

Статистик физикада исботланишича, системанинг (бизнинг) қолда вакансиялар ва түгүнлардаги атомлар системасининг) энтропиясы S билан унинг қолатлари әхтимоллығы W орасыда күринишидеги болганиш бор, бундаги W әхтимоллық ифодасы:

$$S=k \ln W \quad (6.1)$$

$$W = \frac{(N+n)!}{n! N!} \quad (6.2)$$



6.3-чигзма. Френкел(а). Шотки(б) нүқсонлары

Стирлинг тақрибига күра, $x \gg 1$ бўлганда

$$\ln x! \approx x \ln x - x \quad (6.3)$$

Биз қараётган системанинг эркин энергияси

$$F = E - TS = nV_{\text{m}} - kT \ln \frac{(N+n)!}{n!N!} \quad (6.4)$$

Бу ифодадаги логарифмга Стирлинг тақриби (6.3) ни
қўйласак,

$$F = E - TS = nV_{\text{m}} - kT[(N+n)\ln(N+n) - n\ln n - N\ln N]. \quad (6.5)$$

Маълумки, эркин энергиянинг n бўйича ҳосиласи мувоза-
нат ҳолатида нолга тенг, яъни

$$\frac{\partial F}{\partial n} = V_{\text{m}} - kT \ln \frac{N+n}{n} = 0 \quad (6.6)$$

Металлар учун одатда $V_{\text{m}} = 1 \text{ эВ}$, бунга мос келадиган вакансияларнинг нисбий сони $n/N = 10^{-9}$, демак, бу ҳолда $n \ll N$ бўлади, ва $\ln \frac{N+n}{n}$ ни $\ln N/n$ деб ҳисоблаш мумкин. У ҳолда

(6.6) дан вакансияларнинг

$$n_m = n = N \exp(-V_{\text{m}}/kT) \quad (6.7)$$

зичлиги ифодаси келиб чиқади. Бунда N кристалл панжарасидаги барча тугунлар зичлигини билдиради.

(6.7) ифодадан кўрининчича, вакансиялар зичлиги n тугунлар зичлигига пропорционал, вакансия ҳосил бўлиш энергияси (V_{m}) катта бўлганда n кичик бўлади, мазкур зичлик темпера-
тураси ортган сари кўрсаткичли функция сифатига тез ортиб борили. Демак, юқори температураларда вакансиялар миқдори
купроқ бўлади.

2. Энди Френкел нуқсонлари (вакансиялар ва тугунлараро
итомлар жуфтлари) зичлигини аниқлайлил. Шунисини айтиш
иеракки, Френкел нуқсонлари тент миқдордаги вакансиялар

ва тугунлараро атомлардан иборат. Масалн, биз бу ҳолда вакансиялар зичлигини топсак, Френкел нүқсонлари зичлигини топган бўламиз. Бунда биз вакансиялар билан бир қаторда тугунлараро атомларни зътиборга олиб ҳисоблаймиз.

V_ϕ — Френкел нүқсонлари ҳосил бўлиши энергияси (атомнинг ўз тугунидан тугунлар орасига ўтиши энергияси), N — тугунларнинг умумий сони, N' — имконий тугунлараро вазиятлар сони, $E = V_\phi n$ — бу пта нүқсон ҳосил бўлиш энергияси.

Бу ҳолда эҳтимоллик

$$W = \frac{N!}{n!(N-n)!} \frac{N'!}{n'!(N'-n)!}, \quad (6.8)$$

эркин энергия

$$F = E - TS = V_\phi n - kT \ln W. \quad (6.9)$$

Стирлинг тақрибини қўлласак,

$$F = E - TS = V_\phi n - kT \{ N \ln N + N' \ln N' - 2n \ln n - (N-n) \ln(N-n) - (N'-n) \ln(N'-n) \}. \quad (6.10)$$

Мувозанат ҳолатида

$$\frac{\partial F}{\partial n} = V_\phi - kT \ln \left[\frac{(N-n)(N'-n)}{n^2} \right] = 0 \quad (6.11)$$

(6.11) ифодадан

$$n^2 = (N-n)(N'-n) \exp(-V_\phi/kT). \quad (6.12)$$

Олдинги ҳолда кўрганимиздек, $n \ll N, N'$ бўлганлиги туфайли ўнг томонда п ларни ташлаб юборамиз, сўнг квадрат илдиз оламиз. Натижада

$$n = N_\phi = \sqrt{NN'} \exp(-V_\phi/2kT) \quad (6.13)$$

қидирилган ифода ҳосил бўлади.

(6.7) ифодада экспонента кўрсаткичидаги kT туради, (6.13) ифодада эса $2kT$ туради. Бундан ташқари, N ва N' тафовутини V_ϕ ҳамда $V_\phi/2$ фарқи ҳисобидан Шотки ва Френксл

нуқсонлари зичликлари бир-биридан анча фарқ қилиши мүмкін. Масалан, юқорида айтилғандек, металларда Шотки нуқсонлари ҳосил бўлиши эҳтимоли каттароқ бўлиб, уларнинг металлар хоссаларига таъсири ҳам каттароқдир.

Шотки нуқсонлари вакансиялардангина иборат бўлганлиги учун $n_v = N_v$ ва $V_v = E_v$ деб ёзиш мумкин; у ҳолда Шотки вакансиялари зичлиги:

$$N_v = N \exp(-E_v/kT) \quad (6.7')$$

Кўпчилик адабиётда ёзиладиган кўринишни олади. Биз энди шу ифода билан ишлаймиз. Одатда вакансиялар ҳосил бўлиши энергияси Е тури кристаллар учун 1-2 эВ чамасида.

Агар $E_v = 1\text{эВ}$ ва $N = 10^{22} \text{ см}^{-3}$ деб қабул қиласак, у ҳолда вакансиялар зичлиги температура сайин жуда тез ошиб боришига (6.7') ифода асосида ишонч ҳосил қиласиз:

T, K	0	100	300	500	700	900	1100
N_v, cm^{-3}	0	$2 \cdot 10^{32}$	$6 \cdot 10^{14}$	$2 \cdot 10^{10}$	$2 \cdot 10^{14}$	$2 \cdot 10^{16}$	$2 \cdot 10^{17}$

Бу маълумотдан хона температурасида вакансияларнинг муовинатий зичлиги жуда кичик кўринади. Бироқ, кристални бир мунча вақт юқори температурада тутиб турйлса, яъни унда кўп миқдорда вакансиялар ҳосил қилинса, сўнгра уни жуда тез совутилса, (буни чиниқтириш дейилади) бор вакансиялар зичлиги ўша юқори температурадагидаи қолади. Шу сабабдан бу зичлик олдинги термоиншловга, яъни кристаллнинг таржимаи ҳолига ҳам боғлиқ бўлиши. Муайян вақт давомида кристални қиздириш оқибатида ошиқ миқдордаги вакансияларни йўқ қилиш мумкин. Бу жараённи «куйдириш» дейилади.

Нуқгавий нуқсонларнинг ҳосил бўлиши фақат температурага эмас, балки босимга ҳам боғлиқ. Унча юқори бўлмаган босимлар соҳасида ушбу ифодадан фойдаланиш мумкин:

$$N_{l'} = N \exp[(-E_{l'} + Pv)/kT]. \quad (6.14)$$

Бундаги v — битта Шотки вакансияси пайдо бўлганида кристалл ҳажмининг ўзгариши.

Келгусида металл қотишмаларда вакансиялар ҳосил бўлиши хусусиятларини қараб чиқамиз.

Ўрини эгаллаш тартибланмаган қотишмалар — эритувчи спофтидати асосий кристаллнинг бир мунча миқдордаги тугун-

Аммо, бу мүмкін эмас, чунки кристал бутунича электронейтрал бўлиши керак. Электронейтралликнинг зарурлиги ва ионлар кристалли панжарасида у ёки бошқа вакансия ҳосил бўлишидан вужудга келган зарядни мувозанатловчи тескари ишорали заряднинг албатта вужудга келишига олиб келади. Бу шарт турли йўл билан бажарилади. Биринчи йўл тенг миқдорда катион ва анион вакансияларнинг бир вақтда ҳосил бўлишидир. Бу ҳолат Шотки нуқсонларига мос келишлигини пайқаш осон. Зарядлар тенглигига эришининг иккинчи йўли ионлар вакансияларга уларга тенг миқдорда тугунлар оралигида ўша ишорали ионлар пайдо бўлишидир. Бу бирикма Френкел ионлар жуфтининг ўзидир. Учинчи йўл — узоқлаштирилган ионлар зарядини ҳосил бўлган зарядли вакансиялар яқинида қўшимча электронлар пайдо бўлиши ёки уларнинг камайиши орқали мувозанатлашдир. Бу йўл тақиқланган энергия зонаси тор бўлган қаттиқ жисмларда, хусусан, тақиқланган зонаси бўлмаган металларда эҳтимоллироқ бўлади.

Ион бoggаниши ёки ион бoggаниш хиссаси анча катта бўлган кўпчилик қаттиқ жисмларнинг (ишқорий-галоид кристаллар, оксидлар, сулфидлар ва бошқаларнинг) тақиқланган зонаси кенглиги анча катта (>2.5) бўлали. Шунинг учун уларда Шотки ва Френкел нуқсонлари кўпроқ ҳосил бўлади.

Ниҳоят, кристаллга унинг хусусий панжарасидаги атомлар валентлигидан фарқ қиласидан валентликли ёт киришма атомлари киритиб зарядларни мувозанатлаш талабини бажариш мумкин.

Ишқорий металлар галогенилларида қарама-қарши зарядланган вакансиялар тенг миқдорда бўлишилиги аниқланган. Вакансиялар зарядини қарама-қарши зарядли тугунлараро хусусий ионлар билан мувозанатлаш, яъни Френкел жуфти ҳосил бўлиши, масалан, кумуш галогенилларида юз беради.

Олдинги бандда Шотки ва Френкел нуқсонлари зичлиги N_ϕ , N_V , учун чиқарилган (6.7') ва (6.13) ифодаларни ионлардан таркибланган кристалларга мослаштириш қийин эмас, Шотки нуқсонлари учун чиқарилган N_V нинг ифодаси бу ҳолда ҳам (6.7') дек, аммо E_V нинг қиймати бошқа $N = N_a = N_k$ бўлади, бунда N_a , N_k — мос равишда, анионлар ва катионлар сони.

Ионлар кристалларида Френкел нуқсонлари учун (6.13) ўрнига

$$N_S N_{ii} = (N_S - N_{is})(N_i - N_{ii}) \exp[-U_\phi/kT] \quad (6.23)$$

муносабат бажарылади, бунда N_s — панжара түгүнлари умумий сони, N_i — панжара түгүнлар оралиги умумий сони, N_{vs} — бир хил ионлар панжарасидаги вакансиялар сони, N_{ii} — түгүнлираро вазиятларға жойлашган атомлар сони, U_ϕ — вакансия на түгүнлараро атомдан иборат Френкел нүқсони (жуфти) ҳосил бўлиши энергияси.

Кўйида келтирилган маълумот ионлардан таркибланган кристалларда Шотки вакансияси ҳосил бўлиш энергияси каталиклари (E_{vs}) ҳақида тасаввур беради:

Кристалл	LiF	LiCl	LiBr	NaCl	NaBr	KCl	KI	CsCl	CsBr
$E_{vs} \text{ эВ}$	2.51	2.2	1.8	2.28	1.72	2.28	1.60	1.86	2.0

Юқорида қарама-қарши ишорали ионлар сони тенг бўлган (стехиометрик) ионларни қарадик. Аммо, бу тенглик бажарилмайдиган (стехиометриядан четланиш мавжуд бўлган) кристаллар ҳам бор. $A^{III}B^V$ ярим ўтказгичларда стехиометрикликдан четланиш уларнинг амалий қўлланиши учун муҳим аҳамиятга эгадир, чунки B^V ташкилловчининг ортиқалиги (A^{III} ташкилловчининг камомати) донорлик хоссасига эга, B^V нинг камомати (A^{III} ортиқалиги) эса акцепторлик хоссасига эга.

6.2.3. Ковалент кристалларда нүқтавий нүқсонлар

Ковалент кристалларнинг энг яхши вакиллари олмос ва олмоссимон ярим ўтказгичлар германий ва кремнийидир. Бу каттиқ жисмларнинг кристалларида (1.9-чиизма) тетраэдр (тўрт ёқли) шаклни ташкил қилган энг яқин қўшни түгүнлар оралиги етарлича катта ўлчамили ва бинобарин, атомлар унча зич жойлашмаган. Масалан, түгүнлар оралигининг унчамилари германийда 0,110 нм ва кремнийда 0,105 нм бўлиб, бу кристаллар түгүнларидаги атомларнинг ўз унчамиларига (мос равишда, 0,122 нм ва 0,117 нм) яқин. Шунинг учун ковалент кристалларда Френкел нүқсонлари супроқ бўлишини кутиш мумкин. Түгүн атрофида ҳам бирдай миқдорда қўшни атомлар (Ge ва Si да тўртта) бўлишлиги юқоридаги тахминни тасдиқлайди. Бундай кристалларда вакансиялар

ҳамда түгүнлар оралығыдаги хусусий атомларнинг ҳосил бўлиши энергиялари бир-бирига яқин бўлиши керак.

Олмос тузилишли кристалларда Шотки нуқсонларининг кўпроқ бўлишилиги нуқтаи назари ҳам бор. Мазкур кристалларда нуқсоннинг ҳосил бўлиши уни қуршаб олган атомларни силжитади. Кристалл панжараси симметрияси сақланиб қоладиган силжишларни панжаранинг **«релаксацияси»** дейилади.

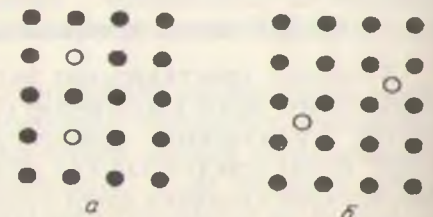
Ковалент кристалларда вакансиялар ҳосил бўлиши, шунингдек улар зичлигининг ўзгариши электронлар зичлиги ўзгариши билан бирга юз беради, лекин металлардан фарқли равишда, бу ўзгаришлар эркин хусусий электронлар миқдори фавқулодда кам бўлган шароитда содир бўлади. Шунинг учун электронлар зичлигини ва яrim ўтказгичнинг у билан боғлиқ бошқа хоссаларини ўлчашлар хусусий нуқтавий нуқсонлар ҳосил бўлиши ва шакл ўзгариши ҳодисаларини ўрганишда қулай усулдир.

6.2.4. Киришмавий нуқтавий нуқсонлар

Киришма ёт атомлар асосий кристалл билан, ё үрин эгаллаш, ёки суқилиш қаттиқ эритмалари ҳосил қилиш мумкин. Биринчи ҳолда киришма атомлари кристалл панжарасининг түгүнларида, иккинчи ҳолда — түгүнлар оралиqlарида жойлашади (6.4- чизма).

У ё бу турдаги қаттиқ эритманинг ҳосил бўлиши асосан иккита омилга геометрик ва электрокимёвий омил тарға боғлиқ.

r_k радиуси асосий атомлар r_a радиусидан 15% дан кам фарқ қиласидиган киришма атомларигина үрин эгаллаш эритмаларини ҳосил қиласиди (геометрик омил).



6.4-чизма. Кристалда киришма атомларининг жойлашиши.
а-үрин эгаллаш эритмаси;
б-үрин эгаллаш эритмаси;

6. 1- жадвал

Баъзи кимёвий элементларнинг ковалент радиуслари

Z	Элемент	r, Å
5	B	0,84
8	O	0,74
14	Si	1,17
15	P	1,10
26	Fe	1,20
31	Ga	1,25
32	Ge	1,22
33	As	1,22
47	Ag	1,42
49	In	1,43
79	Au	1,46

Электрокимёвий омил шундан иборатки, ўрин эгаллаш қритмалари ҳосил бўлиши учун киришма атомлари ва асосий атомлар электрокимёвий жиҳатдан ўхаш бўлиши керак, яъни кимёда маълум бўлган кучланишлар қаторида улар бир-биридан узоқда бўлмаслиги керак.

Агар киришма ва асосий кристалл атомлари кучланишлар қаторида бир – биридан узоқда бўлса, улардан бири ортиқча электромусбат, иккинчиси эса электроманфий бўлса, бу ҳолда кимёний бирикма ҳосил бўлиши эҳтимоли катта.

Электрокимёвий омилнинг миқдорий ҳарактеристикаси киришма ва асосий атомлар электроманфийлигининг фарқидир.

Урин эгаллаш эритмаси ҳосил бўлиши учун бу фарқ қичик бўлмоги зарур.

6.2.-жадвал

Баъзи кимевий элементларнинг X электроманфийлиги катталиклари

	Элемент	X	Z	Элемент	X	Z	Элемент	X
	Li	0,95	16	S	2,6	32	Ge	2,0
	B	2,0	27	Co	1,7	33	As	2,0
	O	3,5	28	Ni	1,8	47	Ag	1,9
	Si	1,9	29	Cu (2)	2,0	79	Au	2,3
	P	2,1	30	Zn	1,6	82	Ph (2)	1,6

Тадқиқотларнинг кўрсатишича, суқиладиган киришма атом r_k радиусининг асосий атом r_a — радиусига нисбати 0,59 дан кичик бўлиши керак.

Шундай қилиб, киришма $0 < r_k / r_a < 0,59$ бўлганда суқилиш эритмаси, $0,85 < r_k / r_a < 1,15$ бўлганда ўрин эгалаш эритмаси ҳосил қиласди. $0,59 < r_k / r_a < 0,85$ соҳа эса умуман қаттиқ эритмалар ҳосил бўлиши учун мақбул эмас.

Ҳақиқий шароитда кристаллга киришма атом ташқи мұхитдан киради. Эрувчанликни миқдоран аниқлагандың кристалл ва ташқи фаза (мұхит) орасидаги термодинамик мувозанатни таҳлил қилиш лозим. Ташқи фаза сифатида ё буг (газ), ёки суюқ фазани қараш мүмкін, чунки улар қаттиқ жисмларни легирлаш (уларга киришма киритиш) амалиёттіда кенг қўлланади.

Иккала ҳолда ҳам легирлаш жараёни мувозанатдан кам фарқ қиладиган шароитда олиб борилади.

6.2.5 Нуқтавий нуқсонлар аниқлайдиган хоссалар ва уларнинг ўзаро таъсири

Хусусий ва киришмавий нуқсонлар қаттиқ жисмларнинг амалда барча хоссалари таъсир кўрсатади. Заряд ташувчилар кристалл буйича ҳаракат қилганида нуқтавий нуқсонлар билан ҳам тўқнашадилар.

Икки кетма-кет тўқнашиш орасида ўтган вақтни релаксация вақти (эркин югуриш вақти) дейилади. Бу вақт киришма ҳосил қилган нуқсоннинг табиати, ҳолати, зичлиги ва температурага боғлиқ бўлади (бу ҳақда ярим ўтказгичлар бобида ба-тафсилроқ тўхталамиз).

Металларда хона температураси ва ундан юқорида заряд ташувчилар ҳаракатчанлигини кристалл панжараси атомлари тебранишлари билан тўқнашишлар аниқлайди, бу эса температура ортиши билан металлнинг электр қаршилиги ортишини тақозо қиласди.

Ярим ўтказгичларда нуқтавий нуқсонларнинг асосий аҳамияти тақиқланган зонада донор ва акцептор сатҳлар ҳосил қилиб, ярим ўтказгичнинг электр, фото электр ва бошқа хоссаларига таъсир қилишdir.

Дизэлектрикларнинг хоссаларини асосан уларнинг ҳажмий тузилиши ҳарактеристикалари аниқлайди, уларда нуқсонларнинг аҳамияти нисбатан кичик.

Нүқсонларнинг аҳамияти ҳақидаги масалалар келгуси бир неча бобларда қараб чиқилади.

Амалда барча нүқтавий нүқсонлар кристалларда боғланган қолатда бўлади. Масалан, икки вакансия ўзаро боғланниб, динамансия ҳосил қилиши мумкин. Иккинчи мисол якка вакансияларнинг киришма атомлари билан ўзаро таъсиридир. Кристалларни нүқсонлараро ўзаро таъсирлар сони жуда катта. Биз бир неченингина курсатиб ўтамиз.

Икки қарама-қарши ишорали киришма ионлари ионлар гуфтини ҳосил қилиши мумкин.

Жуфтни ташкил қилган ионлар яқин масофаларда тургани туфайли улар орасида электрон ва ковакнинг бевосита таъсири ўз берабер, ковак йўқолиши мумкин. Бу жараённи киришмалар ёро рекомбинация дейилади.

Кристалларда янада мураккаб нүқсонлар таркибига киришмайи атомлар кириши мумкин.

Бундай мураккаб (бирлашма) нүқсонлар қаттиқ жисмларнинг кўп физик хоссаларига таъсири қиласи. Масалан, улар зарид ташувчилар ҳаракатчанлигига, қаттиқ жисмлар иссиқлик ўтказувчанлигига, уларнинг механик хоссаларига, киришмалар инфильтрацияга ва б.га муҳим таъсири қиласи.

Ярим ўтказгичларда A — марказлар яримутказгичда зриган тисбород атомининг вакансия билан ўзаро таъсири маҳсулни бўлади, ионлар кристалларида F — марказлар электронни тутуб олган анион вакансияларидан иборат.

Улар ишқорий металлар галогенидларида рангини белгилайди. F — марказлар ютадиган ултрабинафша нурлар, тўлқин ўзунликлари қўйидагича:

Кристалл з. нм	NaCl	NaBr	KCl	KBr	KI
465	540	663	630	685	

Бўлардан ташқари, ранглаш марказлари деб аталмиш мураккаб нүқсонлар бирлашмалари ҳам мавжуд. Ундан марказларни P , M , R ҳарфлари билан белгиланади.

Марказ ёргулук таъсирида иккита F — марказдан ташкил ғонади:



Бўлар V_A — анион вакансияси.

M — марказ ҳар бири биттадан электронни тутиб олган иккى құшни анион вакансиялардан иборат.

R — марказ ҳар бири биттадан электронни тутиб олган учта құшни анион вакансияларидан ташкилланган.

Бу ранглаш марказларидан ташқари, мусбат көвак воситасида болғандаған иккى құшни манфий ионлардан (масалан, хлор) таркибланаған V_k — марказ, хлорнинг көвак воситасида болғандаған түгун ва түгунлар оралығындағы ионларидан иборат H — марказ мавжуд бўлишилиги аниқланган.

Ионлар кристалли ўтказувчанлик зонасидаги эркін электрон ва панжара құтбланиши бирлашмаси **полярон** дейилади-ган нүқсонлар хилини юзага келтиради.

Поляронлар бошқа нүқсонларга нисбатан юқори ҳаракатчанликка эга.

Электронга бериладиган ёруғлик ёки **иссиқдик** энергияси унинг ўтказувчанлик зонасига ўтиб олиши етарли бўлмагандан, у шу зона яқинидаги ҳолатларга ўтиши мумкин, бу ўтишда ҳосил бўлган көвак билан электрон боғланган ҳолатда қолади. Бу электрон ва унга боғланган көвак жуфтини экситон дейилади (6.5- чизма).

Агар электрон ва көвак бир ионда бўлса, бу жуфтни **Френкел экситони** дейилади.

Экситонлар турли атомларга тегиншли уйғотилган электрон ва көвакдан ташкилланган бўлса, уни **Ванъе — Мотт** экситони дейилади.

Френкел экситони радиуси кичик, Ванъе — Мотт экситониники катта. Экситон кристалл ичидә ҳаракатлана олади, аммо токка ҳисса құша олмайди, чунки электр жиҳатдан нейтралдир.

Экситон ҳосил қилиш учун, масалан, ёруғлик энергияси сарфланади, аммо электр ўтказувчанлик үзгартмайди.



6.5-чизма. Экситоннинг ҳосил бўлиши.

6.2.6. Радиацион нуқсонлар

Юқори энергияли нурланишлар таъсирида қаттиқ жисмларда ҳосил бўладиган нуқсонларни радиацион нуқсонлар дейилади. Ўнгдай нурланишлар — қаттиқ рентген нурланиши, γ — нурланиш, юқори энергияли электронлар, нейтронлар оқимидир.

Радиацион нуқсонлар назариясида бирламчи нуқсон Френкел жуфти бўлади деб ҳисобланади, кейинчалик бошқа тискинламчи нуқсонлар юзага келади. Агар атомни тугундан уриб чиқариш учун керак энергия E_d — бўлса, атомга нурланиш томонидан бериладиган E_A энергия E_d дан катта бўлса, атом, албатта тугундан чиқиб кетади, агарда бу атомда E_d дан ортиқ энергия қолса, у бошқа атомни уриб чиқаради ва ҳ.к.

Бироқ, радиацион нуқсон ҳосил қилишининг бўсагавийдан пастроқ энергияга тегишли механизмлари бор. Бу механизмларниң моҳияти шундаки, аввал кристаллнинг электронлари системачаси уйготилади, энергия кристалл атомларига узатилади ва бирламчи радиацион нуқсонлар ҳосил бўлади. Бу уйготиш кристаллнинг рентген квантлари, паст энергияли электронлар ва ҳатто ултрабинафша фотонлар билан нурлаш тули билан амалга оширилади.

Нусага ости нуқсонлар ҳосил бўлиши қўйидаги босқичлардан иборат:

1. Квантнинг ютилиши ва экситон ҳосил бўлиши;
2. Экситоннинг икки ионда (масалан, ишқорий — галоген кристаллда галогеннинг икки ионда) жойланиши, яъни квазимолекула ҳосил бўлиши;
3. Кулон итаришиш оқибатида квазимолекуланинг тутунлараро атом ва вакансияга парчаланиши.

Радиацион нуқсонлар ҳосил бўлишининг бошқа йўллари ём манжуд (плазмонлар механизми, ионизацион механизм ва бошқулар).

Радиацион нуқсонлар, одатда, катта кинетик энергияга эга, шунинг учун улар кристалларда жуда ҳаракатчан бўлади. Радиацион нуқсонларнинг ўзаро ва бошқа радиацион бўлмаган нуқсонлар билан учрашуви эҳтимоллиги катта. Бу бўлларда юз берадиган таъсиралиши оқибатида нуқсонларнинг бирлашмалари ва ҳатто йирик уюмлари ҳосил бўлади.

Кристали атомларининг ўз тугунларидан γ — квантлар гана ирида жилиб кетиш эҳтимоли кичик. Лекин γ — нурланиш

фотоэффект, Комптон эффект, электронлар ва позитронлар жуфтлари туғилиши оқибатида вужудга келади.

Нейтронлар оқими моддага түшганды унинг бир қисми ютилиб, нұқсонлар пайдо қилади.

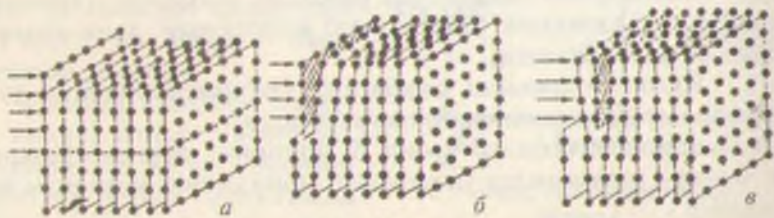
Кристалл атомларнинг γ — квантлар таъсирида жилиб кетиши эҳтимоли кичик. Лекин, γ — нурланиш фотоэффект, комптон эффект, электронлар ва позитронлар жуфтлари туғилиши оқибатида вужудга келади.

Кейинги даврда молдашунослик соҳасида бир вақтда қаттиқ жисмдә мавжуд бүлгап (киритилған) турли киришмалар бир-бири билан таъсирлашиши оқибатида модданинг айрим физик хоссалари жилдий үзгариши мүмкінліги ва бу үзгаришлардан амалда самарали фойдаланиш мүмкінліги аниқланмоқда.

6.3. Қаттиқ жисмларда чизигий нұқсонлар

Нұқсонларни үлчамлар жиҳатидан синфларга ажратганда бир үлчовли (чизигий) нұқсонлар айтиб үтилған зди, бу нұқсонларнинг үлчамлари иккى йұналишда жуда кичик ($< a$) ва учинчі йұналишда ҳар қанча узун бўлиши мүмкін. Бундай нұқсонларни дислокациялар дейилади.

Дислокациялар ҳосил бўлишини қарайлик. Кристаллнинг бир қисмiga ташқи куч таъсир қилаётган бўлсин (6.6а- чизма).



6.6-чизма. Дислокация ҳосил бўлишининг кетма-кет босқичлари: а) кристалл-саиджитини кучи қўйилши; б) атомлар текисликлари бўклилиши; в) экстратекислик ҳосил бўлиши.

Кучнинг қандай бўлишига қараб кристалл эластик ёки пластик деформацияланади. Иккинчи ҳолда таъсир этувчи кучнинг бирор бўсагавий қийматига — силжиш кучланишига эришилганда сиртаниш вужудга келади. 6.6 а- чизмада узун чизик билан қандайдир фаразий текислик (сиртаниш текислик-

ти) тасвирланған, атомлар текисликлари унинг юқорисида үнта силжийди, унинг пастидаги кристалл қисми эса қалмайды.

Кристаллографик (атомлар) текислигининг деформациялануши қисми (ярим текислик) үнгга бирор масофага силжийди. (6.6 б- чизма) ва кейинги атомлар ярим текислигини деформациялады.

Биринчи яримтекислик күч таъсири ортганда оқибатда кейинги юқориги ярим текислик устига тушади, пастки ярим текислигидан узиди қояди (6.6 в- чизма). Узилган яримтекислик «ортиқча», озгина деформацияланған иккита оддий (атомлар) текисликлари орасига «киритилған» (қистирилған) булиб қолади.

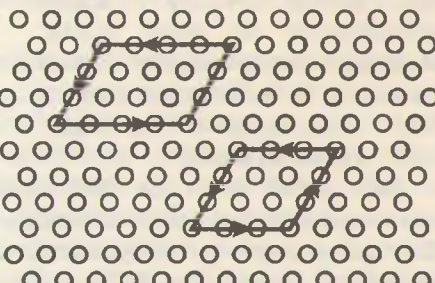
Янада каттароқ ташқи силжитиш кучланиши мавжуд бўлса, «ортиқча» экстратекислик ўз навбатида келгусини жилдириб, унинг ўрнини эгаллади, бу жараён токи намунанинг юқориги қисми пастки қисмiga нисбатан ё Бюргерс вектори қадар силжимагунча давом этади (6.7- чизма).

Шундай қилиб, дислокация ёки дислокация чизиги деб кристаллнинг силжиган соҳасини силжимаган соҳасидан ажратиб турувчи чизикни айтилади. Бюргерс вектори ё кристалл панжарасида атомларнинг силжиш каталигини ва йўналишини аниқлайди.

Бюргерс вектори қиймати $|\vec{\mu}| = v$ дислокация ўлчови бўлади.

Ушбу эскартмаларни билиш зарур:

1. Дислокация чизигидан йироқда кристалл идеал кристаллдан фарқ қилмайди.
2. Бу чизик яқинида атомлар идеал кристалл тугунларига нисбатан анча силжиган бўлади.
3. Нолга тенг бўлмаган Бюргерс вектори мавжуд.
4. Бюргерс вектори дислокация чизигига тик бўлади, бундай дислокацияни чегаравий дислокация дейилади.



6.7- чизма. Дислокация контури ва Бюргерс вектори.

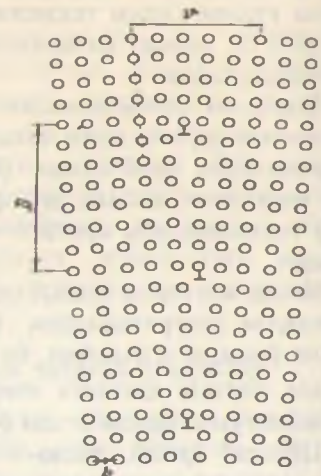
Чегаравий дислокациядан ташқи винтсимон дислокациялар ҳам мавжуд (6.8- чизма). Дислокация чизиги Бюргерс векторига параллел.

Ҳақиқий қаттиқ жисмларда дислокациялар зичлиги каттагалиги d киритилади ва у 1 см^2 сиртдаги дислокациялар сонини билдиради. Дислокациялар зичлигини аниқлашнинг энг кўп тарқалган усули кристалл сиртини кимёвий едиришdir. Кристалл сиртига чиқувчи дислокациялар соҳасида единириш чуқурчалари пайдо бўлади. Уларни микроскоп ёрдамида санаш мумкин. Дислокациялар зичлиги d нолдан то катта сонга қадар қийматларга эга бўла олади. Масалан, дислокациясиз ярим ўтказгич монокристалларда $d=0$, металларда у 10^{12} см^{-2} гача етиши мумкин.

Биз айтиб ўтган дислокацияларнинг икки туридан бошқа яна мураккаброқ дислокациялар мавжуд бўлиши мумкин. Дислокацияларнинг хусусиятларидан бири – уларнинг ўзарови бошқа нуқсонлар билан таъсиралишидир. Дислокацион реакциялар оқибатида янги дислокациялар ҳосил бўлиши ёки дислокациялар бирлашиши мумкин: \vec{b}_1 ли дислокация иккита \vec{b}_2 ва \vec{b}_3 Бюргерс векторли дислокацияга ажралиши ва аксинча реакциялар бўлиши мумкин:



Дислокацион реакцияларнинг маҳсали нуқсонларнинг бошқа турлари бўлиши эҳтимоллиги мавжуд. Масалан, икки дислокация учрашиб вакансия ҳосил қила олади. Қаттиқ жис-



6.8- чизма. Кристаллда фаза ичидаги чегаранинг ҳосил бўлиши.

многи киришмалар билан дислокацияларнинг ўзаро таъсири элатиш ва электр йўсунда юз бериши мумкин.

Кристаллда чўзувчи кучланиш ҳосил қиласиган киришма атом дислокация атрофидаги қисилган соҳа томон кучади, қисувчи кучланиш ҳосил қиласиган атом эса, — чўзилган соҳа томон кучади. Бундай ўзаро таъсири чегаравий дислокацияларга хосдир. Дислокацияларнинг электр ўзаро таъсирилашишида унинг энергиясини кулон потенциали аниқлайди ва шунинг учун $1/r$ га пропорционал.

Металл кристалларда кўп миқдордаги эркин электронлар дислокациялар ёки нуқтавий нуқсон майдонини экранлайди, шунинг учун металларда бу ўзаро таъсири мухим эмас. Ярим утказгичлар ва ионлар кристалларида экстра текислик пастидаги атомларнинг узилган кимёвий боғланишлари электр потенциал ҳосил қиласи, улар акцепторлик (электронни қабул қилиш) хоссасига эга. Шунинг учун n — тур ярим утказгичларда бу боғланишлар ўтказувчаник электронларини тутуб олади ва дислокацияларга манфий заряд беради, у эса мусбат ионларни (ёки ковакларни) тортувчи электр потенциал ҳосил қиласи.

Ҳар қандай механик ишлов ҳам макро кучланишдир ва бинобарин, дислокациялар ҳосил қилишга олиб келади.

Қаттиқ металларда босим остида ишлов — чўзғилаш, боғалаш, сургалаш — дислокациялар пайдо бўлишига сабаб булади. Юқори кучланиш жойларида дислокациялар вужудга келади, кейин улар кўпаяди. Бундай пластик деформациялардан ташқари, дислокациялар кристалларни кесиш, сайқаллашади. Дислокациялар оқибатида ҳам пайдо бўлади. Кристалланиш жарёнида температура градиентлари мавжуд бўлиши дислокациялар манбай бўлиши мумкин. Кристалларни ўстириш жарёнида пайдо бўлган дислокациялар юқорида тавсифланганларидан фарқ қиласи. Бирламчи ҳамиртуруш кристалл дислокациялари ўстирилган кристаллга мерос бўлиб ўтади (меросий дислокациялар). Кристалл бошқа моддадан ясалган таглик билан контактлашганда номослик дислокациялари намоён булади. Бундай дислокациялар $A^{III}B^V$ — Ge, $A^{II}B^6$ — $A^{III}B^I$ ва ҳоказо каби яримутказгич гетеротузилмаларни эпитаксия усунда ўстиришда катта ўрин тутади.

Дислокацияларнинг қаттиқ жисм хоссаларига таъсири қандай?

Дислокациялар асосан қаттиқ жисмларнинг механик хоссалариға, биринчи навбатда уларнинг мустаҳкамлик характеристикаларига таъсир күрсатади. Ҳақиқий кристалларда дислокациялар маҳкамланиши эффекти мавжуд. Бунинг бир неча механизмлари бор: ёт зарралар (киришмалар) билан маҳкамланиш; дислокацияларнинг «чирмашиши». Биринчи механизм фақат баъзи холларда муҳим. Бу холларнинг бири Коттрел атмосфераларининг ҳосил бўлишидир. Ёт зарралар - асосий кристаллнидан бошқа моддаларнинг микроскопик киришмалари эриган модда томонидан ушланади ва суюлмани совутиб қотирганда унда қолади. Бу зарралар асосий модда билан биргаликда қотишма ҳосил қиласди.

Дислокацияларнинг чирмашиши равишида ҳам дислокациялар бир-бирини тормозлайди. Энг муҳим масала дислокацияларнинг заряд ташувчилар (электронлар ва коваклар) энергиялари спектрига киритадиган ўзгаришларидир. Олдин айтганимиздек, дислокация электронларни қабул қилувчи акцептор вазифасини ўтайди. Бундай қарашда дислокациялар таъсири ковалент кристаллга киритилган киришма атомлар таъсирига ўхшайди. Бундай акцептор сатҳлар бир – бирига яқин бўлиб, ўзаро таъсирлашиб, дислокацион энергетик зонани вужудга келтиради. Дислокацияли яримұтказгичда электронлар зичлигини ҳисоблашда электр нейтраллик шартида дислокациялар зарядини ҳам ҳисобга олиш керак бўлади. Яримұтказгичларда дислокациялар ҳаракатчан заряд ташувчиларни сочиб юбориш орқали уларнинг ҳаракатчанлигига таъсир қиласди. Дислокациялар заряд ташувчиларнинг яшаш вақтига муҳим таъсир күрсатади. Дислокациялар атрофидаги ҳажмий заряд номувозанатий электронларнинг ушланишига ҳалақит беради. Дислокация электронларнинг яхши ёпишиш марказлари бўлади. Барча қаттиқ жисмларда дислокациялар диффузия жараёнинга таъсир күрсатади.

6.4. Қаттиқ жисмларда ясси нуқсонлар

Энг муҳим ясси (икки ўлчовли) нуқсонлар — поликристалл доналарининг чегаралари, эгизаклар ва тахланиш нуқсонларидир.

Доналарнинг (кристаллитларининг) чегараларини кўрайлик. Умуман уларни фазалароро ва фазалар ичидаги чегаралар гурӯҳларига ажратилади. Фазолароро чегаралар мисоли кристалл-

шундай түшкі мұхитдан ажратувчи ёқлари, ўсаёттан кристалнинг түнгілімі билан чегараловчи сирт, метал қотишишмаларда түрли фазалар шыркышары орасыдаги чегаралар бўлади.

Физи ичидаги чегаралар деганда кристалларнинг бир ва унда фазага мансуб ва шу кристаллар контактига бевосита тушишүчүн соҳаларни тушунилади. Чегара дислокацияларнинг ялоғзиди жойлашиши ҳолида ҳосил бўлади, бунда кристалл ялоғзиди қандайдир ϑ бурчак қадар бурилган бўлади: чизма текислигига тик бўлган атомлар текисликлари чизма текислигига тик ўққа нисбатан ϑ бурчакка бурилган бўлади. Чегара соғасыдаги дислокациялар оралигини D дейилса, Бюргерс вектори кашталиги в эканлиги эсланса,

$$b/D = 2 \sin \frac{\theta}{2} \quad (6.26)$$

муносабатни олиш мумкин. Агар

$\frac{\theta}{2} \ll 1$ бўлса, (6.26) ифода

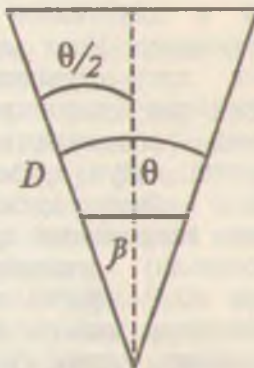
$$\theta = b/D \quad (6.27)$$

нүришишни олади. Бу муносабатни қаноатлантирадиган чегараларни кичик бурчакли, (6.26)ни қаноатлантирувчи чегараларни катта бурчакли чегаралар дейилади.

(6.27) ифода $\theta < 5^\circ$ бўлганда бағдарилади. Доналар чегараларини дислокацион табиати чегараларни қалинлигини аниқлайди, у (1+2) в чамасида бўлади (дислокация кенглигиги), яъни чегара қалинлиги бир неча атомларни масофадан ортиқ бўлмайди.

Кичик бурчакли чегаралар поликристалларнинг айрим кристалларниш ва монокристалларда бўлиши мумкин. θ бурчаклар катта бўлган (0>5°) чегаралар ажратган кристалл қисмларини кристаллар ёки доналар дейилади. Катта бурчакли чегараларга эга бўлган қаттиқ жисм албатта поликристалл бўлади.

Отижиллар — катта бурчакли чегараларнинг хусусий ҳолидир. Отижиллик чегараси кристалнинг бири иккинчисининг

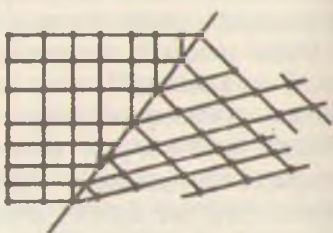


6.9-чизма. (6.26) ифодага доир чизма.

күзгусимон тасвири бўлган икки соҳасини ажратиб турувчи чегарадир (6.10- чизма).

Эгизаклар кристаллар ўсишида, шунингдек механик, деформацион таъсир оқибатида вужудга келиши мумкин.

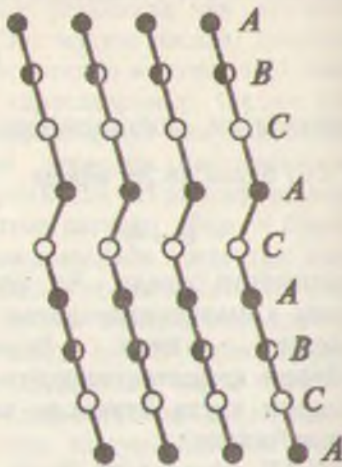
Тахланиш нуқсонлари кристалл панжарада атомларнинг идеал жойлашишининг бузилишидан иборат. Бундай нуқсонлар асосан металл кристалларда кузатилади.



6.10- чизма. Эгизакларга оид.

6.5. Қаттиқ жисмларда ҳажмий (макроскопик) нуқсонлар

Қаттиқ жисмларда ҳажмий нуқсонлар ўлчамлари барча уч фазовий йўналишда панжара даври a дан катта бўлган нуқсонлардир. Улар моҳиятган қаттиқ жисм тузилишининг макроскопик бузилишларидир. Ҳажмий нуқсонларга ёки жисмнинг бутун ҳажмини, ё унинг айрим қисмларини (уларни макроскопик ҳажмлар ҳисобланади) эгаллаган ва ҳажми $\gg a^3$ бўлган эластик кучланишлар мансуб. Дарзлар ва коваклар, қаттиқ жисм сиртидаги тирналишлар ва ҳажмда тўплangan киришма уюmlари ана шундай нуқсонлардир. Дарзлар ва коваклар, қаттиқ жисм сиртидаги тирналишлар ва ҳажмда тўплangan киришма уюmlари ана шундай нуқсонлардир.



6.11- чизма. Тахланиш нуқсонлари.

Макронуқсонлар микронуқсонларнинг бирлашиши натижасида ҳосил бўлиши равшан куриниб турипти. Биз олдин эластик кучланишлар дислокациялар ҳосил бўлишлиги манбай эканлигини кўрдик. Энди бу кучланишларнинг вужудга келиши ва намоён бўлишига назар ташлайлик. Ҳар хил ишорали кучланишлар – чўзувчи ва қисувчи кучланишлар бўлади. Агар жисм мувозанатда бўлса, турли ишорали кучланишлар ўзаро мувозанатлашган. Қаттиқ жисмнинг бир қисмини узоқлаштириш бу мувозанатни бузади

шо жисм янги мувозанат ҳолатига интилади, бунда эластик күчланишлар қайта тақсимланади.

Макрокучланишлар кристалл панжарасининг атомлараро диссоцииларнинг ўзгаришидан вужудга келади. Қаттиқ жисмлариги олинида макрокучланишлар вужудга келишига температурининг жисм ҳажмида бир хил бўлмаслиги катта ҳисса ўнади. Бундай макрокучланишларни термоэластик кучланишлар дейилади. Қаттиқ жисмда уни тайёрлаш ёки унга термоцилов беришдаги температура тақсимотини

$$\frac{\partial T}{\partial t} = \frac{k}{c\rho} \Delta T \quad (6. 28)$$

иссиқлик ўтказувчанлик тенгламасини ечиб топилади, (k - соилиштirma иссиқлик ўтказувчанлик коэффициенти, c -сифомининг иссиқлик сифими, ρ -намуна зичлиги).

Бу тенглама мураккаб, уни ечиш маҳсус адабиётда келтирилган. Биз бу жойда баъзи бир маълумот берамиз.

Температуранинг тўсатдан ўзгариши – иссиқлик зарбаси қаттиқ жисмда кенгайиш – қисилиш эластик тўлқинлари ишадо қелади. Агар температура вақт бўйича ўзгариб турса, ишадиги жисмнинг даврий “исиш-совиш” жараёни юз беради. Бу ишади бузилишлар (нуқсонлар) жамғарилишига олиб келади. Бу ишади материалниң чарчаши дейилади.

Техникада кўп қатламили қаттиқ жисм тузилмалари мухим ўрин тутади. Бу ҳолларда макрокучланишлар манбалари: таглик ёки қўйчам панжаралари доимийларининг фарқи, иссиқликдан ишадиги коэффициентларининг тафовуги бўлади. Жуда юпқа паршалирни сирт таранглик кучлари кучланишларининг қўшимча манбаси бўлади. Эластик кучланишларнинг бошқа манбалари ҳам улчашини кеянинг бобларда кўрамиз.

Дарзни дислокацияларнинг қаттиқ жисм ичидаги кўчиши ширабитиди тормозланиши натижаси сифатида қаралмоқда. Дарзниң кенглиги уни ҳосил қилишда қатнашган дислокациялар микдорига боғлиқ. Агар ундан дислокациялар зичлиги яхши бўлса, дарзни *лө* Бюргерс векторли битта катта дислокация яхши қараса ҳам бўлади. Дарз ҳосил бўлишининг яна бир оғимоний юли турли ишорали дислокациялар тўпланган ик-

ки кесишувчи текисликнинг ўзаро таъсиридир. Дарз пайдо бўлгандан кейин унинг тақдири қандай бўлади?

Дарзниг узунлигини l ҳарфи билан, унинг ён чегарасидаги критик кучланишни σ орқали, Юнг модулини E орқали, бузиш солиштирма ишини u орқали белгиласак, анча узун ҳисоблашлардан

$$\sigma = \sqrt{2E\gamma/\pi l} \quad (6.29)$$

Гриффитс қонунини келтириб чиқарилади. Бу ифодадан намунани (буюмни) бузмайдиган дарзниг критик узунлигини аниқлаш мумкин. Агар мазкур моддага ундан кўра мустаҳкамроқ мoddанинг макрозарралари киритилса, кенгаяётган дарз шу киритмага тақалади ва тўхтаб қолади. Шу йўл билан кўп миқдорда композицион материаллар олинган.

Энди қаттиқ жисмдаги коваклар (коваклар) ҳақида тўхтalamиз. Коваклар қаттиқ жисмда атомлар эгалламаган бўш жойлардан иборат. Уларниг бир томони сиртта чиқсан бўлса, бундай ковакларни очиқ коваклар дейилади, агар ковак кристалл ҳажмида жойлашган ва ташки муҳит билан туашган бўлмаса, уни ёпиқ ковак дейилади.

Коваклар ҳосил бўлишининг асосий манбаларини қарайлик.

1. Коваклар ҳосил бўлишининг диффузион механизми.

Ковак кўп сонли вакансиялар йигилиши натижаси сифатида қаралади. Жисм сиртида эгриланган (қабариқ ёки ботик) жойларда вакансиялар кўп тўпланади. Қабариқ жойда сиртниг катталиги ўзи мувозанатсиз, ортиқча, система уни камайтиришга интилгани туфайли бунга ёндош ҳажмнинг кичрайиши орқали эришилади. Умумий ҳажм ўзгартмагани ҳолда агар бир қисм вакансияларни атомлар эгалласа ҳажм муайян миқдорда камаяди. Шунинг учун қабариқ сирт устида вакансиялар кам бўлади. Худди шундай мурлоҳаза ботик сирт остида вакансиялар зичлиги ортади деган холосага келтиради. Шундай қилиб, ковакнинг ташки сиртида вакансиялар кам, ички сиртида эса вакансиялар ортиқча бўлади. Демак, ковак вакансияларнинг каттакон уймасидир. Вакансиялар ковак ҳосил бўлаётган жойга диффузия нўли билан кўчиб боради. Шунинг учун ковак ҳосил бўлишининг бу механизмини диффузион механизм деб аталган.

2. Термоишлиов жараённда коваклар ҳосил бўлиши.

Гажрибадан маълумки, металл намуналар термоишлиов жарадинда деформацияланади ва шишади, уларда коваклар ҳосил бўлали, термоишлиов кўп марта тақрорланса - дарзлар пайдо бўлали. Тадқиқотлар қўйидаги қонуниятларни аниқлайди:

1) Термоишлиов сони ортишиб билан коваклар миқдори ва ўзимини ортиб боради.

2) Коваклар намуна кесими бўйича нотекис тақсимланади: уларнинг миқдори марказдан четга томон бир некис камлайиб боради.

2-3 мм қалинликдаги цилиндрик намунанинг гардишида коваклар бўлмайди. Бу ходисалар шундай тушунтирилади.

Таккини, суюлиш температурасига яқин Т температурада олинган намунада вакансияларнинг катта зичлиги вужудга келади. Кеёчини совутганда кристаллда улар «яхлайди». Бу жараённи тинниқидан дейилади. Кейинги қиздиришда ортиқча вакансиялар туғайтинган эритмадан тушиб қолиши керак. Аммо бу тушиб қолашдан вакансиялар етарлича ҳаракатчан ва қайси бир ойла (пайновда) уюшишга улгуради. Бундай пайновлар хизматини доналараро чегаралар, дислокациялар бажаради. Температурани кўп марта ўзгартириш чиниқсан вакансиялар тинниқидан ошириб боради, бу эса коваклар сони ва ўзиминини ўстиради.

3. Қаттиқ жисмлар контакти соҳасида коваклар ҳосил бўлиши. Турли табиатли A ва B икки қаттиқ жисм контактини сарфлайди. Қиздирилганда A атомларнинг B — панжарага, B атомларнинг A — панжарага ўзаро қарама-қарши диффузия бўлсуга келади. Диффузия коэффициентлари тенг бўлмагандигидан ($D_{A \rightarrow B} \neq D_{B \rightarrow A}$) контакт чегарасидан ўнг ва он томонда диффузияланган атомлар миқдори тенг бўлмайди, масалан, $D_{A \rightarrow B} > D_{B \rightarrow A}$ бўлса, у ҳолда

$N_{B \rightarrow A} < N_{A \rightarrow B}$ бўлади. Оқибатда A кристаллда эгалланмаган вакансиялар, B кристаллда ортиқча атомлар пайдо бўлади. Денгак, A кристаллда вакансиялар манбаи, B кристаллда атомлар олишиб иншаб туради. Аммо улар чексиз ортиб бора олмайди, ўзини чегаравий дислокациялар A томонда вакансияларни, B томонда ортиқча атомларни ютиб, қарама-қарши бўлолишларда ҳаракат қиласи. A кристаллда улар аста-секин сарфлайдан чиқади, B кристаллда эса улар аста-секин пайдо

бұлади. Шундай қилиб контакт соҳасыда иккі эффект: бүшлиқ үсиши (Френкел эффекти) ва атомлар текислигининг күчіб ўтиши (Киркендал эффекти) юз беради.

4. Учувчан таркибовчылы қаттық жисмларда көвакдорлик

Күп таркибовчылы қаттық жисмларда учувчан таркибовчылынг бүгланышы ортиқча вакансиялар манбаи бұлади. Ярим үтказгыч қаттық жисмлардан галлий арсениди GaAs мисол бұлади, чунки ундагы As марғумуш анча учувчандыр. Қаттық жисм сиртидан бүгланған атомлар үрнида вакансиялар пайдо бұлади, уларни ичкаридәгі атомлар келиб тұлдырады. Улар ҳам яна бүгланады, вакансиялар яна тұлдырилады ва ҳ.к. Натижада науна ұажми ортиқча миқдордагы вакансиялар билан түйинади. Уларнинг баъзилари сиртта вакансияларга кетады, лекин уларнинг бирор миқдори йигилиб көваклар ҳосил қиласы.

Бошқа ұажмий нүқсонлардан кристаллнинг мозаикалығы ва газ пуфакларини айттың үтамиз. Ұажмий нүқсонлар қаттық жисмлар физик хоссаларыға мұхим таъсир құрсаады. Буни қисман айрим ұажмий нүқсонлар тұғрисида тұхталғанда гапириб үтдік.

Макронүқсонларға зәға бұлған жисмларда диффузияны талқылағанда иккі омилга алоқида зәтибор беріш керак. **Би-ринчидан**, диффузия коэффиценті анизотроп бұлади, у албатта диффузия оқимини аниқлаша мұхим. **Иккінчидан**, дарзлар тури бүйлаб атомларнинг диффузион ҳаракатчанлығы мұхим даражада ортиқ бұлади.

Көваклар ұажмий диффузия фронтини камайтирали, бу эса диффузия оқимни камайтираши. Лекин, көваклар билан болып сиртті диффузия қаттық жисм орқали диффузияни ортираши.

Макро нүқсонлы қаттық жисмларнинг механик хоссалары ҳам нүқсонлар табиати, зичлиги ва бошқа ҳарактеристикаларыға боғылғы, макронүқсонлар қаттық жисмнинг эластиктік модулларыға мұхим таъсир құрсаады. Масалан, көваклар нисбий ұажми $K = V_{\text{ков}} / (V_{\text{ков}} + V_c)$, бунда V_c — көваксиз қатлам ұажми, $V_{\text{ков}}$ — көваклар ұажми. Көвакли ва көваксиз жисмлар силжиш модули (G^* ва G) ва ҳар тарафлама қисилиш модули (H^* ва H) ифодаларыға кирады:

$$G/G^* = 1 - 5K(3H + 4G)/(9H + 8G).$$

$$\frac{1}{H} = \frac{1}{H(1-K)} + \frac{3}{4G} \cdot \frac{K}{1-K}. \quad (6.30)$$

Бу ифодалар тажрибаларда тасдиқланган.

Ковакли жисмада эластик тұлқиннинг тарқалиши эластикке күчтәнешлари (босим) ва температура тебранишлари вүзүнде көлини билан bogliq. Бундай тұлқин, шунингдек, коваклининг қатпік фаза билан чегарасыла фазавий мувозанат шарттарининг бузилишидан ҳам пайдо бұлади. Паст товуш такрорийлікларда бир үтиш даврида вакансия панжарадан коваклаша тескарича үтишга улгурады ва эластиклик модули бир фазадан системаникідан кам бұлади, товуш тезлігі v_0 кичик бұлади. Катта такрорийлікларда вакансия панжарага ва тескарича үтишга улгурға олмайды, эластиклик модули такрорийлікке bogliqmas, товуш тезлігі v_0 каттароқ бұлади.

6.6. Нуқсонлар диффузияси

Диффузия жараёни системанинг атомлар зичилгіні тен-ділділіктеріншің үз-үздідан интилишидан иборат. Атомлар кам вүзүнде йұналишида күчади. Системада атомлар күчиши тартибен тәжілдің оқибатида юзага келади. Шу йүсінде системадан бір жақта тартибсиз – иссиқлик ҳаракати ва йұналған – дрейф ҳаракати мавжуд бұлади. Кейінги ҳаракат системада біндеп күч таъсирида содир бұлади. Бу күч вазифасини атқарып, температура, электр потенциал ёки умумий қолда киңеудін потенциал градиентлари бажаради.

Тартибсиз иссиқлик ҳаракатининг үзи диффузион оқим жүсіл қынмайды. Қатпік жисмдаги иссиқлик тебранишлари диффузиянша олиб келмайды.

Диффузия жараёнын миқдоран бағолаш учун зарур бұлған тәжілдемаларни шақыллантирайлық.

Ашылған диффузион оқим зичлигі түшүнчесі I ни кирита-

мынан диффузиялаб ўттан молда миқдори бұлиб, у

$$I = dQ/Sdt \quad (6.31)$$

күринишида ифодаланади, бунда dQ – жисмнинг S – сирти орқали dt - вақтда ўтган модда миқдори кесим юзига, модда зичлиги градиенти $\frac{\partial c}{\partial x}$ га, dt вақтга пропорционал катталик:

$$dQ = -DS(\partial c / \partial x)dt. \quad (6.32)$$

Бундаги D -диффузия коэффициенти. (6.32) ни (6.31) га қўйсак,

$$I = -D(\partial c / \partial x). \quad (6.33)$$

Фик биринчи қонуни ифодаси ҳосил бўлади. Уч ўлчовли ҳолда у

$$\vec{I} = -D\nabla c \quad (6.34)$$

күринишида бўлади.

Диффузияланувчи модда – диффузантнинг вақт ва фазода ўзгаришини Фик нинг 2-қонуни ифодалайди, уни биринчи қонун ва узлуксизлик тенгламасидан $\frac{\partial c}{\partial t} + \frac{\partial I}{\partial x} = 0$ келтириб чиқарилади:

$$\frac{\partial c}{\partial t} = D \frac{\partial^2 c}{\partial x^2} \quad (6.35)$$

(6.35) тенгламани ечиб, зичлик $c(x,t)$ ёки уч ўлчовли ҳолда $c(x,y,z,t)$ тақсимоти аниқланади.

Кўпчилик ҳолларда бу ечимлар бир ўлчовли ҳолда

$$c \sim t^{-1/2} \exp(-0.25x^2/Dt) \quad (6.36)$$

кўрсаткичли функция кўринишида ёки бошқа

$$c \sim \left[1 - erf(0.5x/\sqrt{Dt}) \right] \quad (6.37)$$

функция орқали ифодаланади.

Бу ечимларда

$$L_D = \sqrt{Dt} \quad (6.38)$$

катталик узунлик ўлчамига эга, уни диффузиянинг узунлик лейлилари. Тадқиқотлар диффузия коэффициентининг температурага боғланиши учун

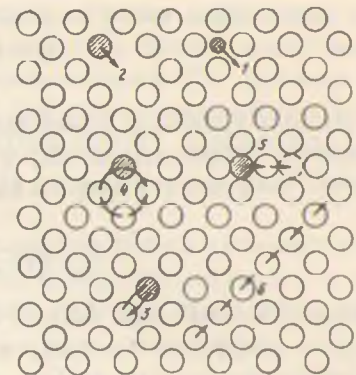
$$D = D_0 \exp(-W/kT) \quad (6.39)$$

ифодани беради.

Бунда W – диффузиянинг инергетик тўсиқ баландлиги.

Биз иккита энг қизиқарли механизм – тугуллараро ва шакансиялар бўйлаб диффузиянинг механизмларини кўриб чиқамиз. Улар 6.12-чижма 1 ва 2 сонлари билан белгиланган.

(6.39) ифодага биноан диффузияланувчи зарра бир мувозанатий вазиятдан иккичисига ўтиш учун энергетик W тўсиқдан ошиб ўтиши керак. Зарраларнинг бу сакранини газда атомларнинг тўқлошишига ухшатилса ва кинетик назариянинг молекулалар диффузияси учун



6.12-чижма. Кристалл панжарасида киршмалар диффузиясининг имконий механизмлари(киршма атом-чиқиқланган доира):

1. Содда, тугуллараро;
2. Вакансион;
3. Содда, алмашиниш;
4. Циклик алмашиниш;
5. Сиқиб чиқариш, тугуллараро;
6. Краудион диффузия.

$$D = \lambda \cdot v/3 \quad (6.40)$$

ифодаси (λ – газда зарранинг эркин югуриши ўртача узунлиги, v – ўртача иссиқлик тезлиги) қўлланса бўлади. Агар l – диффузиянинг узунлик тартибидаги катталик λ – ўрнига олинса τ – зарранинг мувозанатий ҳолатда бўлиш вақти бўлса, унда диффузиянинг спекши тезлиги $v = l/\tau$ бўлади. Энди $l/3$ кўпайтувчи ўрнига кристалл панжарада атомлар жойлашиши геометриясини ҳисобга олувчи α – коэффициент олинса, қаттиқ жисм учун (6.40) ўрнига

$$D = \alpha l^2 / \tau \quad (6.41)$$

шебе ёниш мумкин.

Сүқилиш қаттық әрітмаларда атомлар диффузияси (Верт ва Зинер) ($\#t$) = v диффузіон сәкрапшлар тақрориілігі кири-
тилса,

$$D = \alpha l^2 / \tau = \alpha l^2 v \quad (6.42)$$

v кattаликни ўтишлар Р әхтимоллігі орқалы

$$v = v_0 g P \quad (6.43)$$

муносабат ёрдамида ифодалаш мүмкін, бунда v_0 — сұқулған атомнинг тебранишлар тақрориілігі, g — координацион сонга тең сәкрапшлар имконий йұналишлари сони

$$v_0 = [\Delta E_m / (2Ml^2)]^{1/2} \quad (6.44)$$

ифода назарий йүл билан көлтириб чиқарылған, бундаги ΔE_m — диффузия (миграция)ни активлаш энергиясы, M — диффузияланыётган молда массасы. Бир түгүнлар оралығидан иккінчисінде ўтиш әхтимоллігі (доимий босимда) әркін энергияннан ΔF үзгариши орқалы

$$W = \exp[-\Delta F/kT] \quad (6.45)$$

ифодаланади, бундаги

$$\Delta F = \Delta E_m - T \Delta S_m \quad (6.46)$$

Юқоридаги ифодалардан сүқилиш қаттық әрітмасидаги киришма атомлар диффузия коэффициенті анықланады:

$$D = D_0 \exp[-\Delta E_m / kT], \quad (6.47)$$

бунда

$$D_0 = \alpha g l^2 v_0 \exp(\Delta S_m / k). \quad (6.48)$$

Верт ва Зинер назариясінде

$$\Delta S_m = \Delta E_m \frac{\partial}{\partial T} (G'/G'_0) \quad (6.49)$$

мүнисабат олингандык, у диффузия энтропиясими бағолаша D_0 ни аниқдаш имкониши берали. Бу ифодадаги G — силжинш модули, G'_0 — мұндоқ нөл (0К) деги силжинш модули. Аммо бунда ΔE_m активлаш энергиясы ва силжинш модулининтін температурага болған шыны мәннен көрсеткіштес.

Үрин әгадамың қаттық әритмаларда атомлар диффузияси науриенде ҳам $D = \alpha l^2 / t$ дастлабки теңглема бўлиб, лекин диффузия параметрлар бойнада физик мәннога эга. Дарвоқе, у тақоририйлик мазкур әритмаларда яна диффузияланадиган атом күшини вакансия досил бўлиши эҳтимоллигига ҳам боғлиқ:

$$v = g v_0 W T^{-1} = g v_0 \exp[\Delta F / kT] \exp[\Delta F_V / kT] \quad (6.50)$$

Бу ерда v_0 — кристалл панжараси түгунидаги атомнинг тебризийлар тақоририйлиги, ΔF — ўша (6.46) күришиштага эга v , ΔF_V — ΔF_V ларни (6.42) ифодала қўйисак, (6.47) ва (6.48) ифодаларни досил қиласмиш, аммо уларда

$$\Delta E_m = \Delta E'_m + \Delta E_V; \quad \Delta S_m = \Delta S'_m + \Delta S_V. \quad (6.51)$$

Чигинчали катталиклар сакраб ўтишга тегишилдири. Демак, диффузия жараёни миграция (кўчиш) ΔE_m — энергияси ордени аниқданади, аммо у түгунлараро диффузия ва түгунлар бўнаб диффузия ҳолларида фарқи бўлади. Бу энергия пейтвад атомлар ёки ионлар диффузияланниши ҳолларида ҳар хил бўлади.

Макронуқсоили қаттық жилемларда диффузия. Бу ҳозда ҳолини иккى ҳусусиятими ҳисобга олиш зарур. Биринчидан, диффузия коэффициенти анизотроп катталик. Шунини учун поликристаллнинг ихтиёрий ҳар хил йўналтган доналарида зичини градиенти йўналишидаги диффузион оқимлар турли будани. Иккинчидан, дарзларнинг ривожланган түри бўйтаб атомлар диффузион ҳаракатчанлиги ортини мухим, бунини ишлабтана макроскопик диффузион оқим ортади. Макронуқсоили қаттық жилемда D' диффузия коэффициенти шундай кристаллда D диффузия коэффициенти билан шартланади. Буни аниқданни учун киришмалар зичлигининг

$$c = \left[0.5 c_0 / \sqrt{\pi D t} \right] \exp \left[-x^2 / 4 D t \right] \quad (6.52)$$

ифодасидан фойдаланамиз. Бунда D ни D^* га алмаштириб, сүнг $c = c_0$ деб олинса, изланаётган D^* диффузия коэффициенти ифодаси ҳосил бўлади:

$$D^* = \frac{x^2}{4t} \left[\frac{x^{4/3} D_0^{1/3}}{2(\delta' D_s / 3)^{2/3} t^{1/3}} \right] - \ln \left[\frac{6 D_0^{1/6} (\delta' D_s / 3)^{2/3} t^{5/6} (\pi \rho \cdot t)^{1/2}}{L x^{4/3}} \right] \quad (6.53)$$

Масалан, $D_0 \approx 10^{-14} \text{ м}^2/\text{с}$, $x \approx 10^{-3} \text{ м}$, $L \approx 10^{-4} \text{ м}$, $\delta' D_s \approx 10^{-17} \text{ м}^3/\text{с}$ бўлса, $D^*/D_0 \approx 10 + 10^2$. Бу $L \approx 10^{-4} \text{ м}$ бўлганида макронуқсонсиз

кристаллда диффузия коэффициенти макронуқсонли кристаллдагидан ўнларча марта ортиқ бўлар экан. Ҳисоблар ва тахлилнинг тасдиқлашича, йирик коваклар диффузияни сусайтиради. Демак, майда ковакларнинг йирик ковакларга бирлашиши қаттиқ жисмдаги диффузияни пасайтиради.

Саволлар ва масалалар

- Тугулар сони 10^{22} см^{-3} , Шотки нуқсони ҳосил бўлиши энергияси 1,5 эВ бўлса, қайси температурада нуқсонлар (вакансиялар) зичлиги 10^6 см^{-3} бўлади?
- Тугуларнинг умумий сони ва тугулар оралиги сони teng, $T=300\text{K}$, Френкел нуқсони ҳосил бўлиши энергияси 2 эВ бўлганда бундай нуқсонлар сони қанчада?
- Бор ва Фосфор элементлари кремнийда қандай қаттиқ эритма ҳосил қиласди? (6.2-жадвалдан фойдаланинг).
- 141-бетдаги маълумотдан фойдаланиб, ишқорий металлар галогенилларига F-марказлар қандай ранг беришини аниқланг.
- Нуқсоннинг таърифи қандайди?
- Нуқсонларга боғлиқ электронлар энергетик ҳолатлари кристаллнинг зоналаридағи ҳолатлардан қанақа фарқ қиласди?
- Нуқсонларнинг ўлчамлар буйича синфланиши қанақада?
- Экситонлар, поляронлар, электрон – ковак жуфтларининг моҳияти нимада?

9. Вакансияларнинг қандай хилларини биласиз, улар орасида қандай фарқлар бор?
10. F — марказлар нима?
11. Радиацион нүқсонлар қанақа?
12. Бюргерс контури ва вектори нима?
13. Дислокациялар нима? Уларнинг қандай турлари бор?
14. Яримўтказгичларда электронлар энергетик спектрига дислокациялар қандай ўзгаришлар киритади?
15. Кристалларда қандай ясси нүқсонлар бор ?
16. Қаттиқ жисмларда қандай ҳажмий нүқсонлар бор ?
17. Қаттиқ жисмларда макрокучланишлар вужудга келиши умумий шартлари қанақа?
18. Кўп қатламли қаттиқ жисм тузилмаларида макрокучланишларнинг қандай асосий манбалари мавжуд?
19. Дарзлар пайдо бўлиши сабаблари қандай?
20. Қаттиқ жисмда коваклар қандай ҳосил бўлади?
21. Макронүқсонлар қаттиқ жисм хоссаларига қандай тиёсир кўрсатади?

VII БОБ

АМОРФ ҚАТТИҚ ЖИСМЛАР. СУЮҚ КРИСТАЛЛАР

Критик нүктадан йироқдаги қаттиқ жисмлар ва суюқликларни конденсирланган (зичланган) системалар дейіләди ва улар газларга нисбатан миллионларча кичик қисилувчанликка эга. Масалан, NaCl кристаллининг қисилувчанлиги $0,3 \cdot 10^{-11} \text{ м}^2/\text{н}$, суюқ симобники $-3,8 \cdot 10^{-11} \text{ м}^2/\text{н}$, аммо атмосфера босими остидаги ҳавонинг қисилувчанлиги $10^{-5} \text{ м}^2/\text{н}$.

Зичланган системаларда зарралар аро масофалар уларнинг диаметри чамасида, газларда эса атмосфера босими остида зарралароро ўртача масофалар уларнинг ўлчамларидан ўнларча ва күпроқ марта катта бұлады.

Зичланган системаларда зарраларнинг иссиқлик ҳаракати тебранишлардан иборат, газларда эса зарралар илгариланма ҳаракат қиласы.

Зичланган (конденсирланган) системаларнинг беш хили маълум: суюқликлар, шишалар, суюқ кристаллар, аморф жисмлар, қаттиқ кристаллар.

Суюқликлар – мувозанатли, изотроп, тузилиши тартибланмаган системалар бўлиб, оқувчанлик, яъни ўз шаклини осон ўзгартира олиш қобилятига эгадир.

Шишалар – квазимувозанатли, изотроп, тузилиши тартибланмаган системалар бўлиб, қаттиқ жисмларнинг механик хоссаларига эга. Шишалар шаклини эластик рашнда ўзгартира олади, уларда бўйлама ва кўндаланг эластиклик тўлқинлари тарқала олади.

Аморф жисмлар – кучли даражада мувозанатсиз, мизатроп, тузилиши тартибланмаган системалар бўлиб, улар алоҳида шароитда ҳосил бўлади.

Суюқ кристаллар – мувозанатли, анизотроп, тузилиши қисман тартибланган системалар бўлиб, катта оқуечанликка эга.

Қаттиқ кристаллар — мувозанатли, анизотроп, тузилиши қылтый тартибли системалардир.

Бу маълумотни келтиришдан мақсад — зичланган система-лар хиллари орасидаги тафовутларни яна бир марта таъкидлашидир.

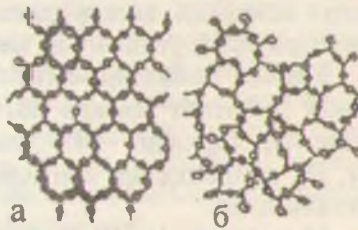
7.1. Аморф қаттиқ жисмлар

Юонча аморфос сўзи бизнингча шаклсиз деган маънони анигигади. Табиатда аморф қаттиқ жисмлар кристал ҳолатидаги жисмлардан камроқ тарқалган.

Аморф ҳолат — модданинг изотроп хоссали бўладиган ва суюлиш нуқтаси (тайинли температураси) бўлмаган қаттиқ ҳолити. Температура ошганда аморф модда аста-аста суюқ ҳолигга ўтади. Бу хусусиятларнинг сабаби аморф ҳолатдаги моддада аморф жойланишида кристалларга хос қаттий (7.1-чизма, а) даврийлик (тартиб) бўлмаганилигидир. Шу билан бир шуқуди кўшни зарралар жойлашишида муайян мослашув (иқкун тартиб) мавжуд (7.1-чизм, б). Масофа ортиши билан бу мослашув йўқола бошлини ва бир неча атомлараро мосоғрада йўқолади.

Яқин тартиб суюқликларга ҳам хос, аммо суюқликда (қовушоқлик орган сари қийинлашади) кўшни зарраларнинг толи үрин алмашиниши юз беради. Шунинг аморф ҳолатдаги қаттиқ жисмни жуда юқори қовушоқликка эга бўлган ўта сочугни суюқлик деб қараса бўлади.

Паст температураларда кристалл ҳолати термодинамик сюзидан барқарор бўлади. Бироқ, кристалланиш жараёни мансур температураларда жуда кўп актга чўзилиши мумкин, шунинг учун кристалл ҳолати амалда рўёбга чиқмайди. Суюлминин тез совутганда аморф ҳолат ҳосил бўлади. Масалан, кирорини аввал суюлтирилади, сўнг уни тез совутиб аморф кирори шиша олинади. Дарвоқе, шиша ҳолатдан суюлмага ва суюлмидан шиша ҳолатта ўтиш қайтар жараён бўлиб, у фақат шу турдаги моддаларга хосdir. Шиша ҳосил бўлиши жараёни мушинин температура оралиғида юз беради. Модданинг шиша



7.1- чизма. а – кристал; б – аморф қаттиқ жисм тузилиши

ҳолатидан кристалл ҳолатга ўтиш биринчи жинс фазавий ўтиш бўлади. Кўпи содда моддалар (S , Se , As , P), оксидлар (B_2O_3 , SiO_2 , FeO_2 ва бошқалар), сувли эритмалар (H_2SO_4 , H_3PO_4 , HCl) баъзи элементлар (Ge , As , P) халкогенидлари, баъзи галогенидлар ва карбонатлар сувли эритмалари шиша ҳолатида бўлиши мумкин. Шиша ҳолатидаги моддада атомлар ва атомлар гурухлари орасида устун равишда ковалент боғланиш мавжуд. Кўшни атомлар жойлашишида тартиб борлигини дифренциал тадқиқот усуслари аниқлаб беради.

Шиша ҳолатидаги моддалар изотроп, мурт, ёрилган сиртда чукур ҳосил бўлади, кўп ҳолда шаффоф бўлади. Бундай моддаларда қўшалоқ нур синиши кузатилади, люминесценция амалда кучсиз бўлади, уларнинг купи аслига диаметрик бўлиб, сийрак ер элементлари оксидлари қўшилганда улар парамагнитга айланади, электр хоссалари бўйича диэлектрик аммо айримлари ярим ўтказгич ва металл хоссаларга эга бўлади.

Металл шишелар металлар суюлмаларини жуда тез совутганда (совутиш тезлиги $v \leq 10^6$ град/сек) ҳосил бўлади. Метал шишелар таркиби: ~80% ўтма металлар (Cr , Mn , Fe , Co , Ni , Zr , Pr , ва бошқалар) ёки олий металлар ва ~20% кўп қалентли металмаслар.

Мисоллар: $Au_{81}Si_{19}$, $Pd_{81}Si_{19}$, $Fe_{80}B_{20}$ 3-5 таркибловчили қотишмалар ҳам мавжуд. Бу моддаларни тадқиқлаш қаттиқ жисмларнинг металлик, магнит ва бошқа хоссаларини ўрганиш имконини беради. Юқори даражадаги мустаҳкамлик билан бирга катта пластиклик ва занглашга нисбатан юқори чидамлилик моддалар ва буюмларни мустаҳкамлашда мазкур шиша металлардан фойдаланиш имконини яратади. Уларнинг баъзилари ($Fe_{80}B_{20}$) ферромагнит бўлиб, паст коэрзетив кучга ва юқори магнит сингдирувчанликка эга ва уларни магнит юмшоқ материаллар сифатида кўллаш мумкин. Аморф магнит материалларнинг яна бир муҳим синфи – ўтма металлар аралашган сийрак ер элементлари қотишмалариdir.

Металл шишеларнинг электр ва акустик хоссаларидан (юқори катталикли ва температурага суст боғланишили электр қаршилик, товушни кам ютиш) фойдаланиш имкониятлари бор.

Юқорида аморф моддаларнинг ярим ўтказгич хоссаларига эга булиштаги айтилмаган эди. Бундай моддаларнинг бир неча хил гурухлари бор: ковалент аморф яримутказгичлар (аморф

холдаги Ge ва Si, GaAs ва бөшкәлар), оксид шишалар (V_2O_5 – P_2O_5), халкогенид шишалар (As₃₁ Ge₃₀ Se₁₉ Te₁₀), диэлектрик нордилар (SiO_x, Al₂O₃, Si₃N₄ ва бөшкәлар). Аморф ярим үтказгични күчли даражада компенсиранган ярим үтказгич деб күралади, бунда үтказувчанлик зонаси “туби” ва валент зонанинг “шини” флюктуацияланади, улар тақиқланган зона Eg көнглиги гартибиде бұлады (ярим үтказгичда электронлар энергиялари зоналары ҳақида “Ярим үтказгичлар” бобида батағсил тұхталамиз). Үтказувчанлик зонасіда электронлар ва валент зонасідегі көңдер юқори түсікшілар билан ажралған потенциал чукурларда ғойлашған “томчи”ларға булиніб кетади. Паст температураларда аморф яримүтказгичларнинг электр үтказувчанлығы мағаллій қолылар орасыда сакрама тарзда бұлады (сакрама үтказувчанлик). 10 көрироқ температураларда аморф яримүтказгичларнинг электр үтказувчанлығини электронларнинг умумлашған ҳолатларига истидик ҳаракати энергиясы әвазига үтказилиши аниқлайды. Аморф яримүтказгичларнинг бир қатор ажойиб хоссаларидан түрлі амалий мақсадларда фойдаланиш мүмкін. Халкогенид шишалар спектриннинг ИК соңасыда шаффофф бұлғанлығы, юқори электр қаршиilikка ва фотосезгирилікка әгалігі туғайли телевизор трубыкаларнинг электрофотографик пластинкаларини тайёрлаптауда голограммаларни ёзишда құлланилади.

Аморф яримүтказгичларда юқори омли ҳолатдан паст омли қолытта ва аксинча қайта уланиш эффекти ёрқын ифодаланган, үшінша түшіші вақты $t \leq 10^{-10} - 10^{-12}$ с бұлған элементлар яратиши мүмкінні беради.

Аморф моддалар ташқы таъсирлар – температура электр, магнит майдонлар, ёруглик, деформация, киришмалар таъсирларда үз хоссаларини ўзgartира олишшлиги билан бир қаторда үшінші олишдаги технология жараёнларнинг қандай бориши шартынан шароитда үтказилишига боғлиқ бұлади.

7.2. Гидриданған аморф кремний (α - Si : H)

70-шілларда (XX аср) аморф тузилишли кремнийдан аманшыл мәқсадларда самарали фойдаланиш мүмкінлегі ишботынандаған кейин бу моддани ҳосил қилиші ва уннан физикалық хоссаларини ўрганиш бүйічіча жадал тадқиқотлар

үтказила бошлади. ҳозир бу йұналишда анчагина назарий ва амалий натижалар бор.

Муайян тәглиқда ўстирилаётган кремний (Si) пардасига (юпқа қатламы) водород (H) киритилса у үсаётган пардадаги узилган кимёвий bogланишлар сонини камайтириши мүмкін. Бундай кремнийни гидридланган аморф кремний дейилади ва $\alpha\text{-Si:H}$ шаклда белгиланади. Одатда $\alpha\text{-Si:H}$ бир неча усулда тайёрланади—милтиллама зарядсизланишда газларни парчалаш, ионлар киритиш ва катод пуркаш (чанглатиш) усуллари ишлаб чиқылған.

Милтиллама зарядсизланиш усулини қарайлык. Бу усулда силен (SiH_4) газини гелий (He) ёки арсений (Ar) газлари атмосфераисида H_2 газы билан биргалиқда парчалаш орқали $\alpha\text{-Si:H}$ пардалари ўстирилади. Юқори тақрорийликни милтиллама зарядсизланишда құзғатувчи индуктивлик ғалтаги ва зарядсизланиш камераси (бұлмаси) қурилма асоси бұлади. Бундай тақрорийлик оралиғи 0,5-13,5 МГц, босим 0,1-2,0 мм.сім. устуни, газнинг сарғи 0,2-5,0 $\text{cm}^3/\text{мин.}$, ўстириш тезлигі 100 - 1000 айл/мин бұлади.

Тоза бир жинсли тузилиш ҳосил қилиш учун иккі электродли қурилмадан милтиллама зарядсизланиш йүли билан газларни парчаланади, бунда зарядсизланиш бұлмасида иккита параллел электрод жойлашған, у 13,5 МГц тақрорийликда ишлейді.

Ұзгармас ток зарядсизланишидан ҳам $\alpha\text{-Si:H}$ олишда фойдаланиш мүмкін. Агар тәглиқ катод вазифасини бажарса, у ҳолда ўстириш тезлигини 0,1 дан 1,0 мкм/мин гача етказиш мүмкін.

$\alpha\text{-Si:H}$ пардаларни анод тәглиқда ҳам ўстириш мүмкін. Бу ҳолда ўстириш тезлигі катод тәглиқ ҳолидагидан кичик бұлади, у билан газининг босимига токнинг катталигига ва тур электродининг ҳолатига bogлиқ.

Тәглиқни қыздырыш чегараси таxминан 600°C гача мүмкін дейилседа, аммо айрим ҳолларда тәглиқ температураси $200 - 400^\circ\text{C}$ оралиқда бұлғанда парда нұқсонли бўлиб қолиши мүмкінligи ҳам қайл қилинган, SiH_4 нинг босими юқори бұлғанда милтиллама зарядсизланиш қурилмаларида ўстирилған пардаларда турли радикаллар пайдо бұлади, ёки полимерланиш кузатилади.

Гидриданган аморф кремний намуналари легирланмасдан тайерланади, аммо ўстириш пайтидаги технологик жараён шартларини ўзгартириш ҳисобига Ферми сатхи E_F силжитиши мүмкін. Бу ҳодисани псевдолегирлаш дейилади. Бунда намуна панжарасининг ўзгаришлари ҳолатлар зичлиги $g(E)$ ни Үзгартиради, бу эса ўтказувчанлик электронлари зичлигини Үзгартиради, заряд ташувчиларнинг фаолланиш энергияси $\Delta E_c - E_F$ ҳам ўтказувчанликни ўзгартиради.

Псевдолегирлаш усули билан $\alpha\text{-Si:H}$ пардаларини (қатламларини) ўстириш учун триодли система құлланилади. Триод түри күчланиш танланадики, бунда кучли зарядсизланыш анод — түр оралиғида бұлади, газлар аралашмасининг параллелини анод — түр оралиғида юз беради.

Шундай қилиб, аморф кремний олиш кристалл кремний олишта нисбатан анча арzon, бинобарин, унинг құлланиш им-коэффициентини оширади. Аморф моддаларнинг физик, технологик, ғылыми жиһатдан үрганиши уларнинг құлланиши соңаларини тобора көнгайтироқда. Бундай материаллар янги ҳисоблаш машиналарда, ёзув ва алоқа воситаларда, айниқса қүёш энергиясидан фойдаланишда самарали равишда ишлатылмоқда, янги құлланиш жабхалари очилмоқда.

7.3. Суюқ кристаллар

Ниди суюқ кристалларнинг тузилиши ва хоссаларига тәсілдер меншіктес жағдайларни баён қиласымыз.

Суюқ кристаллар қаттық жисм ва суюқ жисм орасидаги (моноаморф) фазалардир, улар кристаллга хос анизотропия хоссияттары ва бир вақтда суюқликка хос оқувчанлик хоссасига иштейді. Суюқ кристаллар термодинамикалық фаза тушунчасини қонаплантиради. Улар мұайян температуралар оралиғида мавзуд бұлади, ундан паст температураларда эса изотроп суюқликка айланади. Суюқ кристаллар молекулар маддаларынан уларнинг тузилиши кристалларға ва суюқликларға хос түзилештер оралиғида бұлади. Суюқ кристалларнинг физик хоссаларини бошқариш осон, бу хусусият уларнинг назарий ва ынандағы ақамиятини тақозо қиласади.

Суюқ кристалларнинг молекулалари чүзиқ бұлади ва бу бірнеше нағызда, уларнинг тузилиши ҳамда хоссаларини

аниқлаб беради. Молекулалар орасида икки хил боғланиш – ёнлама ва охирлама боғланишлар мавжуд. Ёнланма боғланишлар молекулаларнинг бир-бирига параллел жойлашишига, охирланма боғланишлар занжирчалар кўринишда тузилишига олиб келади. Биринчи жойлашиш анизотроплик хоссаларини пайдо қиласди, молекулалараро таъсирнинг заифлиги оқувчанлик хоссасини аниқлайди.

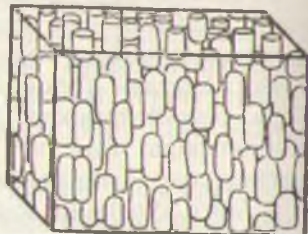
Суюқ кристалларнинг уч хили: нематик, смектик ва холестерик суюқ кристаллар мавжуд.

1. *Нематик суюқ кристалл* (юононча «нема»-тола). Бундай кристалларда молекулалар ўқлари бир-бирига параллел йўналган, аммо молекулаларнинг ўзи бир бирига нисбатан ихтиёран силжиган (7.2- чизма).

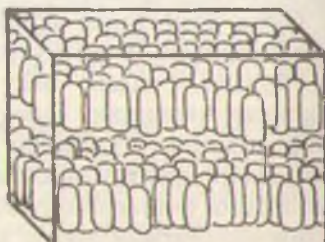
Оқибатда бундай моддада молекулаларнинг чизиқий йўналганилиги вужудга келади. Нематик кристаллар оптик жиҳатдан бир ўқли ва мусбат бўлади. Молекулалар ўқлари йўналиши билан бирдай бўлган оптик ўққа параллел ранишда ёруғлик тарқалиши тезлиги мазкур ўққа тик йўналишидаги ёруғлик тезлигидан катта ($V_{||} > V_{\perp}$). Бинобарин, оддий нур ва нооддий нур синиш кўрсаткичлари ҳам тенг эмас, яъни $n_{||} < n_{\perp}$, бу эса мусбат кристаллар электр ва магнит майдонлар билан ўзаро таъсирилашади демакдир.

Неъматик кристалл бўлган параазоксианизолнинг (у бу ҳолатда 116 °-136° С оралиқда бўлади) қовушоқлиги оқим йўналишига тик бўлган кучсиз магнит майдонда куили даражада ўзгаради.

2. *Смектик суюқ кристал* (юононча смегма-совун). Бундай кристалларда молекулалар бир бирига параллел йўналган бир молекула қалинлигидаги ясси қатламларга тизилган бўлади (7.3- чизма).



7.2- чизма. Нематик суюқ кристалл.



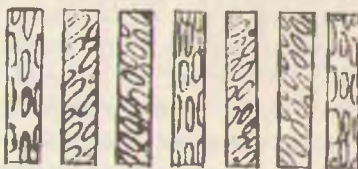
7.3- чизма. Смектик суюқ кристал.

Смектик суюқ кристалл мисоли совун пуфаги пардасидир (7.4-чизма), унинг ташқи ва ички сиртлари смектик қатламлардир. Сиртий қатламлардаги совун молекулаларининг ўро тортилиши пуфагининг барқарор бўлиши учун зарур бўлган сиртий тарангликни вужудга келтиради. Совун пуфаги нишиширганда ва унинг ўлчами каттайганда парданинг совун ёритмаси эркин молекулалар қатламларида жой эгаллаб пулғанинг диаметрини орттиради. Пуфак қисилганда совун молекулалари қатламларидан қисиб чиқаради ва яна ёритмага ўтиди.

3. Холестерик суюқ кристаллар. Таркибида холестирин бўлган кўп бирикмалар суюқ кристалл фазаси ҳосил қўлганидан бу ном келиб чиқсан (холестириннинг ўзи бундай фаза ҳосил қўлмайди). Холестерик суюқ кристаллар смектик-нематик турдаги аралаш тузилишга эга бўлади.

Уларда молекулалар смектиклардагига ухшашиб, параллел қатламларда жойлашади (7.4-чизма), лекин ҳар бир қатламда молекулалар ўқлари нематик турдаги қатламларга параллел бўлади. Ҳар бир қатлам қўшни қатламга нисбатан муайян бурчакка бурилади. Холестерин молекуласи метил СН₃ групдор билан ясси тузилишига эга, метил групдор эса молекула текислиги устидаги жойлашган. Ҳосил бўладиган учлик жойлар ҳар бир қатламда молекулалар ўқларининг олдинги қатлам ўқларига нисбатан ўртача 15° га бурилишига сабаб бўлади. Натижавий бурилиши қатламлар сони ортган сайнин ошиб бориб ~ 300 қатламга тенг қадамли спиралсимон тузилиши ҳосил қиласди.

Холестерималар оптик жиҳатдан бир ўқли ва манфий ($n_D > n_I$), молекулалари ўқлари йўналишлари (нематик ва смектик кристаллардан фаржли равнишда) оптик ўқча тик бўлади. Холестериннинг спиралсимон тузилиши оптик активликнинг, яъни ёргуллик кутблинини тезлигиминг бурилишига сабаб бўлади. Молекуляр қатламларга тик бўлган оптик ўқ бўйлаб ўтаётган чизиқий кутбланини ёргуллик ўз электр векторининг йўналишини изчил равниш спирал бўйича муайян бурчакка ўзгартириб боради, бу бур-



7.4-чизма. Холестерик суюқ кристалл.

чак кристалл қалынлігіне пропорционал бўлади. Масалан, α-кварцдан қутбланган ёруғлик ўтінда у 1 мм йўлда қутбланиш текислигини 20° га буради. Холестеристикларнинг оптикалық активиги анча катта – у 18000° га етади, бу эса қалынлікни 1 мм га 50 марта тўла айланышни ташкил қиласди.

Энди уч хил суюқ кристалларни таърифлагач, уларнин мұхим хосса ва хусусиятлари, құлланишлари ҳақида тұхтalamиз.

Суюқ кристалларни маълум бўлган кимёвий бирикмалар сони бир неча минг чамасида. Улар баъзи қаттиқ (мезоген) кристалларни қиздирганда ҳосил бўлади: даставвал суюқ кристал ҳолатга фазавий ўтиш юз беради, кейин қиздириш давом эттирилса суюқ кристал оддий изотроп суюқликка айланади. Ҳар бир суюқ кристалл муайян температуралар оралиғида мавжуд бўлади (термометроп суюқ кристаллар). ўтиш иссиқлігі жуда кичик. Параазоксианизолнинг нематик сифатида мавжудлик соҳасини юқорида айтдик. Баъзи бирикмалар ва улар аралашмалари -40 дан +80° С гача оралиқда смектик суюқ кристалл булиши аниқланган. Холестерик суюқ кристаллар мисоллари – холестерик эфиридир. Баъзи органик моддалар смектик фазалар ҳосил қиласди, кейингилари нематик суюқ кристалларга ўтиши мүмкін. Бир неча смектик мезафазалар ҳосил қилувчи бирикмалар маълум, уларда молекулалар қатламларда ўзаро турлича жойлашган. Масалан, бис-фенилендиамин бирикмаси тұртта смектик ва битта нематик модификацияларга әгадир. Яна бошқа ажойиб суюқ кристаллар топилган.

Суюқ кристалларнинг уччала хилида ҳам құшалоқ нурсинни кузатилади. Эслатамиз: құшалоқ нурсиндирадиган модда сиртига тушаётгандан қутбланмаган ёруғлик нури моддадан ўтаётіб чизиқиң қутбланагы иккі нурга ажралади (оддий ва нооддий нурлар), уларнинг қутбланиш текисликлари ўзаро тик бўлади. Оддий ва нооддий нурларнинг тарқалиши тезликлери ва синине күрсаткичлари ҳар хил. Улар моддадан параллел дасталар тарзидә чиқади. Бу ҳодисаны талқиқлашаң – модданинг суюқ кристаллик ҳолатини аниқлашаң – энг қулай усул ҳисобланади.

Холестерикларнинг молекуляр тузилиши ички молекуляр кучлар таъсирида жуда нозик равишда мувозанатланган, бу

мунозанат осон бузилиши мүмкін. Молекулалар орасидаги шифт үзаро таъсирни бузувчи ҳар қандай (оптик, иссиқлик, электр ва ҳоказо) таъсир холестерикнинг энг аввал оптик коссаларини сезиларли үзгартыришга олиб келади. Бу ҳолисаларнинг энг яққол мисоли температура озгина Үндергандан холестерик рангнинг үзгаришидир. Масалан уч холестерик арапашмасидан иборат пардада күринадиган ғруплик спектрида фақат 4 с температуралар оралиғида рангни үзгартыриш мүмкін. Бундай пардалардан одамнинг касал айзосини аниқлаш мақсадида одам танаши сиртида температуралар тақсимотини кузатиш учун фойдаланса болиди. Холестерик паралгонатда температура үзгариши гравиметриялық улушкига қадар бұлганда ранг үзгәради.

Холестерикларнинг кимёвий бирикмалар бұгларига нисбатан фотосезигрлигига асосан баъзи ҳидларни аниқтайдиган асбоб ясалған.

Холестерикнинг спиралсімоп тузилиши күринадиган ғруплик тұлқин узунлиғи тартибида. Бундай даврий тузилмода ғрупликнинг Вулф-Брэггларнинг $\lambda=2ds\sin\theta$ ифодаси тавсифлайды. Агар $d=5000$ Å бўлса, 7000 Å тұлқин узунлиғи (қизил) ғруплик 45° га бурчак остида танловчан қайтарилади, 30° остида esa 5000 Å (кўк) ёруғлик қайтарилади. Қайтарилиш бурчакининг муайян қийматида холестерик пардаси боррангли бўлиб күринади. Холестерикларнинг ёй камалак рангнин үларнинг спиралсімоп тузилиши даври күринадиган ғруплик тұлқин узунлиғи тартибида эканлиги билан тушириллади. Смектикларда молекуляр қатламлар орасидаги масофа бир неча ангстрен. Бу ҳолда рентген нурлар танловчан қайтарилади. Баъзи нематикларда қатламлар оралиғи микрондар тартибида бўлади ва улар инфрақизил соҳадаги нурланышни танловчан қайтаради.

Суюқ кристаллар амалда кенг құлланилади, айниқса ахборотта ишлов бериш ва тасвирлашда үларнинг электрооптик сессияридан фойдаланилади, суюқ кристаллар асосида ЖМЛарнинг кейинги авлодлари яратилған. Суюқ кристаллардан электрон соатлар, микрокалькуляторлар, оптоэлектрон

курилмалар ва бошқаларда құлланилади. Ясси экранлар ишлаб чиқарылмоқда. Холестерик суюқ кристаллардан медицинада (баданнинг юқори температуралы жойларини аниқлашда) ва техникада (ИК, УЮТ ва бошқа) нурланишларни күрадиган қилишда, микроэлектрон схемалар сифатини назорат қилишда ва ҳакозолардан фойдаланилади.

Саволлар

1. Аморф қаттиқ жисмларнинг тузилишини тавсифланг.
2. Суюқ кристалларнинг қандай турлари бор?
3. Аморф ва суюқ кристаллар қаерда құлланилади?

VIII БОБ

ҚАТТИҚ ЖИСМЛАР СИРТИДАГИ ҲОДИСАЛАР

8.1. Үмумий мәғынамот

Қаттиқ жисм сирти – ҳамма вақт икки фаза (мухит)ни ажратиб турадиган чегарадир. Бу чегара бир томонда қаттиқ жисм шаике иккинчи томондан, газ, суюқлик ёки бошқа қаттиқ жисм оралып бұлади. Шунинг учун ажратиши сирти чегаранинг ҳар икки томонидаги фазалар билан үзаро таъсирлашади.

Сирт билан боғлиқ масалаларни ечиш ярим үтказгичли асбобларни ишлаб чиқариш ва құлланишида муҳим, чунки сирт хоссаларининг бекарорлығы, уларнинг беназорат үзгаришлари асбобларнинг ишлаш мүддатини камайтиради ва ишончли ишлапшины пасайтиради.

Металларнинг занглаши ва оқибатда уларнинг бузилиши қам сирт хоссаларига боғлиқ бұлади.

Қаттиқ жисм сиртининг бәзі умумий ҳолатлари ҳақида тұжарияттық. Биринчидан, сиртда кристалл ҳажмидаги атомдарнинг даврий жойлашиши бузилади (кесилади), натижада тұтапланмаган (узилган) кимёвий боғлар пайдо бұлади. Бошқача айттанда, сирт мавжудлигининг ўзи кристаллдағы ичинші потенциал даврий майдоннинг бузилишидир. Бу даврийдиктернің ҳар қандай бузилиши маҳаллий энергетик ҳолаттарни да сирттің ҳолаттарни вужудға келтиради. Бундай сирттің ҳолаттар зичлиги $10^{18} - 10^{19} \text{ м}^{-2}$ тартибида бұлади, уларни Тәммәм сатхлары дейилади. Иккинчидан, ҳақиқиي шароитда қаттиқ жисмлар сиртида амалда ҳамма вақт оксид парда ёки шиншай ёт атомлар ва ионлар бұлади. Шу туфайли сирттөңдер мұраккаб күп қатламли тузилишга эга бұлади.

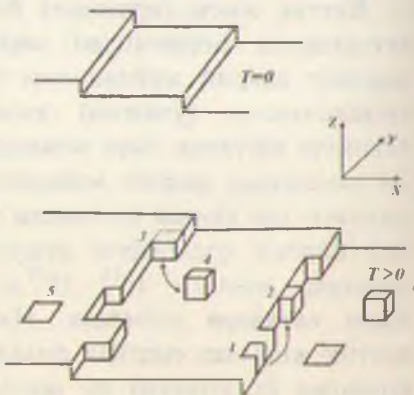
Күп ҳолларда қаттиқ жисемлар сиртини қоплаган қатламларда маҳаллий сатхлар ҳосил қилувчи киришмалар ва нуқсонлар бор. Кристаллнинг ўз сиртидаги ички ҳолатлар кучли электр майдони таъсирига тез жавоб беради, уларни **тезкор ҳолатлар** дейилади, қатламлардаги (ташиқи) ҳолатлар нисбатан анча секин таъсириланади, уларни **секин ҳолатлари** дейилади.

Сиртнинг миқдорий тавсифнома сиртий σ ёки фазалараро γ энергия бўлали. σ ни сиртий тараанглик дейилади, у сиртни чегаралаган чизиқни бирлик узунликка ва сирт юзини унга мос катталикка қадар (миқдорга) ўзгартериш учун керак бўладиган кучни билдиради.

8.2. Сиртнинг тузилиши. Энергетик ҳолатлар

Ҳақиқий кристаллнинг сирт тузилиши анча мураккаб. Сирт деганда юпқа, лекин ҳажмий, қатлам тушунилайди. Бу қатламлар қалинлиги кристалл панжараси доимийсидан ўнларча марта катта бўлиши мумкин. Ҳақиқий кристалл сиртида турли нуқсонлар кўп, ниҳоят, сирт ташки мұхит билан туташгани учун унинг шаклланишида кислород мұхим ўрин тутади. 150–200 нм қалинликли табиий оксид қатламлар амалда ҳамма вақт қаттиқ жисемларнинг сиртида мавжуд бўлади. Сирт гадур-будур бўлиб, дўнгликлар билан чуқурликлар навбатлашиб жойлашган.

Хозир сиртнинг манзараси 8.1-чизмадагидек бўлади деб, ҳисобланади. Сиртда погоналар бўлади. $T>0$ бўлганданда флюктуациялар туфайли 1,2 бўш жойлар ҳосил бўлиши мумкин. Адсорциялашган (сиртга ёпишган) атом бўши жойини эга лайди (3) ёки бўши погонада қолади (4). Погонада сиртий вакансиялар (5) ҳосил бўлиши мумкин. Сиртда нуқсонлар борлиги туфайли мазкур атом ўзаро



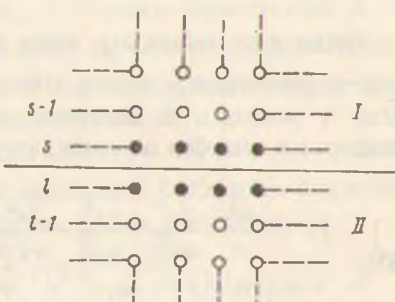
8.1-чизма. $T=0$ ва $T>0$ да кристал сиртнинг тузилиши

тәсирлашыптынан күшнилар сони сиртнинг түрли жойларда турлича. Шунинг учун атомнинг сирт билан бөлганиш энергияси түрли болади.

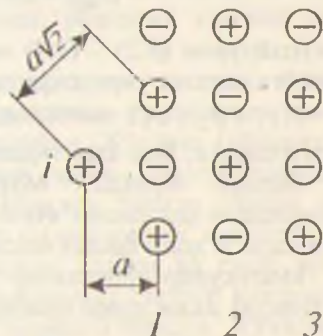
Энди түрли қўринишлари қаттаки жисмларнинг эркин сиртий энергиясини ҳисоблайлик. Бунинг учун кристални ёрилиш сиртнинг бир томонидаги, $s-1$, $s-2$ ва ҳоказо параллел текисликлар, иккичи томонидаги I , $I-1$, $I-2$ ва ҳоказо параллел текисликлардан иборат деб тасаввур қиласиз (8.2-чизма). Кристалда ҳосил бўлган икки сиртли I ва II бўлаклар бўлади. Бу жарёйда сарфланган иш узишга кетади. Агар энг яқин масофада жойланган атомлар жуфтлари орасидаги ўзаро таъсирни эътиборга олдак, $s-$ ва $I-$ қатламдаги атомлар ўзаро таъсир энергиясини V_s деб белгиласак сиртни ҳосил қилинганга сарфланган тўлашергия

$$E_s = \frac{1}{2} \sum_{I>1} W_{II}, \quad (8.1)$$

бундаги I — қўшимча равишида ($s-2$ ва $(I-1)$, $(s-2)$ ва $(I-2)$ ва ҳоказо атомлар орасидаги ўзаро таъсирни ҳисобга оладиган кўпайтиувчи ионлар кристалларда I мусбат ион 2 манғий ион билан тортишади, 3 мусбат ион билан итаришади ва ҳоказо. Бу ионлар занжирда умумий потенциал шергия (8.3- чизмага қаранг)



8.2-чизма. Атомларнинг түрли сатҳарда жуфт-жуфт ўзаро таъсирни тизмаси.



8.3- чизма. Бир і ионнинг ионлар занжирини уртасидан узилшиб чиққиши: 1-3-ионлар занжирлари.

$$\varphi_1 = -\frac{e^2}{a} + \frac{e^2}{2a} - \frac{e^2}{3a} + \frac{e^2}{4a} + \dots = -\frac{e^2}{a} \left[1 - \frac{1}{2} + \frac{1}{3} - \frac{1}{4} + \dots \right] = \varphi_1 e^2/a, \quad (8.2)$$

Бунда $\varphi_1 = 0,6935$.

Энди ўша чизмадаги икки ўлчовли панжарани қарайлар. і ион α масофадаги ионга тортилади, $a\sqrt{2}$ иондан итарилади. Агар 1 ионнинг 2 вертикал занжирча ионлари билан ўзаро таъсирини ҳисобга олмасак, умумий потенциал энергия

$$V_2 = -\frac{e^2}{a} + \frac{2e^2}{a\sqrt{2}} - \frac{2e^2}{a\sqrt{5}} + \frac{2e^2}{a\sqrt{10}} - \dots + \frac{e^2}{2a} - \frac{2e^2}{a\sqrt{5}} + \frac{2e^2}{a\sqrt{8}} - = \\ = -0.1144 e^2 / a = -\varphi_2 e^2 / a; \quad \varphi_2 = 0.1144 \quad (8.3)$$

Шу йўсинда 1 ион билан кристал сирти орасидаги ўзаро таъсир энергияси олинади:

$$V_3 \approx -0.066 e^2 / a = -\varphi_3 e^2 / a. \quad (8.4)$$

Демак, V_1 - ионнинг занжирча бошидан ажралиш энергияси, V_2 - бутун занжирчадан, V_3 - ясси түр ўртасидан ажралиш энергияси бўлиб, уларнинг Na атомли панжара бўйича йигиндиси панжара энергиясини беради:

$$U_{\text{пан}} = 2N_A (\varphi_1 + \varphi_2 + \varphi_3) e^2 / a. \quad (8.5)$$

2 кўпайтувчи (8.2) - (8.4) ифодалар текисликнинг бир ярмини ҳисобга олгани учун киритилган.

$2(\varphi_1 + \varphi_2 + \varphi_3)$ катталиктини α_M **Маделунг доимийси** орқали белгиланади, бир хил турдаги панжарали қаттиқ жисмлар учун у бирдай бўлади. Мураккаброқ ҳолларни қарамасдан, юқоридаги ҳол билан яъни қарама-қарши бир зарядли ионлар панжараси ҳоли билан чекланамиз.

Молекуляр кристаллар учун (Ван дер Ваалс қучлари устун бўлганда) икки зарра орасидаги ўзаро таъсир энергияси

$$U_{1,2} = \xi_1 / a^m - \xi_a / a^n \quad (8.6)$$

кўринишда бўлиб, ξ_1 ва ξ_2 - доимий катталиклар, биринчи ҳал итаришиш, иккинчи ҳад тортишишни ҳисобга олади. Бундай кристаллар учун панжаранинг боғланиш энергияси

$$U_{\text{пан}} = (\xi_2 K_n / a_0^n) (1 - n/m) N / 2 \quad (8.7)$$

күринишида олинган, бунда K_n - даражасынан күрсаткичи n га болғыл (н=6 деб олинса, $K_6=14.454$), a_0 - панжара доимийситеттеги мувозанатий қиймати, n ва m лар тажрибада аникланади.

Ковалент кристалларда, масалан олмосда,

$$U_{pan} = (4/2)E_{c-c} = 2E_{c-c}, \quad (8.8)$$

Бундаги E_{c-c} - карбон атомлари орасидаги боғланиш энергиясы. Металл кристалларда $z=1$ (бир валентли металл) учун:

$$U_{pan} = (Na\alpha_m e^2/a_0)(1-1/n) \quad (8.9)$$

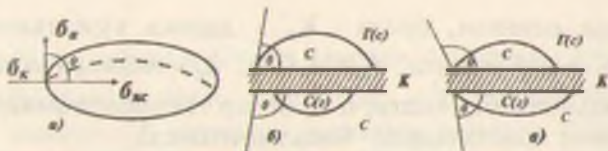
8.3. Ҳұлланиш ва ёйилиб оқишиң ҳодисалари

Ҳұлланиш ҳодисаси суюқликнинг қаттиқ жисм ёки бөшіка суюқлик сирти билан тегишганида юз беради. Бу ҳодиса металл-ярим үтказгич контактларини тайёрлаш технологиясида қатта ажамиятта эга, чунки бу технологияда металл томчисини кристалл билан қотиштириш усули кенг құлланилади. Бундай томчинни қыздырыш вақтида ёйилиб кетиши қотишиш юзини на шу жараённинг үзини аниклади.

Қаттиқ жисм сиртининг яхши ҳұлланиши, масалан, бу сиртни турли кимёвий моддалар томонидан тозаланиши самарадорлыгини таъминлайди. Жұмладан, рұзғорий юувучи моддалар құлланиши шунга асосланған.

Ҳұллаш капилляр найдада мениск ҳосил қиласы, қаттиқ сиртда томчиннинг шаклини ёки суюқликка ботирилған жисм сиртида газ пуфаги шаклини аниклади. Ҳұллаш (ҳұлланиш) ҳодисасини контакт соҳасида уч фаза (жисм, мұхит) орасидаги үшір таъсир оқибати сифатида қаралса бұлади, аммо күп капилларда у (масалан, суюқ металлар билан қаттиқ металлар тегишиң үшін) турғанда) кимёвий бирикмалар, қаттиқ ва суюқ әритмалар ҳосил бўлиши, ҳұлланувчи жисмнинг сиртий қатламида диффузияни жараёнлар юз бериши оқибати бұлади. Ҳұлланиш ҳодисасида ҳұлланиш иссиқлиги дейилувчи иссиқлик ажралиш мүмкін.

Ҳұлланишиннинг үлчови вазифасини одатда чегаравий θ бурчак болжаради, у ҳұлланувчи сирт ва суюқликнинг периметр бүйінча сирти орасидаги бурчакadir (8.4- чизма).



8.4- чизма. а- томчиқ қаттиқ сиртда; б- томчи; в - пулфакининг қаттиқ сиртда турли ҳулланиш шароитида вазияти; г - газ; с - суюқлик;
қ - қаттиқ жисм;

Статик (мувозанатий) ҳулланишда θ суюқликнинг сирт таранглиги σ_c га, қаттиқ жисмнинг сирт таранглиги σ_k га ва чегарадаги фазалароро ξ/a''' таранглик σ_{kc} га Юнг тенгламаси $\cos\theta = (\sigma_k - \sigma_{kc})/\sigma_c$ орқали bogланган.

Агар $0^\circ < \theta < 90^\circ$ бўлса, суюқлик томчиси қисман ёки $0 \rightarrow 0^\circ$ ҳолда сирт бўйича ёйлади (8.4.б,в- чизма). Агар $\theta > 90^\circ$ бўлса, томчи ёйилмайди (8.4.б,в- чизма). Биринчи ҳолда суюқлик қаттиқ жисмни ҳуллайди, иккинчи ҳолда ҳулламайди.

8.4. Электронлар эмиссияси ва сиртий ионлаш

Термоэлектрон эмиссия ҳодисаси қаттиқ жисмни қиздириганда ундан вакуумга (бўшлиққа) ёки бошқа жисмга электронлар чиқарилишидан иборат. Қаттиқ жисмдан чиқиб кетиш учун электроннинг энергияси жисмдан ташқарида тинч турган электрон энергиясидан катта булиши керак. Бу энергияни чиқиш иши дейилади. Т-300К (хона температураси) да термодинамик мувозанат шароитида, Ферми-Дирак тақсимотига асосан, энергияси чиқиш ишидан катта электронлар сони жуда-жуда кам, аммо температура ортиши билан бу сон жуда тез (экспотенциал) ортади. Шунинг учун термоэлектрон ток фақат қиздирилган жисмлардан чиқади. Агар чиқсан электронларни олиб кеталиган электрик майдон бўлмаса, бу электронлар ударни чиқарган жисм сирти яқинида манғий ҳажмий электрик заряд ҳосил қилиб, термоэлектрик токни чеклаб қўяди. Эмиттер (электронлар чиқарувчи) ва анод (электронларни йигувчи) орасидаги кучланиш кичик ($V < V_o$) бўлганда ток зичлиги $J \sim V^{3/2}$ қонун бўйича ифодаланади. $V - V$ бўлганда ҳажмий заряд сўрилиб кетади ва ток тўйинишига I_0 қийматга эришади, кучланишини янада оширилса, яна секин

174

уза бошлайди. Тўйиниши токи зичлиги (термоэлектрон эмиссия токи зичлиги) Ричардсон – Дэшман ифодасидан ҳисобланиши мумкин:

$$I_0 = AT^2 \exp(-\chi/kT). \quad (8.10)$$

Бундаги A – доимий, χ – электроннинг металлдан чиқиш иши. Агар электронларнинг қаттиқ жисм сиртидан қайтиш конфибиенти R ҳисобга олинса $A = A_0(1-R)$ деб ёзилиши керак, бунда $A_0 = emk^2/2\pi^2\hbar^3 = 120,4 \cdot 10^4 A/m^2k^2$. Ҳақиқий шароитда $\chi(T)$ эканини ва бошқа омилларни ҳисобга олинса, қончилик тоза металлар учун $A = (15 \div 350) \cdot 10^4 A/m^2k^2$ (8.10) ифодани яримутказгичларга ҳам қўлласа бўлади. Термоэлектрон эмиссия ҳодисаси кўп электрон асбобларда қўлланилади.

Термоэлектрон эмиссия билан сиртий ионлашиш ҳодисаси кинес бўлганган. Бу ҳодиса қиздирилган (чўғланган) металл сиртига бугнинг атомлари ёки молекулалари урилганда содир бўлди. Атомлар ёки молекулалар қиздирилган металл сиртига уни ўраб олган буг атмосферасидан ёки маҳсус манбадан бўлганитириладиган молекуляр ласта кўринишида келиб тушади. Уларнинг урилишидан ҳосил бўлган ионлар маҳсус коллектор (йигновчи мослама) томонга йўналтирилади ва унинг қонжирида ток пайдо қиласди, бу ток кучи ионлар миқдорини баъзлашиб имконини беради.

Сиртий ионлашиш сиртнинг $1cm^2$ дан I_C да кетаётган n_i ионлар қайтаётган n_a атомлар сонлари нисбати билан ишланаади:

$$n_i/n_a = \alpha, \quad (8.11)$$

о ни ионлашиш даражаси деб аталади. Баъзан бошқа муносабатни фойдаланилади:

$$n_i/n_0 = \beta, \quad (8.12)$$

бунда $n_0 = 1cm^2 I_C$ да сиртга тушаётган атомлар сони. β ни сиртий ионлашиш коэффициенти дейилади.

$n_i + n_a = n_0$ бўлганлиги учун

$$\beta = \frac{\alpha}{1 + \alpha} \quad (8.13)$$

бўлади. α катталик температурага боғлиқ. Бу боғланишни Саха-Ленгмюр ифодаси беради:

$$\alpha = (g_I/g_a) \exp[-(eV_I - X_I)/(kT)], \quad (8.14)$$

бундаги χ_I - металдан ионнинг чиқиши иши, V_I - қиздирилган металга тушаётган атомнинг ионлашиш потенциали, g_I ва g_a - метал сиртидан кетаётган зарралар ҳолатларининг статистик вазнлари (масалан, ишқорий металл иони учун $g_I = 1$, атом учун $g_a = 2$).

Сиртий ионлаш ёрдамида мусбат ионлар ҳам, манфий ионлар ҳам ҳосил қилиниши мумкин. Ортиқча электронни узоқлаштириш учун манфий ионни «ионлашга» eU_s энергия сарфлаш керак. Шу энергияни электроннинг атомга яқинлиги дейилади. манфий иондаги «ортиқча» электроннинг энергетик сатҳини аниқлайди. Бу ҳолда Саха-Ленгмюр ифодасида ионлаш потенциали U_I ўрнида электроннинг атомга яқинлиги туради:

$$\alpha = n_I / n_a = (g_I / g_a) \exp[-(eU_s - X_I)/(kT)]. \quad (8.15)$$

8.5. Қаттиқ жисмлар сиртъода адсорбция ҳодисаси

Газ атмосфераси билан туташган қаттиқ жисм сиртини тезда газ атомлари (молекулалари)нинг бир ёки кўп қатлами қоплади. Шу ҳодиса адсорбциянинг моҳиятидир. Бунда қаттиқ жисмни адсорбент (ёпиштириб олувчи), газ фазасини эса адсорбат (ёпишувчи) дейилади. Адсорбциянинг икки хили бор: **физик адсорбция ва кимёвий адсорбция (хемисорбция)**.

Физик адсорбция ҳолида атомлар (молекулалар)нинг адсорбцион (сиртга ёпишган) қатлами қаттиқ жисм сирти атомлари билан Вандер-Ваалс зиф кучлари воситасида боғланган. Физик адсорбциянинг муҳим тафовути – унинг қайтувчанлигидир.

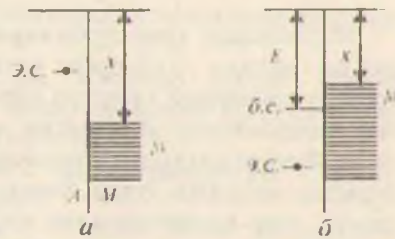
Қандайдир температуралар оралигига адсорбциянинг ҳар икки хилини бир-биридан кескин ажратиб бўлмайди.

Алсорбция ҳамма вақт экстремик жараёндири, яъни иссиқлик ажрападиган (энталпия ΔH_s қадар ўзгариадиган) жараениди.

Алсорбция иссиқлини (энталпия) зичликнинг функцияси на одатда у ортиши билан каммайди. Алсорбция иссиқлигининг бундай ўзгариш жараенини изчил оқиб бориши туфайли юз беради. Бу жарен сиртнинг максимал энергияли жойларида — чўққилар, кристаллининг бурчаклари ва қирраларида, дарзлар қирғоқларида, тирнамаларда ва шунга ухшашиб жойларда бошланади. Бу жойлар тўйингач, ясси сиртларда адсорбция бошланади. Уларда камроқ энергия ажралади.

Физик алсорбция энталпияси анча катта (≈ 10 ккал/мол). Бундай алсорбланган газ қатламини бошқа газ билан алмаштириш мумкин. Бу — алмашинув адсорбцияси ҳодисаси. Бунда ўринли кўни; газнинг қайнаш нуқтаси қанча юқори бўлса, у газ осон адсорбланаади, яъни у осон суюқликка айланади. Алсорбция жараёни адсорбент ва адсорбат орасида адсорбцион мувозанат ўрнашганда шушишади. Мувозанатнинг умумий шарти — иккага фазанинг кимёвий потенциали (ферми сатҳлари) тенглигидир. Бу мувозанатда бирор вақтда сиртга қанча атом (молекула) алсорбланса, шунчалик сиртдан кеташи, сиртни газ зарралари билан тўлдириш даражаси N_s ўзгармас бўлиб қолади. N_s температура ва босимга бўлиб. Агар босим ўзгармас бўлса, $N_s(T)$ адсорбция изобараси, $T = \text{const}$ бўлса, адсорбция изотермасини ифодалайди. Албатта, температура кўғарилганда тўлдириш даражаси пасаяди, чунки бунда атомларнинг сиртдан кетиши (лесорбция) кўпкайди, бу эса адсорбцияни сусайтиради.

Хемосорбциянинг моҳияти шундаки, кимёвий табиатли кўчлар таъсири ҳолатида алсорбланган атомлар ва кристаллининг сиртидаги атомлар орасида кимёвий реакция юз беради, бирикмалар ҳосил бўлади. Хемосорбцияда адсорбент ва адсорбат орасида электронлар алмашиниши бош ўрин эгаллайди.



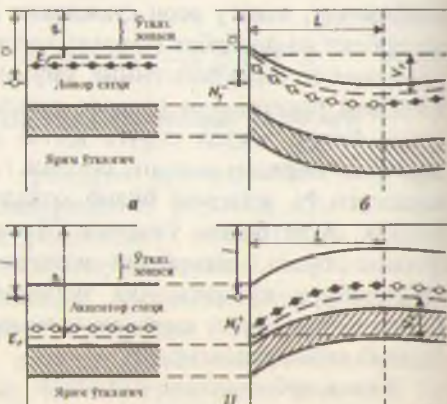
8.5-чизма. Металда катион ва анион хемосорбция; э.с. ва б.с.
—эгалланган ва буш сатҳлар;
А-адсорбат, М-металл.

Металларда хемосорбцияни қарайлык. 8.5- чизмада металл газ ва металл – адсорбат чегарасининг икки томонида электрон энергиялари спектри кўрсатилган. Бир ҳолда (8.5,а- чизма) адсорбатнинг эгалланган энг юқори энергия сатҳи металлнинг Ферми сатҳидан юқорида жойлашган. Бу ҳолда электрон атомдан металлга ўтади, унинг ўзи мусбат ионга айланади. Аксинча, агар адсорбентнинг юқориги сатҳи эгалланмаган бўлса ва у металлнинг ферми сатҳидан пастда бўлса, электрон металдан атомга ўтиб уни манфий зарядлайди.

Чегаранинг икки томонида қўш электр қатлам ҳосил бўлали, оқибатда биринчи ҳолда металлдан чиқиш иши камайди, иккинчи ҳолда $\Delta\chi=4\pi e N_s M$ катталик қадар ортади, бундаги N_s - сиртнинг бирлик юзида эгалланган жойлар сони, M - адсорбланган зарранинг дипол моменти.

Металларда хемосорбция ҳодисасига оид қурилган модел ярим ўтказгичлардаги хемосорбцияга ҳам тұла құлланилади. Фарқ шундаки, металлга нисбатан ярим ўтказгичларда Ферми сатҳи бошқача жойлашган, ярим ўтказгичда n ва p – тур ўтказувчанлик мавжуд бўлади. 8.6- чизманинг юқориги (1) қисмida n – тур ярим ўтказгич сиртида мавжуд бўлган ҳол тасвирланган.

Ярим ўтказгичдаги мұайян қатламдаги ўтказувчанлик электронлари адсорбат атомларига ўтади, уларни манфий зарядлайди. Бу чегарада электронлар учун ϕ потенциал түсиқ ҳосил бўлади, бунда адсорбатдаги электронларнинг потенциал энергияси ярим ўтказгичдаги билан янни ферми сатҳи билан тенглашади. Чегаравий қатламда ўтказувчанлик электронлари камайиб кетган, қатламнинг электронлари II-п-я.уда анион адсорбция, II-р-я.уда катион адсорбция, а ва б- хемосорбциягача ва ундан кейин.



8.6- чизма. Адсорбция тизмалари:

I-п-я.уда анион адсорбция,

II-р-я.уда катион адсорбция, а ва б- хемосорбциягача ва ундан кейин.

адсорбат мавжуд бўлган золда антибекитувчи (антиберкитувчи) қатлам ҳосил бўлиши тасвирланган.

Фан ва техниканинг қаттиқ жисмлар билан боғлиқ соҳалири учун суюқ эритмалар билан туашган кристалл сиртидаги адсорбцион эффектлар муҳим бўлади.

Эритмадан кристалл сиртига адсорбцияланган сиртийларни моддалар (С.А.М) дейилади.

8.6. Сиртий диффузия

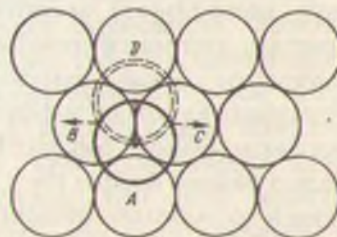
Симоб кристаллари ўсишини кузатиш мақсадида уни юқори вакуумда кучли даражада совутилган қаттиқ жисм сиртига буглантириб ўтказилган. Ҳосил бўлган кристаллар пластинкасимон шаклга эга бўлган. Бу кристаллар қалинлик бўйича ўсишга нисбатан кенглик бўйича юз метрча тезроқ ўстай. Ушбу натижани фақат симоб атомларининг пластинкаларни текислиги бўйича юқори суръатда диффузияланиши сабаби билан тушинтириши мумкин эди.

Сиртий диффузия D_s коэффициентини кўчаётган нуқсоннинг (вакансиянинг, адсорбланган атомнинг) диффузия D_d коэффициентининг уларнинг мувазанатий N_d зичлигига кўпайтмаси кўринишида ифодалаш мумкин:

$$D_s = N_d D_d = \frac{N_a}{2} p v_d \Delta^2 \exp[-(U_d' + U_d'')/(kT)] \quad (8.16)$$

Бу ифодада p - нуқсоннинг сакрашлар сони, Δ - сакрашлар узунлиги, v_d - нуқсоннинг сирти табриниш такрорийлиги, U_d' ва U_d'' - нуқсоннинг ҳосил бўйини ва кўчиши энергиялари.

Мисол тариқасида 8.7- чизмада ёқий марказлашган куб (бим) куб панжарали кристалнинг атомлари шарлар кўринишида тасвирланган, улар орасида адсорбланган атом (адатом) ажратиб кўрсатилиган. Адатомнинг ҳар



8.7- чизма. Ёқий марказланган куб панжарали кристалда адатомли (111) текислик

бир құшни билан кимёвий бөгланиш энергиясини E орқали белгилаймиз. У атомнинг уч яқын құшниси бор. Чизмада улар А, В, С атомлар. Адатом юқорига күчиши билан уннинг энг яқын құшнилари иккита – В ва С атомлар бўлиб қолади. Олдинги ҳолатни мувазанатий ҳолат десак, кейинги ҳолатни фаолланиш (активланиш) ҳолати деб айтамиз. Ўз-ўзидан кўриниадики, фаолланиши учун $U_{ad} = 3E - 2E = E$ энергия талаб этилади. Лекин, фаолланиш ҳолатидаги адатомга узоқроқдаги құшнилар А ва D атомлар ҳам таъсир қилади. Бу таъсир энергияси $2E$ деб белгиланса, энли фаолланиш энергияси

$$U_{ad} = 3E - (2E + 2E') = E - 2E' \quad (8.17)$$

кўринишда ифодаланади. Аниқ ҳисоблар $U_{ad} \approx E/3 = H_s/20$ қийматни беради, бунда H_s – сублимация (қаттиқ жисм сиртидан буғланиш) иссиқлиги.

Cu, Ni, Ag, Au учун H_s мос равиша 73.3; 114; 82; 60 ккал/мол унча катта бўлмаган қийматларга эга, бундан қаралаётган ё.м.к панжара сиртида адатомлар жуда ҳаракатчан. Ҳаракатлантирувчи куч, масалан, температура градиенти бўлганда улар сирт бўйлаб шарчалардан думалаб боради.

Бошқа кристаллографик (001) ва (011) текисликларда (сиртларда) адатом билан сирт атомлари орасидаги тўрт ва беш бөгланишни узиш зарур. Бу ҳолларда диффузияни фаоллаш энергияси каттароқ ва юқоридаги механизм устун бўлмаслиги мумкин.

Ёт, киришма атомларнинг сирт бўйича диффузияланиши учун адсорбланиш энергияси катта бўлган ҳолда адатомнинг кристалл сиртидаги атомлар билан бөгланиши шунаقا каттаки, юқоридаги «шар думалаш» механизми бутунлай мумкин бўлмайди. Бу ҳолда диффузия «ёзилувчи гилам» деб аталадиган механизм бўйича боради. Бунда киришма сирт бўйича қаттиқ фазада ёйилиб борали (бу 8.3 бандда кўрган суюқликнинг ёйилиб оқиши ҳолидагидек бўлали). Оқибат натижасида сирт моноатомли киришмавий қатлам билан қопланиб қолади.

Ҳарорат ортган сайин адсорбланиш энергияси камайиб боради, киришма адатомининг кристалл сиртидаги атомлар билан бөгланиши энергияси камаяди ва сиртий диффузиянинг

Бонн механизми яна ўша «шар думалаш» механизми булиб олиши мүмкін.

Адсорбланган пардалар биринчи навбатда күчли даражада сирт хоссаларини ўзгартыради, бәзі ҳолларда ұтто қалинроқ сирт яқинидаги қатламларга ҳам таъсир құрсатади. Адсорбланган пардалар ишқаланиш күчларига таъсир қиласы. Ишқаланишни тавсифлайдын коэффициент ҳамма вақт ишқаланувчи муайян икки сирт жуфтига ва уларнинг муайян қозғиттегігина тааллуклы бұлади. Ишқаланиш коэффициенти ишқаланиш күчининг тик равишдаги юкка нисбатига тенгdir.

Одатда адсорбланган пардалар ишқаланиш коэффициенти ишқаланишни камайтиради ва қаттық жисмларнинг ўзаро сирпанишига өрлемлашади. Маңымкі, ишқаланишни камайтириш учун түрлі мойлар ишлатилади. Икки хил мойлар мавжуд: гидродинамик ва чегаравий мойлар. Гидродинамик мойлар қалин суртилиб икки металл сиртларини бир-бирига тегиштирмайды. Чегаравий мойлар, аксинча, жуда юпқа ва мономолекуляр, ұтто монаатомлы қатламлардан иборат бұлади. Бундай пардалар металл қисмлар орасидаги тутинишини камайтиради ва бу қисмларнинг бевосита тегишишига имкон бермайды.

Адсорбция қаттық жисмларнинг мустақамлик хоссаларига мұхим даражада таъсир қиласы. Масалан, қаттық жисмни параллеланды ұллашыту ишни осонлаштиради. Бундай адсорбция мустақамликни камайтириши күриниб турибди. Кристаллар деформацияланишининг сирттік актив моддалар (С.А.М.) адсорбланиши оқибатида осонланиши ҳодисасини Ребиндер зеффекті дейилади. Сирттік диффузия туфайли микродарзлар тәсіл С.А.М. молекулаларидан иборат суюқлик билан тұлади. Суюқликсız фазалараро энергия γ_x кристалл-хаво чегарасыда аниқланади, суюқлик борлигіда γ_c кристалл-суюқлик чегарасыда аниқланади. Агар $\gamma_c < \gamma_x$ болса, бу ҳолда кристалл деформацияланида янғын сиртлар ҳосил бўлишишига яъни жисмнинг булишишига сарфланадиган энергия кам талаб қилинади.

Адсорбланган суюқлик дарз ичига кирганды у жойда $p_s = \gamma_x - \gamma_c$ жетасындағы сиргій босим вужудига келади. У кристалл ичкариси-та пуналып та дарзни узунлайды.

Баъзи металлар С.А.М. вазифасини бажаради. Масалан, симоб пардаси билан қопланган рух пластиинкаси мұрт бўлиб қолади. Темир сим сиртига ўтказилган қалайи пардаси ҳам худди ўшандай таъсир кўрсатади.

Бу айтилган эфектга қарама-қарши эфект ҳам маълум-турли пардалар билан қопланган қаттиқ жисмларнинг мустаҳкамлиги ортиши ҳам кузатилади (Роско эфекти). Бунинг сабаби шуки, сиртий парда жисмнинг ҳажмидан дислокацияларнинг унинг сиртига чиқишини түсади. Шунинг учун дислокациялар қоплами остида тўпланади ва бу кристалл мустаҳкамлигини оширишга олиб келади.

Назорат учун саволлар

1. Сиртий сатҳлар табиатини тушинтиринг.
2. Қандай сиртий ҳолатларни тезкор ва секинкор ҳолатлар дейилади?
3. Сиртий таранглик тушунчаси таърифини беринг.
4. Сиртий эфектларнинг асосий кўринишларини баён қилинг.
5. Электронларнинг чиқиш иши нима?
6. Сиртий ионлашиш нима?
7. Адсорбент ва адсорбат деб қандай моддаларга айтилади?
8. Физик адсорбция нимадан иборат?
9. Хемисорбция нима?
10. Металл суюқ эритма чегараси яқинидаги кўш электрик қатлам пайдо бўлишини тушинтиринг.
11. Сиртий диффузия механизmlарини тавсифланг.
12. Ребиндер эфекти нима?
13. Роско эфекти нима?

Масалалар

1. N_A Авогадро сони қийматини қўйиб, а ни $3 \cdot 10^{-8}$ см деб ҳисоблаб (8.2) - (8.5) ифодалар асосида ионлар панжараси энергияси $U_{пан}$ ни аникланг.

2. Металл кристалли учун (8.9) ифода бўйича панжара ишергиясини топинг. $\alpha_m = 1.75$, $a_0 = 5 \cdot 10^{-8}$ см, $n=3$.

3. $A = 120 \cdot 10^4$ ампер/м²к², $T=1000$ К, $\chi=5$ эВ бўлганида (8.10) ифода бўйича термоэлектрон тўйиниш токи зичлигини аниқланг.

4. (8.15) ифода бўйича ионлашиш даражасини топинг.

$$eU_s = 9\text{эВ}, \quad \chi = 8\text{эВ}, \quad g_I/g_a = 1/2$$

5. (8.17) ифодадан $E' = \frac{1}{3}E$ ва $E = 3\text{эВ}$ бўлганида адатомнинг фаолланиш энргиясини аниқланг.

6. Юнг $\cos\theta = (\sigma_k - \sigma_{kc})/\sigma_c$ тенгламасидан фойдаланиб, қачон суюқлик қаттиқ жисмни ҳўлловчи, қачон ҳўлламайдиган сулишини таҳлил қилинг.

IX БОБ

ҚАТТИҚ ЖИСМЛАР ДЕФОРМАЦИЯСИ

Ушбу бобла қаттиқ жисмларнинг деформацияланиш қонуниятларини күриб чиқамиз. Бунда қаттиқ жисмни узлуксиз мұхит деб қараймиз. Қаттиқ жисмни чексиз кичик зарраси деб, атом ёки молекулалар сони етарлича күп бұлған узлуксиз кичик бұлаги назарда тутилади. Ташқи күчлар йүқлигіда қаттиқ жисм зарралари мувозанат вазиятларда туради.

Зарраларнинг ушбу вазиятларини жисм билан маҳкам bogланган саңоқ системаси бошидан үтказилған радиус-вектор r орқали аниқлаймиз. Ташқи күчлар таъсирида қаттиқ жисмни ташкил қылған зарралар вазиятлари, қаттиқ жисмнинг ҳажми, шакли үзгаради, яғни қаттиқ жисм деформацияланади. Зарраларнинг мувозанат вазиятларидан силжишини \bar{u} вектор билан ифодалаймиз. Бу вектор силжиш вектори деб аталади. Деформацияланған жисмдаги зарра вазияти $\bar{r} + \bar{u}$ вектори билан аниқланади. Силжиш векторининг координата \bar{u} үқларидаги ташкил этувчиларини мос ҳолда u_x, u_y, u_z билан белгилаймиз. Ушбу катталиклар умумий ҳолда зарранинг координаталарига ва вақтига bogлиқ бұлади, яғни:

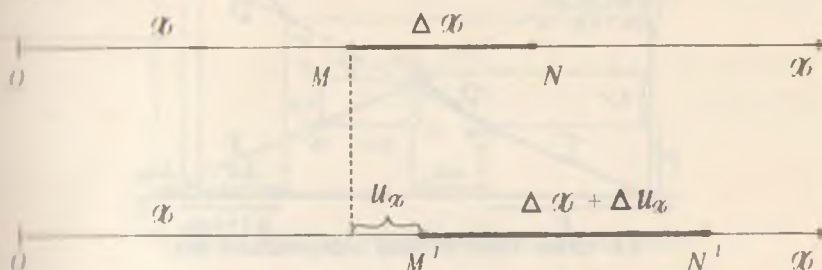
$$u_r = u_r(x, y, z, t), u_\theta = u_\theta(x, y, z, t), u_z = u_z(x, y, z, t).$$

Деформацияланған ҳолатни тұлиқ тавсифлаш учун силжиш вектори \bar{u} ни координаталар (x, y, z) нинг функциясы күрнисінде ифолалаш зарур. Түшүниш осон бўлиши учун биз бу масалани аввал бир ўлчовли, кейин икки ва уч ўлчовли деформациялар билан күриб чиқамиз.

9.1. Бир ўлчовли деформация

Деформация x йұналишда юз берәтган бўлсин.

Деформацияланган жисмдә Δx оралиқни танлаб оламиз, (9.1-чизма).



9.1- чизма. Бир ўлчовли деформацияга оид.

Деформацияланғандан сўнг М нүкта \bar{u} масофага силжийди, М' вазиятга күчади ва унинг координатаси $x+u_x$ га тенг бўлди. Биз танлаган Δx кесма эса Δu_x қадар узунлашади. $|MN|$ кесманинг деформацияси деганда биз Δu_x нинг Δx га нисбатини, ишни $\Delta u_x / \Delta x$ ни тушунамиз. М нүктадаги деформация эса

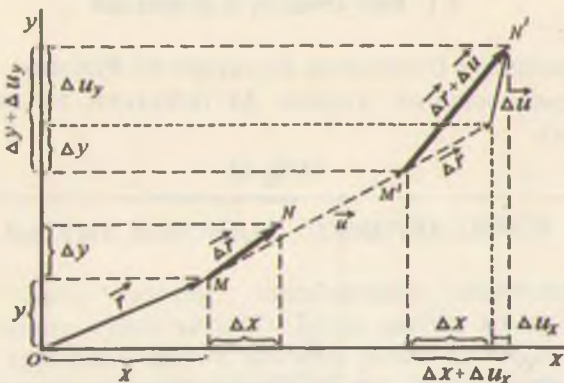
$$\varepsilon = \lim_{\Delta x \rightarrow 0} \frac{\Delta u_x}{\Delta x} = \frac{du_x}{dx} \quad (9.1)$$

ифодда билан аниқланади. Умумий ҳолда ε катталик координаталарда шактга боғлиқ бўлади: $\varepsilon = \varepsilon(x, t)$. Агар $\varepsilon = \text{const}$ бўлса, бундай деформацияни бир жинсли деформация деб аталади.

9.2. Икки ўлчовли деформация

Энди x текисликдаги \bar{r} кесманинг деформацияланниши-иң куриб чиқамиз (9.2- чизма).

Координаталари (x, y) ва радиус-вектори \bar{r} бўлган М нүкта деформациядан сўнг М' нүктага күчади. М' нүктанинг радиус вектори $\bar{r} + \bar{u}$ га тенг бўлади. N нүкта, мос ҳолда, N' нүктага күчади. Биз танлаб олган кесма деформациядан сўнг текисликда маълум бир масофага силжийди ва Δu га чўзилади.



9.2- чизма. Икки үлчовли деформацияга оид.

$\Delta u_x/\Delta x$ ва $\Delta u_y/\Delta y$ катталиклар $\Delta \tilde{r}$ кесманинг x ва y ўқларидаги проекцияларининг чўзилишини белгилайди. Аммо, бу катталиклар икки үлчовли деформацияни тўлиқ ифодалай олмайди, чунки чизмадан кўриниб турибдики, кесма чўзилишдан ташқари, яна маълум бир бурчакка бурилади.

Кесманинг бурилишини ифодалаш учун $\Delta \tilde{r}$ кесмага тенг катетлари Δx ва Δy бўлган тўғри тўртбурчакнинг деформацияланишини кўриб чиқамиз (9.3- чизма).

Чизмадан кўриниб турибдики, $M'A'$ кесманинг бурилиш бурчаги тангенси $\operatorname{tg} \varphi_{yx} = \frac{\Delta u_y}{\Delta x + \Delta u_x}$, шунингдек $M'B'$ кесманинг

бурилиш бурчаги $\operatorname{tg} \varphi_{xy} = \frac{\Delta u_x}{\Delta y + \Delta u_y}$ бўлади. Биз кичик деформа-

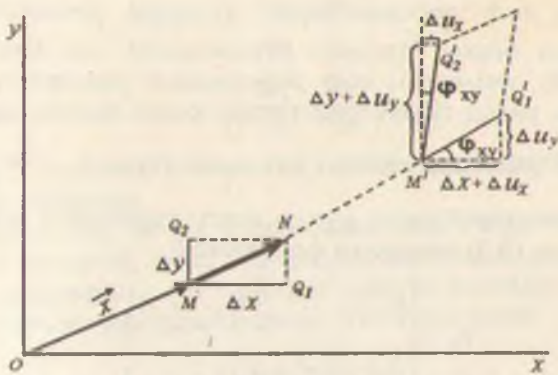
циялар билан чегараланамиз, шунинг учун $\Delta u_x/\Delta u_y$ лар Δx ва Δy ларга нисбатан анча кичик бўлади. Δx ва Δy лар нолга интилганда (бунда маҳражларда $\Delta u_x=0$, $\Delta u_y=0$)

$$\operatorname{tg} \varphi_{yx} = \varphi_{yx} = \frac{\partial u_y}{\partial x} = \varepsilon'_{yx}, \quad \operatorname{tg} \varphi_{xy} = \varphi_{xy} = \frac{\partial u_x}{\partial y} = \varepsilon'_{xy}$$

бўлади.

Ушбу кесманинг чўзилиши эса,

$$\varepsilon_{xx} = \frac{\partial u_x}{\partial x}, \quad \varepsilon_{yy} = \frac{\partial u_y}{\partial y}$$



9.3- чизма. Бурилиш деформациясини ҳисобга олиш.

күттегиликлар билан ифодаланади. Юқорида келтирилган ифолилардан фойдаланиб, $\Delta \bar{u}$ нинг ташкил этиувчиларини қылыштырғыча ёзиге олишимиз мумкин:

$$\left. \begin{aligned} \Delta u_x &= \frac{\partial u_x}{\partial x} \Delta x + \frac{\partial u_x}{\partial y} \Delta y = \varepsilon_{xx} \Delta x + \varepsilon'_{xy} \Delta y \\ \Delta u_y &= \frac{\partial u_y}{\partial x} \Delta x + \frac{\partial u_y}{\partial y} \Delta y = \varepsilon'_{yx} \Delta x + \varepsilon_{yy} \Delta y. \end{aligned} \right\} \quad (9.2)$$

Одлугда деформация коэффициентини белгилашда x , y , z үршити мос ҳолда 1, 2, 3 рақамлари ишлатилади, яйни: $\varepsilon_{xx} = \varepsilon_{11}$, $\varepsilon_{yy} = \varepsilon_{12}$, $\varepsilon_{xy} = \varepsilon_{21}$. Шундай қилиб, ε_{ik} катталиклар $\Delta \bar{u}$ вектори би-тап $\Delta \bar{u}$ векторини боғловчи иккинчи ранг тензор ҳосил қыллади:

$$\varepsilon'_{ik} = \begin{bmatrix} \varepsilon_{11} & \varepsilon'_{12} \\ \varepsilon'_{21} & \varepsilon_{22} \end{bmatrix} \quad (9.3)$$

Бу ифодадаги $\varepsilon'_{12} = \varphi_{xy}$, $\varepsilon'_{21} = \varphi_{yx}$ катталиклар жисмнинг өзгөчесин деформациясини аниқлади. Ундан ташқари, бу катталиклар жисмнинг бурилишини ҳам ўз ичига олади. Агар фиксде деформация натижасида ўлчамларини ўзгартирмасдан фиксде майлыум бир бурчакка бурилса, у ҳолда деформация тензори $\varepsilon'_d = \begin{bmatrix} 0 - \varphi \\ \varphi 0 \end{bmatrix}$ күринишда бўлади. Демак, умумий ҳолда

ε'_k тензори соф деформациядан ташқари жисмнинг ҳамма қисмларини бирор бурчакка бурилишини ҳам ҳисобга олар экан. Ушбу тензордан соф деформация тензорини ажратиб олиш учун ундан симметрик тензор ҳосил қилиш зарур. Бундай тензор ҳосил қилишнинг энг содда усули $\varepsilon_{ik} = \frac{\varepsilon'_{ik} + \varepsilon'_{ki}}{2}$,

Күриниб турибдики, $\varepsilon_{ik} = \varepsilon_{ki}$ шарт юқоридаги ифода учун бажарилади. (9.3) ифодадан фойдаланиб,

$$\varepsilon_{ik} = \begin{bmatrix} \varepsilon_{11} & \frac{1}{2}(\varepsilon'_{12} + \varepsilon'_{21}) \\ \frac{1}{2}(\varepsilon'_{21} + \varepsilon'_{12}) & \varepsilon_{22} \end{bmatrix} \quad (9.4)$$

ҳосил қиласиз. Бу ифодада $\frac{1}{2}(\varepsilon'_{21} + \varepsilon'_{12}) = \varepsilon_{12} = \varepsilon_{21} = \frac{1}{2}\varphi_{12}$, яъни

тўлиқ силжиш бурчагининг ярмига тенг. Ушбу (9.4) ифода билан аниқланган иккинчи рангли симметрик тензор деформация тензори дейилади.

9.3. Уч ўлчовли деформация

Уч ўлчовли жисм учун юқоридаги амалларни тақорлаб, уч ўлчовли параллелепипед деформациясини кўриб ўтиш мумкин. Унда бизга яна бир ташкилловчи $\frac{du_z}{dz} = \varepsilon_{33}$ қўшилади ва мос ҳолда силжишларни ифодаловчи ташкилловчи пайдо бўлади. Бу ҳолда деформация тензори

$$\varepsilon_{ik} = \begin{bmatrix} \varepsilon_{11} \varepsilon_{12} \varepsilon_{13} \\ \varepsilon_{21} \varepsilon_{22} \varepsilon_{23} \\ \varepsilon_{31} \varepsilon_{32} \varepsilon_{33} \end{bmatrix} \quad (9.5)$$

кўринишда ёзилади. Бу ерда $\varepsilon_{11}, \varepsilon_{22}, \varepsilon_{33}$, мос ҳолда x, y, z ўқлар бўйича жисмнинг чўзилиши (ёки сиқилиши).

$$\varepsilon_{12} = \varepsilon_{21} = \frac{1}{2} \left(\frac{\partial u_x}{\partial y} + \frac{\partial u_y}{\partial x} \right) = \frac{1}{2} \varphi_{12},$$

$$\varepsilon_{11} = \varepsilon_{22} = \frac{1}{2} \left(\frac{\partial u_x}{\partial z} + \frac{\partial u_z}{\partial y} \right) = \frac{1}{2} \varphi_{23}, \quad (9.6)$$

$$\varepsilon_{13} = \varepsilon_{31} = \frac{1}{2} \left(\frac{\partial u_y}{\partial z} + \frac{\partial u_z}{\partial x} \right) = \frac{1}{2} \varphi_{13}$$

лар эса xz , yz ва xz текисликлар бўйича жисмнинг силжиш бурчаклари ярмидир.

Шундай қилиб, кичик деформацияларда координаталари x , y , z бўлган бирор M нуқта атрофидаги жисмнинг деформацияларини деформация тензорининг олтига мустақил ташкил юничили билан ифодаланаар экан. Ушбу тензорни

$$\varepsilon_{ik} = \frac{1}{2} \left(\frac{\partial u_i}{\partial x_k} + \frac{\partial u_k}{\partial x_i} \right) \quad (9.7)$$

кўринишда ҳам ёзиш мумкин, бунда ik лар 1, 2, 3 қийматларни олади. Деформация тензорини симметрияга эгалиги уни содда, яъни бир индексли кўринишда ёзишга ҳам имкон беради:

$$(\varepsilon_{ik} \rightarrow E_n, n=1,2,\dots,6)$$

$$\varepsilon'_{ik} = \begin{bmatrix} \varepsilon_{11} & \varepsilon_{12} & \varepsilon_{13} \\ \vdots & \varepsilon_{22} & \varepsilon_{23} \\ \vdots & \vdots & \varepsilon_{33} \end{bmatrix}; \quad \varepsilon_n = \begin{bmatrix} \varepsilon_1 & \varepsilon_6 & \varepsilon_5 \\ \vdots & \varepsilon_2 & \varepsilon_4 \\ \vdots & \vdots & \varepsilon_3 \end{bmatrix}.$$

Кичик бўлмаган ихтиёрий деформациялар учун деформация тензорининг аниқ ифодаси

$$\varepsilon_{ik} = \frac{1}{2} \left(\frac{\partial u_i}{\partial x_k} + \frac{\partial u_k}{\partial x_i} + \frac{\partial u_l}{\partial x_i} \frac{\partial u_l}{\partial x_k} \right) \quad (9.8)$$

кўринишда ёзилади. Кичик деформацияларда ушбу ифодани (9.7) ифода билан алмаштириш мумкин.

9.4. Кучланиш тензори

Деформацияланмаган жисмнинг ҳамма қисмлари бир-бири билан механик мувозанат ҳолатида бўлади. Жисм деформацияланганда у мувозанат ҳолатидан чиқади. Натижада унга мувозанат ҳолатига интигувчи кучлар таъсир қиласди. Жисмда бирор деформацияланган бўлакни танлаб оламиз. Бўлакка, ал-

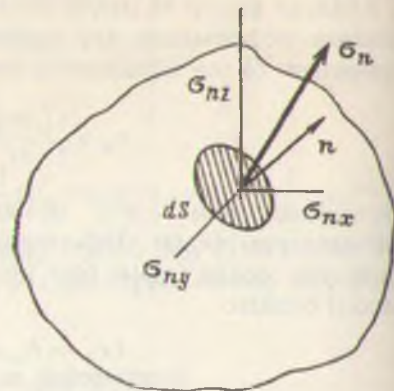
батта, таъсир қилувчи ички кучлар пайдо бўлади. Бу кучлар танланган бўлакнинг юзаси орқали таъсир қиласи. Ушбу бўлимда фақат юза бўйлаб таъсир қилувчи кучларни кўриб чиқамиз. Ҳажмий кучларни (масалан, оғирлик кучи) ҳисобга олинмайди. Таъсир қилаётган кучнинг шу сирт юзасига нисбати механик кучланиш деб аталади. Деформацияланган жисмнинг ихтиёрий ҳажми сиртида элементар юза ажратиб оламиз (9.4- чизма). Ушбу юзага ташқи бирлик нормал \vec{n} векторни ўтказамиз. Умумий ҳолда кучланиш вектори нормал вектор билан бир хил йўналмаган бўлиши мумкин. Агар кучланиш вектори \vec{n} нормал вектор билан ўткир бурчак ҳосил қиласа (жисмни чўзувчи кучланиш) бундай кучланиш йўналиши мусбат деб қабул қилинган.

Кучланиш вектори $\vec{\sigma}_n$ ни ўзаро ортогонал учта ташкил этувчи $\vec{\sigma}_1, \vec{\sigma}_2, \vec{\sigma}_3$, векторларга ажратиш мумкин. Ўз навбатида ҳар бир ташкил этувчиларнинг координаталар ўқида учта проекциялари мавжуд. Натижада тўққизта катталик ҳосил бўлади. Бу катталиклар кучланиш тензорини ташкил қиласи:

$$\sigma_n = \begin{bmatrix} \sigma_{11} & \sigma_{12} & \sigma_{13} \\ \sigma_{21} & \sigma_{22} & \sigma_{23} \\ \sigma_{31} & \sigma_{32} & \sigma_{33} \end{bmatrix}. \quad (9.9)$$

Кучланиш тензори ҳам симметрик тензор бўлганилиги туфайли уни олтида мустақил катталикка келтириб олишимиз мумкин:

$$\sigma_n = \begin{bmatrix} \sigma_1\sigma_2\sigma_3 \\ \dots \sigma_2\sigma_1 \\ \dots \sigma_3 \end{bmatrix}. \quad (9.10)$$



9.4- чизма. Кучланиш тензорига оид.

Унібу тензор симметрияси уни диагонал ұолатта көлтиришті ҳам имкон беради. Бу ҳолда барча силжима күчланишлар нүқолиб фақат диагонал ташкилловчилар қолади:

$$\sigma_{ii} = \begin{bmatrix} \sigma_{11} & 0 & 0 \\ 0 & \sigma_{22} & 0 \\ 0 & 0 & \sigma_{33} \end{bmatrix}. \quad (9.11)$$

(9.9) ва (9.10) ифодалар бирор нүкта атрофидаги механик күчланишни ифодалайды. Агар бир нүктадан иккінчи нүктеге үтгендә ва вақт үтиши билан күчланиш ўзгармаса, бундай күчланиш статик күчланиш деб аталади. Лекин умумий, динамик қолда күчланиш вақтнинг ва координаталарнинг функциясынан.

9.5. Деформация билан механик күчланиш орасидаги боғланиш. Умумлашган Гук қонуни. Эластиклик модуллари

Деформация ва күчланишни биз алоқида күриб чиқдик, жекин, бу иккі катталик бир-бирига доим боғлиқдир. Бирор нүкта атрофидан күчланиш ҳосил қилинса, бу ерда жисм албатта, мағылум даражада деформацияланади ва деформацияланған жисмде (эластик жисм назарда тутиляпты) күчланиш ҳосил болуди. Шундай экан, ушбу катталиктар орасида боғланиш минжүйл бўлиб, кичик деформациялар учун бу боғланишни умумланишган Гук қонуни деб аталади ва қуйидагича ёзилади:

$$\left. \begin{aligned} \sigma_1 &= c_{11}\varepsilon_1 + c_{12}\varepsilon_2 + c_{13}\varepsilon_3 + c_{14}\varepsilon_4 + c_{15}\varepsilon_5 + c_{16}\varepsilon_6 \\ \sigma_2 &= c_{21}\varepsilon_1 + c_{22}\varepsilon_2 + c_{23}\varepsilon_3 + c_{24}\varepsilon_4 + c_{25}\varepsilon_5 + c_{26}\varepsilon_6 \\ \sigma_3 &= c_{31}\varepsilon_1 + c_{32}\varepsilon_2 + c_{33}\varepsilon_3 + c_{34}\varepsilon_4 + c_{35}\varepsilon_5 + c_{36}\varepsilon_6 \\ \sigma_4 &= c_{41}\varepsilon_1 + c_{42}\varepsilon_2 + c_{43}\varepsilon_3 + c_{44}\varepsilon_4 + c_{45}\varepsilon_5 + c_{46}\varepsilon_6 \\ \sigma_5 &= c_{51}\varepsilon_1 + c_{52}\varepsilon_2 + c_{53}\varepsilon_3 + c_{54}\varepsilon_4 + c_{55}\varepsilon_5 + c_{56}\varepsilon_6 \\ \sigma_6 &= c_{61}\varepsilon_1 + c_{62}\varepsilon_2 + c_{63}\varepsilon_3 + c_{64}\varepsilon_4 + c_{65}\varepsilon_5 + c_{66}\varepsilon_6 \end{aligned} \right\} \quad (9.12)$$

Унібу ифодани қисқача матрица күринишінде ёзиш ҳам мүмкін:

$$\sigma_{ii} = c_{iijj}\varepsilon_{ii}, \quad (9.13)$$

бу ерда $n,m=1,2,3,4,5,6$. Тензор күринишида ёзиш учун эса иккита индекс сақланиши керак:

$$\sigma_{ikl} = c_{ikl} \epsilon_l \quad (9.14)$$

(9.13) ифодадаги c_{ikl} коэффициентлар чизиқий эластиклик модуллари деб агалади. Ушбу тензор ҳам симметрияга эга, шунинг учун унинг 36 та ташкилловчисидан 21 та мустақил компонентага келтиришимиз мүмкін. Эластиклик модули матрица күринишида күйидагича ёзилади:

$$c_{sym} = \begin{vmatrix} c_{11} & c_{21} & c_{31} & c_{41} & c_{51} & c_{61} \\ c_{21} & c_{22} & c_{32} & c_{42} & c_{52} & c_{62} \\ c_{31} & c_{32} & c_{33} & c_{43} & c_{53} & c_{63} \\ c_{41} & c_{42} & c_{34} & c_{44} & c_{54} & c_{64} \\ c_{51} & c_{52} & c_{35} & c_{45} & c_{55} & c_{65} \\ c_{61} & c_{62} & c_{36} & c_{46} & c_{56} & c_{66} \end{vmatrix} \quad (9.15)$$

Бундай күринишида тензор ҳеч қандай симметрияга эга бўлмаган мұхитнинг эластиклигини характерлайди. Кристалларда симметриянинг мавжудлиги мустақил модуллар сонини намойишига олиб келади. 9.1-жадвалда турли кристалл турұлдардың учун мустақил эластиклик модуллары келтирилген. Бунда, албатта, координаталар ўқи кристаллографик ўқларига нисбатан маълум бир танланған йўналишда йўналтирилган деб олинади.

9.1-жадвал

№	Кристалл сингонияси	Симметрия гурӯхи	Мустақил модуллар сони	Эластиклик модули матрицаси	Кристалл номи (мисол)
I	II	III	IV	V	VI
1	Триклин	C ₁ , S ₂	21	$c_{11} c_{12} c_{13} c_{14} c_{15} c_{16}$ $c_{22} c_{23} c_{24} c_{25}$ c_{26} c_{33} $c_{34} c_{35} c_{36}$ $c_{44} c_{45} c_{46}$ $c_{55} c_{56}$ c_{66}	Мис. купороси

9. I- жадвалнинг давоми

II	III	IV	V	VI
Моноклин	C_2, C_{2h} c_6	13	$c_{11} c_{12} c_{13}$ 0 c_{16} c_{22} $c_{23} 0 0 c_{26}$ $c_{33} 0 0 c_{36}$ $c_{44} c_{45} 0$ $c_{55} 0$	0 Гипс
Ромбик	D_2KV $C_{2v}KD_{2h}$	9	$c_{11} c_{12} c_{13}$ 0 0 c_{22} $c_{23} 0 0 0$ $c_{33} 0 0 0$ $c_{44} 0 0$ $c_{55} 0$ c_{66}	Сегнет тузи
Тетрагонал	C_4, C_{4h} C_4v	7	$c_{11} c_{12} c_{13}$ 0 c_{16} $c_{13} 0 0 -c_{16}$ $c_{33} 0 0 0$ $c_{44} 0 0$ $c_{55} 0$ c_{66}	Шеслит
-I F-	S_4 , D_{2d} , D_4 , D_{4h}	6	$c_{11} c_{12} c_{13}$ 0 0 0 c_{11} $c_{13} 0 0 0$ $c_{33} 0 0 0$ $c_{44} 0 0$ $c_{55} 0$ c_{66}	Аммоний Дигидро-фосфати
Тригонал	c_3 , c_{3i}	7	$c_{11} c_{12} c_{13} c_{14} -c_{25}$ 0 $c_{14} c_{25} 0$ $c_{33} 0 0 0$ $c_{44} 0 -c_{25}$ $c_{44} c_{14}$ $X(c_{11}-c_{12})$	Доломит
-I	D_3 , D_{3v} , D_{3d}	6	$c_{11} c_{12} c_{13} c_{14} 0$ 0 $c_{11} c_{13} -c_{14}$ 0 0 c_{33} $c_{44} c_{14}$ $X(c_{11}-c_{12})$	α -кварц, турмалин

бу ерда $n,m=1,2,3,4,5,6$. Тензор кўринишда ёзиш учун эса иккита индекс сақланиши керак:

$$\sigma_{ik} = c_{iklj} \epsilon_l \quad (9.14)$$

(9.13) ифодадаги c_{iklj} коэффициентлар чизиқий эластиклик модуллари деб аталади. Ушбу тензор ҳам симметрияга эга, шунинг учун унинг 36 та ташкилловчисидан 21 та мустақил компонентага келтиришимиз мумкин. Эластиклик модули матрица кўринишда қўйидагича ёзилади:

$$c_{sim} = \begin{vmatrix} c_{11} & c_{21} & c_{31} & c_{41} & c_{51} & c_{61} \\ c_{21} & c_{22} & c_{32} & c_{42} & c_{52} & c_{62} \\ c_{31} & c_{32} & c_{33} & c_{43} & c_{53} & c_{63} \\ c_{41} & c_{42} & c_{34} & c_{44} & c_{54} & c_{64} \\ c_{51} & c_{52} & c_{35} & c_{45} & c_{55} & c_{65} \\ c_{61} & c_{62} & c_{36} & c_{46} & c_{56} & c_{66} \end{vmatrix} \quad (9.15)$$

Бундай кўринишда тензор ҳеч қандай симметрияга эга бўлмаган муҳитнинг эластиклигини характерлайди. Кристалларда симметрияning мавжудлиги мустақил модуллар сонини намойишига олиб келади. 9.1-жадвалда турли кристалл гурӯҳлари учун мустақил эластиклик модуллари келтирилган. Бунда, албатта, координаталар ўқи кристаллографик ўқларига нисбатан маълум бир танланган йўналишда йўналтирилган деб олинади.

9.1-жадвал

№	Кристалл сингонияси	Симметрия гурӯҳи	Мустақил модуллар сони	Эластиклик модули матрицаси	Кристалл номи (мисол)
I	II	III	IV	V	VI
I	Триклин	C_1, S_2	21	$c_{11} \ c_{12} \ c_{13} \ c_{14} \ c_{15} \ c_{16}$ $c_{22} \ c_{23} \ c_{24} \ c_{25}$ c_{26} c_{33} $c_{34} \ c_{35} \ c_{36}$ $c_{44} \ c_{45} \ c_{46}$ $c_{55} \ c_{56}$ c_{66}	Мис. купороси

9. I- жадвалнинг давоми

II	III	IV	V	VI
Моноклин	C_2, C_{2h} c_6	13	$c_{11} c_{12} c_{13}$ 0 c_{16} c_{22} $c_{23} 0 0 c_{26}$ $c_{33} 0 0 c_{36}$ $c_{44} c_{45} 0$ $c_{55} 0$	0 Гипс
Ромбик	D_2KV $C_{2v}KD_{2h}$	9	$c_{11} c_{12} c_{13}$ 0 0 c_{22} $c_{23} 0 0 0$ $c_{33} 0 0 0$ $c_{44} 0 0$ $c_{55} 0$ c_{66}	0 Сегнет тузи
Тетрагонал	$C4, C4h$ $C4v$	7	$c_{11} c_{12} c_{13}$ 0 c_{16} $c_{13} 0 0 -c_{16}$ $c_{33} 0 0 0$ $c_{44} 0 0$ $c_{55} 0$ c_{66}	0 Шеслит
И-	$S_4, D_{2d},$ D_4, D_{4h}	6	$c_{11} c_{12} c_{13}$ 0 0 0 c_{11} $c_{13} 0 0 0$ $c_{33} 0 0 0$ $c_{44} 0 0$ $c_{55} 0$ c_{66}	Аммоний Дигидро- фосфати
Тригонал	C_3, C_{3h}	7	$c_{11} c_{12} c_{13} c_{14} -c_{25}$ 0 $c_{14} c_{25} 0$ $c_{33} 0 0 0$ $c_{44} 0 -c_{25}$ $c_{44} c_{14}$ $X(c_{11}-c_{12})$	Доломит
И-	$D_3, D_{3v},$ D_{3d}	6	$c_{11} c_{12} c_{13} c_{14} 0$ 0 $c_{11} c_{13} -c_{14}$ 0 0 c_{33} 0 0 0 $c_{44} c_{14}$ $X(c_{11}-c_{12})$	α -кварц, турмалин

9. I-жадвалнинг давоми

I	II	III	IV	V	VI
8	Гексагонал	C_{3h} , D_{3h} , C_6 , D_6 , C_{6v} , C_{6v} D_{6h}	5	c_{11} c_{12} c_{13} 0 0 0 c_{11} c_{13} 0 0 0 0 0 0 0 c_{44} 0 0 c_{44} 0 $X(c_{11} - c_{12})$	β-кварц, калийний сульфиди
9	Кубик	T , O , T_h , T_d , O_h	3	c_{11} c_{12} c_{13} 0 0 0 c_{11} c_{12} 0 0 0 c_{11} 0 0 0 c_{44} 0 0 c_{44} 0 c_{44}	Ишқорий галлоид кристаллар

9.6. Изотроп қаттиқ жисмнинг эластиклик модуллари

Изотроп мұхит учун эластиклик модуллари координаталар үқига боелиқ бўлмайди. Бу эса

$$c_{12} = c_{13} = c_{23}, \quad c_{44} = c_{55} = c_{66} = (c_{11} - c_{12})/2, \quad c_{11} = c_{22} = c_{33} \quad (9.16)$$

бўлишини таъминлайди. Демак, изотроп қаттиқ жисмларда фақат иккита мустақил эластиклик модуллари мавжуд экан:

$$\lambda = c_{12} = c_{13} = c_{23}, \quad \mu = c_{44} = c_{55} = c_{66} \text{ ва (9.16) га асосан,}$$

$$c_{11} = c_{22} = c_{33} = \lambda + 2\mu$$

Ушбу ифодалардаги λ ва μ катталикларни Ламэ доимийлари деб аталади. Изотроп қаттиқ жисм учун Гук қонуни қўйидагича ёзилади:

$$\sigma_{ik} = \lambda \theta \delta_{ik} + 2\mu \epsilon_{ik}. \quad (i,k=1,2,3) \quad (9.17)$$

Бу ерда $\theta = \epsilon_{11} + \epsilon_{22} + \epsilon_{33}$ — ҳажмий кенгайиш коэффициенти, σ_{ik} - Кроннекер символи. Эластиклик модуллари c_{nm} деформацияланиш қандай жараёнда олиб борилганига қараш адиабатик ва изотермик эластиклик модулларига ажратилиади. Масалан, товушнинг тарқалиш жараёнидаги деформацияни адиабатик деформация деб қараш мумкин. Секин ўзгаралиган деформацияларни эса изотермик деформациялар деб олишимиз мумкин.

9.7. Содда деформация ва уларда турли эластиклик модуллари орасидағы бөләниш

Изотроп мұхитдаги содда деформацияларни күриб топамиз. (9.17) ифодада ассоан, изотроп мұхит учун Гук конүни

$$\begin{aligned}\sigma_{11} &= (\lambda + 2\mu)\varepsilon_{11} + \lambda\varepsilon_{22} + \lambda\varepsilon_{33} = \lambda\theta + 2\mu\varepsilon_{11} \\ \sigma_{22} &= \lambda\theta + 2\mu\varepsilon_{22} \\ \sigma_{33} &= \lambda\theta + 2\mu\varepsilon_{33} \\ \sigma_{22} &= \sigma_{33} = 2\mu\varepsilon_{22} \\ \sigma_{13} &= \sigma_{31} = 2\mu\varepsilon_{13} \\ \sigma_{12} &= \sigma_{21} = 2\mu\varepsilon_{21}\end{aligned}\quad (9.18)$$

Урининіңда ёзилиши мүмкін.

Юқоридаги тенгламалардан деформация компонентларини топамиз.

$$\left. \begin{aligned}\varepsilon_{11} &= \frac{2(\lambda + \mu)\sigma_{11} - \lambda\sigma_{22} - \lambda\sigma_{33}}{2\mu(3\lambda + 2\mu)}, \\ \varepsilon_{22} &= \frac{-\lambda\sigma_{11} + 2(\lambda + \mu)\sigma_{22} - \lambda\sigma_{33}}{2\mu(3\lambda + 2\mu)}, \\ \varepsilon_{33} &= \frac{-\lambda\sigma_{11} - \lambda\sigma_{22} + 2(\lambda + \mu)\sigma_{33}}{2\mu(3\lambda + 2\mu)}\end{aligned}\right\} \quad (9.19)$$

Шибү ифодалар бир қанча содда деформацияларни таҳлил қылыш имконини беради.

а) Стерженнинг чүзилишини күриб чиқайлик. Бунда күчтапшының фақат стержен узунаси бўйлаб кўйилади: $\sigma_{11} = \sigma_{22} = \sigma$, $\sigma_{33} = 0$. Барча ташқи кучланишлар нолга teng $i \neq k$ бўлганда $\sigma_{ij} = 0$.

(9.19) тенгламалардан

$$\varepsilon_{11} = \frac{(\lambda + \mu)\sigma}{\mu(3\lambda + 2\mu)}, \quad \varepsilon_{22} = \varepsilon_{33} = -\frac{\lambda\sigma}{2\mu(3\lambda + 2\mu)} \quad (9.20)$$

шартини топамиз. Юқоридаги ифодалардан күриниб туриб-теп, шар стержен x — ўқи бўйича чўзилса, у шу ўққа

күндаланг йұналишларда (y_2) ички күчлар таъсирида сиқилар экан ($\varepsilon_{22}, \varepsilon_{33} < 0$).

ε_{11} билан σ орасыдаги коэффициент стерженнинг эластиктігінни билдирувчи катталик бўлиб, унга тескари катталик Юнг модули деб аталади:

$$E = \frac{(3\lambda + 2\mu)\mu}{\lambda + \mu}, \quad (9.21)$$

у ҳолда

$$\varepsilon_{11} = \frac{\sigma}{E} \quad (9.22)$$

Шундай қилиб, Юнг модули стерженни чўзишга нисбатан каттиқлигини билдирувчи коэффициентdir. Соң жиҳатдан Юнг модули деформация бирга тенг бўлгандаги (бунда жисм икки марта узаяди) күчланишга тенгdir.

Стерженнинг күндаланг деформациясининг бўйлама деформациясига нисбати Пуассон коэффициенти деб аталади.

$$v_0 = \left| \frac{\varepsilon_{22}}{\varepsilon_{11}} \right| = \left| \frac{\varepsilon_{33}}{\varepsilon_{11}} \right| = \varepsilon_{22} \cdot \frac{E}{\sigma} = \frac{\lambda}{2(\lambda + \mu)} \quad (9.23)$$

Турли моддалар учун Пуассон коэффициенти $0.2 \div 0.5$ оралықда бўлади. Юнг модули ва Пуассон коэффициентлари изотроп мұхитларнинг эластиклик хоссаларини тўлиқ ифодаловчи мустақил каттаиклар ҳисобланади. Ламә константаларини ҳам ушбу каттаиклар орқали ифодалаш мумкин:

$$\left. \begin{aligned} \lambda &= v_0 E [(1 + v_0)(1 - 2v_0)]^{-1}, \\ \mu &= E [2(1 + v_0)]^{-1} \end{aligned} \right\} \quad (9.24)$$

Баъзи бир моддаларнинг изотроп ҳолатлари учун E Юнг модули, v_0 Пуассон коэффициенти ва v_0 силжиш модуллари '6' 9.2- жадвалда келтирилган.

б) Бир жинсли чўзилиш.

Энди деформация фақат x — ўқи бўйлаб нолдан фарқи бўлған ҳолатни кўриб чиқамиз. Бунда y_2

9.2-жадвал

№	Моддашинг номи	$E \cdot 10^{10} \text{Нм}^2$	v_0	$G \cdot 10^{10} \text{ Нм}^2$
1	Волфрам	36.0	0.27	13.3
2	Плат - 3	22+24	0.30	8.5+8.8
3	Темир	21	0.28	8.2
4	Мис	12.0	0.35	4.6
5	Жез	9+10	0.35	3.0+3.7
6	Олтин	8.0	0.41	2.9
7	Алюминий	7.0	0.34	2.6
8	Қалай	5.4	0.33	2.0
9	Күргөшин	1.6	0.44	0.6
10	Қварц	7.4	0.18	3.2
11	Крон ойнаси	7.2	0.25	2.9
12	Фениит ойнаси	5.5	0.23	2.4
13	Чинни	6.0	0.23	2.4
14	Муз	1.0	0.33	0.4
15	Плексиглас	0.5	0.35	0.15

текислик бўйича деформация нолга тенг бўлсин: $\epsilon_{11} \neq 0$, $\epsilon_{12} = \epsilon_{33} = 0$.

Бундай деформацияни чексиз изотроп мұхитда торқаластган бўйлама акустик тўлқинлар содир қиласди. Гук қонунига асосан, (9.18) ифодалардан

$$\sigma_{11} = (\lambda + 2\mu)\epsilon_{11}, \quad \epsilon_{22} = \sigma_{33} = \lambda\epsilon_{11} \quad (9.25)$$

Демак, бу ҳолда кўндаланг мусбат кучланиш пайдо бўлади. Пластиклик модули эса

$$c_{11} = \lambda + 2\mu \quad (9.26)$$

ифодади билан аниқланади. (9.24) ифодадан фойдаланиб,

$$c_{11} = E[2(1+v_0)(1-v_0)]^{-1} \quad (9.27)$$

жонлигини топамиз. Охирги ифодадан кўриниб турибдики, v_0 шини ҳар қандай ҳақиқий қийматида $E < c_{11}$ бўлади. Бунинг физика миъноси шундан иборатки, кўндаланг деформациянинг нутқидиги мұхитнинг х ўқи бўйича чўзилишини қийинлаштиради ва потенциалда мұхитнинг эффектив қаттиқлиги ошади.

ii) Соғ силжиш.

Кучланиш тензорини ху текисликда силжима (ёки тангеншил) ташкилловчиси $\sigma_{12} = \sigma_t$ таъсир қилаётган бўлсин. Контакт барча ташкилловчи нолга тенг. Бу ҳол силжиш деб

аталади. (9.19) ифодалардан фойдаланыб, қыйидагини ҳосил қиласмыз:

$$\varepsilon_{12} = \varepsilon_{21} = \frac{\sigma_r}{2\mu}. \quad (9.28)$$

Олдин айтиб үтганимиздек, деформация тензорининг ε_{12} компонентаси зу текисликдаги силжиш бурчагининг ярмига тенг: $\varepsilon_{12} = \frac{\varphi_{12}}{2}$. Тұлиқ силжиш бурчаги эса

$$\varphi = \frac{\sigma_r}{\mu} = \frac{\sigma_r}{G} \quad (9.29)$$

Шундай қилиб, μ силжиш модули G га тенг ва у тангенциал күч таъсирида жисмнинг силжиш бурчагига тенг. Бу модулнинг Юнг модули ва Пуассон коэффициенти билан bogланиши (9.24) ифодада көлтирилған.

Ушбу ифодадан силжиш модули Юнг модулидан $2.5+3$ марта кичик бўлиши келиб чиқади.

г) Ҳар томонлама сиқилиш.

Куб шаклидаги кичик ҳажмни танлаб оламиз, унинг ёқлари x, y, z ўқларига нараваллел йўналган бўлсин. Кубнинг ҳамма ёқларига кубнинг марказига йўналган (яъни манфий) ўзаро тенг кучланиш таъсир қилсин. У ҳолда

$$-\sigma_{11} = -\sigma_{22} = -\sigma_{33} = p \quad (9.30)$$

бўлади. Тангенциал кучларни нолга тенг деб оламиз. (9.18) ифода қыйидаги кўринишга келади:

$$\begin{aligned} -p &= \lambda\theta + 2\mu\varepsilon_{11}, \\ -p &= \lambda\theta + 2\mu\varepsilon_{22}, \\ -p &= \lambda\theta + 2\mu\varepsilon_{33}, \\ \varepsilon_{12} = \varepsilon_{23} = \varepsilon_{13} &= 0. \end{aligned} \quad (9.31)$$

Юқорилаги учала тенгламани қўшиб,

$$p = -(\lambda + \frac{2}{3}\mu)\theta \quad (9.32)$$

ифодани ҳосил қиласмыз. Охирги ифода ҳар томонлама сиқилиш учун Гук қонуни деб аталади.

$$K = \lambda + \left(\frac{2}{3}\right)\mu \quad (9.33)$$

Кітталикни ұар томонлама сиқиши коэффициенті деб аталади. (9.24) ифодалардан фойдаланыб, ушбу коэффициентни Юнг модули ва Пуассон коэффициенти орқали ифодалаш мүмкін:

$$K = E[3(1-2\nu_0)]^{-1} \quad (9.34)$$

Ушбу ифодадан сиқилмайдиган мұхит учун ($k=\infty$) Пуассон коэффициенті $\nu_0=0,5$ эканлыги келиб чиқади. (9.26) ва (9.33) ифодаларни таққослаб, c_{11} ва K лар орасидаги бөләнешни топиш мүмкін:

$$c_{11} = K + \left(\frac{4}{3}\right)\mu. \quad (9.35)$$

Хар томонлама сиқилиш натижасида жисм зичлиги $\Delta\rho$ қоллар үзгәрсек, унинг нисбетті сиқилиш коэффициенті

$$s = \frac{\Delta\rho}{\rho_0} \quad (9.36)$$

ифодай билан аниқданади. Гүк қонундан келиб чиққан ҳолда ушбу кітталикни P ва K лар орқали ифодалаш мүмкін:

$$s = \frac{P}{K}. \quad (9.37)$$

Силжиш модули $G=0$ бўлған мұхитлар ҳам мавжуд. Бундай мұхитларга идеал оқувчанликка эга бўлған суюқлик ёки газлар киради. Уларнинг эластиклиги фақат битта Ламэ доимийси орқали аниқданади. Бундай мұхитнинг ұар бир ажратилган көзиги нормал йўналган кучланиш таъсир қиласи.

9.8. Кичик деформациялар энергияси

Кичик деформациялантган жисмнинг деформация натижасида оған энергиясини топамиз. Деформация натижасида силжиш вектори и кичик du қийматга үзгарсин. Бунда бажарилган элементтар иш ички кучларнинг du га кўпайтмасига teng.

Ички кучини $F_i = \frac{\partial \sigma_{ii}}{\partial x_i}$ га тенглигидан

$$dA = \int_V \left(\frac{\partial \sigma_{ik}}{\partial x_k} \right) (du_i) dV. \quad (9.38)$$

Бұлаклаб интеграллаганимизда (9.38) ифода қуйидаги күринишга келади:

$$dA = \int_S \sigma_{ik} (du_i) dS - \int_V \sigma_{ik} \frac{\partial}{\partial x_k} (du_i) dV. \quad (9.39)$$

Деформацияланған катта мұхит учун биринчи интеграл нолға тенг бұлади. Чунки, мұхит юзасыда $\sigma_{ik}=0$. Иккінчи интегралда $\left(\frac{\partial}{\partial x_k} \right) (du_i) = d \left(\frac{\partial u_i}{\partial x_k} \right)$ эканлигини ҳисобға олиб,

$$dA = - \int_V \sigma_{ik} d \left(\frac{\partial u_i}{\partial x_k} \right) dV \quad (9.40)$$

күринишида ёзиш мүмкін. Интеграл остидаги ифода бирлік ҳажмдаги ички күчлар бажарған ишни ифодалайды:

$$A' = -\sigma_{ik} d \left(\frac{\partial u_i}{\partial x_k} \right) \quad (9.41)$$

Чизиқий деформация учун σ_{ik} тензорнинг симметрик бўлишигидан фойдаланиб, қуйидаги

$$\sigma_{ik} d \left(\frac{\partial u_i}{\partial x_k} \right) = \sigma_{ik} d \left[\frac{1}{2} \left(\frac{\partial u_i}{\partial x_k} + \frac{\partial u_k}{\partial x_i} \right) \right] = \sigma_{ik} d \varepsilon_{ik} \quad (9.42)$$

ифодага келамиз. Унда ҳажм бирлигидаги элементар иш учун

$$dA' = -\sigma_{ik} d \varepsilon_{ik} \quad (9.43)$$

ифодани ҳосил қиласиз.

Қайтарувчи адиабатик деформацияланиш жараёнлари учун бу иш тескари ифода билан олинған ички энергиянин ўзгаришига тенг:

$$dU = -dA' = \sigma_{ik} d \varepsilon_{ik} \quad (9.44)$$

Умумлашган Гук қонунидан фойдаланиб, қуйидаги

$$dU = c_{ijkl} \varepsilon_{ik} d \varepsilon_{jl} \quad (9.45)$$

ифодани ҳосил қиласиз. Уни интегралласак, эластик деформацияланган жисмнинг потенциал энергияси учун

$$U = \frac{c_{ijkl} \epsilon_{ik} \epsilon_{jl}}{2} \quad (9.46)$$

ифодани ҳосил қиласиз. Изотроп мұхит учун (9.46) ифода бир критика содда күриништа келади.

$$U = \frac{\lambda \theta^2}{2} + \mu e_a^2 \quad (9.47)$$

Охирги ифодани (деформация бүйича) дифференциаллаган нимизда (9.17) ифодани ҳосил қиласиз.

9.9 Тензоқаршилилк ҳодисаси

Үтказгич электрик қаршилигининг механик деформациянында үзгаришини тензоқаршилилк ҳодисаси деб аталади. Бу ҳодиса айниқса ярим үтказгичларда яқын намоён бұлади. Деформация натижасыда ярим үтказгичларда заряд ташувчиларнинг **энергетик**, эффектив массаси, тақиқланган зона көнглигі ва бошқа бир қатор катталиклар үзагаради. Бу эса ярим үтказгичнинг электрик қаршилиги үзгаришига олиб келади. Бу ҳодисини бағолаш учун маңсус катталиклар киритилган.

$$\Pi e = \frac{\rho^H - \rho_0^H}{(-p)\rho_0^H} \quad (9.48)$$

Иншат билан аниқланадиган катталик – тензоқаршилилкнинг пүйілама коэффициенті ёки күчланиш бүйича тензосезирлик дейилді. Бунда ρ_0^H , деформация йүқлигидаги солиширма қаршилилк.

Деформация бүйича тензосезирлик коэффициенті дейилді.

$$S = \Pi \cdot E \quad (9.49)$$

Катталик киритишимиз ҳам мүмкін, бунда E – Юнг модули. Ярим үтказгичларнинг тензосезирлигі металларниңдан үн – юз марта ортін. Масалан, $\rho_0=0,1$ 0м.см солиширма қаршиликли ρ – туралыннан үчүн S таҳминан 125 га тенг ва металл сим тензометрлердіңниңдан 60 марта ортік.

Хөнгөрги замон фаны ва техникасида тензоқаршилилк қаршилилк ассоцияда тайёрланган күпгина самарали тензометрлар

жуда кичик деформацияларни ўлчашда, силжиш, моментлар, күчлар, босимларнинг сезгир ўлчагичлари сифатида, нисбатан катта деформацияларни ўлчашда ва бошқа мақсадларда кең қулланилмоқда.

Саволлар ва масалалар

1. Деформация деганда нимани тушунасиз?
2. Деформацияларнинг қандай турлари бор?
3. Кичик деформациялар учун Гук қонуни қандай қўринишда бўлади?
4. Ламэ доимийлари нима?
5. Пуассон ва Ламэ доимийлари қандай бояланган?
6. Изотроп олтин учун Ламэ доимийларини аниқланг. E ва v_0 қийматлари 9.2 – жадвалда келтирилган.
7. Бир ўлчовли деформация учун c_{11} топилсин ($\epsilon_{11} \neq 0$, қолган барча $\epsilon_{ik}=0$), $v_0=0,35$, $\mu=3,5$.
8. 9.2-жадвалдан фойдаланиб изотроп алюминий учун ҳар томонлама сиқилиш коэффициенти K топилсин.

X БОБ

МЕТАЛЛАР

Қадимдан металлар инсонлар ҳәётида муҳим ўрин тутган. Фан ва техника ривожланишини металларсиз тасаввур қилиш кинин. Табиатда металлар миқдор жиҳатдан күп бўлмасада, уларнинг турлари күп учрайди. Элементлар даврий жадвалидаги бизга маълум 107 та кимёвий элементдан 83 таси металлар ҳисобланади. Металл сўзи юонча «metallon» сўзидан қелиб чиққан бўлиб шахта, *руда*, найза каби маъноларни англатади.

Металлар электр токини ва иссиқликни яхши ўтказади, илектромагнит тўлқинларни яхши қайтаради. Уларнинг механик хоссаларида бошқа қаттиқ жисмларга нисбатан бир қанча оғизлilikлар бор. Металларнинг бу хоссалари, уларнинг молекула (ёки атом) лари орасидаги боғланиш табиатидан, уларнинг кристалл панжараси ва энергетик зоналари тузилишидан қелиб чиқади. Күп ҳолларда металлар ҳажмий ёки марказлаштирилган кубик ва гексагонал тузилишга эга бўлган, молекула (ёки атом)лари зич жойлашган кристалл панжараси ҳосил қиладилар.

Металларнинг юқорида келтирилган ажойиб хоссалари олимиларни ўзига жалб қиласди. Металларни физик хоссаларини тушунтириб берувчи назариялар ва моделлар яратиш XIX—XX охирилари XX — аср бошидан бошланган. Ҳозирги кунда мумтоз моделларнинг кўпчилиги талабга жавоб бермасада, оғизлардан ҳозирда ҳам фойдаланиб келинмоқда. Шунинг учун ҳам биз даставвал яратилган металлар назарияларини қисқача кўриб ўтамиш.

10.1. Металларнинг электрик хоссалари

Металлар электрик токини яхши ўтказувчи моддалардир. Металл ўтказичидан ўтаётган токнинг зичлиги унга қўйилган электр майдон кучланганлигига тўгри пропорционал:

$$I = \sigma E. \quad (10.1)$$

Бу ифода Ом қонуни деб номланади. Пропорционаллик коэффициенти σ солиширма электр ўтказувчанлик, унга тескари

$$\rho = \frac{1}{\sigma} \quad (10.2)$$

катталик эса солиширма электр қаршилик дейилади. Металларнинг солиширма қаршилиги $10^{-8} \div 10^{-6}$ Ом⁻¹ оралигига қийматларга эга. Металларнинг электр ўтказувчанлигини тушунтириб берувчи моделлардан биринчисини Друде ишлаб чиқди.

10.1.1 Друде модели

Инглиз физиги Ж. Ж. Томсон 1897 йили электронни кашф этди. Бу кашфиёт моддаларнинг турли хоссаларини тушунтириш учун катта туртки бўлди. Орадан уч йил ўтгач, Друде ўзининг электр ва иссиқлик ўтказишнинг классик(мумтоз) назариясини ишлаб чиқади. Ушбу назарияга асосан металларни эркин электронлар газига ботирилган ионлардан иборат деб тасаввур қилинади. Ундан ташқари, назария яна қуйидаги фарзларга асосланган.

а) Электронлар кристалл бўйлаб эркин кўчиб юра олади. Улар ўз ҳаракатлари давомида кристалл панжараси тугунлари-даги ионлар билан тўқнашадилар.

Электроннинг бир-бири билан тўқнашувлари ҳисобга олинмайди. Икки тўқнашув орасида электрон Ньютон қонунига асосан тўғри чизиқ бўйлаб ҳаракат қиласди;

б) Электронларнинг металл ионлари билан тўқнашуви оддий зарядсиз шарчалар тўқнашувидек содир бўлади;

в) Электроннинг икки кетма-кет тўқнашувлар орасидаги ҳаракати ўртacha вақти $\bar{\tau}$ киритилган ва уни электроннинг ўртacha эркин югуриш вақти деб номланади. Электроннинг вақт бирлигидаги тўқнашувлар эҳтимоллиги $1/\bar{\tau}$ га тенг деб олинган;

г) Электронлар гази тўқнашувлар туфайли термодинамик мувозанатга келади. Уларнинг тўқнашишидан олдинги ва кейинги тезликлари ўзаро боғлиқ эмас.

Металлдаги ұамма электронлар бир хил үртата тезликка эга булып, уларни бир атомли идеал газдек тасаввур қилинганд.

Металл үтказгич учларига электр күчләнешің құйилмаганда үндаги әркін электронлар тартибсиз иссиқлик ҳаракатыда булади. Классик(мұмтоз) физиканың энергияны әркінлик дәражалари бүйіча тенг тақсимот қонунига асосан, ҳар бир электронға түғри келувчи үртата кинетик энергия $3/2 kT$ га тенг. Бундан үртата тезликни топишимиз мүмкін:

$$\frac{m \bar{u}_T^2}{2} = \frac{3}{2} kT \quad (10.3)$$

на

$$|\bar{u}|_T = \sqrt{\frac{3kT}{m}} \quad (10.4)$$

Жаңы бирлигидеги электронлар сони n га тенг бўлсин, унда электронларнинг жаңы бирлигидеги кинетик энергияси

$$W_k = \frac{3}{2} nkT \quad (10.5)$$

булади. Металлга электр майдон қўйилганда үндаги әркін электронларнинг тартибсиз иссиқлик ҳаракатыга майдоннинг таъсир кучи йўналишида тартибли ҳаракат қўшилади. Электронлар гурухининг бир томонга қараб силжиши кузатилади. Электронларнинг ташқи электр майдон таъсиридаги бундай ҳаракати дрейф ҳаракати ва ҳаракат тезлиги дрейф тезлик деб аталади. Ташқи майдон электронға $-e E$ куч билан таъсир ирилди, бу куч таъсирида электрон

$$a = \frac{-eE}{m} \quad (10.6)$$

төшпаниш олади. Электроннинг ионлар билан икки кетма-кет түқнапшишлари орасыда олган үртата дрейф тезлиги

$$\bar{v} = a\bar{\tau} = \frac{-eE\bar{\tau}}{m}, \quad (10.7)$$

Онда $-e$ — электроннинг заряды, m — унинг массаси.

Мынумки, металл үтказгичдеги ток зичлигини қўйидагича инимиз мүмкін:

$$J = -nev \quad (10.8)$$

Бу ерда n — бирлик җамдаги электронлар сони. У ҳолда (10.7) на (10.8) муносабатдан фойдаланиб,

$$j = \frac{n e^2 \bar{\tau}}{m} E \quad (10.9)$$

ифодани ҳосил қиласиз. (10.9) ни (10.1) билан таққослаб металлнинг

$$\sigma = \frac{n e^2 \bar{\tau}}{m} \quad (10.10)$$

электр ўтказувчанлигини топамиз. Ушбу ифода ёрдамида металлнинг солиштирма қаршилиги ρ ни билган ҳолда $\bar{\tau}$ ни аниқлашимиз мумкин:

$$\bar{\tau} = \frac{\sigma m}{n e^2} = \frac{m}{n \rho e^2}. \quad (10.11)$$

ρ — нинг хона температурасидаги қийматини олиб, $\bar{\tau}$ ни ҳисоблаганимизда $\bar{\tau} = 10^{-14} + 10^{-15} \text{ с}$ бўлади. Электроннинг дрейф тезлиги унинг иссиқлик тезлигидан анча кичиклиги учун $\bar{\tau}$ ни эркин югуриш масофаси \bar{l} орқали қўйидагича ёзib олишимиз мумкин:

$$\bar{\tau} = \bar{l} / \bar{u}_T. \quad (10.12)$$

Охирги муносабатдан $\bar{\tau}$ ни билган ҳолда ва хона температураси учун (10.4) дан \bar{u}_T ни ҳисоблаб ($\bar{u}_T \approx 10^7 \text{ м/с}$ бўлади),

металлдаги эркин электронлар учун $\bar{l} = (1+10)^{\circ} \text{ \AA}$ бўлишини аниқлаймиз. Кристалл панжараси ионлари орасидаги масофа ҳам ана шу тартибда бўлишини эътиборга олсак, Друде модели жуда яхши натижага олиб келишига ишонч ҳосил қиласиз. Бироқ паст температураларда назария билан тажриба натижалари бир-биридан узоқлашиб кетади. Тажриба паст температураларда $\bar{l} \sim 10^3^{\circ} \text{ \AA}$ гача ва ҳатто тоза намуналарда $10^8^{\circ} \text{ \AA} = 1 \text{ см}$ бўлишини кўрсатади.

Бу ҳолни Друде назарияси ёрдамида тушунтириш қийин. Энди $\bar{\tau}$ нинг температурага bogлиқлигини кўрамиз. (10.4) ва (10.12)лардан

$$\bar{\tau} = \bar{l} \sqrt{\frac{m}{3kT}}, \quad (10.13)$$

уни (10.10) га құйсак, қуйидаги натижага келамиз:

$$\sigma = ne^2 \ell \sqrt{\frac{1}{3kTm}} . \quad (10.14)$$

Күриниб турибдики, Друде моделида үтказувчанлик $\sigma \propto T^{-2}$ шағын. Тажрибалар эса онын негізгі T^1 га пропорционаллыгини көрсетады. Бұз ҳам металларнинг ушбу модели қийинчиликтен биридей.

Друде назариясининг яна бир ютуғи уни Видеман — Франц қонуну учун тұғри натижага олиб келишидір. Тажриба үсүли билан 1853 йилда аниқланған Видеман-Франц қонунига күра, металларнинг иссиқлик үтказувчанлик коэффициенті ушіннің электр үтказувчанлығындағы нисбати маълум бир температурада барча металлар учун бир хил қийматтаға әгадір, яғни

$$\kappa/\sigma = LT . \quad (10.15)$$

Бұнда L үзгартмас сон болып, уни Лоренц сони деб ҳам атапады. Ушбу қонунни текшириб күриш учун Друде назариясига ассоциацияни Лоренц сонини көлтириб чықарамыз. Бизга онын күриниши маълум. Демек, металлнинг иссиқлик үтказувчанлығын топишимиз керак. Таърифта күра, иссиқлик үтказувчанлик бирор жисмдеги иссесиқлик оқими зичлиги би-дан температура градиенти орасидаги болганиш коэффициенттердір.

$$q = -\kappa \nabla T . \quad (10.16)$$

Бұнда q — иссиқлик оқими зичлиги, яғни вақт бирлигіда бірлік қозданан үтәтгандай иссиқлик миқдори,

$$\nabla T = \frac{\partial T}{\partial x} \vec{i} + \frac{\partial T}{\partial y} \vec{j} + \frac{\partial T}{\partial z} \vec{k} = grad T \quad (10.17)$$

және температура градиентидір.

X ни топиш учун учларда доимий температураалар фарқы минкүд бүлгандай металл стерженни күриб чиқайтылған. X — үқини стержен узунасы бүйлаб йўналтирамыз. Бундай стационар бир үчүнчи қол учун (10.16) ифода

$$q = -\kappa \frac{dT}{dx} \quad (10.18)$$

күринишга келади. Стерженниг турли нүкталарида температура турлича бўлгани учун электроннинг ўртача иссиқлик энергияси координата ва температурага боғлиқ бўлади $E=E(x, T)$. Стерженниг бир уидан х масофада жойлашган кесими орқали ўтаётган иссиқлик оқимини ҳисоблаймиз. Бу иссиқлик оқими вакт бирлигida кесимнинг чап томонидан ўнг томонига ўтаётган электронлар энергияси билан ўнг томондан чап томонга ўтаётган электронлар энергияси фарқига тенг бўлади. Ток йўқлиги назарда тутилғани учун электронлар сони, албатта тенг бўлиши кепрак. У ҳолда иссиқлик оқими зичлиги учун

$$q = -C_v \Delta T \Delta V / S \Delta t \quad (10.19)$$

ифодани ҳосил қиласиз. Бунда C_v — ҳажм узгармас бўлгандаги металлнинг иссиқлик сифими, ΔT — стерженниг Δx га тенг бўлган масофадаги икки нүктаси орасидаги температуралар фарқи ва ΔV стерженниг узунлиги Δx бўлгандаги ҳажми. Δx ни нолга яқинлаштириб ($\Delta x \rightarrow 0$), x нүктадаги кесмадан ўтаётган оқимни топамиз:

$$q = C_v \left(-\frac{dT}{dx} \right) \frac{dx}{dt} = -C_v v_x \frac{dT}{dx} dx. \quad (10.20)$$

Эркин югуриш масофаси кичик бўлган ҳолларда $dx = v_x \bar{\tau}$ деб олишимиз мумкин. Унда

$$q = -C_v v_x^2 \bar{\tau} \frac{dT}{dx} \quad (10.21)$$

Бир ўлчовли ҳолдан уч ўлчовлик ҳолга ўтамиш. Бу ҳолда

$$v_x^2 = \frac{1}{3} v^2 \quad (10.22)$$

ва dT/dx ўрнига ∇T ёзилади. Натижада

$$q = -\frac{1}{3} C_v v_T^2 \bar{\tau} \nabla T \quad (10.23)$$

муносабатни ҳосил қиласиз. уни (10.16) билан тақослаб иссиқлик ўтказувчанлик учун

$$\kappa = \frac{1}{3} C_v v_T^2 \bar{\tau} = \frac{1}{3} C_v v_T \bar{\ell} \quad (10.24)$$

ифодага эга бўламиш. Бу муносабат металлардаги эркин электронларнинг иссиқлик ўтказувчанлик коэффициентидир. Энди Лоренц сонини топишнимиз мумкин.

$$\frac{\kappa}{\sigma} = \frac{C_v m v_T^2}{n e^2} \quad (10.25)$$

(10.5) ифодадан C_v ни топамиз,

$$C_v = \left(\frac{\partial W_k}{\partial T} \right)_v = \frac{3}{2} k n \quad (10.26)$$

иа (10.3) ни ҳисобга олган ҳолда,

$$\frac{\kappa}{\sigma} = \frac{3}{2} \left(\frac{k}{e} \right)^2 T \quad (10.27)$$

ни ҳосил қиласиз. У ҳолда Лоренц сони учун

$$L = \frac{\kappa}{\sigma T} = \frac{3}{2} \left(\frac{k}{e} \right)^2 \quad (10.28)$$

қиймат келиб чиқади. Уни ҳисобласак, $L=1.11 \cdot 10^{-8}$ Вт·Ом/Кл² булади. Бу қиймат тажрибадаги натижадан икки марта кам. Шунга қарамай ушбу натижа Друде модели ютуқларидан ҳисобланади, чунки у Лоренц сони металларнинг турига боллиқ эмаслигини тасдиқлайди.

10.1.2. Металларда Холл ҳодисаси

Металл ўтказгични ундағи оқаётган ток йұналишига қындалып йұналған магнит майдонға жойлаштирысак ўтказгичнинг ён томонларыда потенциаллар фарқы пайдо булаши (10.1- чизма). Бу ҳодиса Холл ҳодисаси деб номланади. Мындумки, магнит майдонда ҳаракатланаётган зарядли заррага Лоренц күчи таъсир этади:

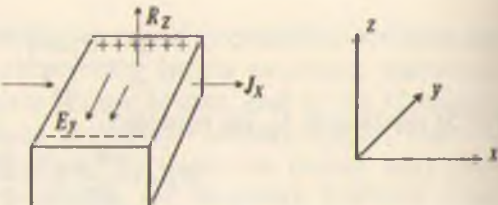
$$\vec{F}_H = \frac{q}{c} [\vec{V} \vec{H}] \quad (10.29)$$

Бұнда \vec{V} — зарра тезлиги, \vec{H} — магнит майдон күчленгандык, q — зарра заряды.

Металл ўтказгичдеги әрқин электронларға

$$\vec{F} = -\frac{e}{c} [\vec{V} \vec{H}] \quad (10.30)$$

куч таъсир этади ва бу куч 10.1- чизмадаги ҳол учун y - ўқи бўйлаб йўналган. Натижада намунанинг y - ўқига кўндаланг ёқларида потенциаллар фарқи вужудга келади. Ҳосил бўлган электр майдон кучланганлиги ўтказгич-даги ток зичлиги ва ташқи магнит майдон кучланганлигига пропорционал бўлади:



10.1-чизма. Ҳолл ҳодисасига оид.

Бу ифодадаги R_H – Ҳолл коэффициенти деб аталади. Друде моделига асосланган ҳолда Ҳолл коэффициенти учун

$$R_H = -\frac{1}{en} \quad (10.32)$$

ифода олинган. Бу натижага кўра, R_H нинг фақат металлардаги заряд ташувчилар зичлигига боғлиқлиги келиб чиқади.

Кўп металлар учун паст температура ва кучли магнит майдонда (10.32) ифода тажриба билан мос келувчи натижалар беради. Аммо, бошқа ҳолларда температура ва магнит майдон кучланганлигига боғлиқ экан. Ҳолл коэффициентини билган ҳолда паст температуралар учун металлардаги заряд ташувчилар зичлигини ҳисоблаб топишимииз мумкин.

10.1.3. Металларнинг Лоренц модели

Металларнинг классик моделларидан яна бири 1905 йилда эълон қилинган Г. А. Лоренц моделидир.

Ушбу модел Друде моделидан асосан қийидагилар билан фарқ қиласи:

а) металлдаги эркин электронлар тезликлари Максвел тақсимотига (2 бобга қ.) бўйсунади деб олинади;

б) электронларнинг дрейф ҳаракатини ифодалашда Болцманнинг кинетик тенгламасидан фойдаланилади.

Энди бу модельга асосланниб металларнинг электр хоссаларини кўриб чиқамиз. Ташқи энергетик майдон йўқлигига

Электронларнинг тезликлар бўйича Максвелл тақсимоти функциясини

$$\int dV_x dV_y dV_z = n \left(\frac{m}{2\pi k_n T} \right)^{\frac{3}{2}} \exp \left[-\frac{m(V_x^2 + V_y^2 + V_z^2)}{2k_n T} \right] dV_x dV_y dV_z \quad (10.33)$$

Кўринишда ёзб оламиз. Болцман тенгламасини соддалаштириш учун металлни изотроп деб ҳисоблаймиз. Бундай ҳолда электронларнинг тақсимот функцияси f_0 ҳам йўналишга (шаки координаталарга) боғлиқ бўлмайди. Металлга бир жинслик E электр майдон қўямиз. Электронларнинг тартибсиз исчилик ҳаракати тезликларига бир томонга йўналган дрейф қўшилади, натижада f ҳам ўзгаради. Электр майдон қўйилгандан кейинги тақсимот функцияси f нинг вақт бўйича ҳосиласини оламиз:

$$\frac{\partial f}{\partial t} = \left(\frac{\partial f}{\partial t} \right)_M + \left(\frac{\partial f}{\partial t} \right)_T \quad (10.34)$$

Биринчи қўшилувчи f нинг электр майдон таъсирида ўзгаришини, иккинчиси эса f нинг электронларнинг ионлар билан тўқнашиши ҳисобига ўзгаришини билдиради. f нинг координаталарга боғлиқлигини ҳисобга олмаймиз. Биринчи қўнишувчини бошқачароқ кўринишга келтиришимиз мумкин:

$$\left(\frac{\partial f}{\partial t} \right)_M = \left(\frac{\partial V}{\partial t} \right) \left(\frac{\partial f_0}{\partial V} \right) = \left(\frac{-eE}{m} \right) \left(\frac{\partial f_0}{\partial V} \right) \quad (10.35)$$

Чунки $V = \tilde{a}t = \frac{-e\tilde{E}}{m}t$, $\left(\frac{\partial f}{\partial t} \right)$ ҳосилани $\frac{\partial f_0}{\partial V}$ билан алмаштирилган. Сабаби: $f_0 = f$.

Тозикнинг тўқнашишлар ҳисобига ўзгаришини электронларнинг электр майдондаги тезланиши мувозанатлади. Шундий учун Лоренц $\left(\frac{\partial f}{\partial t} \right)_T$ катталикини $(f - f_0)$ га тўғри пропорционал бўлади деб тахмин қиласиди:

$$\left(\frac{\partial f}{\partial t} \right)_T = \frac{f_0 - f}{\tau_r}, \quad (10.36)$$

бунда τ_r — **релаксация вақти** деб аталади. Ушбу ифодалардан электр майдонда ҳаракатланаётган эркин электронлар учун Болцман кинетик тенгламасини ҳосил қиласиз:

$$\frac{\partial f}{\partial t} + \frac{e\bar{E}}{m} \left(\frac{\partial f_0}{\partial V} \right) + \frac{f - f_0}{\tau_r} = 0. \quad (10.37)$$

Электр майдон таъсирида f_0 дрейф тезлиги йұналиши бүйича бир оз силжийди ва умуман олганда шакли ҳам бир оз үзгаради, яғни деформацияланади. Лоренц кичик электр майдонлар учун f_0 нинг силжиши ўртача квадрат $V_{\text{кв}}$ тезликка нисбатан анча кичик бўлишини кўрсатади. Шунинг учун f_0 нинг деформациясини ҳам ҳисобга олмаса ҳам бўлади, яғни электр майдон таъсирида ўзгармайди деб ҳисобланади.

Металлга қўйилган доимий электр майдон τ_r га нисбатан узоқ вақт таъсир этса стационар ҳолат қарор топади. Мувознатий ҳолатда тақсимот функцияси вақтга боғлиқ бўлмайди (ўзгармайди):

$$\frac{\partial f}{\partial t} = 0. \quad (10.38)$$

У ҳолда (10.37) дан фойдаланиб стационар ҳолат учун

$$f = f_0 + \left(\frac{\tau_r e \bar{E}}{m} \right) \left(\frac{\partial f_0}{\partial V} \right) \quad (10.39)$$

ифода оламиз. Энди f металлдан доимий ток оқаётгандаги электронларнинг тезликлар бўйича тақсимотини билдиради. Майдон x — ўқи бўйича йұналган деб олсак, ток зичлиги учун қўйидагини ёзишимиз мумкин:

$$J_x = - \int e V_x f dV_x dV_y dV_z \quad (10.40)$$

Бунда f нинг ўрнига (10.39) ни қўйсак,

$$J_x = - \int [e V_x f_0 dV_x dV_y dV_z] - \int e V_x \frac{e E \tau_r}{m} \left(\frac{\partial f_0}{\partial V} \right) dV_x dV_y dV_z.$$

Ушбу ифоданинг биринчи қўшилувчиси нолга тенг. Демак,

$$J_x = - \int \frac{e^2 \tau_r E}{m} V_x \left(\frac{\partial f_0}{\partial V} \right) dV_x dV_y dV_z \quad (10.41)$$

(10.1) билан (10.41) ни таққосласак,

$$\sigma = - \int \frac{e^2 \tau_r V_x}{m} \frac{\partial f_0}{\partial V} dV_x dV_y dV_z. \quad (10.42)$$

Релаксация вақтини эркин югуриш масофаси \bar{l} ва ўртача қадар тезлик V орқали ифодалаймиз:

$$\tau_r = \frac{\bar{l}}{V}.$$

$V_x = \frac{1}{3}V$ эканлигини ҳисобга олсак,

$$\sigma = - \int \frac{e^2 \bar{l}}{3m} \frac{\partial f_0}{\partial V} dV_x dV_y dV_z. \quad (10.43)$$

Бундаги $dV_x dV_y dV_z$ нинг ўрнига тезликлар фазосидаги dV қилинликтаги сферик қатлам ҳажмини қўйишимиш мумкин. Сферик қатлам ҳажми $4\pi V^2 dV$ га тенг бўлади. Унда

$$\sigma = \frac{4\pi e^2}{3m} \int_0^\infty \bar{l} V^2 \left(-\frac{\partial f_0}{\partial V} \right) dV. \quad (10.44)$$

Ушбу интегрални ҳисоблаб,

$$\sigma = \frac{4\pi e^2 \bar{l}}{3(2\pi m k T)^{1/2}} \quad (10.45)$$

натижига эришамиз. Бу ифода Друде моделидаги σ дан $\sqrt{\frac{3\pi}{8}} = 1.09$ кўпайтувчи билан фарқ қиласди. Кўриниб туриблики,

Лоренц модели асосида металларнинг электр ўказувчанлиги учун ҳосил қилинган натижамиз, олдинги Друде назариясиники билан деярли бир хил экан.

Лоренц моделига асосланиб металларнинг иссиқлик ўказувчанлигини ҳисоблаганимизда,

$$X = \frac{1}{9} C_v \bar{l} \bar{V}_T, \quad (10.46)$$

иёни Друде натижасидан уч марта кичик муносабатга келамиз. Мисолда Лоренц сони ҳам уч марта кичик бўлади. Лоренц моделига асосланиб Холл коэффициентини топсак,

$$R_H = -\left(\frac{3\pi}{8ne} \right). \quad (10.47)$$

Натижалар шуни күрсатады, бу юқорида баён қилинган икки классик(мұмтоз) назариялар металларнинг электр ва иссиқлик үтказувчанлыklари, Холл коэффиценти учун деярли бир хил натижаларга олиб келади. Классик(мұмтоз) назариялар асоса Видеман-Франц қонуны, паст температуралардаги үтказувчанлик ва баъзи қонуниятлар ва катталиклар учун түгри ифодалар ҳосил қилинади. Лекин, бу назариялар металларнинг иссиқлик сифимини, юқори магнитик сингдирувчанлигини, мусбат Холл коэффициентларини ва бошқа күп ҳодисаларни тушунтира олмас эди. Квант механикаси пайдо бўлиши билан қаттиқ жисмлардаги тажрибада кузатиладиган жуда күп ҳодисалар ўзининг түгри талқинини топди. Қаттиқ жисмларнинг квант назариясига асосланган янги моделлари пайдо бўла бошлади.

10.1.4. Металларнинг Зоммерфелд модели

Зоммерфелд моделининг классик(мұмтоз) моделлардан асосан иккита фарқи бор.

Зоммерфелд металлардаги электронларнинг тезликлари бўйича тақсимотини Ферми-Дирак статистикаси таърифлайди деб олади (II бобга қаранг).

Зоммерфелд металлардаги эркин электронлар учун Паули принципи бажарилишини күрсатади. Паули принципига асосан ҳар бир энергетик сатҳда энергиялари тенг, лекин спинлари қарама-қарши йўналган иккитадан ортиқ электронлар жойлаша олмайди.

Зоммерфелд назариясида электр үтказувчанлик учун қуйидаги ифода ҳосил қилинади:

$$\sigma = -\frac{4\pi e^2}{3m} \int_0^{\infty} V^2 \ell \left(\frac{\partial f_o}{\partial V} \right) dV = \frac{-8\pi e^2}{3m^2} \int_0^{\infty} E \left(\frac{\partial f_o}{\partial E} \right) dE. \quad (10.48)$$

Бунда тақсимот функцияси f_0 ни Ферми-Дирак тақсимоти

$$f_0(\epsilon) = \frac{2(m/h)}{\exp\left(\frac{mV^2 - 2E_F}{2kT}\right) + 1} = 2(m/h)^3 f(E) \quad (10.49)$$

күрининида оламиз. Бундаги E_F ни Ферми энергияси деб атады.

$f(E)$ эса E — энергияли сатхнинг электронлар билан тұлғанылығы әхтимоллигини билдирувчи функциядыр (II бобга көрінің):

$$f(E) = \frac{1}{\exp\left(\frac{E - E_F}{k T}\right) + 1}. \quad (10.50)$$

(10.49)ни (10.48) га құымиз ва $V(E_F) = \sqrt{\frac{2E_F}{m}}$ дан фойдаланыб,

$$\sigma = \frac{-2e^2 m}{3\pi^2 h^3} \int_0^\infty \bar{l}E \left(\frac{\partial f(E)}{\partial E} \right) dE = \frac{-ne^2}{mV^2(E_F)} \int_0^\infty \frac{\lambda E}{E_F} \left(\frac{\partial f(E)}{\partial E} \right) dE \quad (10.51)$$

мұнисабатни оламиз. Бундаги

$$\int_0^\infty \frac{\bar{l}E}{E_F} \left(\frac{\partial f(E)}{\partial E} \right) dE = \bar{l}(E_F) \quad (10.52)$$

кattалик энергияси E га teng бўлган электроннинг ўртача эркин югуриш масофасини билдиради. Унда электр ўтказувчанлик учун

$$\sigma = \frac{ne^2 \bar{l}(E_F)}{mV(E_F)} \quad (10.53)$$

ифоданни ҳосил қиласиз. Зоммерфелд назариясига асосан электр ўтказувчанликда ҳамма электронлар қатнашмайды, унда факт Ферми сатхи яқинидаги электронларғина қатнаша олалар. Электроннинг тезлиги ҳам энди иссиқлик ҳаракати тезлиги өмис, балки Ферми сатхидаги электрон тезлиги олинади. Ўртача эркин югириш вақтими киритамиз:

$$\tau_m = \bar{l}(E_F)/V(E_F). \quad (10.54)$$

Унда электр ўтказувчанлик

$$\sigma = \frac{ne^2 \tau_m}{m}. \quad (10.55)$$

Күрининидан бу ифода олдингиларига ўхшасада, лекин бутунай бишкің қийматта тенг бўлган катталиқдир. τ_m Ферми

сатқындағы электронларнинг икки кетма-кет түқнашишлар орасындағы ұртаса әркін югуриш вақтидір. Зоммерфелд электротек, ұтказиша қатнашувчи электронлар сони Друде моделиндағы әркін электронлар сонидан анча кичик эканлигини күрсатыб этди. Ушбу назарияда Лоренц сони учун

$$L = R/\sigma T = \frac{\pi^2}{3} \left(\frac{k}{e} \right)^2 = 2,44 \cdot 10^{-8} \text{ Вт } \Omega \text{м} / K^2 \quad (10.56)$$

қиймат олинді. Бу тажрибалар натижалар билан мос келади.

Холл коэффициенти учун эса қуйидаги муносабаттаға келамиз.

$$R_H = -\frac{1}{ne}, \quad (10.57)$$

и энергияси E_F га теңг бұлған электронларнинг зичлиги. Зоммерфелд назарияси металларнинг физик хоссаларини тушунтириб беришда яна бир янги қадам бұлды. Үнда электронларнинг теззиклари ва энергиялар бүйіча тақсимоти учун бириңчи марта Ферми-Дирак тақсимоти құлланған. Классик(мұмтоз) моделлардагы әркін электронлар гази түшунчаси үрніга ұтказувчанлықда қатнашувчи электронлар түшунчаси құлланған болшанды.

Кейинроқ яратылған зоналар назарияси Зоммерфелднинг күпгина хulosалары түгри эканлигини тасдиқлады.

10.2. Металларда иссиқлик ҳодисалары

10.2.1. Металларнинг иссиқлик сигимі

Олдинги бұлымда металларни иссиқлик ұтказувчанлық коэффициенти χ ни бир неча классик моделларға асосланған қолда тондик. Энди эса уларнинг иссиқлик сигимини күриш қықамиз.

Әркін электронлар газига асосланған назариялар учун бір үқорида (10.26) ифоданы ҳосил қылғанмыз. Ушбу ифодага асо-сан металларнинг иссиқлик сигимининг асосий улушини әркін электронлар ҳосил қиласы. Тажрибалар эса буни тасдиқламади.

Зоммерфелднинг (1928) Ферми-Дирак тақсимотига асосланған моделига күра, металлардаги электронларнинг күп қисми Ферми энергиясидан бир ёки бир неча kT қадар кичик бұлған энергияларға зәға бұлалы. Бу электронлар энергия аны-

манинүвчи тұқнашишларда, шунингдек, иссиқлик ва электр-үтказиша қатнаша олмайдилар, чунки уларга яқын барча инергетик сатұлар электронлар билан тұла ва у сатұларға үтиш Планкин принципиға асосан тақиқланған. Ҳарорат градиенти ва ғашық электрик майдонни фақат юқори энергиялы ($E \approx 4kT$) электронларгина «сеза» оладилар ва улар электр токи ва иссиқлик үтказиша қатнашадилар. Бундан Зоммерфелд E_F икіннегіндеңін көзіндегі электронлар ҳолатигина металларни иссиқлик ва электр хоссаларини аниқлады деган тұғри холосага келди.

Зоммерфелд моделига асосланиб иссиқлик сияғимини тоғамид. Мұтлоқ нол температурада металлнинг бирлік қажыннаның электронларнинг тұлық энергиясы

$$U_o = \int_0^{E_F} Eg(E) dE = \frac{E_{F_o}^{5/2}}{5\pi^2} \left(\frac{2m}{\hbar^2} \right)^{3/2} \quad (10.58)$$

мүносабат билан аниқланади. Электронлар зичлиги

$$n = \frac{1}{2\pi^2} \left(\frac{2m}{\hbar^2} \right)^{3/2} \int_0^{E_F} \sqrt{E} dE = \frac{1}{3\pi^2} \left(\frac{2mE_F}{\hbar^2} \right)^{3/2} \quad (10.59)$$

бұлишини ҳисобға олсақ,

$$U_o = \frac{3nE_{F_o}}{5} \quad (10.60)$$

көлиб чиқади. Демак, $T=0K$ бўлганда ҳар бир электрон үртача E_F инергияга эга бўлади. Нолдан фарқли температуруларда иссиқлик ҳаракати натижасида E_F дан пастроқдаги сатұдан электронлар E_F дан юқоридаги сатұларға үтиб туради. Шунинг учун нолдан фарқли температурада

$$U = \int_0^{\infty} Eg(E) f(E) dE$$

ОКИ

$$U = \frac{1}{2\pi^2} \left(\frac{2m}{\hbar^2} \right)^{3/2} \int_0^{\infty} \frac{E^{3/2} dE}{1 + \exp\left(\frac{E - E_F}{k T}\right)} \quad (10.61)$$

Баъзи соддалаштиришлардан сүнг ушбу интегрални ҳисоблаб $kT \ll E_F$ учун

$$U = U_0 + \frac{n\pi^2 k^2 T^2}{4E_F} \quad (10.62)$$

муносабатни оламиз. Бундан электронларнинг иссиқлик сиғими C_e учун

$$C_e = \frac{\partial U}{\partial T} = \frac{n\pi^2 k^2 T}{2E_F} \quad (10.63)$$

натижага келамиз. Классик(мумтоз) сиғимни $C_{\text{кз}} = (3/2)nk$ билан белгиласак,

$$C_e = \frac{\pi^2 k T}{3E_F} C_{\text{кз}} \quad (10.64)$$

ифода ҳосил бўлади. Электронларнинг иссиқлик сиғими C_e , сиғимдан $E_F/3kT$ марта кичик экан. Баъзан буни металларнинг иссиқлик сиғимини айниши деб ҳам аталади. $kT \ll E_F$ шарт бажарилган электронлар газини айниган электронлар гази деб номланади. Металларнинг тўлиқ иссиқлик сиғими Дебай қўрсатгандек панжараравий ташкил этувидан ва электрон гази иссиқлик сиғими C_e дан иборат. Паст температураларда панжараравий ташкил этувчи T^3 га, C_e эса T га пропорционал, шунинг учун C_e ни паст температураларда ўлчанади. Электронлар солиштирма иссиқлик сиғимини Ферми сатҳидаги ҳолатлар зичлиги $g(E_F)$ орқали ифодалашимиз мумкин:

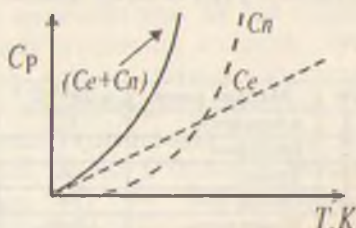
$$C_e = \left(\frac{\pi^3}{3} \right) k^2 T g(E_F). \quad (10.65)$$

Хулоса қилиб шуни айтиш мумкинки, металларнинг иссиқлик сиғими асосан иккита қисмдан ташкил топган:

$$C_P = AT + BT^3 \quad (10.66)$$

Биринчи қўшилувчилар металлардаги электронларнинг улуши бўлиб, бу сиғимига классик(мумтоз) назариялардан фарқли ўлароқ, фақат энергияси Ферми энергияси E_F дан каттароқ бўлган электронларгина ҳисса қўша олади. Паст температураларда ($T \rightarrow 0K$) ушбу қўшилувчи муҳим ўрин тутади.

Иккинчи қүшилувчи металлар кристалл панжараси тебра-нишлари (фононлар) ҳиссаси бўлиб, улар юқори температура-ларда катталашиб боради. Паст температуруларда у нолга ин-тилади (10.2-чизма). Юқори температуруларда, жумладан хона температураидаги иссиқлик сигимининг панжаравий таш-кил этувчиси C_{pan} C_e га нисба-тли инча катта, шунинг учун C_e ни ҳисобга олмаса ҳам бўлади. Унбу икки сигими тажрибада алоҳида ўлчаб уларнинг темпе-ратуруларга боғлиқлиги функ-циини аниқлашимиз мум-кин. Масалан, бир мол мис-үчин $C_e = 0.9 \cdot 10^{-4} RT$ ва пал-лий учун $C_e = 1.6 \cdot 10^{-4} RT$ бўлиши аниқланган.



10.2- чизма. Металлар иссиқлик сигими. C_{pan} -иссиқлик сигимининг панжаравий ташкил этувчиси; C_e -электрон ташкил этувчиси.

10.2.2. Металларнинг солиширма электрик қаршилигининг температура коэффициенти

Металларнинг электр қаршилиги температурага боғлиқ ра-нишида ўзгарили. Температура ортиши билан қаршилик ортиб бо-ради, пасайганда эса маълум бир температурагача пасайиб бора-ди. Жуда паст температуруларда металларнинг солиширма қаршилиги маълум бир қийматга ρ_A га эришади ва у температура ўзгаришида боғлиқ бўлмайди. ρ_A металлдаги ёт аралашмаларга ва нуксонларга боғлиқ бўлиб, уни қолиқ қаршилик деб ҳам юри-голади. Ҳозирги тасаввурларга кўра, металлнинг солиширма электр қаршилиги электронларнинг фононлар ва нуксонлар би-лон таъсирашувидан келиб чиқади, яъни

$$\rho = \rho_\phi + \rho_H \quad (10.67)$$

Они үтказувчаник орқали ёзсанак,

$$\frac{1}{\sigma} = \frac{1}{\sigma_\phi} + \frac{1}{\sigma_H}. \quad (10.68)$$

Охириги икки ифода Маттисен қоидаси деб номланади. Ўзори (хона) температуруларида солиширма қаршиликнинг температурага боғлиқлиги

$$\rho = \rho_0(1+\alpha T) \quad (10.69)$$

күринишда булади, бунда α - солиширилма электр қаршиликнинг температура коэффициенти деб аталади. Баъзи металлар учун α нинг қийматлари 10.1- жадвалда келтирилган.

10.1-жадвал

№	Металл номи	$\alpha, 10^{-3} \text{°C}^{-1}$	№	Металл номи	$\alpha, 10^{-3} \text{°C}^{-1}$
1	Алюминий	1,2	12	Калай	4,4
2	Волфрам	5	13	Платина	3,9
3	Темир	6	14	Қўрғошин	3,7
4	Олтин	4	15	Симоб	1,0
5	Константан	0,05	16	Кумуш	4,1
6	Жез	0,1-0,4	17	Рух	4,2
7	Магний	3,9	18	Пулат	1-4
8	Мис	4,3	19	Манган	0,01
9	Никелин	0,1	20	Чўян	1,0
10	Никел	6,5	21	Фекрал	0,1
11	Нихром	0,1	22		

Мутлоқ нолга яқин температураларда (10.69) ифода бажарилмайди, унда солиширилма қаршиликни

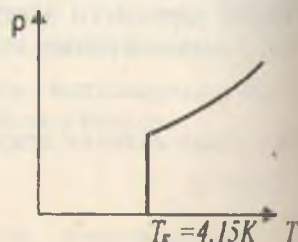
$$\rho = \rho_0 + AT^2 + BT^5 \quad (10.70)$$

ифода билан аниқланади. Ушбу муносабатдаги BT^5 қўшилиувчи электронларнинг панжара тебранишлари билан таъсирини ҳисобга олади, AT^2 эса электронларнинг ўзаро тўқнашуви ҳисобига ҳосил бўлган қаршиликдир. А ва В лар температурага боғлиқ бўлмаган доимийлардир.

10.2.3. Ўта ўтказувчаник

Ҳарорат пасайиши билан металларнинг солиширилма қаршилиги ρ_A га интилади. Металл қанча тоза ва нуқсонсиз бўлса, ρ_A шунча кичик булади. Баъзи металларнинг электр қаршилиги маълум бир паст температурага етганда кескин камайиб нолга тенг булиб қолади.

Бу ходиса ўта ўтказувчаник ходисаси деб номланали. Уни биринчи



10.3- чизма. Ўта ўтказувчаникка оид чизми.

булиб 1911 йили голландиялик физик X. Камерлинг-Оннес символа кузатди (10.3- чизма). Ҳарорат пасайиб $T_k = 4,15 \text{ K}$ га етганда симобининг электр қаршилиги бирдан йўқолар экан, яъни полга тенг булади. Ўта ўтказувчаникка ўтиш температураси T_k яқин йилларгача 23K дан (Nb_3Ge) ортмаган эди. Бу эса уларни фон на техникада кенг қўлланишига тўсқинлик қиласди, чунки паст температуralарни ҳосил қилиш техник жиҳатдан ёйини ва қимматдир. 1986 йили немис физиги Мюллэр La, Ba, Cu, O лардан тузилган керамик қотишмада 60K да ўта ўтказувчаникни кузатди. Кейинроқ La ни Y билан алмаштирилганда Y-Ba-Cu-O керамикада $T_k = 94 \text{ K}$ эканлиги аниқланди. Бу янгилик қаттиқ жисмлар физикасининг катта ютуғи эди. Ушбу ўта ўтказувчан материаллар учун T_k суюқ зотининг қайнаш температураси $T_k = 77, 4 \text{ K}$ дан ҳам ошиб кетди. Бу эса уларнинг техникадаги қулланилишини ва уларни таъсирини анча осонлаштириди, чунки суюқ азотни олиш нисбетан осон ва арzonдир. Ўта ўтказувчаник ҳодисаси очилгандан сўнг 46 йил давомида унга ҳеч қандай эътибор берилмади.

1957 йили Бардин, Купер ва Шриффер биринчи бўлиб ўта ўтказувчаник назариясини ишлаб чиқдилар (БКШ – назарияси).

Унга асосан, металлардаги икки электрон орасидаги ўзаро таъсири энергияси икки қисмдан иборат:

$$V = V_k + V_a \quad (10.71)$$

V_k улар орасидаги кулон таъсири кучларининг потенциал энергияси, V_a доим нолдан катта булади, яъни электронлар бир-бирига қарама қарши кучлар билдиради таъсири этадилар.

V_a – эса электронларнинг кристалл панжара билан ўзаро таъсири энергиясини ифодалайди.

Бу энергия паст температуralарда манфий бўлиши ҳам мумкин экан. Бу эса электронларнинг кристалл панжараси воғотасида бир-бирига тортилишини билдиради (маълумки, иккичарор орасидаги таъсири энергияси манфий бўлса, бу зарралар ўзаро тортишади).

БКШ назариясига асосан ана шу куч таъсирида электронлар бир хил бўлишинга қарамай ўзаро жуфтлар ҳосил қиласидар. Уларни Купер жуфтлари деб аталди.

Купер жуфтларидаги электронларнинг спинлари қарама-қарши йўналган бўлиб, умумий спин нолга тенг, шунинг учун улар Бозе-Эйнштейн статистикасига бўйсунади. Ўта ўтказувчанлик ҳосил қилишда металларда Купер жуфтлари асосий роль ўйнайди. Кўп ҳолларда Купер жуфтларининг ўта оқувчанлик билан қиёслаб, Бозе конденсати деб юритилади.

Ҳозирги кунда ўта ўтказувчанликнинг бошқа механизмила-ри (масалан, экситон механизми) тўғрисида янги фикрлар мавжуд. Ўта ўтказувчанлик механизмлари тўлиқ ишлаб чиқилмаган ва ҳозир изчил изланишлар давом этмоқда.

10.2.4. Металлардаги термоэлектрик ҳодисалар

10.2.4.1. Зеебек эффицити

Ингичка металл стерженни олиб унинг икки учини T_1 ва T_2 температураларда сақлаймиз. Стержен бўйлаб температура фарқи пайдо бўлади. Иссикроқ T_1 температурали учидан совуқроқ T_2 учига қараб иссиқлик оқими вужудга келади. Хона температуралида иссиқлик асосан кристалл панжараси тебранишлари ҳисобига фононлар орқали узатилади.

Температура градиенти (фарқи) металлнинг икки учидаги электр юритувчи куч (э.ю.к) E ҳосил қиласи. Бу ҳодиса Зеебек эффицити деб номланади (уни 1821 йили немис физиги Зеебек очган).

Ҳосил бўлган э.ю.к температура $T \sim 1+100^\circ\text{C}$ бўлганда,

$$E = \alpha(T_1 - T_2) \quad (10.72)$$

ифода билан аниқланади. Бунда α - Зеебек коэффициенти (ёки термо э.ю.к коэффициенти) деб аталади. Стерженда термо э.ю.к нинг пайдо бўлиши қўйидагича изоҳланади.

Стерженнинг иссиқ учидан совуқ учига йўналган фононлар сони совуқ учидан иссиқ учига йўналган фононлар сонидан кўп бўлади. Фононлар ўзлари билан бирга эркин электронларни эргаштириб кета оладилар. Натижада стерженнинг совуқ томонида электронлар сони кўпайиб кетади, иссиқ томонида эса ортиқча мусбат заряд пайдо бўлади. Бу эса стерженда э.ю.к ни вужудга келтиради. Зеебек эффицити икки хил ўтказгич бир-бирига улангандаги ҳам кузатилади. Бунда температуралар фарқи ўтказгичларнинг уланиши нуқтаси билан бошқа учлари орасидаги ҳосил қилинади. Ушбу ҳолла ҳам (10.72) ифода ўринили бўлади.

Үзүүр уланган икки хил ўтказгичларни термо жуфт деб аталаади. 10.2-жадвалда бири қўрошиндан бўлган термо жуфтлар учун охининг қийматлари келтирилган. Жадвалдаги манфий ишора ток иккинчи ўтказгичдан қўрошин ўтказгич томони оидитанини англатади.

10.2-жадвал

№	Металл+Ръ	$\alpha, 10^{-6} \text{В/К}$	№	Металл+Ръ	$\alpha, 10^{-6} \text{В/К}$
1	Гемир	15	12	Симоб	-4,4
2	Молибден	7,6	13	Платина	-4,4
3	Кадмий	4,6	14	Натрий	-6,5
4	Волфрам	3,6	15	Палладий	-8,9
5	Мис	3,2	16	Калий	13,8
6	Рух	3,1	17	Никел	-20,8
7	Олтин	2,9	18	Висмут	-68,0
8	Кумуш	2,7	19	Хромел	24,0
9	Кралай	-0,2	20	Нихром	18
10	Магний	-0,0	21	Алюмел	-17,3
11	Алюминий	-0,4	22	Копел	-38
			23	Константан	-38

Термојуфтлар ёрдамида юқори температураларни ўлчаш қутий. Жадвалдаги келтирилган натижаларни жуда аниқ деб дұлмайды, чунки термо э.ю.к қиймати металлар уланган жойнан ёт аралашмалар, кристалл доначалар йўналишига қучли болып келді.

10.2.4.2. Томсон эффекти

Доимий температура фарқи ҳосил қилинган металл стеренни кўриб чиқамиз. Унинг иссиқ учи температураси T_1 , соңу учи температураси T_2 бўлсин. ўтказгични доимий ток манбаига улайтмиз.

Ундан электр токи ўта бошлайди ва Жоул-Ленц қонунига кўра:

$$Q_{\text{Ж}} = I^2 R t \quad (10.73)$$

Ишлорда Жоул иссиқлиги ажралиб чиқади. Бунда I — стеренни ток кучи, R — унинг электр қаршилиги ва t — тоғ үчиншакти. 1856 йили инглиз физиги У. Томсон (лорд Кавендиш) юқорида келтирилган доимий температура (термоистига эга бўлган (бир учи T_1 ва иккинчи учи T_2 (термоистиги) токли ўтказгичда Жоуль иссиқлиги $Q_{\text{Ж}}$ дан

ташқари яна құшимча иссиқлик миқдори – Q_S ажралиб чиқиши, ёки ютилиши мүмкін эканлыгини олдиндан айтаб беради. Бу фикр кейинчалик француз физиги Леру тажрибала-рида тасдиқланды ва Томсон эффекти деб номланды. Үтказгичда ажралиб чиқаётган тұлық иссиқлик миқдоры

$$Q = Q_{\text{Ж}} \pm Q_S \quad (10.74)$$

куриниша ёзилади. Q_S нинг ишораси токнинг ва температура градиентининг үзаро йұналишига бөлгік. Агар ток үтказишининг совуқ учидан иссиқ учи томон йұналса, Q_S мус-бат бўлиб үтказиичда құшимча иссиқлик миқдори ажралиб чиқади. Бунда металлдаги электронлар иссиқ учидан совуқ учи томон йұналади. Ток йұналишини тескарига үзгартирсак, Q_S манфий ва иссиқлик ютилади.

Металларнинг эркін электронлар назарияси доирасида ушбу ҳодиса қуйидаги изоҳланади.

Үтказгичнинг иссиқ қисмидаги электронларнинг ўртача кинетик энергияси совуқ қисмидагидан катта бўлади. Таşқи электр юритувчи куч таъсирида электронлар металлнинг совуқ қисмiga қараб дрейф ҳаракат қилганда, совуқ қисмга етиб келгач, кристалл панжараси ионлари билан тұқнашиб, бир қисм энергияларини уларга беради ва «совийди».

Натижада уларнинг ўртача кинетик энергияси үтказгичнинг совуқ қисмидаги электронларники билан тен-глашади. Бунда үтказгичда құшимча Q_S миқдорда иссиқлик ажралиб чиқади.

Агар ток йұналишини үзгартирсак, совуқ электронлар үтказгичнинг иссиқ қисмига қараб ҳаракат қилади ва термо-динамик мувозанатга келиш учун панжара ионларининг бир қисм энергиясини ютади. Томсон иссиқлиги Q_S үтказгичдан оқиб үтган заряд миқдори ва унинг учларидаги температуралар фарқига пропорционал::

$$Q_S = \tau_i (T_1 - T_2) h. \quad (10.75)$$

Бунда τ_i Томсон коэффициенті деб аталади.

Ушбу ифода хона температурасынга яқын ва унча катта булмаган температуралар оралығыда бажарилади. Томсон нази-

жисиги асосон, икки ўтказгичдан ясалган термојуфтликларнинг - о Зеебек коэффициенти Томсон коэффициентига боғлиқ экан.

$$\tau_T = T \frac{d\alpha}{dT}. \quad (10.76)$$

Охирги ифода Томсон ва Зеебек ҳодисаларини ўзаро боғловчи муносабатдир.

10.2.4.3. Пелте эффекти

Икки турдаги бир хил температурали ўтказгич бир-бирига уланган жойдан I ток ўтганда, у жойда қўшимча Q_n иссиқлик миқдори ажralиб чиқиши ёки ютилиши ҳодисаси Пелте эффекти деб аталади. Бу ҳодисада ҳам иссиқликнинг ютилиши оғзи жратиб чиқиши ток йўналишига боғлиқ. Ҳодисани биринчий булиб 1834 йили француз физиги Ж. Пелте кузатган.

Ажralиб чиқсан иссиқлик миқдори

$$Q_n = I \Delta \Pi \quad (10.77)$$

ифода билан аниқланади. Бунда

$$\Delta \Pi = (\alpha_1 - \alpha_2) T \quad (10.78)$$

булиб, Π ни Пелте коэффициенти деб номланади.

α_1, α_2 лар эса ўтказгичларнинг термоэлектрик (Зеебек) коэффициентлари.

Пелте ҳодисаси кўп ҳолларда электр тармоқлар учун зарарлиди. Электр энергияни узатишда ва фойдаланишда турилиш ўтказгичлар қулланилади (алюминий, мис, жез, никром ва бошқалар). Уларнинг бир-бирига уланиш нуқталарида эса фойласиз қўшимча Q_n иссиқлик миқдори ажralиб чиқади. Бу иссиқлик ўтказгич контактларининг қизишига олиб келади. Натижала ўтказгичларнинг атмосферадаги кислород билан оксидланishi жараёни (занглаши) тезлашади. Ушбу ҳодиса билан курашини учун, (10.78) ифодадан қўриниб турибдики, $(\alpha_1 - \alpha_2)$ ин камайтириш керак. Бу ҳолларда эса уловчи қурилмалар (роутер, вилка ва ҳ.к.) материалининг α си α_1 ва α_2 оралигида ташлаб олинади.

Масалан, алюминий ва мис ўтказгичларнинг уланиш нуқталарида жез ишлатилади.

Пелте эффекти турли металлардаги электронларнинг ўртача энергиялари бир хил температурада ҳам турлича бўлиши билан тушунтирилади. Дарҳақиқат, металлдаги электронларнинг ўртача энергияси уларнинг энергетик спектрига, концентрациясига ва энергиясини йўқотиш механизмларига боғлиқ. Электронлар э.ю.к таъсирида бир металдан иккинчи сига ўтганда ўзининг ортиқча энергиясини кристалл панжараси ионларига беради, ёки электроннинг энергияси кам бўлса, кўшимча энергия ютади.

Бу ҳодиса электронларнинг ўртача энергияси фарқи катта бўлган ўтказгичларда (масалан, металл – ярим ўтказгич контактида) яққол намоён бўлади. Пелте эффектидан техникада совуткичлар тайёрлашда фойдаланилади.

10.3. Металларнинг зоналар назарияси

Зоналар назариясига мувофиқ қаттиқ жисмлардаги электронлар энергияси кетма-кет жойлашган маълум бир энергия оралиқларидағи қийматларнингина қабул қила олади. Бу энергия оралиқлари рухсат этилган энергия зоналари деб аталади.

Электронлар қабул қила олмайдиган энергия оралиқларини тақиқланган зоналар дейилади.

Металл атоми ёлгиз турганда ундаги барча электронлар аниқ энергия қийматларига эга бўлади.

Унга иккинчи атомни яқинлаштирусак, улардаги электрон булувлар ўзаро кириша бошлайди.

Энергетик сатҳлар ва ундаги электронлар иккала атом учун умумий бўлиб қолади. Лекин, Паули принципига асосан бир энергетик сатҳда иккита қарама-қарши спинли электронлардан ортиқча электронлар жойлаша олмайди, шунинг учун сатҳларнинг кенгайиши (айниши) кузатилади. Ҳар бир сатҳ иккита ёнма-ён жойлашган сатҳга айланади. Энди агар атомлар сони иккита эмас, жуда кўп (N та) бўлса, кенгайган икки сатҳлар орасида яна $N-2$ та сатҳ жойлашади. Натижада ёлғиз атомнинг энергетик сатҳидан рухсат этилган зона ҳосил бўлади.

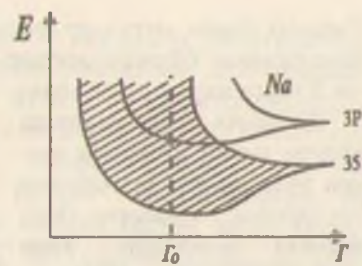
Зонадаги сатҳлар орасидаги фарқ жуда кичик бўлади (макроскопик кристаллар учун), шунинг учун ундаги электронлар энергияси деярли узлуксиз ўзгаради деб олишимиз мумкин.

10.4- чизмада натрий метали ишомтраннинг $3s$ ва $3p$ сатҳларининг зоналарини кўрсатилган. Чизмадан шириниб турдидики, натрий атомларини орасига масофа кичрайиб борши сари сатҳлар парчаланиши катшнишини.

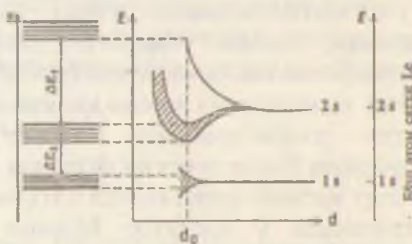
Бундай Γ_0 нормал шароитда натрий кристалли атомлари орасига масофа. Демак, натрий атомлари кристалл ҳолатда $3p$ ва $3d$ сатҳлари кенгайиб бир-бирини қоплаб кетувчи ружсат этилган зона ҳосил қилас экан. Зоналар назариясига асосланаб, металларнинг, қолаверса бошқа қаттиқ жисмларнинг физик үзинчалигини тушунтириш анча қулай. Металларнинг электр үзинчалигига зоналар назариясида уларда электронлар билан тушунтирилади.

Бундай зонада электрон ўз энергиясини узулуксиз кичик үзинчалирга ўзгартира олади, чунки зонада тўлдирилмаган символар кўп.

Бундай чала тўлдирилган зонани ўқазувчаник зонаси деб юм атилади. 10.5- чизмада литий кристалининг зоналари оширилган. Энг настки зона $1s$ — спіхлининг кенгайишидан ҳисобла бўлган ва у электронлар бинани тұла. Уни валент зонаси $2s$ — айтилди. $2s$ — сатҳнинг айниши (парчилапиши) ҳисобига салом бўлган иккинчи зона да чили (ирми) тўлган. Ундаги электронлар озгина ташки төслир интижасида энергияларини оширишлари мумкин. Бундай учун зонада бўш сатҳлар мавжуд. Кристаллга ташки төслир майдон ёки температура градиенти куйилгандан иккинчи зонани ишомтранни ва энергияларини ўзгартира оладилар. Литий кристалининг электр токи ва иссиқликни яхши ўтказишини ана шу асуручаник зонаси мавжудлиги билан тушунтириш мумкин.



10.4- чизма. Натрий металлида электронлар энергиялари зонаси ҳосил бўлиши.



10.5-расм. Литий металлида энергия зоналари ҳосил бўлиши

Умуман барча металлар учун ана шундай чала тұлған энергетик зоналарнинг бұлиши хосдир. Металларнинг зоналари тузилишини З турға ажратып мүмкін.

Бириңчи турға юқорида күрган литий кристали мисол бұла олади. Бундай металларнинг зоналари бир-бируни қоптайды. Улар алохида ажратылған ҳолда жойлашадылар ва қуи зоналардан бири қопланмаган бұлады (10.6- чизма,а). Расмда катак чизиқтарда электронлар билан тұлған сатұлар белгиланған, А — юқоридаги зонанинг пастки чегараси (түби), В — пастдаги зонанинг шипи.

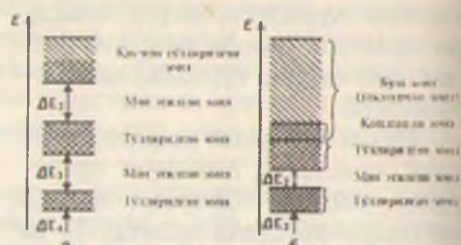
Иккінчи турдаги зонада натрий кристаллини мисол қилишимиз мүмкін. Бундай металларда пастдаги зона тұлмаган бұлып юқоридаги зона пастки зона устига қопланиб кетады (10.6- чизма, б).

Натижада жуда кенг үтказувчанлик зонаси ҳосил бұлади.

Учинчи турдаги зонада пастки зона электронлар билан тұлады, лекин юқориги зона билан қопланиш ҳисобига үтказувчанлик зонаси вужудға келади (10.6- чизма,в). Бунга магний кристаллини мисол қилишимиз мүмкін. Магнийнинг электрон конфигурациясы $[1s^2 2s^2 2p^6 3s^2]$ күринишиша зәғ. Магний атомини барча энергия сатұлары электронлар билан тұлдырылған. Агар магний кристаллида сатұлар бир-бируни қопламасдан кенгайғанида у изолятор бұлыши керак эди, чунки унда чала тұлдырылған сатұ йўқ. Аслида эса магний кристаллидаги $3p$ сатұ кенгайиши натижасыда $3s$ сатұ зонасини бироз қоплаб тұради. Натижада $3s$ сатұ юқорисида бүш сатұлар ҳосил бұлади. Шунинг учун магний ҳам металлар хоссасини намоён қиласы.

10.4. Металларда электрон эмиссияси

Электронларнинг бирор таъсир натижасыда металлдан учебчиқиши ҳодисаси электрон эмиссияси деб аталади. Электрон эмиссияси асосан уч хил бұлады: термоэлектрон, авто ва фото эмиссия (ташқы фото эффект).



10.6- чизма. Энергия зоналарининг учта хусусий ҳоли

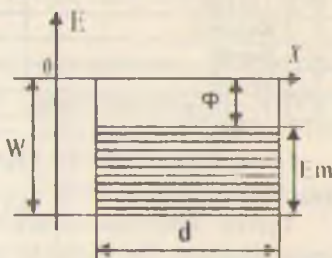
Металдин қиздирганинда унинг сиртидан электронларни учиб чиқишини термоэлектрон эмиссияси деб аталади. Үндү ҳолисаларни тушунтиришида металдик ичиндеги түрли жаралыптарниң ахамияти унча катта бүлмаганлыги учун, потенциал үра моделидан фойдаланилади. Моделга асосан металл чукурлуги W га тенг потенциал үрадан ташкил топтади. Бу шергий манфий бүлганлыги учун металл билан электронлар пристоя тортишиш кучи мавжуд. E_m электронларнинг максимал кинетик энергияси, Φ — чиқишини ишини ва d — металлнинг үзүүлүгү (10.7- чизма).

Металл қиздирилгандан сари иссяклик флюктуациялари натижасында энергияси $E > W$ бўлган электронлар сони ортиб боради. Бу электронларнинг бир қисми металл сиртига учиб чиқади, бир қисми esa сиртидан орқага қайтади. Газ температура ошган сари металл сиртидан чиқувчи электронлар сони табора ортиб боради. Агар металлга ташкил электр майдону пулса (бунда манфий қутбни металлга улаймиз), металдан ўтиб чиқкан электронлар электр токи ҳосил қиласади. Ҳосил бўлган ток значилиги учун

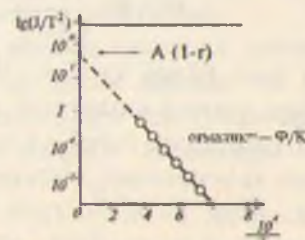
$$j = AT^2(1-r)\exp(-\frac{\Phi}{kT}) \quad (10.79)$$

шундайда ўринли бўлади ва уни Ричардсон-Дэшман қонуни деб аталади. Бунда r — электронларнинг металл сиртидан ылғалий коэффициенти, $A = (em^3/2\pi^2h^3) = 1.2 \cdot 10^6 \text{ A}/(\text{m}^2\text{k}^2)$. Чоңши иши Φ билан $A(1-r)$ ларни $j = j_0/T^2$ нинг $1/T$ га боғлиқлиги графигидан тажрибада аниқлашынни (10.8- чизма).

Графикни ордината ўқи билан соңнаган нүктаси $A(1-r)$ га тенг болади. Оғиш бурчаги тангенси



10.7- чизма. Чиқишишини тушунтирадиган чизма.



10.8- чизма. Термоэлектрон токининг температурага боғланиши.

эса $(-\phi/k)$ га тенг. 10.3- жадвалда барын металлар учун чиқаш ини ва $A(1-r)$ Ричардсон доимийларининг ўлчаш натижалари көлтирилган.

10.3- жадвал

№	Металл	Чиқаш ини ϕ_0 , В	$A(1-r)$, $A/(m^2 \cdot K^2) \cdot 10^8$
1	Иплатина	5.3	0.32
2	Волфрам	4.5	0.72
3	Молибден	4.4	1.15
4	Тантал	4.1	0.37
5	Калий	3.2	0.60
6	Барий	2.5	0.25
7	Цезий	1.8	1.60
8	Цезийланган волфрам	1.4	0.03

Аниқ ўлчашларининг күрсатилишича, ϕ температура ўзгарини билан бироз ўзгарар экан.

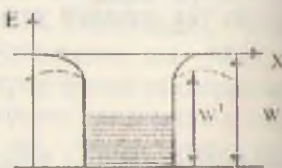
Турли кристаллографик текисликлар учун ҳам ϕ озгина фарқ қиласи. Бу фарқин зоналар назарияси асосида түшүнүтириш мүмкүн. Ҳақиқий металларининг потенциал ўраси күрниниши 10.7- чизмада күрсатилғандек тик ва кескин ўзгарувчи бўлмайди.

Энергия ошинин билан дастлаб $W(x)$ — чизикӣ ортиб боради ва металга сирти яқинлаш эгринидаи.

Агар металлниң совук ҳолатида унга кучлироқ электр майдон қўйилса, унинг потенциал тўсиги пасайди. (10.9- чизма, нуқтирир чизик). Натижада чиқши ини кичрайди. Агар ташки қўйилган майдон кучлаиганлиги E бўлса потенциал тўсиг баландлиги

$$W' = W - \sqrt{\frac{e^3 E}{4\pi\epsilon_0}} \quad (10.80)$$

га тенг бўлиб қолади. Чиқши инини озгина камайини ҳам кун электронларининг эмиссияла қатнашишига олиб келади. Бу ходисани ташки электр майдон таъсиридаги эмиссия ёки Шотки эмиссияси леб аталади. Агар $E \sim 10^8 \frac{V}{m}$ тача кучайтирилса, потенциал тўсиг шу даражада пасайди, кун электронлар бемалоз ундан утиб кетаверадилар. Энди электронларин чиқарини учун метални



10.9- чизма. Электр майдонида металлларни электрон учун энергетик тўсиг пасайдими.

Күнспирининг ҳам ҳожат қолмайди. Бу ҳодисани совук эмиссия ёки автозелектрон эмиссия леб юритилади. Кучли электр майдони тасирида потенциал түсиқниң қалинлиги ҳам ғамайади.

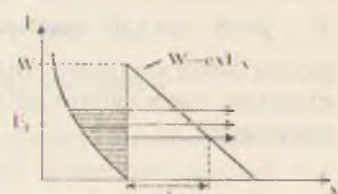
Бу эса туннел эффекти ажамиятини оширади. Электр майдони маълум бир критик қийматтага етганда энергияси E_0 га тенг бўлган Ферми сатҳидаги электронлар туннел ўтиши ишончнингга эга буладилар (бунда түсиқ қалинлиги $d \sim 10 \text{ \AA}$ атрофидан бўлади).

Фаулер ва Норгейм уч бурчак кўрининишидаги потенциал түсиқини электронларниң ўтиши эҳтимоллигини таҳдид қўши. кучли электрик майдондаги металдан ўтаётган ток шартини учун

$$J = \alpha E^2 \exp(-\beta \phi/E) \quad (10.81)$$

натижада олдилар (10.10- чизма).

(10.79) ва (10.81) ларни солинтиришсанда совук эмиссияда температура эмас, электр майдони муҳим түшнини маълум бўлади. Потенциал түсиқ қалинлиги $\sim 10 \text{ \AA}$ дўймагунча Ферми энергияли электронларниң туннел ўтиши



10.10- чизма. Энергетик түсиқ пасайинини тушунтириш.

эҳтимоллиги жуда кичик бўлади. Металларниң чиқини ишини $\psi = 1/\ell$ леб олган ҳолда совук эмиссия бошланниши учун электр майдони кучланганлиги $E_0 \sim 3 \cdot 10^9 \text{ В/м}$ бўлиши кераклигини ишондаймиз. Тажриба узарда майдон кучланганлигини бундан 30 март кичик қийматларида ҳам совук эмиссия кузатилган.

Бу ҳодисани металл сиртидаги потекиелкларда майдон кучланганлиги E_0 га тенг нуқталар ҳосил бўлади ва шу нуқталар орқами электронлар эмиссияланади леб тушунтирилади. Умуман олганда (10.81) ифода тажриба натижалари билан тошишларни даражада мос келади.

10.5. Фотоэмиссия (ташқи фотоэффект)

Ёргулук нури (фотонлар) таъсирида металл сиртидан электронларнинг учиб чиқиши фотоэмиссия ёки ташқи фотоэффект деб аталади. Бу ҳодисани биринчи бўлиб 1905 йили А. Эйнштейн изоҳлаган. Фотоэмиссияда асосан энергияси E_F га яқин бўлган электронлар иштирок этади. Электромагнит тўлқини – ҳар бири энергияси $\hbar\omega$ бўлган фотонлар оқими металл сиртига тушгач, фотон ўз энергиясини металл сиртига яқин жойлашган E энергияси E_F га яқин бўлган электронга беради. Натижада электроннинг энергияси $E + \hbar\omega$ га тенг бўлади.

Агар $E_F + \hbar\omega > E_F + \phi$ бўлса, бу электрон металл сиртига учиб чиқиши мумкин. Бунда ϕ металдан электроннинг чиқиш иши, у Ферми сатҳи E_F дан ҳисобланади. Металдан учиб чиқсан электронлар тезигити нолдан V_{max} қийматгача бўлади.

V_{max} учиб чиқсан электронларнинг максимал тезлиги бўлиб, фотон энергиясининг чиқиш ишидан ортиқаси электроннинг кинетик энергиясига айланади, у Эйнштейн ифодаси орқали топилади:

$$\hbar\omega = \phi + \frac{mV^2}{2} \quad (10.82)$$

Агар фотонлар энергияси $\hbar\omega$ чиқиш ишидан кичик бўлса фотоэффект содир бўлмайди. Кўпгина металлар учун $\phi > 3\text{эВ}$ бўлади. Бундай металлар сиртидан электронларни уриб чиқара олувчи $\hbar\omega \geq \phi$ фотонлар кўзга кўринадиган ва ултрабинафша ёргулук диапазонига тўғри келади.

Фотоэмиссияни миқдорий тавсифловчи катталик электронларнинг квант чиқиши β деб номланади ва у металлга тушган бир фотонга мос келувчи учиб чиқсан электронлар сочинин билдиради. Кўп тоза металлар учун $\beta \sim 10^{-4}$ электрон/фотон.

Металларнинг квант чиқиши бунчалик кичик бўлишига сабаб, ёргулук металл сиртига $\sim 10^{-5}\text{ем}$ чукурликкача кириб боради ва асосан ўна қатламда ютилади. Бундай қатламдан металл сиртига қараб ҳаракат қилишган электронлар йўлдаги тўқнашишлар натижасида ўз энергиясини йўқотади. Сиртга учиб чиқсан фото-

электронларнинг тезликлари турлича булиши ҳам шу асосда тушигтирилади. Фотоэлектронларнинг күпчилиги металл сиртидан 10^{-7} см гача бўлган қатламда ҳосил бўлади. Тажрибада фотомиссия учун қўйидаги қонуниятлар кузатилган:

а) Учиб чиқаётган электронлар сони металлга тушаётган ёргулук оқими катталигига пропорционал.

б) Ҳар қандай модда учун фотоэффект ҳосил қилувчи ёргулук нурининг чегаравий тўлқин узунлиги λ_0 мавжуд бўлиб, ундан катта тўлқин узунлигига фотоэмиссия кузатилмайди. λ_0 шу модда учун фотоэмиссиянинг қизил чегараси деб аталади.

в) V_{\max} нинг қиймати ёргулук нури тақориийлигига пропорционал, лекин ёргулук оқими катталигига боғлиқ эмас.

Металларнинг чиқиш ишини камайтириш учун тоза металл сиртида юпқа дипол электр қатлам ҳосил қилинади. Каттам ҳосил қилишда чиқиш иши кичик атом ва молекулалар (Cs , Rb , Cs_2O)дан фойдаланилади. Бундай металлар электронкуум лампалар тайёрлашда ишлатилади.

10.6. Металларнинг магнит хоссалари

Магнит майдонга металлни жойлаштирганимизда унда магнит момент ҳосил бўлади. Бирлик ҳажмнинг магнит моменти (магнитланганилик) \vec{J} вектор билан белгиланади. Агар ичини майдон кучланганилиги H бўлса, у ҳолда

$$\vec{J} = \chi \vec{H}. \quad (10.83)$$

Бундаги χ — модданинг магнит қабулчанлиги. Мода ичини магнит майдон ташқи H ва ички H_M майдонлар индукциясидан иборат бўлади, яъни

$$\vec{B} = \vec{H} + \vec{H}_M = \mu \vec{H}, \quad (10.84)$$

бунда \vec{B} — магнит индукция вектори деб аталади, μ эса магнит фиддируичанликдир.

Модда ичиндаги майдон \vec{H}_M магнит моменти билан кўнидагига боғланган:

$$\vec{H}_M = 4\pi \vec{J}, \quad (10.85)$$

У ҳолда

$$\tilde{B} = \tilde{H} + 4\pi\tilde{I} = \tilde{H}(1 + 4\pi\chi), \quad (10.86)$$

бундан

$$\mu = 1 + 4\pi\chi \quad (10.87)$$

ифодани ҳосил қиласыз. Бирор модда учун $\chi < 0$ ёки $\mu < 1$ бўлса, уни диамагнит дейилади, $\chi > 0$ ёки $\mu > 1$ бўлса, парамагнит бўлади.

$\mu \gg 1$ бўлган моддаларни ферромагнитлар деб аталади. Тўлмаган d ва f элекtron қобиққа эга бўлган металларнинг барчаси парамагнитларш. (Cr, Mn). Мис, висмут ва бошқа баъзи металлар эса ўзларида диамагнитизмни намоён қиласи.

Кўп металларнинг магнит қабулчанлиги унча катта бўлмайди ($\chi \sim 10^{-6}$) ва температурага кучсиз bogланган.

Диамагнит моддаларнинг ташки майдон йўқлигига атом ва молекулаларнинг магнит моментлари нолга тенг. Шунинг учун элекtron қобиқлари тўлиқ тўлган атом ва молекулаларда диамагнитизмни кузатиш мумкин.

Парамагнитлар майдон йўқлигига нолдан фарқли магнит моментга эга бўлади. Буларга элекtron қобиқлари чала тўлдирилган моддалар киради.

Юқоридаги фикрларни жуда аниқ деб бўлмайди, чунки моддаларнинг магнит ҳоссалари анча мураккабдир. Масалан, мис metall бўлишига қарамасдан диамагнитдир. Бунга сабаб мисда тўла тўлдирилган $3d$ элекtron қобиқнинг диамагнитизми $4s$ сатҳдаги бир элекtronининг парамагнитизмидан кучлироқ бўлади. $3d$ қобиқдаги ўнта элекtronнинг диамагнит эфекти асосий рол ўйнайди. Ag, Au, Zn, Pb ларнинг диамагнитизмини шундай тушунтирилади.

Металлардаги ўтказувчи эркин элекtronларга ташки магнит майдон таъсири икки хил бўлади. Биринчидан ташки майдон элекtronларнинг майдон йўналиши атрофида айланнишига (пресессия) олиб келади. Бу айланниш йўналиши Ленин қояласига асосан аниқланиб, ҳосил бўлган магнит майдон ташки майдонга тескари йўналади.

Бу ҳодиса эркин элекtronларнинг Ландау диамагнитизми деб аталади.

Ландау диамагнитизмининг магнит қабулчанлиги

$$\chi_d = -\frac{4n\mu_B^2}{\mu^2} \sqrt{\frac{\pi^2 n}{9}} \quad (10.88)$$

інфода билан аниқланади. Бұнда n — электронлар зичтігі, μ_B — Іоң магнетони. Лекин, металдегі үтказувчан электронларнинг магнит қабулчанлігінің факты әдән иборат бўлмайди. Мәлумки, сирбир электрон үзининг нол бўлмаган доимий магнит моментига да. Ташки магнит майдон қўйилганда улар магнит майдони нунациинга параллел ҳолда жойлашадилар. Бу эса үтказувчан электронларнинг парамагнитизмий көлтириб чиқаради, унинг қабулчанлігін диамагнит қабулчанлікдан 3 марта катта бўлади. Металларнинг ушбу икки қабулчанлігини электрон-парамагнит рesonанс (ЭПР) усули билан алоҳила ўлчаб топиш мумкин. Менсалати электронларнинг тўлиқ қабулчанлігиги χ_s учун

$$\chi_s = \chi_n - \chi_d = \frac{n\mu_B^2}{E_F} = \frac{n\mu_B^2}{kT_c} \quad (10.89)$$

інфода көлтириб чиқарылган. Бунда $E_F = kT_c$ Ферми энергияси. Кўриниб турибдикি, металлардаги үтказувчан электронлар парамагнитизм температурага боғлиқ бўлмайди. Ҳақиқатдан ун бу ҳодиса ишқорий металлар (Na, K ва б.) учун үртилдирил. Бир қатор парамагнит металларнинг қабулчанлігиги унбу Кюри-Вейс қонуни билан аниқланади:

$$\chi = \frac{C}{T - T_c} \quad (10.90)$$

Бу інфодадаги T_c метал ионларининг панжара ичидағи ишқори билан таъсирланувини інфодадайди ва Кюри нуқтаси деб ишқориади. Базы парамагнит металлар T_c гача совутилиши ферромагнитларга айланади (масалан Fe, Ni).

Бундан металлар учун (10.90) інфодадаги T_c ишқораси мусобиқ бўлади. Агар метал T_c дан наст температураларгача совутилиши анифомагнит ҳолатта утса, T_c нинь ишқораси тоифий олинади (масалан, NiCr, MnS, MnO, Cr₂O₃ ва б.). Ўндан ҳолларда T_c нинь қиймати Кюри нуқтасига мос келмасади ҳам мумкин.

Ферромагнитларнини асосин хоссалари қўйылдандардан иборат.

а) Ферромагнитларнинт магнит сингдирувчанлиги ташки \bar{H} магнит майдонга бөглиқ (10.11- чизма).

Майдон күчланганлыги ортиши билан μ кескін ортади ва $H=2.5\text{Э}$ да максимал қийматта эришади. H ни янада оширасак μ камая бошлайды ва $\mu=1$ қийматта интилади.

б) Ферромагнитлар қолдик магнитизмга зәға, яғни магнитланган ҳолатини ташки майдон йүқтегида ҳам сақлаб қолади.

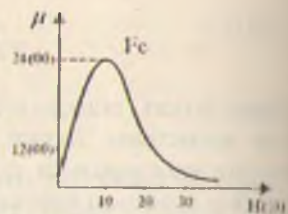
в) Қори нұқтасидан юқори температураларда ферромагнитлар парамагнит ҳолатига үтади.

Ферромагнитларда магнит гистерезис ҳодисаси ҳам күзатылади (10.12- чизма). Агар ферромагнитни магнит майдонға қүйиб, аста-секин \bar{H} майдоннин орттириб борсак, J магнитланганлик ҳам ортиб боради. Матыум бир H_s да J үзгартмай қолади. Ферромагнит түйинниш нұқтасигача магнитланади (А-нұқта).

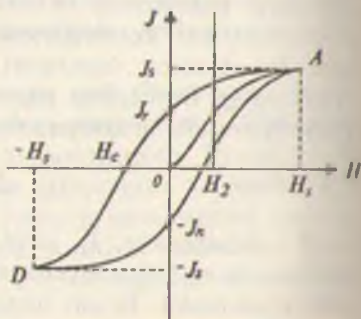
Майдон күчланғанлығы \bar{H} ни камайтира бошлаймиз. $\bar{H}=0$ бүлғанда $I=I_0$ яғни нолға тенг бүлмайди. Энди майдон йұналишини үзгартыриб, В нұқтага келамиз. Бу ҳам түйинниш нұқтаси булиб, I-бошқа кетталашмайди.

Майдонни камайтириб О нұқтага келамиз ва яна А нұқтагача майдон күчланғанлигини оширамиз.

Натижада ёпиқ зәрі чизиқ — магнит гистерезис ҳосил бўлали. Бу чизиқ ферромагнитларга хос бўлиб, уларнинг доимий магнитик моментига зәга бўлган зарралардан тузилғанлигини билдиради. Бу зарралар ўлчамлари $10^{-2} + 10^{-5}\text{сн}$ бўлиб магнит доменлар деб номланади. Магнит доменларнинг ўз-ўзидан магнитланиб қолиш ҳодисасини Френкел-Гейзенберг назариясига асосланиб тушунтирилади. Унга асосан кристалл панжарасидаги атомлар үзаро алмашинув энергияси орқали таъсирашадилар. Алмашинув энергияси



10.11- чизма. Темирнин магнит сингдирувчанлиғы $\mu(H)$.



10.12- чизма. Ферромагнит магнитланишда гистерезис ҳодисаси.

и таисифловчи катталик бүлган алмашинув интегралы А мұхим урин тугади. Агар $A > 0$ бўлса, доменлардаги электрон спинлар паралел жойлашади. Бунда алмашинув энергияси энг кичик қўймалта эга бўлади ва кристалл ферромагнит ҳолатида бўлади.

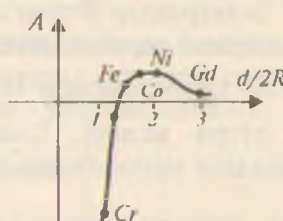
$A < 0$ да доменлардаги электрон спинлари қарама-қарши жойлашади. Бундай ҳолатни антиферромагнит ҳолати дейилади. 10.13- чизмада алмашинув интегралы А нинг кристалл панжаси доимийси d нинг чала тўлган электронлар қобиги диаметри $2R$ га нисбатига боғлиқлиги кўрсатилган. Чизмада кўринниб турибидики, $d/2R < 1,5$ бўлган металлар ферромагнитлар, $d/2R > 1,5$ лар ишлаб антиферромагнитлар ҳисобланади.

Антиферромагнитларда қўшни ионларнинг магнит моментлари антипаралел йўналган бўлади. Уларнинг магнитланганлиги таџиқ майдон йўқлигига нолга teng, Антиферромагнитнинг параметрик ҳолатига ўтиш температураси T_N Неел температураси деб номланади. Уларда магнит қабулчанлик $T < T_N$ да кристалл панжараси йўналишига кучли боғлиқ бўлади. Агар майдон йўналиши атомларнинг магнитик моментлари йўналишида бўлса, магнит қабулчанлик температура наслайиши билан нолга интилади. Агар майдон йўналиши магнит моментлари йўналишига тик бўлса, қабулчанлик температурага боғлиқ бўлмайди (10.14- чизма).

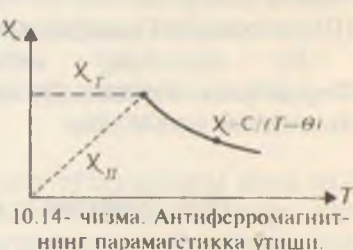
10.7. Де Гааз, Ван Алфен эффекти

1930 йили голланд физиклари Де Гааз, Ван Алфенлар висмутининг $T = 14,2\text{K}$ даги магнит моменти J ни ўлчадилар, тажрибеларининг кўрсатишича, J тинди майдон ўзгариши билан обрабаниб ўзгарган (10.15- чизма).

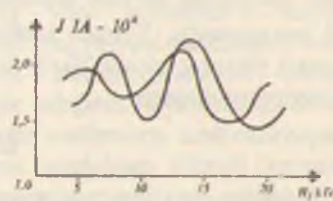
Бу ҳодисани Де Гааз, Ван Ал-



10.13- чизма. Ферромагнитлар хоссаларини квантмеханик тушунтириш.



10.14- чизма. Антиферромагнитнинг парамагнетика ўтиши.



10.15- чизма. Магнит моментининг даврий ўзарини.

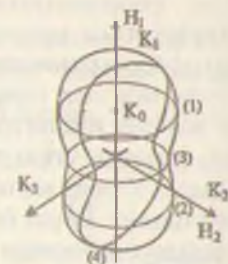
фен эффекти деб номланади. Кейинроқ Онсагер буни қуидагида түшиндири. Металларнинг магнитланғанлыгининг тебраниши Ферми сатқындағы электронлар орбиталарнинг квантланишидан келиб чиқади.

Электронлар Ферми сатқынинг маңым бир орбиталарида (кесимларыда) ҳаракат қыладылар. Ферми сатқынинг энг катта ва энг кичик кесим юзалари 10.15-чизмадагы \bar{J} нинг экстремумларына тұғри келади. Онсагер \bar{J} нинг тебраниш даври учун қуидаги мұносабатни олды:

$$\Delta \left(\frac{1}{H} \right) = \frac{2\pi e}{\hbar c} \frac{1}{S_e}, \quad (10.91)$$

бунда S_e Ферми сатқынинг ташқы магнит майдони \bar{H} га тик бұлған ихтиёрий экстремал кесими (10.16 – иззма). Магнит майдонда металларнинг электрик үтказувчанлыги тебранишини ҳам күзгитешимиз мүмкін (Шубников-Де Гааз эффекти).

Бу ҳодисалар металларнинг Ферми сатқы сирткиси үрганувчи күчли амалий усуллардир.



10.16- иззма. Магнитик момент үзгаришини тушинтирувчи иззма.

10.8. Электрон – парамагнит резонанс (ЭПР)

Магнит майдонга жойланган парамагнит зарраларга эга бұлған модданинг электромагнит түлкін энергиясини резонанс равищада ютиш ҳодисаси электрон-парамагнит резонанс деб номланади. Ташқы майдон \bar{H} таъсирида йиғинди спины S га тенг бұлған зарра $2S+1$ та сатқыга ажralади. Сатқылар орасынан энергия фарқы

$$\Delta E = 2\mu_B H \quad (10.92)$$

Дархақыт, әркін электрон учун $S=1/2$, $\mu=g_s\mu_B$. Бунда $g=2,0023$ (әркін электрон учун) ва $\mu=\pm 1/2$. Демак, электрон $E_1=-1/2 g_s\mu_B$, $E_2=+g_s\mu_B$ энергияларни қабул қыла олади. Үнда

$$\Delta E = E_2 - E_1 = g_s \mu_B H \equiv 2 \mu_B H$$

Электромагнит түлқин энергияси кванти учун

$$\hbar\omega = \Delta E = g\mu_B H \quad (10.91)$$

Шарт бажарылғанда кучли ютилиш күзатылади. Бу ҳодиса ёрдамыда металлардаги ұтказувчан электронларнинг спинлари ориентациясини, нүкssonларда бошқа ҳодисаларни үрганиш мүмкін.

10.9. Ядромагнит резонанс

Магнит майдондаги модданинг параметрлердегі ядролари тоғонидан электромагнит түлқинларни ютиш ҳодисасини ядромагнит резонанс дейилади. Бунда ташқи майдон таъсирида әдіріп спини I бир неча сатхлар ҳосил қиласылады. Сатхлар орасынан түрлі энергия фарқы (10.91) ифода билан аниқланады. Фақат g бошқачароқ бұллады. Металларда ұтказувчан электронлар бүтінлігі учун күп қолларда акустик ЯМР дан фойдаланылады. Бунда ташқаридан тушаёттан электромагнит түлқин үрнігінде энергиялы фононлар үйретіледі. Бу ҳодисалар ҳам металдардың күп көттәліктерні аниқлаш имконини берады.

10.10. Металларнинг электромагнит түлқиндерінен үзаро таъсири

Маңызды, металдар электромагнит түлқинларни жуда яхшы қайтарувчи моддалардир. Юқори частотали электр ток үшіннен металл сиртідан үтады. Электромагнит түлқинлар ҳам жуда кичик қалинліктердегі қатламгача кира олады. Бу қолисаны скин эффекти деб номланады. Масалан, $\omega=10^8$ Гц болған электромагнит түлқиннинг мис металлига кириш шиғурылғаны $s=6 \cdot 10^{-4}$ см бұллады. Кучли магнитик майдонға жойланған металда секин сүннүвчи электромагнит түлқин тиражи мүмкін, натижада скин эффект ійіледі. Масалан, потрий кристалли кучли магнит майдонға жойлаштырылғандын ултрабинафша нурлары учун шаффофф бұлғын қолиши мүмкін. Металларнинг оптик хоссалари уларнинг диэлектрик тиражи реверсивтілігінде көмек көрсетеді:

$$\epsilon(\omega) = \epsilon'(\omega) - i \frac{4\pi}{\omega} \sigma(\omega), \quad (10.92)$$

бунда $\epsilon'(\omega)$ ўтказувчан электронларни ҳисобга олмайдиган диселектрик сингдирувчанлик, $\sigma(\omega)$ — металлнинг ўтказувчанлиги. Металларнинг синдириш кўрсаткичи учун

$$n=n'-i\kappa=\sqrt{\epsilon}, \quad (10.93)$$

бунда κ — ёргуликнинг — электромагнит тўлқиннинг ютилиш коэффициенти.

Инфрақизил ва оптик диапазонлар учун биринчи яқинлашишда

$$\epsilon(\omega) = \epsilon'(\omega) - \left(\frac{\omega_n}{\omega} \right)^2 \quad (10.94)$$

ифода ўринли бўлади. Бунда ω_n ўтказувчан электронларнинг (электронлар плазмасининг) тебраниш такрорийлиги.

$\omega > \omega_n$ да металлда плазма тебранишлари уйғотилади. $\omega < \omega_n$ лар учун металлар шаффофф бўлади. ω ошиши билан металларнинг қайтариш коэффициенти г камаяди ва рентген диапазонида металлар билан диэлектриклар орасида фарқ қолмайди.

Тушиб текислигига қутбланган ёргулик нури металлдан қайта олади (диэлектрикларда қайтмайди).

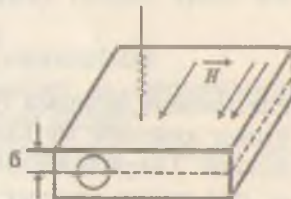
Яси қутбланган ёргулик тўлқини металлдан қайтгач эллиптик қутбланади. Бунга сабаб: тушиб текислигига ва унга перпендикуляр текисликда қутбланган нурлар металлдан қайтгач уларда фазалар фарқи ҳосил бўлади.

10.11. Циклотрон резонанс

Магнит майдонга жойлаштирилган металлдаги ўтказувчан электронларга Лоренц кучи таъсир этади. Бу майдон таъсирида электронлар ҳаракатига майдон йўналишига тик текисликли айланма ҳаракат кўшилади. Агар электроннинг эркин югуриш масофаси айлана узунлигидан катта бўлса, ҳаракат давомиди электрон ўз энергиясини йўқотмайди. Электроннинг айланниш такрорийлиги,

$$\omega_r = \frac{eH}{mc} \quad (10.95)$$

муносабат билан аниқланади ва уни циклотрон тақрорийлик деб номланди. Металлга ташқаридан $\omega = \omega_c$ тақрорийликдаги электромагнит түлкін туширсак резонанс ютилиш (ёки қылтыш) ҳодисаси кузатилади. Буни циклотрон резонанс деб айланып узунлигидан катта булиши керак, тоза металларда эркін юғуриш масофаси асосан электронларнинг фононлар билан түкнапшуви натижасида чегараланади. Шунинг учун металларда циклотрон резонанс $T=1+10K$ ларда кузатилади. Бунда электронларнинг фононлар билан түкнашуви жуда кам бўлади. Циклотрон резонансни кузатиш учун магнит майдон металл сиртига параллел йўналтирилади. Электромагнит түлкін айланни орбиталари металл сиртига яқин оғлтнн электронлар билангина тасирлаша оладилар, чунки скин ғифекти туфайли уларнинг металлга кириб бориш масофаси чегараланган бўлди (10.17- чизма). Циклотрон резонанс ҳодисаси металлдаги электронларнинг энергия спектрини, эффективасини аниқлашда қўлланилади. Бу ҳодисаси металлардан ташқари ярим үрганичларда ҳам кузатилади.



10.17- чизма. Циклотрон резонанс ҳодисасига доир.

10.12. Металлардаги плазма тебранишлари

Митъумки, плазма модданинг тўртинчи агрегат ҳолати бўлиб, унинг модда мусбат ва манфий зарядланган зарралар йигиндисидан иборат бўлади. Плазмадаги турли ишорали зарядлар микдори ўзаро ташкили учун электронейтралдир. Металлардаги ўтказувчан электронлар билан қолдиқ атомлар плазма ҳосил қиласи деб қарашимиз мумкин. Бу плазма манфий зарядланган ўтказувчан электронлар «гази» шрикристалл панжарасидаги мусбат зарядланган атомлардан иборат бўлади. Бундай плазма ҳам ўзининг хусусий тебраниш тақрорийлиги ω_l га эга бўлади.

Фариз қиласиз, металлдаги барча ўтказгич электронлар криотип панжарага нисбатан маълум бир масофа x га силкониди. У ҳолда электрон «гази»ни орқага қайтарувчи $n e E$ кучини бўлади. Бунда n — электронлар концентрацияси, E — индекс — электр майдон кучланганлиги.

Бу майдон электрон «гази»нинг силжиши ҳисобига пайдо бўлади. Ушбу қайтарувчи куч таъсирида электрон «гази» тегранма ҳаракатга келади. Бирлик ҳажмдаги электронлар гуруҳи учун ҳаракат тенгламаси

$$nm \frac{dx^2}{dt^2} = -neE = -4\pi n^2 e^2 x, \quad (10.96)$$

еки

$$\frac{d^2x}{dt^2} + \omega_n^2 x = 0. \quad (10.97)$$

Бунда

$$\omega_n = \sqrt{\frac{4\pi ne^2}{m}} \quad (10.98)$$

плазманинг бўйлама тебраниши тақорийлиги деб номланади. Унинг қиймати металлар учун ултрабинафша тўлқинларга мос келади. Тажрибаларнинг кўрсатишича, металлар тақорийлиги ω_n дан кичик ёруғлик нурларини ўтказмайди, аммо $\omega > \omega_n$ ларни эса ўтказиши мумкин.

10.4-жадвалда баъзи металлар учун $\lambda_n = \frac{2\pi c}{\omega_n}$ нинг қийматлари келтирилган.

10.4- жадвал

Металл	Li	Na	K	Rb	Cs
λ_n (хисобланган) (\AA)	1550	2090	2870	3220	3620
λ_n (тажрибада) (\AA)	1550	2100	3150	3400	--

Металлардаги электрон гази тебранишини металлнинг бирор чегараланган қисмida уйғотиш ҳам мумкин. Масалан, кинетик энергияси $1+10\text{кэВ}$ бўлган тез электронларни юпқа металл қатламдан ўтказганимизда улар металлда маълум бир йўналишларда



10.18- чизма. Плазма тебранишларига доир чизми.

тартқылувчи электрон плазмаси тебранишларини ҳосил қиласи (10-18-чизма).

Электрон плазмаси тебранишларининг бундай квантни плазмон деб аталади. Металлга келиб тушган электрон ўз энергиясини узлуксиз эмас, балки бўлаклаб йўқотади. Ҳосил бўлгани плазмонларнинг энергияси ~10 эВ тартибда бўлади.

Саволлар ва масалалар

1. Металлар электр ўтказувчалигининг классик(мумтоз) ва квант назариялари ўртасидаги асосий фарқи нимада?
2. Металларнинг энергетик зоналари тузилиши диэлектрик ишим ўтказгичларнидан фарқини тушунтиринг.
3. Нима учун металларга электромагнит тўлқин чуқур кириб бора олмайди?
4. Циклотрон резонанс ҳодисасини тушунтиринг.
5. Металларнинг диамагнит, парамагнит ва ферромагнит ҳосспарини белгиловчи асосий омилларни айтинг.
6. Металлардаги термоэлектр ҳодисаларини изоҳлаб беринг.
7. Алюминий кристалли учун $T=0$ К даги ферми энергиясини топинг. Ҳар бир алюминий атомига учта эркин электрон тўғри келади деб олинсин.
8. Температураси T бўлган металлдаги электронлар билан тўлиш эҳтимоллиги 0,2 ва 0,8 бўлган сатҳлар энергиялари фарқини топинг (kT -бирлигига).
9. Температураси 18°C бўлган металлдаги ферми энергиясини 0,01 эВ пастдаги сатҳнинг тўлиш эҳтимоллигини топинг.

ХІ БОБ

ЯРИМ ЎТКАЗГИЧЛАР

Электр ўтказувчанлити құймаси металдар ($\sigma = 10^{10} + 10^8 \text{ ом}^{-1} \text{ м}^{-1}$) ва диэлектриктер ($\sigma = 10^{-8} + 10^{-12} \text{ ом}^{-1} \text{ м}^{-1}$) орасыда жойлашған моддаларни ярим ўтказгичлар деб аталацы. Ярим ўтказгичларнинг яна бир мүхим фарқыюни хусусияти шундан иборатки, температура күтарилиши билан уларнинг электр ўтказувчанлити тез ортиб боради. Ушбу моддаларни дастлаб ўрганиш болғанғанда кирилтілген юқоридаги таърифға ҳосириғи кунда бир қатар аниқлайлар күштілген. Бу аниқлайлар уларнинг энергетик зоналари тузылиши, заряд ташувчиларнинг хоссаларидан көлиб чиқады.

Температуранинг етарлича катта оралиғида ярим ўтказгичларнинг электр ўтказувчанлиги экспоненциал үзгаради:

$$\sigma = \sigma_0 \exp(-E_A/kT). \quad (11.1)$$

Бунда E_A ўтказувчанликни фаоллаш энергияси деб номланади ва электронни атомлар билан боғланишининг ўртача энергиясими билдиради. Ҳар қандай температурада иссиқлик ҳаракати энергияси таъсирида ярим ўтказгичдагы валент электронларнинг $\exp(-E_A/kT)$ га пропорционал қисми эркін заряд ташувчилар бұлады. Ярим ўтказгичларнинг ўтказувчанлиги бошқа ташқи таъсирлар (масалан, ёруғлик оқими, зарралар оқими, киришмалар, электр майдон) натижасыда ұам, күп ҳолларда, экспоненциал үзгаради. Шунинг учун улар температурага, киришмалардың мөлдөрінде тағы да барлық тағы да мөлдөрде үзгарады. Ярим ўтказгичларнинг бу хоссасидан турли хил вазифаларни бажарувчи асбоблар, сезгир қурилмалар қилишда фойдаланылады.

11.1 Ярим ўтказгичларнинг турлари

Ярим ўтказгичларни қандай кимёвий элементлардан ташкин түйгиганига қараб тўрт турга ажратиш мумкин.

Биринчи турга элементлар даврий жадвалининг IV гуруҳ элементлари Ge ва Si лар киради. Бу элементлар тўрт валент электронга эга бўлиб, ковалент (атом) боғли кристалл панжараси ёсил қиласидар. Улар бир элемент атомлардан тузилгани учун элементтар (садда) ярим ўтказгичлар дейилади.

Иккинчи тур ярим ўтказгичларга даврий системанинг III гуруҳ элементлари (Al, Ga, In) билан V гуруҳ элементлари (P, As, Sb) нинг бирикмалари киради. Улар $A^{III}B^V$ бирикмалар деб белгиланади ($GaAs$, $InSb$, GaP , InP ва бошқалар). III гуруҳ элементлари учта валент электронга, V гуруҳ элементлари эса беш валент электронга эга, шунинг учун $A^{III}B^V$ кўринишдаги кимёвий элементда ўртacha ҳар бир атом тўрт валент электронга иш бўлади. Уларни олмоссимон ярим ўтказгичлар деб аталади. Кристалл панжарасида ҳар бир атом қўшни атом билан тўрт валенти боғланишлар ҳосил қиласиди. Натижада олмос панжарасига ухшиш кристалл панжараси ҳосил бўлади. Ушбу турдаги модданирши ковалент боғланиш етакчи ўрин тутади, шунинг учун улар Ge ва Si ga ухшашиб хоссаларни намоён қиласиди. Даврий системанинг II ва VI гуруҳ элементлари бирикмаларида ҳам ўртача ҳар бир атомга тўртта электрон тўғри келади ($ZnTe$, ZnS , $CdGe$, CdS ва бошқалар). Лекин уларда ион боғланиш королешиб боғланишга нисбатан етакчи ўрин тутади.

Учинчи тур ярим ўтказгичларга даврий жадвалнинг V ва VI гуруҳларининг баъзи элементлари киради. Гуруҳдаги Se ва Te ярим ўтказгичлик хоссалари Ge ва Si дан ҳам олдин аниқланади. V гуруҳ элементлари As, Sb ва Bi лар ярим металлар бўлиб, уларнинг кўп хоссалари ярим ўтказгичларга ишлайди. $A^{IV}B^VI$ кўринишдаги моддалар (PbS , $PbSe$, $SeTe$, $GeTe$ ва бошқалар) ҳам ўртача беш валент электронга эга. Бу кристаллар ярим ўтказгичли инфракизил нурлар қабуллашади.

VI гуруҳ элементлари (Se, Te, S, O) нинг I-V-гуруҳ элементлари билан ҳосил қилинган кимёвий бирикмалари ичидан

кўп ярим ўтказгич моддалар мавжуд. Масалан, CuO бирикмаси тўғрилагичларда (купроксин тўғрилагич) ва термоэлемент сифатида қўлланилади. Бошқа кўп бирикмаларнинг хоссалари ҳали ўрганилмаган.

Тўртинчи тур ярим ўтказгичларига VI гурӯх элеменatlарининг ўтиш металлари (Ti , V , Mn , Fe , Ni , Sm , Eu ва бошқалар) билан ҳосил қилинган бирикмалар киради. Уларнинг бирикмаларида ион боғланиш устивор бўлиб, кўп бирикмалар магнит хоссаларга эгадир. Масалан, EuO , EuS , CdCr_2Se_4 ярим ўтказгичлари ферромагнитлардир, EuTe , EuSe , NiO лар эса антиферрамагнит хоссага эга. Бундай бирикмаларнинг баъзилари (V_2O_3 , Fe_3O_4 , NiS , Eu_2O ва бошқалар) температура ва босим ўзгариши билан металл ҳолатига ўтиши мумкин.

11.2 Ярим ўтказгичларда хусусий ўтказувчанлик ва зоналар тузилиши

Бегона киришмалар йўқ тоза ҳолдаги ёки киришмалар хиссаси кам бўлган, ярим ўтказгичларнинг электр ўтказувчанлиги хусусий ўтказувчанлик деб номланади. Тоза ярим ўтказгич моддалар паст температурада электр токини ёмон ўтказади. Бунга сабаб, уларда электроннинг энергетик зоналари тўлдирилиши диэлектриклардагига ўхшашибилди. $T=0K$ да ярим ўтказгичларда валент зонаси электронлар билан тўла тўлган бўлиб, унда юқориги зона ўтказувчанлик зонаси буш бўлади (11.1- чизма).

Етарлича паст температура-ларда ўтказувчан зона бўшлиги учун ярим ўтказгич электр токини ўтказмайди. Температура кўтарилиши билан иссиқлук энергияси таъсирида валент зонадаги баъзи электронлар ўтказувчан зонага ўтиб олади. Валент зонада эса мусбат зарядли коваклар ҳосил бўлади. Металлардан фарқли улароқ, ярим ўтказгичларда заряд ташувчилар вазифасини электронлар ва коваклар ўтайди. Ҳақиқий кристалла бу ҳодиса қўйидагича содир бўлали. Ковалент боғланиши ҳосил қилишда қатнишашётган элек-



11.1- чизма. Ярим ўтказгичнинг энергия зоналари .

тромпартан бири иссиқлик мірекатын натижасыда атомдан үшінші әркін электронга айланады (11.2-чизма).

Электрон стишка маёттан болғаниш ҳаракатчан ковакдан ибарат. Эркін электрон ҳам, әркін ковак ҳам кристал панжара буынаб күчінші юриши мүмкін. Күшни болған электрон торғиб оннан натижасыда мазкүр жойда ковак йўқолади, лекин күшни болға ковак ҳосил бўлади. Бу ҳодиса ковакнинг күчінші юришидир.

Унглиган электронлар яна қайтиб ўзи ҳосил қилган ковакка түссе, эркін электрон ва ковак жуфти йўқолади, буни рекомбинация дейилади. Нолдан фарқли температураларда ярим үтказгичларда албатта бундай коваклар ва үтказувчанлик электронлари мавжуд бўлади ва улар электр токини үтказа олади. Ярим үтказгичларнинг бу хоссаси уларни диэлектриклардан фарқлайди. Диэлектрикларда нормал шароитда бундай заряд ташувчиликлар бўлмайди ёки жуда кам миқдорда ҳосил бўлади. Гора ярим үтказгичларда қанча үтказувчанлик электронлари пайдо бўлса, шунча коваклар ҳосил бўлади. Мувозанатий үтказувчанлик электронлари зичлигини n_0 , ковакларнини p_0 деб белгиласак, хусусий үтказувчанлик учун

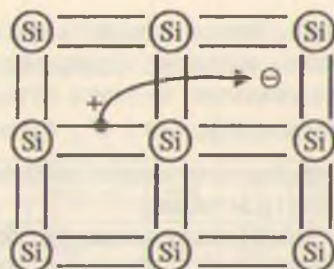
$$n_0 = p_0 = n_i. \quad (11.2)$$

Бундан n_i — хусусий ярим үтказгичдаги заряд ташувчилик зичлиги (Intrinsic — хусусий).

Малзум бир температурадаги заряд ташувчилик миқдори сақиқланган зона кенглигига боғлиқ бўлади. E_g — қанча кичик бўлса, үтказувчанлик электронлари сони шунча кўп бўлади.

Се учун $E_g=0.67$ эВ, Si учун $E_g=1.14$ эВ ни ташкил қиласди. Шунинг учун, масалан, хона температурасыда ($T=300^{\circ}\text{K}$) Ge кристалларидаги үтказувчанлик электронлари зичлиги Si никидан тасминан 10^3 марта катта.

Ярим үтказгичларнинг тақиқланган зона кенглигини оптик янада аниқлаши мүмкін. Бунинг учун ярим үтказгичларда ёргулук нутка ютилиш коэффициентини тўлқин узунлигига боғлиқлиги тасминади. Фотон энергияси $\hbar\omega < E_g$ бўлганда у деярли ютил-



11.2- чизма. Эркін электрон ва ковакнинг пайдо булиши.

майди, чунки унинг энергияси валент зонадаги электронларни ўтказувчанлик зонасига кутариши учун етмайди. $\hbar\omega \geq E_g$ бўлганда фотонларнинг ютилиши бошланади (11.3- чизма).

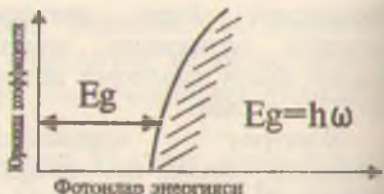
Кристаллда электрон ковак жуфти ҳосил бўлади. Электронларнинг ўтказувчанлик зонасига бундай ўтиш бевосита (яъни тўғри) ўтиш деб номланади. Баъзи ярим ўтказгичларнинг (масалан Ge, Si) зоналар тузилиши мураккаб бўлади. Уларнинг ўтказувчанлик зонасидаги электронлар учун энг кичик энергия (E_{min})га тўғри келувчи тўлқин вектор k_c , валент зонадаги ковакларнинг энг катта энергиясига мос келувчи тўлқин вектори ($k=0$) билан мос келмайди (11.4-чизма).

Энди бевосита ўтиш учун ҳаракат миқдори сақланиш қонуни бажарилмайди. Лекин, бундай ўтишлар фонон ҳосил бўлиши билан амалга ошиши мумкин. Унда энергия сақланиш қонуни $\hbar\omega_\phi = E_g + \hbar\omega_q$. Импульснинг сақланиш қонуни эса

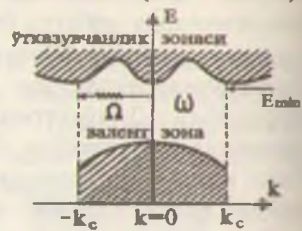
$$k_\phi = k_c + k_q \quad (11.3)$$

куринишда ёзилади.

Бунда ω_ϕ ва k_ϕ лар уйғотилган фотоннинг такрорийлиги ва тўлқин вектори. Ёрглик таъсирида электронларнинг бундай ўтиши билвосита ўтиш деб номланади. Билвосита ўтишда ярим ўтказгичларнинг тақиқланган зона кенглигини тўридан тўғри аниқлаб бўлмайди. Тақиқланган зона чегараси силжиган бўлади. Ярим ўтказгичда ютилган фотон эркин электрон ва ковак ҳосил килади. Энергиянинг бир қисми эса $\hbar\omega_q$ энергияли фонон ҳосил қилишга сарфланади. Баъзи ярим ўтказгичлар учун тақиқланган зона кенглиги 11.1-жадвалдид



11.3- чизма. Ярим ўтказгичда ёрглик ютилишига доир.



11.4- чизма. Тўғри ва нотўғри ўтишлар.



11.5- чизма. Бевосита ўтишлар чегараси.

Көлтирилган d – ҳарфи билан бевосита ўтиш, i – ҳарфи билан билинсита ўтиш кузатилган ярим ўтказгичлар белгиланган.

11.1-жадвал

Номи кристалла	Ўтиш түри	E_A , Эв		№	Яромынчи кристиал	Ўтиш түри	E_A , Эв	
		0°К	300°К				0°К	300°К
Si	i	1,17	1,14	9	Te	d	0,33	-
Ge	i	0,74	0,67	10	PbS	d	0,29	0,35
InP	d	0,23	0,18	11	PbSe	d	0,17	0,27
InAs	d	0,36	0,35	12	PbTe	d	0,19	0,3
AlP	d	1,29	1,35	13	CdS	d	2,58	2,42
AlAs	i	2,35	2,26	14	CdSe	d	1,84	1,74
AlAs	d	1,52	1,43	15	CdTe	d	1,61	1,45
AlP	i	1,65	1,52	16	SnTe	d	0,3	0,18

11.3. Эффективли масса

Әркин электроннинг энергияси E унинг импульси билан қўйилагича боғланган,

$$E(p) = \frac{p^2}{2m}, \quad (11.4)$$

m – электроннинг тинчликдаги массаси. Лекин электронларни бошқа элементар зарралар, квант механикасида куролтилганидек, икки ёқлама табиатга эгадир. Мазкур зарралар үзини (λ – тўлқин узунлигига эга бўлган) тўлқин сингари тутади (корпускуляр-тўлқин дуализми). Ҳар бир заррага $\vec{k} = \frac{2\pi}{\lambda} \hat{n}$ тўлқин векторини мос қўйишимиш мумкин. Унда электронларнинг импульси

$$\vec{p} = \hbar \vec{k} \quad (11.5)$$

бўлади. Электрон кристалл панжараси ичидаги ҳаракатланганда унинг ҳаракат тезлиги \vec{v} тўлқин пакетининг гурухий тезлигига тонг деб олинади:

$$\vec{v} = \frac{\partial E}{\partial \vec{p}} = \frac{1}{\hbar} \cdot \frac{\partial E}{\partial \vec{k}}. \quad (11.6)$$

Электрон ташқи электр майдон таъсирида тезланиш олсин. Унда унинг тезланиши

$$\ddot{a} = \frac{d\vec{v}}{dt} = \frac{d}{dt} \left(\frac{1}{\hbar} \cdot \frac{\partial E}{\partial \vec{k}} \right) = \frac{1}{\hbar} \left(\frac{\partial^2 E}{\partial \vec{k} \partial t} \right) = \frac{1}{\hbar} \cdot \frac{\partial^2 E}{\partial \vec{k}^2} \cdot \frac{d\vec{k}}{dt}. \quad (11.7)$$

Бу ифодадаги $(\frac{d\vec{k}}{dt})$ ни $(\frac{\partial \vec{p}}{\hbar \cdot dt})$ га алмаштиришимиз мүмкін, у ҳолда

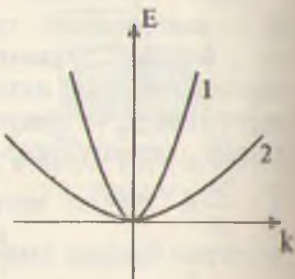
$$\vec{a} = \frac{1}{\hbar^2} \cdot \frac{\partial^2 E}{\partial k^2} \cdot \frac{d\vec{p}}{dt} = \frac{1}{\hbar^2} \cdot \frac{\partial^2 E}{\partial k^2} \cdot \vec{F}. \quad (11.8)$$

Бунда $\vec{F} = \frac{d\vec{p}}{dt}$ электронга таъсир қилувчи умумий күч.

Охирги муносабатдаги \vec{F} күчнинг олдидағи күпайтувчи теска-ри масса маъносини англатади.

$$\frac{1}{m^*} = \frac{1}{\hbar^2} \cdot \frac{\partial^2 E}{\partial k^2}. \quad (11.9)$$

Ушбу масса электроннинг ҳақиқий гравитацион массаси (m_e) га тенг бўлиши ҳам, тенг бўлмаслиги ҳам мумкин. m^* – электроннинг кристалл панжарадаги ҳаракатининг **эффективли массаси** деб номланади. Кристалл панжараси бўлмагандан ҳамма электронлар бирор \vec{E} ташқи электр майдон таъсирида бир хил тезланиш олган бўлар эди. Ўша \vec{E} майдон турли кристалл жисмларда ҳосил қилинганда ундаги электронлар ўзларини массалари турлича бўлган зарралардек тутади. Демак, эффективли масса бу электронларнинг кристалл панжараси билан таъсирилашувчи хоссаларидан келиб чиқувчи катталик экан. Коваклар ҳам ҳеч қандай гравитацион массага эга эмас. Аслида улар кристалл панжарасидаги атомлар атрофидаги мусбат заряди кўпроқ бўлган соҳалардир. Шунга қарамасдан, ташқи электр майдон таъсирида коваклар ўзларини маълум бир m^* эффективли массага эга бўлган заррадек тутади. Эффективли массанинг ажойиб хоссаларидан бири шундан иборатки, у мусбат ва манфий қийматга эга бўлиши мумкин. Манфий эффективли массали электрон ташқи электр майдон таъсирида секинлашади. Бунда электроннинг панжара билан эластик тўқнашиш на-тижасида олган тескари импульси электр майдон таъсирида олган импульсдан катта бўлали. Натижада электроннинг уму-

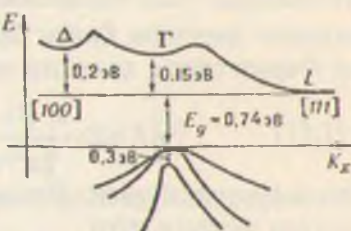


11.6- чизма. Рухсат этилган зона тармоқлари.

ний дрейф тезлиги камайиб боради. Эффективли масса $E(k)$ функцияниң күринишига бөлгілік. Агар $E(k)$ тез үзгарувчи функция бұлса, унға мос келувлі эффективли масса кичик бўлади. $E(k)$ секин үзгарса (11.6- чизма, 2), у ҳолда заряд ташувчиларниң эффектив массаси катта бўлади. Монокристалларниң зоналари тузилиши кристалл панжарасидаги пўналишига бөлгілік бўлади. Бу ўз навбатида эффективли массасини анизотропиясини көлтириб чиқаради, яъни заряд ташувчиларниң эффективли массаси турли кристаллографик пўналишларда турлича бўлади. У ҳолда (11.9) ифода кўйинлагича кўринишда ёзилади:

$$\frac{1}{m_i} = \frac{1}{\hbar^2} \cdot \frac{\partial^2 E}{\partial k_i \partial k_j}. \quad (11.10)$$

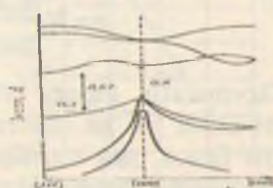
Бунда i, j лар 1, 2, 3 қисынчиларни қабул қиласи. 11.7- чизмада тоза германийининг (Ge) иона тузилиши көлтирилган. $E(k)$ графигидан кўриниб турибдикি, се да учта энергетик минимум бўлиб, улар Δ, Γ ва L ҳарфлари билди белгиланган. Тақиқланган иона кенглиги E_g энг кичик бўлган энергетик минимум бўлиб, унда $E_g = 0,74$ эВ ни ташкил этади. Бу минимум кристаллда [111] пўналишдаги Бриллюэн зонаси яқинида жойлашган. [100] пўналишдаги Δ минимум учун $E_g = 0,94$ эВ ни ташкил итади. Бу икки пўналишларда заряд ташувчиларниң эффективли массаси ҳам турлича бўлади.



11.7- чизма. Германийда энергия зоналари тузилиши.

11.4. Хусусий ярим ўтказгичларда электронлар ва коваклар зиёлиги

Ярим ўтказгичлардаги заряд ташувчилар зичлиги E_k ва T га бөлгипқилигини кўриб чиқамиз. Бунинг учун T температурада вакеи зонадан ўтказувчанлик зонасига ўтиб олган электронлар сонининг кимёвий потенциал μ



11.8- чизма. Изотроп ярим ўтказгичининг зоналар диаграммаси.

(ёки Ферми энергияси сатҳи E_F) га боғлиқдигини топамиз. Изотроп ярим ўтказгич валент зонаси шипини $E_v = 0$ деб оламиз (11.8- чизма).

Ўтказувчанлик зонасида E қийматли энергияга эга бўлган электрон учун

$$E = Eg + \frac{\hbar^2 k^2}{2m_n} \quad (11.11)$$

муносабат ўринли бўлсин.

Ўтказувчанлик зонасидаги электронлар учун $E - \mu \gg kT$, у ҳолда электронларнинг Ферми Дирак тақсимотини

$$f_n = \exp\left(\frac{E_F - E}{kT}\right). \quad (11.12)$$

кўриннишида ёзиб олишимиз мумкин. Бунда $f_n - E$ энергияли сатҳнинг электрон билан банд эканлигининг эҳтимоллиги, E_F аса Ферми сатҳи, ҳолатлар зичлиги учун

$$g(E)dE = \frac{1}{2\pi^2} \cdot \left(\frac{2m_n}{\hbar^2}\right)^{\frac{1}{2}} \cdot (E - Eg)^{\frac{1}{2}} dE. \quad (11.13)$$

Ифода ўринли бўлади. Ўтказувчанлик зонада жойлашган электронлар зичлиги учун

$$n = \int_{Eg}^{\infty} g(E) \cdot f_n(E)dE = \frac{1}{2\pi^2} \cdot \left(\frac{2m_n}{\hbar^2}\right)^{\frac{3}{2}} \cdot \exp\left(\frac{E_F}{kT}\right) \int_{Eg}^{\infty} (E - Eg)^{\frac{1}{2}} \exp(-\frac{E}{kT})dE \quad (11.14)$$

Интеграл олингандан сўнг:

$$n = 2 \left(\frac{m_n k T}{2\pi\hbar^2} \right)^{\frac{3}{2}} \exp\left(\frac{E_F - Eg}{kT}\right). \quad (11.15)$$

Юқоридаги ифода ўтказувчанлик зонадаги электронлар зичлигининг T ва E_g га боғланишини кўрсатади. Агар E_F маълум бўлса, уни ихтиёрий T ва E_g лар учун ҳисоблаб топиш мумкин. Энди худди шу таътибда ярим ўтказгичлардаги коваклар зичлиги р нинг T ва E_g га боғланишини аниқлаймиз. Ко-

иқклирнинг тақсимот функцияси электронларнинг тақсимот функцияси f_p билан қўйидагича боғланганч:

$$f_p = 1 - f_n. \quad (11.16)$$

У ҳолда

$$f_p = 1 - \frac{1}{\exp(\frac{E - E_F}{kT}) + 1} = \frac{1}{\exp(\frac{E_F - E}{kT}) + 1} \approx \exp(\frac{E - E_F}{kT}). \quad (11.17)$$

m_p^* — ковакнинг валент зонаси шипидаги эффективли массаси. Коваклар учун ҳолат зичлиги,

$$g_p(E)dE = \frac{1}{2\pi^2} \left(\frac{2m_p^*}{\hbar^2} \right)^{\frac{3}{2}} (-E)^{\frac{1}{2}} dE \quad (11.18)$$

котиклар зичлиги эса,

$$p = \int_{-\infty}^{0} g_p(E) f_p(E) dE = 2 \left(\frac{m_p kT}{2\pi\hbar^2} \right)^{\frac{3}{2}} \exp\left(-\frac{E_F}{kT}\right) \quad (11.19)$$

(11.15) ва (11.19) ифодаларни бир бирига кўпайтирамиз,

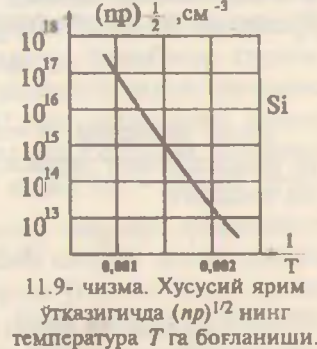
$$np = 4 \left(\frac{kT}{2\pi\hbar^2} \right)^{\frac{3}{2}} (m_n^* m_p^*)^{\frac{3}{2}} \exp\left(-\frac{E_F}{kT}\right) = n_i^2 \quad (11.20)$$

бу ифода мувозанатий ҳолат учун ўринли бўлиб, ҳаракатдаги мағталар қонуни деб номланади.

Ушбу муносабат хусусий бўлмаган ярим ўтказгичлар учун ҳам ўринити, чунки биз ҳали хусусийлик тўғрисида бирор тахмин киритмислик. Ифоданинг яна бир кулийиги шундан иборатки, унда E_F шини қиймати қатнашмайди. Хусусий ўтказувчанлиги учун ифода қўйидаги кўрнишга келади.

$$n_i = p_i = 2 \left(\frac{kT}{2\pi\hbar^2} \right)^{\frac{3}{2}} (m_n^* m_p^*)^{\frac{3}{2}} \exp\left(-\frac{E_F}{2kT}\right). \quad (11.21)$$

Кремний учун (11.21) ифода ёрдамида ҳисобланган (пр) $^{1/2}$ шини T га боғланиши 11.9- чизмада көлтирилган (узлуксиз чизик).



11.9- чизма. Хусусий ярим ўтказгичда $(np)^{1/2}$ нинг температура T га боғланиши.

Графикдаги нүкталар тажрибада ўлчанған қыйматлар. $T=300\text{K}$ да кремний учун $n_p=4,6 \cdot 10^{19} \text{ cm}^{-3}$, германий учун эса $n_p=3,6 \cdot 10^{27} \text{ cm}^{-3}$. Ҳисоб-китобларда $m_n^*=m_p^*=m_e$ деб олинган.

Хусусий үтказувчанлик учун $p=n$, шунинг учун (11.15) ва (11.19) ифодаларни тенглаб

$$\exp\left(\frac{2E_F}{kT}\right) = \left(\frac{m_p^*}{m_n^*}\right)^{\frac{3}{2}} \exp\left(\frac{E_g}{kT}\right) \quad (11.22)$$

ни ҳосил киласиз. Охирғи натижани логарифмлаб E_F га нисбатан ечамиз:

$$E_F = (1/2)E_g + (3/4)kT \ln(m_p^*/m_n^*) \quad (11.23)$$

Агар $m_n^*=m_p^*$ ва $T=0^\circ\text{K}$ бўлса, $E_F=(1/2)E_g$, температура ортиши билан, агар $m_p^*/m_n^*>1$ бўлса, Ферми сатҳи кўтарилади, $m_p^*/m_n^*<1$ бўлса, у пасаяди (11.10- чизма).

Агар $E_c=0$ деб олинса, E_g олдидағи ишора ўзгаради.

11.5. Заряд ташувчилар ҳаракатчанлиги.

Заряд ташувчилар ҳаракатчанлиги деб уларнинг дрейф тезлигини электр майдон кучланғанлигига нисбатига айтилади.

$$\mu_n = \frac{|v_n|}{E} \quad (11.24)$$

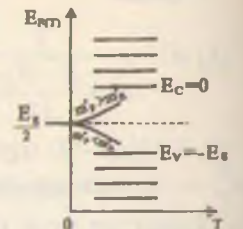
Унинг ишораси электронлар ва коваклар учун бир хил бўлади. Тоза ярим үтказгичларда ҳаракатчанлигинг қийматини электронларнинг фононлар билан тўқнашуви аниқлайди. Электр үтказувчаник иккита ташкил этувидан иборат бўлади:

$$\sigma = (n e \mu_n + p e \mu_p). \quad (11.25)$$

Ушбу ифодани $\sigma = n e^2 \tau / m$ билан таққосласак, электрон ва ковакларнинг ҳаракатчанлиги учун қуйидаги муносабатларни топамиз:

$$\mu_n = \frac{e \tau_n}{m_n}; \quad \mu_p = \frac{e \tau_p}{m_p}. \quad (11.26)$$

11.2.-жадвалда баъзи бир ярим үтказгичлар учун хона температурасидаги ҳаракатчанлиги келтирилган.



11.10- чизма. Хусусий ярим үтказгичда Ферми сатҳи $E_F(T)$.

11.2- жадвал

Кристалл номи	Характеристик, см ² /В сек	
	μ_n	μ_p
Олмос	1800	1200
Si	1300	500
Ge	4500	3500
InSb	77000	750
InAs	33000	460
InP	4600	150
GaSb	4000	1400
PbS	550	600
PbSb	1020	930
PbTe	1620	750
AgCl	50	-
KBr (100°K)	100	-

11.6. Ярим ўтказгичда киришмалар

Ярим ўтказгич кристалл панжарасига ёт атомларнинг муни миқдорда кириб қолиши натижасида киришмали ярим ўтказгич ҳосил бўлади. Жуда кам миқдордаги киришмалар ҳам ярим ўтказгичларнинг физик хоссасига катта таъсир кўрсатади. Масалан, тоза кремний кристаллига 0,00001% Бор атомлари киритилганда унинг электр ўтказувчанлиги хона температурасида 100000 марта ошиб кетади.

Кристалл панжарасидаги киришмалар одатда нуқсон қисобланади. Агар киришма кристалл панжарасидаги асосий момент ўрнини эгаллаб олган бўлса уни ўринбосар қаттиқ үритма дейилади. Киришма кристалл панжарасидаги атомлар орасига кириб қолган бўлса сукілма қаттиқ үритма деб аталади. Киришма ва асосий модда эффектив атом радиуслари орасидаги фарқ 15% дан ошмаган ҳолларда ўринбосар киришмалар ҳосил бўлади. Ундан ташқари киришма валентлигининг ишкний атом валентлигидан фарқи ± 1 дан ошмаслиги лозим. Сукілма киришма ҳосил бўлиши учун эса киришма атомнинг ийюктив радиуси $r_{ap} \leq 0,59 r_a$ бўлиши керак (r_a – асосий атом-ионнинг эффектив радиуси). Киришмалар панжара даврийлигини бувади, тақиқланган зонада маҳаллий сатҳлар ҳосил қиласади. Кўп ҳолларда маълум бир параметрли ярим ўтказгич ҳосил қиласади. Кўп ҳолларда маълум бир параметрли ярим ўтказгичларни киритилди, буни ярим ўтказгичларни киритиш деб аталади. Киришма ҳосил қиласади маҳаллий сатҳ

ұтказувчанлик ёки валент зонасига яқын жойлашган бұлса *саёс сатқ* деб номланади (11.11-чизма). Агар маҳаллий сатқлар тақиқланған зона үртасига яқын жойлашган бұлса чуқур *сатқ* дейилади.

Ионланиш жараёнида ұтказувчан зонага күшімча электрон берувчи киришма *донор киришма* деб аталади. Мисол тарықасыда кремний кристаллиға кириб қолтан маргумуш (*As*) атомни күриб чиқайлык (11.12- чизма). Ушбу атом бешта валент электронга эга бўлиб, улардан тўрттаси кремний атоми билан ковалент боғ ҳосил қилипда қатнашади.

Бешинчи валент электрон эса унга заиф боғланған ҳолда бўлади. Бу электронларнинг атомга боғланиш энергиясини топиш учун уни водородсимон атом деб қарашимиз мумкин. Эркин *As* атомида

$$E_i = -\frac{m_0 e^4 z^2}{2 \hbar^2}. \quad (11.27)$$

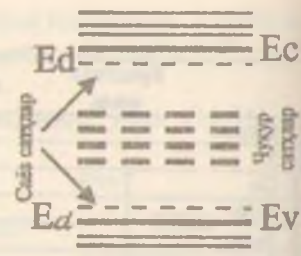
Дизэлектрик сингидирудукчанлиги ϵ бўлган кремний кристаллида бу энергия e^2 марта кичраяди.

$$E_d = -\frac{m_n^* e^4 z^2}{2 \hbar \epsilon^2}. \quad (11.28)$$

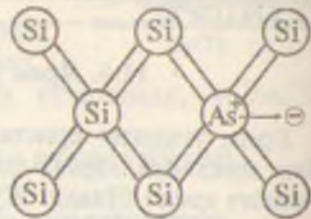
Бундан m^* — кристалдаги электроннинг эффектив массаси, m_0 эркин электрон массаси. У ҳолда

$$E_d = E_i \frac{m_n^*}{\epsilon^2 m_0}. \quad (11.29)$$

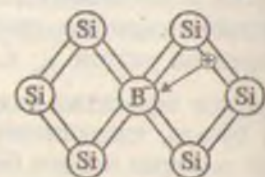
Кремний учун $\epsilon = 11$ әВ, $\frac{m^*}{m_0} \langle 1$ ва *As* учун $E_i \approx 10+15$ әВ эканлигини ҳисобга олсак, E_d нинг әВ улушларига тенг бўлган кичик қийматга эгалигини аниқлаймиз. Демак, кри-



11.11- чизма. Саёс ва чуқур сатқлар.



11.12- чизма. Донор киришма ўзидан электронни бўшатади.



11.13- чизма. Акцептор киришма ўзига электронни олади.

сталл панжарадаги маргумуш атомининг бешинчи валент электронини узиб олиш учун жуда кичик энергия кифоя экан. Даражакиқат, маргумиш тақиқланган зонада ўтказувчаник зонасига яқин бўлган донор сатҳ E_d ҳосил қиласди (11.13- чизма). Нормал шароитдаги температурада бу сатҳдаги электрон ўтказувчаник зонасига ўтиб кетган бўлади. Натижала киришмали кремний кристаллида ўтказувчан электронлар сони кўпайиб кетади. Бундай ярим ўтказгичлар n — тур ярим ўтказгич деб аталади. n — турдаги ярим ўтказгичларда ўтказувчан электронлар сони соғ ярим ўтказгичнидан кўп бўлади.

Энди Бор (B) атомлари киритилган кремний кристаллини кўриб чиқамиз. Бор атоми уч валентли бўлиб кремний атомлари билан ковалент бօғ ҳосил қилиш учун бир электрон етишмайди. Бу электронни Бор атоми қўшни кремний атомидан тортиб олиши мумкин. Бунинг учун E_a энергия керак бўлади. Юқоридаги мулоҳазаларни қайтариб E_a учун ҳам (11.28) га ухшаш ифода ҳосил қилишимиз мумкин. E_a нинг қиймати хона температураларида 0,1 эВ га яқинидир. Бу энергия сатҳи валент зона яқинида жойлашган бўлиб акцептор сатҳ деб номланади. Акцептор киришмали ярим ўтказгичларда тоза прям ўтказгичга нисбатан коваклар сони кўп бўлади. Бундай прям ўтказгичларни ковак ўтказувчанили ёки p — тур ярим ўтказгичлар дейилади.

Киришма атомларининг микдорини ошириб борсак улар кристалл панжарасида бир-бирига яқин келиб қолади, натижала уларнинг электрон тўлқин функциялари устма-уст тушиб кристалл панжарасида киришмавий зона ҳосил қиласди. Киришма атомларининг зичлиги

$$N_k = 2,2 \cdot 10^{24} \left(\frac{m}{m_0 \epsilon} \right)^3. \quad (11.30)$$

булгандан бошлаб киришмавий зона ҳосил бўла бошлайди. Пур ўтказувчаникка эга бўлган кремний учун $N_k \approx 10^{19} \text{cm}^{-3}$ ни ташкил этади. Киришмавий зона ҳосил қилувчи ярим ўтказгичлар кучли легирланган ярим ўтказгичлар деб аталади.

Балан киришмалар бир неча сатҳлар ҳосил қиласди, уларнинг батзилари донор, бошқалари акцептор бўлиши мумкин. Бундай киришмалар амфотер киришмалар деб аталади.

Ярим ўтказгичдаги киришма сатҳлари ундаги жуда кўп ва турли туман жараёнларда муҳим ўрин тутади. Ҳозирги замон

электроникаси учун ярим үтказгичтарга киришмалар киритиш билан узар параметрниң кераклы томонга үзгартырыш мұхим масалалардан бирилір.

11.7. Компенсиранган ярим үтказгичлар

Ярим үтказгич маңынан бир киришмалар киритиш натижасыда улардан заряд ташувчиларнинг тұла зичлиги нөр ни камайтиришимиз мүмкін. Бундай камайтириш усули *компенсираш* деб номланады, ярим үтказгични эса *компенсиранган ярим үтказгич* дейиләди. Компенсираш ёрдамида ярим үтказгич параметрларини кераклы томонға үзгартыры ҳозирги пайдалаңдарб мұаммалардан бирига айланиб қолади. Кераклы хоссатта эта бұлған янты тур ярим үтказгич модда ҳосия қилишіга иисбатан легирланш ёрдамида уннан хоссаларини үзгартыриши аяча арzon ва тездір. Компенсиранган ярим үтказгич хоссалари компенсираш даражасы (К) дан ташқари, компенсировчи марказлар табиатта ҳам күчли болғанған. Шунинг учун ҳозир компенсиранган ярим үтказгичларни уч турға ажратиш мүмкін.

1. Күчли легирланган компенсиранган ярим үтказгичлар (КЛК). Бундай ярим үтказгичларда компенсировчи марказ сифатида бир зарядты саёз сатқа ҳосил қылувчи киришмалар олинады.

2. Юқори энергиялы зарражар оқими билан нурланған ярим үтказгичлар. Компенсировчи марказ сифатида тұрғын чуқур сатқалы рационалы марказлар ва катта ҳажмалы нұқсанлар (масалана, тартибсизланған қысмалар (ТК)) мұхим үрин әттілайди.

3. Чуқур энергетик сатқа ҳосил қылувчи киришмалар билан компенсиранган ярим үтказгичлар. Бундай ярим үтказгичларда катта амплитудалы флюктуациян потенциаллар ва тартибсизланған қысмалар бўлмайди.

11.8. Айниған ярим үтказгич

Квант механикасида айниши деб системаны тұрғын (бир неча) ҳолатларига бирор физик катталикининг (масалан, энергиянын) биттә қиіматы мөс келишиңа айналады. Ярим үтказгичларда үтказувчан электронлар ва коваленттар ғалымынан шаралыча катта бўлғандан айниш кузатылады. Бунда ярим үтказгичлар айниған ярим үтказгичлар деб номланады. Айни-

тән ярим ўтказгичларда заряд ташуучилар Ферми-Дирак тақсимотига бүйсунади. n — турдаги айнитан ярим ўтказгичларда Ферми саты (E_F) ўтказувчанлик зонасида жойланади, p — турдаги айнитан ярим ўтказгичда эса E_F валент оналда жойлашган бўлади

n — турдаги ярим ўтказгич учун бу шартни

$$\exp\left(-\frac{E_F}{kT}\right) \gg 1 \text{ ёки } E_F \gg 0 \quad (11.31)$$

курининиша ёзишимиз мумкин, p - тур учун эса,

$$\exp\left[\frac{(E_K + E_F)}{kT}\right] \gg 1 \text{ ва } E_F \ll -E_K \quad (11.32)$$

бўлади. Сферик энергия зонасига эга бўлган изотрои n — тур ярим ўтказгич учун

$$n = \frac{4}{3\sqrt{\pi}} \cdot \left(\frac{E_F}{kT}\right)^{\frac{3}{2}}, \quad (11.33)$$

ифодало ўринли бўлади.

11.9. Айнимаган ярим ўтказгич

Ўтказувчан электронлар ва коваклар зичлиги етарида кичик бўлган ярим ўтказгичларни айнимаган ярим ўтказгичлар леб номланади. Айнимаган ярим ўтказгичдаги заряд ташуучилар Максвелл-Болцман тақсимотига бўйсунади. Айнимаганлик шарти ($E_c=0$)

$$\exp\left(-\frac{E_F}{kT}\right) \gg 1 \quad (11.34)$$

курининиша ёзилади. Бунда Ферми энергияси E_F тақиқланган юна ичидаги бўлади. Мувозанитий ҳолатдаги электронлар ва коваклар зичлиги учун қўйндаги ифодалалар ҳосил қилишимиз мумкин:

$$n_0 = N_e \exp\left(-\frac{E_F}{kT}\right), \quad (11.35)$$

$$p_0 = N_v \exp\left(-\frac{E_K + E_F}{kT}\right). \quad (11.36)$$

$$n_0 p_0 = n_e^2. \quad (11.37)$$

Бунда $N_c = 2 \left(\frac{2\pi m_e^* kT}{h^2} \right)^{\frac{3}{2}}$ ва $N_v = 2 \left(\frac{2\pi m_e^* kT}{h^2} \right)^{\frac{3}{2}}$ лар электрон ва ковалар учун ҳолатларнинг эффектив зичлиги деб номланади.

11.10 Ярим ўтказгичларнинг электр ўтказувчанлиги

Изотроп ярим ўтказгичларнинг электр ўтказувчанлиги учун (11.24) ифодани ҳосил қилган эдик. Хусусий ўтказувчанликда ушбу ифода қўйидаги кўринишга келади,

$$\sigma_i = (\mu_n + \mu_p) e n_i \quad (11.38)$$

(11.21) дан фойдаланиб

$$\sigma_i = 2e(\mu_n + \mu_p) \left(\frac{kT}{2\pi h^2} \right)^{\frac{3}{2}} \left(\frac{m_e^* m_h^*}{m_e m_h} \right)^{\frac{3}{4}} \exp\left(-\frac{E_g}{2kT}\right) \quad (11.39)$$

муносабатини оламиз. Кўриниб турибдики, олинган натижа мегалларнинг ўтказувчанлигидан катта фарқ қиласди. Ярим ўтказгичларнинг ўтказувчанлиги температура ортиши билан экспоненциал ортиб боради. Бундан ташқари ўтказувчанлик электронлар ва коваларнинг ҳаракатчанлигига ва эффектив массаларига боғлиқ. Тақиқланган зона кенглиги E_g ярим ўтказгичларнинг ўтказувчанлигини белгиловчи муҳим омиллардан ҳисобланади. Кирешмали ярим ўтказгичларнинг электр ўтказувчанлиги кўп омилларига боғлиқ ва мураккаб бўлганилиги учун бу ерда кўриб ўтмаймиз. Хусусий ўтказувчанликнинг температурага боғланиши заряд ташувчилар ҳаракатчанлигинин температурага боғланишидан келиб чиқади. Ҳаракатчанлик ўз навбатида (11.25) га мувофиқ, заряд ташувчиларнинг релаксация вақтлари τ_p ва τ_n ларга боғлиқ бўлади.

Релаксация вақти заряд ташувчиларнинг кристалл панжасидаги сочилиш турига қараб температурага турлича боғланган. Ҳаракатчанлик ҳам мос ҳолда температурага турлича боғланади. 11.3-жадвалда $\mu(T)$ ни сочилиш турига қараб температурага боғланиши келтирилган.

11.3-жадвал

Сочилин түри	$\mu(T)$
1. Акустик төбәрәнишлар	$T^{-3/2}$
2. Оптик төбәрәнишлар (юқори T лар соңасы)	$T^{-1/2}$
3. Оптик төбәрәнишлар (паст T лир соңасы)	$\exp(h\nu_0/kT)$
4. Кирешма ионлари	$T^{3/2}$
5. Дислокациялар	$T^{-1/2}$

(11.39) дан күриниб турибдики,

$$\sigma \sim T^2 \exp\left(-\frac{E_g}{2kT}\right)^{\frac{3}{2}}$$

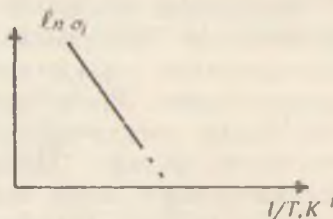
Күринишила температурага боғлиқ.

Түр функцияя экспоненцигата нисбатан сескин ўзгаргани учун бу боғлиқтукни күрсаткичли деб олишимиз мүмкін. (11.14-чизма).

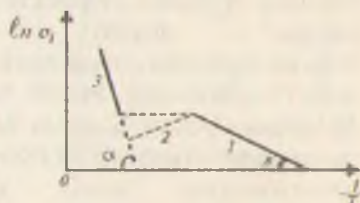
Кирешмали ярим ўтказгичлар үшүн бүндай график уч қысмдан иборат бўлади (11.15- чизма). Паст температуралардан бошлаб кирешма атомлари тўлиқ ионлашиб бўлгунча электр ўтказувчанлик $\exp\left(-\frac{E_i}{2kT}\right)$ қонун бўйича ўзгаради.

Бунда i — тур ярим ўтказгичдаги донорлар ўз электронларини валент зонага узатади. Агар ярим ўтказгич p — тур бўлса акцептор кирешмалар валент зонадан ўнинг электронларни тортиб олади. (11.15- чизма).

О (7) графигининг иккинчи қисмидаги (11.15- чизма, б), кирешмалар тўла ионлашган бўлади. (Яъни $n_0=N_d$ ёки $p_0=N_a$). Бунда зонадаги заряд ташувчилар зичлиги ўзгармайди. $\sigma(T)$ нинг Ўнгариши тўлиқ $\mu(T)$ га боғлиқ бўлади. Температуранинг бу инверсилида $\mu(T)$ камайса $\sigma(T)$ ҳам камаяди, $\mu(T)$ оңса $\mu(T)$ ҳам ортади. Температура яна ортиб бориши билан ярим ўтказгич атомларининг ўтказувчанлик зонасига ўтаётган электронлар зичлиги (еки валент зонасидаги коваклар зичлиги) кирешмалар



11.14- чизма. Хусусий электр ўтказувчанлик.



11.15- чизма. Кирешмавитий электр ўтказувчанлик.

хосил қылған заряд ташувчилар зичлигига тенделешады да улардан ортиб кетады, натижада хусусий үтказувчанык етакчи рол уйнайды (11.15- чизма, с). Бунда $\sigma = \sigma_i = \exp\left(-\frac{Eg}{2kT}\right)$ қонундай үриниلى бўлади. Бу ифодалар киришмалар зичлиги учун катта бўлмаган ҳоллар учун үринилдири.

11.11. Ярим үтказгичларда циклотрон резонанс

Металларда циклотрон резонанс ҳодисаси металл сиртига яқин бўлган электронларда кузатилади. Чунки скин-эффект электромагнит тўлқинларни металл ичкарисига кириши ҳалақит беради. Ярим үтказгичларда эса барча заряд ташувчилар ташкини тўлқинининг ўзгарувчани майдонни ташсивла бўлади. Циклотрон резонанс ёрдамида ярим үтказгичлардаги заряд ташувчиларнинг эффектив масасасини аниқлаши мумкин. Монокристалл ярим үтказгичларда эффективли масса қиймати йўналишига боғлиқ бўлади.

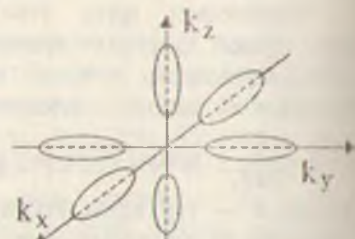
Ярим үтказгичларда турли йўналишлардаги эффективли массалар фарқи 10 мартадан ҳам кўн бўлиши мумкин. Эффектив массалар фарқи ярим үтказгичларнинг энергетик зоналар тузилишиндан келиб чиқади. Масалан, Ge ва Si учун бир хил энергияли сиртлар ($E(p)=\text{const}$) эллипсоидлар ҳосил қиласи.

(11.16- чизма).

Улар учун энергияни

$$E(p) = \frac{p_x^2 + p_y^2}{2m_{\perp}} + \frac{p_z^2}{2m_{\parallel}} \quad (11.40)$$

кўринишда ёзинимиз мумкин. Кремний монокристаллдаги [100] йўналиши эллипсоиддининг симметрия ўқига мос тушади. Бу йўналишдаги эффективли масса m_{\parallel} билан белгизланган, унга кўнилалан икки йўналишида эффективли массалар тен тубиб, улар m_{\perp} . Кўринишда ёзилган. Агар ташқаридан қўйилган доимий магнитик майдон В йўналиши эллипсоида ўқига параллел бўлса, заряд ташувчилар бу магнит майдонидан



11.16- чизма. Кремний учун тен энергияли сиртлар – эллипсоидлар бўлади

$$\omega_{\perp} = \frac{eB}{m_{\perp}} \quad (11.41)$$

такрорийлик билан айланы баштайдылар. Майдон йұналиши эллипсоид үқига тиқ булса,

$$\omega_{\parallel} = \frac{eB}{m_{\parallel}}, \quad (11.42)$$

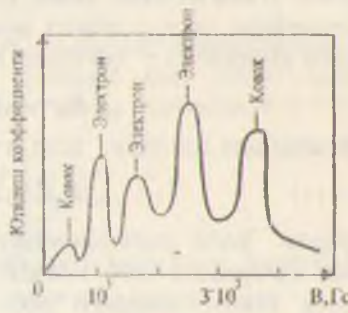
Агар магнит майдон эллипсоид үқи билан θ бұрчак ҳосил қыласа, циклотрон резонанс ёрдамида аниқланған эффектли масса учун

$$\left(\frac{1}{m^*}\right)^2 = \frac{\cos^2 \theta}{m_{\perp}^2} + \frac{\sin^2 \theta}{m_{\perp} m_{\parallel}} \quad (11.43)$$

мүносабат үринитін бұлади. Ге монокристалли учун циклотрон резонанс ютилиши (11.17) шамада көлтирилған. Бунда магнит майдон йұналиши [100] билан 60° ҳосил қиласа. Гипсаридан тушаёттан электромагнит түлкін такрорийлиги 24 ГГц атрофика, температура $T=4\text{K}$. Ютилиши юқори 0.75 пн чүккілар иккі хил эффектив массалы ковак ва уч хил эффектив массалы электрондар бор эканлигини күрсатади.

Хир бир эффектив масса таңқи майдонға маңтум бир бұрчак оствел йұнашын эллипсоид энергетик зонаға мес келади. Ушбу тәжрибадардан Ge учун $m_{\perp}=0.082 m_0$ ва $m_{\parallel}=1.59 m_0$ эканлиги анықталған. Бунда m_0 — электроннинг гравитацион масасы, Si шүптесе $m_{\perp}=1.19 m_0$ ва $m_{\parallel}=0.98 m_0$ ни таңкылған. Ge ва Si таркиннің валент зоналари чети мураккаб күриншілігінде орналасады.

Үлдер енгіл ва оғир эффектив массалы коваклар деб номланады. 11.4-жадвалда баязы ярим үтказғыч монокристалларында электрон ва ковакларнинг нисбий эффектив массалари көлтирилған.



11.17-чында. Ярим үтказғычларда циклотрон резонанс.

11.4-жадвал

Кристалл номи	Тақиқланган зона кенглигиги $E_g, \text{эВ}$	Электроннинг эф-фектли массаси (m^*_n/m_0)	Отири ковакининг эф-фектли массаси (m^*_p/m_0)	Енгил ковакининг эф-фектли массаси (m^*_n/m_0)
InSb	0,23	0,0155	0,4	0,016
InAs	0,36	0,024	0,41	0,026
GaSb	0,81	0,042	-	0,052
GaAs	1,52	0,07	0,68	0,07

Электронларнинг ва енгил ковакларнинг эф-фектли массалари тақиқланган зона кенгайишига пропорционал ҳолда ортиб боради. Ушбу эф-фектли массалар Бриллюэн зонасининг марказидаги ($k=0$) қийматга мос келади.

11.12. Ярим ўтказгичларда Холл ҳодисаси

Холл ҳодисасининг таърифини X бобда келтириб ўтган эдик. Ярим ўтказгичларда Холл ҳодисаси ёрдамида заряд ташувчилар зичилигини аниқлашимиз мумкин. Металлардан фарқли ўлароқ ярим ўтказгич n – тур бўлса Холл коэффициенти

$$R_n = -A_n/e\eta; (A_n=1+2) \quad (11.44)$$

кўринишида ёзилади, агар p – тур ярим ўтказгич бўлса

$$R_p = A_p/e\eta; (A_p=1+2) \quad (11.45)$$

бўлади. Холл доимиjsининг ишораси асосий заряд ташувчилар ишорасига мос келади. Демак, Холл ҳодисаси ёрдамида ярим ўтказгичлардаги асосий заряд ташувчилар ишорасини ҳам аниқлашимиз мумкин.

$$\mu_H \equiv |R_n| \sigma_n = A \mu_n \quad (11.46)$$

катталик Холл ҳаракатчанлиги деб аталади. У дрейф ҳаракатчанлик – μ_n дан фарқ қиласи. A_n , A_p ва A ўлчовсиз катталиклар бўлиб, Холл фактори деб номланади. Уларни қиймати ҳар бир хусусий ҳол учун заряд ташувчиларнинг сочилиш механизмларидан келиб чиқади. Масалан, агар ҳамми электронлар бир хил тезликда ҳаракатланса $A=1$ бўлади.

Сочилиш асосан фононларда содир бўлган ва айнимаган ярим ўтказгич учун $A=3n/8=1.18$ деб олинади. Агар ярим ўтказгичдаги бир хил энергияли ($E(p)=\text{const}$) сиртлар кўринини сфералан катта фарқ қилса $A=0,7$ қийматгача камайиши мумкин. Зарядли марказларда сочилиш механизми устуноң бўлганда $A \geq 1,9$ бўлиши мумкин.

11.13. Магнитик қаршилик ҳодисаси

Токли ярим ўтказгичнинг ток йўналишига тик йуналган \bar{B} магнит майдонга киритсак, ярим ўтказгичнинг электр қаршилиги ортади. Солиширма электр қаршилик ρ , магнит майдон йўқлигига $\rho(0)$ га teng бўлса, у ҳолда солиширма қаршиликнинг нисбий ўзгариши

$$\frac{\Delta\rho}{\rho(0)} = \frac{\rho(B) - \rho(0)}{\rho(0)} = \frac{B^2}{\tau^2} \left\{ \left(\frac{ne^3}{m_n^2} \right)^2 / \bar{\tau}_n \bar{\tau}_n^3 - (\bar{\tau}_n^2)^2 / + \left(\frac{pe^3}{m_p^2} \right)^2 / \bar{\tau}_p \bar{\tau}_p^3 - \right. \\ \left. - (\bar{\tau}_p^2)^2 / + \left(\frac{npe^4}{m_n m_p} \right) / \left(\frac{e}{m_p} \right)^2 \bar{\tau}_n \bar{\tau}_p^3 + \left(\frac{e}{m_n} \right)^2 \bar{\tau}_p \bar{\tau}_n^3 / \right\}. \quad (11.47)$$

Бу муносабатдаги $\bar{\tau}_p$ ва $\bar{\tau}_n$ лар мос ҳолда коваклар ва электронларнинг релаксация вақти, m_n ва m_p лар эфектли массалар. Бу ифодани баъзи хусусий ҳолларда бир мунча содда кўринишга келтириш мумкин. Масалан, донор киришмали n – тур ярим ўтказгич учун

$$\frac{\Delta\rho}{\rho(0)} = \left(\frac{eB}{m_n} \right) \frac{\bar{\tau}^3 \bar{\tau} - (\bar{\tau}^2)^2}{(\bar{\tau})^2} \quad (11.48)$$

бўлади. (11.47) дан кўриниб турибдики магнитик қаршилик майдонга $T-B^2$ кўринишида боғланган экан.

11.14. Ярим ўтказгичларда диффузион ток

Агар ярим ўтказгичларда электронлар ёки коваклар зичлигининг градиенти (фарқи) ҳосил қилинса, яъни n ёки p ярим ўтказгичнинг бир қисмида каттароқ бошқа қисмида эса кичикроқ бўлса, ярим ўтказгич бўйлаб диффузион ток оқади. Ўнида заряд ташувчилар зичлиги каттароқ бўлган жойдан, зичлиги кичикроқ бўлган жойга қараб ҳаракатланади. Диффузион ток ярим ўтказгичлар учун хос бўлган ҳодиса бўлиб, металларда ғулитилмайди. Диффузион ток ҳосил қилишин учун ташқи электрон майдони бўлиши шарт эмас. Ярим ўтказгичда x – ўқи бўйлаб ярд ташувчилар градиенти ҳосил қилинган бўлса, у ҳолда ярим ўтказгичдан ўтгаётган ток зичлиги заряд ташувчилар градиентига пропорционал бўлади:

$$j_n = eD_n \frac{dn}{dx}, \quad (11.49)$$

$$j_p = -eD_p \frac{dp}{dx}. \quad (11.50)$$

Бу ифодаларни уч ўлчовли ҳол учун умумлаштириб,

$$\bar{j}_n = eD_n \nabla n. \quad (11.51)$$

$$\bar{j}_p = -eD_p \nabla p.$$

муносабатларни ҳосил қиласиз. Бунда D_n ва D_p лар мос ҳолда электрон ва ковалкларнинг диффузия коэффициентлари дейи-лади. Ушбу катталикларни Эйнштейн биринчи марта температура билан бөгланишини күрсатиб берди:

$$\begin{cases} D_n = \mu_n \frac{kT}{e}, \\ D_p = \mu_p \frac{kT}{e}. \end{cases} \quad (11.52)$$

Булар Эйнштейн муносабати деб юритилади. Агар ярим ўтказгичга электр майдон ҳам қўйилган бўлса, тўлиқ ток зичлиги дрейф ва диффузион токлар зичлигидан ташкил топади.

$$\bar{j}_n = e\bar{\mu}_n \bar{E} + eD_n \nabla n. \quad (11.53)$$

$$\bar{j}_p = e\bar{\mu}_p \bar{E} + eD_p \nabla p. \quad (11.54)$$

Ушбу муносабатлар унча катта бўлмаган электр майдонлар учун ўринлидир. Агар ярим ўтказгичда электроннинг эркин югириш масофаси ℓ бўлса, шу масофада электроннинг олган энергияси $eE\ell$ бўлади.

$$eE\ell \ll kT \quad (11.55)$$

бўлган ҳоллар учун (11.53) ва (11.54) муносабатлар ўринли бўлади. Акс ҳолда Ом қонуни бузилиб электронларни њаркатчанлиги μ_n ҳам E га боғлиқ бўлиб қолади.

11.15. Ярим ўтказгичларнинг магнит хоссалари

Кўп ярим ўтказгичлар диамагнитлар ҳисобланади. Нормал шароитда улар кучсиз диамагнит хоссасига эга бўлади. Лекин, баъзи парамагнит ўзгаришлар натижасида уларда парамагнит

хоссалари устивор бўлиши мумкин. Бундай ярим ўтказгичларни номагнит яримутказгичлар деб аталади. Бундай ярим ўтказгичларда d ёки f атом қобиқлари тўлмаган, киришмалари пўқ, ёки жуда кам миқдорда бўлган Si, Ge, CdS, CdSe, CdTe ва бошика ярим ўтказгичлар мисол бўла олади. d ва f – атом қобиқлари тўлмаган, киришмалари бор ярим ўтказгичлар $Pb_{1-x}Mn_xTe$, $Pb_{1-x}FeTe$ ҳам мисол бўла олади. Бунда x -индекс d ва f қобиқлари чала тўлган Mn ва Fe киришмаларининг нисбий улуши. Ушбу ярим ўтказгичларда Mn ва Fe киришмаларининг атомлари бир-бирлари билан кучли таъсирашадилар ва старлича кўп атомларнинг магнит моментлари бирлашиб магнит доменлари (зарралари) ҳосил қиласидилар. Бундай ярим ўтказгичлар ферромагнит ва антиферромагнит хоссаларини номоён қиласидилар. Ярим ўтказгичнинг асосий кристалл панжарасини ташкил этган атомлар магнит моментига эга бўлса, уларни магнит ярим ўтказгичлар дейилади. (Масалан, NiO, TcO_4 , EuO, EuS, EuSe, EuTe ва ҳ.к.).

Номагнит ярим ўтказгичларнинг магнит қабулчанилиги З та қисмдан иборат бўлади.

$$\chi = \chi_1 + \chi_2 + \chi_3. \quad (11.56)$$

Бунда χ_1 — кристалл панжарасининг, χ_2 — заряд ташувчиларнинг, χ_3 — нуқсонларнинг магнит қабулчанилиги. Тоза ярим ўтказгич монокристалларнинг тажрибада ўлчанган қабулчанилиги χ_1 ни ташкил этади. Заряд ташувчиларнинг қабулчанилиги χ_2 парамагнит χ_{2n} ва диамагнит χ_{2d} ташкил этувчилардан иборат. Одатда $\chi_{2n} > \chi_{2d}$ бўлгани учун $\chi_2 = \chi_{2n}$ деб олинади. Парамагнит қабулчанилик учун

$$\chi_{2n} = AT^{-\frac{1}{2}} \exp\left(-\frac{Eg}{2kT}\right) \quad (11.57)$$

иғоди ўринили бўлиб, у температурага кучли бояланган. χ_3 ни асосан сийрак жойлашган ўзаро таъсирашмайдиган магнит киришмалар аниқлайди. Бундай киришманинг магнит хоссанинг қўйилаги ортиқча электроннинг спини белгилайди. Ушбу ҳолда қабулчанилик учун

$$\chi_{3n} = \frac{n_k \mu_R}{H} L(\alpha) \quad (11.58)$$

Литакен ифодаси ўринили бўлали. Бунда

$\alpha = \mu_B H / kT$; $L(\alpha) = \sinh \alpha - 1/\alpha$ ва
 n_k киришмадаги ортиқча электронлар зичлиги.

Агар киришмалар мүқдори күп бўлиб, улар киришмавий зона ҳосил қилса, бундай донорларнинг парамагнит қабулчанлиги

$$x_{3n} = c/T^{1-\alpha} \quad (11.59)$$

бўлади. Бунда

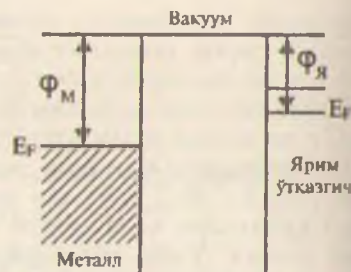
$c = n_k \mu_B (A/m^3)^{\alpha} (1+\alpha)^{-1}$, $\alpha = n_k (Bm^{-3})$; A ва B лар доимий катталиклар. χ_{3n} га ўтиш металлари киришмалари катта ҳисса қўшали (Fe ва бошқалар).

11.16. Ярим ўтказгичларда контакт ҳодисалар. Металл-ярим ўтказгич контакти

Ярим ўтказгичда электр токи ўтказиш учун уни электр манбадан келган металл ўтказгич билан туташтириш (яни, контактлаш) керак. Натижада метал — ярим ўтказгич контакти ҳосил бўлади. Ярим ўтказгичли асбобларнинг деярли барчаси ярим ўтказгичларнинг металл, ярим ўтказгич, диэлектрик билан контакт ҳосил қилиниши натижасида яратилади. Шунинг учун контакт ҳодисаларини ўрганиш муҳим аҳамиятга эга. Қуйида металл билан ярим ўтказгич контактини кўриб чиқамиз. Металл сиртидан иссиқлик ҳаракати таъсирида чиқаётган электронлар оқими учун (10.79) ифода ҳосил қилинган эди.

Ундаги ϕ — термодинамик чиқиш иши деб номланади ва у Ферми сатҳидан вакуум сатҳигача бўлган энергетик масофани билдириди. (11.18- чизма).

Металл ва ярим ўтказгичлар алоҳида вакуумда жойлашганда уларнинг ҳар биридан қўйидаги ифодалар билан аниқланувчи эн стронлар оқими ҳосил бўлади.



11.18- чизма. Металл-ярим ўтказгич контакти.

$$J_R = \frac{4\pi m(kT)^2}{h^3} \exp(-\frac{\varphi_R}{kT}),$$

$$J_M = \frac{4\pi m(kT)^2}{h^3} \exp(-\frac{\varphi_M}{kT}).$$
(11.60)

Энди ярим ўтказгич билан метални туташтирамиз. 11.18 - чизмада күрсатилган ҳол учун $\varphi_m > \varphi_R$, бинобарин $J_R > J_M$ бўлади. Демак, бир хил температурада ярим ўтказгичдан металлга ўтган электронлар сони металдан ярим ўтказгичга ўтаётган электронлар сонидан катта бўлади. Натижада металл сирти манфий, ярим ўтказгич сирти эса мусбат зарядланиб қолади. Конкактда электр майдон ҳосил бўлади ва бу майдон J_R ва J_M оқимлар фарқига тенг тескари оқим ҳосил қилмагунча ортиб борали. Электронлар оқими мувоҷиатлашганда контакдаги электр майдон энергияси Φ_k чиқиш ишлари айирмасига тенг бўлади.

$$\Phi_k = \Phi_M - \Phi_R \quad (11.61)$$

Майдон металл ичкарисига кирмайди, у ярим ўтказгич сиртига яқин қатламда ҳосил бўлади (11.19-чизма).

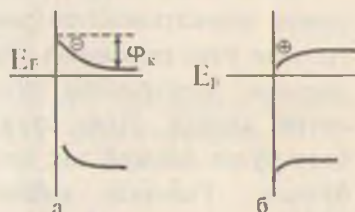
а) Ярим ўтказгичдан металлга ўтган электронлар ҳисобига ярим ўтказгичда электронлар зичлиги камаяди ва энергия зонаси юқорига эгриланади. Ярим ўтказгичнинг ҳажмида n_0 ва сиртидаги n электронлар зичлиги

$$n = n_0 \exp(-\Phi_k/kT) \quad (11.62)$$

куригинида боғланган бўлади.

Бундай қатламнинг солишишима қаршилиги катта бўлганилиги учун уни беркитувчи қатлам дейилади. Агар $\Phi_M < \Phi_R$ бўла, у ҳолда $J_M > J_R$ ва металл сирти мусбат, ярим ўтказгич сирти манфий зарядланади. Энергия зонаси пастга эгриланади (11.19- чизма, б).

Беркитувчи қатламнинг мувозанат шароитдаги кенглиги:



11.19- чизма. Металл-ярим ўтказгич контактида беркитувчи ва беркит-майдиган қатламларнинг пайдо бўлиши.

$$L = \left(\frac{E\varphi_L}{2\pi e^2 n_0} \right)^{\frac{1}{2}}. \quad (11.63)$$

Беркитувчи қатламли металл-ярим үтказгич контактларында ток түргилагичлари булиб хизмат қыла олади. Шундай контакттың металл қисмiga мусбат қутб, ярим үтказгич қисмiga манфий қутб уланган V күчланиши элеktр токи манбани күриб чиқамиз. Бундай уланишда контакт потенциаллар айирмасы камаяди:

$$\varphi = \varphi_K - eV. \quad (11.64)$$

Ярим үтказгичдан металлга томон ҳаракатланаётган электронлар учун потенциал түсік пасаяди, электронлар оқими ортиб кетади. Агар занжир берк бўлса доимий ток ҳосил бўлади. Токниң қиймати күчланиш ортиши билан жуда тез, кўрсаткичли функция сингари ортиб боради (11.20-чизма). Бундай күчланиши тўғри күчланиш деб номланади. Контакт қатлам кенглиги ҳам (11.63) га мувофиқ камаяди:



11.20- чизма. Металл-ярим үтказгич контактининг волт-ампер тавсифномаси.

$$L(I') = \left[\frac{E(\varphi_L - eV)}{2\pi e^2 n_0} \right]^{\frac{1}{2}} \quad (11.65)$$

Энди контактдаги металлга манфий, ярим үтказгичта мусбат қутбни улаймиз. Бундай күчланиш *тескари күчланиш* деб аталади. У ҳолда контактдаги потенциал түсік баландиги ортади:

$$\varphi = \varphi_K + e|V|. \quad (11.66)$$

Электронларнинг ярим үтказгичдан металлга томон оқими камаяди. Металлдан ярим үтказгичта томон электронлар

шамни үзинин кичик қийматика қолаверади. Бу оқимлар фарқидан ҳосил булған ток жуда кичик булып, тескари ток жетілді. Тескари күчланиши оргиб борган сари контакт қатлами ҳам көнгайып боради, электронлар оқими эса 0 га интинаради. Тұры ток тескари токдан бир неча тартыб катта дүйнеди.

Шуннинг учун, айтиш мүмкінки, беркитувчи металл — ярим үтказғыч контактты токин бир томонға яхши үтказады, тескари томонға эса деярле үтказмайды. Бұндай контакт Шоттки контактты деб номланиб, тұргылагыч, яъни диод вазифасынан бажарыши мүмкін. Уларни Шоттки лиодлари деб атап да, Шоттки контактты иккى сиртнинг туташышидан иборат, шуннинг учун у мүайян электр сиғымга эгадиді:

$$C = \frac{\varepsilon}{4\pi L} = \left(\frac{e^2 n_0}{8\pi \varphi_k} \right)^{\frac{1}{2}}. \quad (11.67)$$

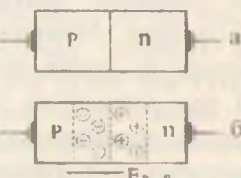
Ташқы электр манбага уданғанда ушбу ифодадаги φ манба күчланишига болғын бўлади, у ҳолда (11.64) га мувофиқ:

$$C = \left[\frac{e^2 n_0}{8\pi(\varphi_L - eV)} \right]^{\frac{1}{2}}. \quad (11.68)$$

Демак контакттың сиғимин ташқы күчланишига болғын экан. Варинцилар деб номланувчи асбобларининг иннаш тамойнли ана шуншай күчланиши билан бошқарыладиган электр сиғимларға асосланади.

Электрон — ковак (p-n) утиш

Ярим үтказғыч мөдбисен майдум дір усунар белгап р-н түрли соҳияр меншіктесінан. Бу соҳиярни бір-бірін өзгөн тұраншырақ $p-n$ үткін ҳосил деңгел (11.21- чизма). Электроистары күп n — соҳияннан чөларға яқын қатламидан электронлар диффузияшынан p — соҳага үтіб кетады, p — соҳадан n — соҳага эса коваклар диффузияланады. Диффузияланған электронлар на kontaktтар ярим үтказғыч ичине кириб рекомбинацияланады (яъни, йуқолады). Чөлара қатламида эса үйрекшіл манғий акцептор на мусбат донор ионлары қолады.



11.21- чизма Электрон-ковак (p-n) утиш

Ҳосил бўлган ҳажмий заряд соҳасида электр майдон n – соҳадан p – соҳага томон йўналади (11.21- чизма, б).

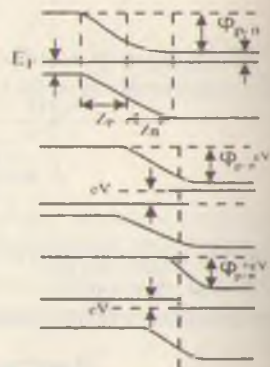
Бу майдон таъсирида вужудга келган зарядлар оқими диффузион оқимларга тенг бўлганда $p-n$ ўтишнинг электр майдони ўзининг мувозанатий қийматига эришади. p ва n соҳаларнинг қатлам кенгликлари мос ҳолда,

$$Z_n = \left(\frac{\epsilon \varphi_{p-n}}{2\pi e^2 N_d} \right)^{\frac{1}{2}}, \quad Z_p = \left(\frac{\epsilon \varphi_{p-n}}{2\pi e^2 N_a} \right)^{\frac{1}{2}} \quad (11.69)$$

ифодалар билан аниқланади. $p-n$ ўтишнинг умумий кенглиги:

$$Z = \left(\frac{\epsilon \varphi_{p-n}}{2\pi e^2} \cdot \frac{N_d + N_a}{N_d N_a} \right)^{\frac{1}{2}} \quad (11.70)$$

бўлади. Кўриниб турибдики, $p-n$ ўтиш иккала соҳага ҳам кириб борар экан. $p-n$ ўтишда ҳаракатчан электронлар ва коваклар диффузия натижасида қатламдан кетиб қолганлиги туфайли қўзғалмас акцептор (манфий) ва донор (мусбат) ионлар ҳажмий заряд ҳосил қиласи. Ҳажмий заряд ҳисобига электр майдон вужудга келади. Бу электр майдон ковакларнинг диффузион оқимига қарши уларнинг дрейф оқимини ҳосил қиласи. Мувозанат ҳолатида диффузион ва дрейф оқимлари тенг бўлиб ток кучи 0 га тенг бўлади. Токда қатнаша оладиган ҳаракатчан зарядлар зичлиги $p-n$ ўтишда жуда кичик бўлади, шунинг учун $p-n$ ўтишнинг солиштирма қаршилиги жуда катадир. $p-n$ ўтишда электр майдон билан боғлиқ бўлган потенциал Φ координата функцияси бўлади. Унинг $p-n$ ўтиш четлари орасидаги қийматлари айримаси контакт потенциаллар фарқи ёки потенциал тўсиқ баландлиги Φ_{p-n} ни билдиради. Электр майдон n – тур соҳадан p – тур соҳага йўналгани учун, n – тур соҳадан электронларнинг p – тур соҳага



11.22- чизма. Электрон-кошик ўтишга тугри ва тескари кучиниши берилган ҳоллар.

Ўтишига ва p — тур соҳа ковакларининг n — тур соҳага ўтишига тўсиқ бўлади (11.22- чизма, а).

Эпди $n-p$ ўтишига ташқи v — кучланиш қўямиз. $p-n$ ўтиш соҳасининг қаршилиги катта булганлиги учун, деярли барча кучланиш тушиши $p-n$ ўтишига тўғри келади. Агар ташқи манбанинг мусбат қутби p — тур соҳага, манфий қутби n — тур соҳага уланган бўлса, тўғри кучланиш қўйилган бўлади (11.22- чизма, б). Унда потенциал тўсиқ ϕ — пасаяди ва тўғри ток ийдо бўлади.

Мусбат қутб n — тур соҳага, манфий қутб p — тур соҳага уланса (11.22- чизма, в), $p = n$ ўтишнинг майдони билан ташқи майдон бир хил йўналган бўлади. Потенциал тўсиқ ортали, $p-n$ ўтишдан жуда кичик тескари ток оқади. Катта бўлмаган кучланишлар ва токлар соҳасида $p-n$ ўтишнинг полт-ампер характеристикини учун

$$j = e \left(\frac{D_p p_n}{L_p} + \frac{D_n n_p}{L_n} \right) \left(e^{\frac{eV}{kT}} - 1 \right) = j_s \left(e^{\frac{eV}{kT}} - 1 \right) \quad (11.71)$$

ифода ўринли бўлади. Бунда D_p , D_n коваклар ва электронларининг диффузия коэффицентлари; L_p , L_n — мос ҳолда диффузия узунликлари; p_n — ковакларининг n — тур соҳадаги, n_p — электронларининг p — тур соҳадаги мувозанатий зичликлари.

Тўғри кучланиш ($V > 0$) қўйилганда ток зичлиги экспоненциал ортиб боради. Тескари кучланишда ($V < 0$) ток жуда сокин ўсади ва $\exp(eV/kT) \ll 1$ бўлганда ўзининг кичик тўғриларига қийматига эришади. Демак $p-n$ ўтиш ҳам тўғрилаш коссисига эга экан, яъни бир йўналишда токни яхши ўтишиади, иккинчи йўналишда эса деярли ўтказмайди. $p-n$ ўтишнинг кенглиги ташқи кучланишга қуйидагича боғланган.

$$Z(V) = \left[\frac{\epsilon(\varphi_{p-n} - eV)}{2\pi e^2} \cdot \frac{N_d + N_a}{N_d N_a} \right]^{\frac{1}{2}}. \quad (11.72)$$

$p-n$ ўтишнинг ҳам сифими бўлиб, унинг қиймати ташқи кучланишга боғлиқ:

$$C = \left[\frac{\epsilon e^2}{8\pi(\varphi_{p-n} - eV)} \cdot \frac{N_d N_a}{N_d + N_a} \right]^{\frac{1}{2}}.$$

Ушбу ифодалар кучланиш тушиши $p-n$ ўтишда содир булаётган ҳоллар учун ўринлидир. Кичик кучланишларда бу шарт бажарилади.

Шундай қилиб $p-n$ ўтиш ўзгарувчан кучланишини түгрилаш ва электр сигимни кучланиш билан бошқариш хоссаларига эга экан. Ушбу ва яна бошқа бир қатор хоссалардан фойдаланган ҳолда ҳозир ярим ўтказгичлардан жуда күп асбоблар тайёрланмоқда. Мураккаб интеграл микросхемаларида $p-n$ ўтишлар асосий элементлар бўлиб хизмат қиласди.

Саволлар ва масалалар

1. Ярим ўтказгичларнинг қандай турлари мавжуд?
2. Ярим ўтказгичларнинг энергетик зоналари тузилишини тушунтиринг.
3. Ярим ўтказгич хоссаларига киришмалар қандай тасир кўрсатади?
4. $p-n$ ўтишнинг түгрилаш хоссасини тушунтириб беринг.
5. Температураси 400 K бўлган хусусий ярим ўтказгичда электронлар зичлиги $n=1,38 \cdot 10^{15}\text{ см}^{-3}$. Электрон ва ковакларнинг эффектив массалари кўпайтмасини топинг. Тақиқланган зона кенглиги $E_g=0,785 \cdot 4 \cdot 10^{-4}\text{ T(эВ)}$ қонуният бўйича ўзгаради.
6. Энергияси $E(k)=E_c+(\hbar k)^2/2m^*$ ифода билан аниқланган бир ўлчовли, айнимаган электрон гази учун ҳолатлар зичлиги $g(E)$ топилсин.
7. Бор (B) атоми киритилган ($\text{Na}=10^{17}\text{ см}^{-3}$) кремнийдаги коваклар зичлиги топилсин. $T=300^\circ\text{K}$, $m_p^*=0,59 m_0$, $\mu_p=100\text{ см}^2\text{Вс}^{-1}$ ва $g_0=1$. Бор атомлари учун $E_V=+0,045\text{ эВ}$.

8. Ярим ўтказгичдаги электронлар зичлиги $T=400^{\circ}\text{K}$ да $n=1,30 \cdot 10^{16} \text{ см}^{-3}$, $T=350^{\circ}\text{K}$ да $n=6,2 \cdot 10^{15} \text{ см}^{-3}$ бўлса, тақиқланган зона кенглиги E_g ни аниқланг. E_g температура га чизиқий боғланган деб ҳисобланг.

9. Тоза германийдаги электронлар ҳаракатчанлиги $T=300^{\circ}\text{K}$ да $\mu_n=3800 \text{ см}^2\text{В}^{-1}\text{с}^{-1}$. $m_n^*=0,55m_0$ ва $\mu=aT^{3/2}$ бўлса, германийнинг $T=30^{\circ}\text{K}$ даги солиштирма қаршилигини топинг. $f_p=0,785 \cdot 4 \cdot 10^{-4} T$ қонуният бўйича ўзгаради, $\mu_n/\mu_p=2,1$ ва a - доимий катталик деб олинсин.

XII БОБ

ДИЭЛЕКТРИКЛАР

Диэлектрик сүзи юончада dia – орқали ва инглизча elektrik – электр сўзларидан тузилган.

«Диэлектрик» атамасини Фарадей электр майдон кирадиган моддаларни аташ учун киритган. Диэлектриклар электр токини ёмон ўтказади. Ионланмаган барча газлар, баъзи бир суюқликлар ва қаттиқ жисмлар диэлектриклар бўлади. Металларининг солиштирма электр ўтказувчанлиги $\sigma \sim 10^8\text{--}10^6 \Omega^{-1}\text{m}^{-1}$ тартибидаги, диэлектрикларники эса $10^{-10}\text{--}10^{-15} \Omega^{-1}\text{m}^{-1}$ тартибидаги бўлади. Бу тафовутни классик физика металларда эркин электронлар бўлади, диэлектрикларда эса барча электронлар боғланган бўлиб, уларни электр майдон ўз атомларидан ажратиб ололмайди, балки бироз силжитади деб тушунтираси эди. Қаттиқ жисмларнинг квант физикаси (V бобга қаранг) электронлар энергия зоналарининг турлича тўлдирилганлигидан қаттиқ жисмларнинг электр, оптик ва бошқа кўп хоссалари келиб чиқишилигини тушинтириб бера олди. Ҳусусан диэлектрикларни валент зоналар тўла тўлдирилган бўлиб, уларнинг юқорисидаги бўш зона тўлдирилган зонадан анча юқорида жойлашган, тўла тўлдирилган зона электронлари электр ўтказувчанликда қатнаша олмайди, уларнинг бўш зонага ўтиб олиб, ўтказувчаниклика қатнаша олиши учун енгиги ўтилиши зарур бўлган энергетик тўсиқ (тақиқланган зона кенглиги) анча катта, бундай ўтиш имконияти, одатда жуда кичик, шунинг учун диэлектриклар электр токини деярли ўтказмайди. Уларда электр майдон электронлар зичигини қайта тақсимлайди(атом ва молекулалар ичидаги электронларни силжитади) – кутбланиш ҳодисасини юзага келтиради.

Зоналар назариясига асоссан, диэлектриклар билан яримўтказгичлар орасидаги фарқ юқориги тўлдирилган зона билан бўш зона орасидаги тақиқланган зона кенглигининг ҳар

мил бўлишилгидан иборат. Яримўтка яничларда $E_g < 3\text{эВ}$, диэлектрикларда $E_g > 3\text{ эВ}$ деб шартли ҳисобланади.

Диэлектрикларда заряларниң өркин кўчиши мумкин бўлмаганини туфайли унинг ичкарисига етарлича кучли ташқи электр майдонлар кира олади. Бунда кристалл панжарасининг даврий электр майдонига қўшимча (ташқи) майдон ўзиниянганда учта муҳим ҳолат диэлектрикнинг ички тузилишининг (электронылар ва ионлар вазиятларининг) ўзгаришини аниқлаш имконини берини мумкин.

Агар диэлектрик намунасини статик электр майдонга (масалан, конденсатор пластиналари орасидаги майдонга) жойлаштирилса, кристаллнинг статик диэлектрик сингдирувчанини ϵ_0 ни аниқлаб, кристаллнинг ички тузилиши ўзгариши ҳақида муҳим маълумот олиш мумкин. ϵ_0 ни микроскопик наурия ҳисоблади.

Диэлектрикнинг оптик хоссаларини, яъни унинг юқори микрорийликли электромагнит майдон билан ўзаро таъсирини аниқлаш учун диэлектрик сингдирувчанининг такрорийлик-ка боғланишини, яъни $\epsilon = \epsilon(\omega)$ ни ҳисоблаш зарур. Бундан синириш кўрсаткичи $n = \sqrt{\epsilon}$ ни аниқлаш мумкин.

Ионлар кристалларидан ҳатто ташқи майдонлар бўлмаганида ҳам ионлар орасида узоқ таъсири электростатик кучлар мавжуд бўлиши мумкин. Бу кучлар панжара ўзининг мушаванатий шаклига ишебатан деформацияланниши (масалан, ионлар тебранишлари) оқибатида пайдо бўлинши мумкин.

Мазкур масалаларни тадқиқланида муҳит учуни ёзилган Макевелл тенгламаларидан фойдаланиши қулайдир. Кейин киттиж жиҳомдаги маҳаллий майдонларни муҳокамага киритиб, ташқи майдон таъсирида кутбланиши ҳодисаларини атомлар синиришида баён қилинади.

12.1. Диэлектрикларга оид асосий тушунчалар ва катталиклар

Маълумки, классик электродинамика муҳитларлариги электромагнит ҳодисаларни, ташқи майдондан ташқари, яна муҳит хоссаларини ифодаловчи тушунча ва катталиклар ёрдамида тадқиқ қилиган.

E – электр майдон кучланганини – майдонининг мазкур ишласига жойлаштирилган бирлик мусебаб зарядга таъсири турини кунт;

\vec{P} — қутбланиш вектори — диэлектрик бирлик ҳажмининг электр моменти;

\vec{D} — электр индукция (электр силжиш) вектори муҳит ичидаги ташқи майдон ва унинг таъсирида пайдо бўлган қутбланиш электр майдонининг биргаликда бирлик мусбат зарядга таъсир этувчи куч;

ϵ — муҳитнинг нисбий диэлектрик сингдирувчанлиги (электр доимий) — Гаусс бирликлар системасида изотроп муҳитда \vec{D} ва \vec{E} орасида пропорционаллик коэффициенти $\bar{D} = \epsilon \bar{E}$;

ϵ_0 — вакуумнинг электр доимиёси, $\epsilon_0 = (10^7 / 4\pi c^2) = 8,8542 \cdot 10^{-12}$ Ф/м
Изотроп муҳитда Гаусс системасида

$$\vec{D} = \bar{E} + 4\pi \vec{P} = \epsilon \bar{E} \quad (12.1)$$

ёки

$$\vec{P} = \frac{\epsilon - 1}{4\pi} \bar{E}. \quad (12.2)$$

χ — нисбий диэлектрик қабулчанлик \bar{P} қутбланиш вектори билан электр майдон кучланганлиги орасидаги пропорционаллик коэффициенти

$$\bar{P} = \chi \bar{E} \quad (12.3)$$

(12.2) ва (12.3) ифодалардан

$$\chi = \frac{\epsilon - 1}{4\pi} \text{ ёки } \epsilon = 1 + 4\pi \chi \quad (12.4)$$

келиб чиқади.

СИ бирликлар системасида (12.1) ўрнига

$$\vec{D} = \epsilon_0 \bar{E} + \vec{P} = \epsilon_0 (1 + \chi) \bar{E} = \epsilon_0 \epsilon \bar{E} \quad (12.5)$$

(бунда $\epsilon = 1 + \chi$) ифода ёзилади.

Анизотроп муҳит бўлганида P ва E векторлар параллел бўлмаслиги мумкин, диэлектрик қабулчанлик ва сингдирувчанлик тензор катталиклар бўлади.

Максвеллинг қўйидаги тентгламасини эслатамиз:

$$\operatorname{div} \vec{D} = 4\pi \rho \quad (\text{СИ да } \operatorname{div} \vec{D} = \rho) \quad (12.6)$$

Изотроп муҳитда

$$\operatorname{div} \vec{E} = \frac{4\pi}{\epsilon} \rho \quad (\text{СИ да } \operatorname{div} \vec{E} = \frac{\rho}{\epsilon \epsilon_0}). \quad (12.6')$$

Маълумки, мазкур тенглама Кулон қонунини ρ зичликда умуксиз тақсимланган зарядлар ҳоли учун умумлаштиришидан келиб чиққан.

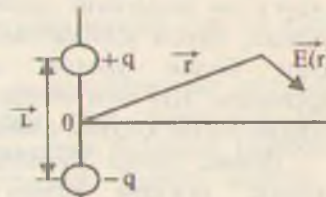
Микдор жиҳатдан бир-бирига тенг, аммо қарама-қарши ишорали бир-бирига боғланган икки заряд дипол дейилади. Диэлектрик қабулчанликни бинобарин, диэлектрик сингдирунчанликни яккаланган зарядлар эмас, балки диэлектрик диполлар аниқлади. Диполнинг электр моменти

$$\vec{p} = q\vec{l} \quad (12.7)$$

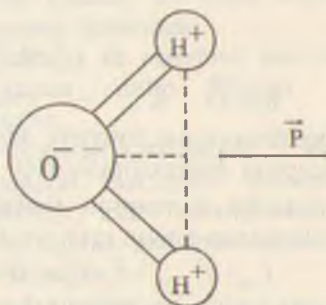
кўринишда аниқланади, бунда q — диполни ташкил этган зарядлар микдори, \vec{l} — уларнинг оралиги (12.1-расм). Дипол елкиси \vec{l} нинг $\vec{E}(\vec{r})$ майдони аниқданаётган нуқтагача бўлган \vec{r} масофадан анча кичик ($|\vec{l}| \ll |\vec{r}|$)
бўлганда мазкур нуқтада

$$\vec{E}(\vec{r}) = \frac{3(\vec{p}\vec{r})\vec{r} - \vec{r}^2\vec{p}}{er^5}. \quad (12.8)$$

Электр манғийлиги сезиларли фарқланадиган атомлардан таркибланган ҳар қандай симметрик бўлмас молекула доимий электр дипол моментаiga эга бўлди. Масалан, сувининг H_2O молекуласи $p=6,33 \cdot 10^{-30}$ Кл.м дипол моментаiga эга, у кислород ионитин иккита водород атомини бирлаштирувчи тўғри чизик ўртасига томон йўналган. HCl молекуласида бундаги икки атомни туташтирувчи чизик бўйича унинг дипол моментаи йўналган. Диэлектрик мұхитда ташки таъсир (электр майдон, босим ва ҳоказо) остида электр диполлар вужудга келиши (индукцияланилиши) мумкин. У



12.1- чизма. Дипол майдонини ҳисоблашга доир.



12.2- чизма. H_2O молекуласининг дипол моментаи.

жолда қутбланиш вектори \vec{P} бирлик ҳажмда ҳосил бўлган диполлар моментлари йигиндишига тенг бўлади:

$$\vec{P} = \sum_i p_i \quad (12.9)$$

Агар яси конденсатор қопламалари орасига диэлектрик жойланса ва конденсаторга кучланиш берилса, диэлектрик молекулалари қутбланади (12.3- чизма).

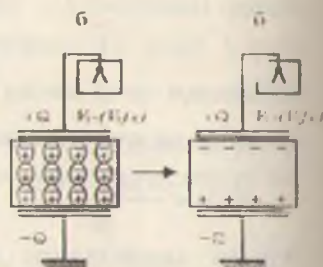
Бунда потенциал ва майдон кучланганлиги камаяди, қопламалар сиртида индукцияланган қолдиқ зарядлар пайдо бўлади. Заряддининг сиртий зичлиги:

$$q_s = -\vec{P}\vec{n}, \quad (12.10)$$

\vec{n} -сиртга нормал бирлик вектор.

Кўпинча атом ёки ионда қутбланишини аниқлайдиган маҳаллий жиёвкитив майдонни ҳисоблаш зарур бўлаши. Бунда қаралётган атом берк сирт билан ўралиган леб фараз қилинади. Шу сирт ичидаги диполлар айрим-айрим ҳисобга олинади.

Демак, ташқи зарядлар тасирида атомда вужудга келган эфектли маҳаллий майдон $E_{\text{аф}}$ ни тўрт қўшилувидан иборат шаклда ёзиш мумкин:



12.3- чизма Қопламалари орасида диэлектрик жойлашкан конденсатор.

$$\bar{E}_{\text{аф}} = \bar{E}_0 + \bar{E}_{\text{пок}} + \bar{E}_c + \bar{E}_{\text{дип}} \quad (12.11)$$

Бунда \bar{E}_0 — ташқи зарядлар майдони, $\bar{E}_{\text{пок}}$ қутбланишини бузувчи эфектлар майдони, \bar{E}_c — фаразий берк сиртда индукцияланган зарядлар мазкур соҳанинг марказидо вужудга келтирган майдон, $\bar{E}_{\text{дип}}$ — соҳанинг ичидаги барча диполлар ҳосил қилган майдон.

$\bar{E}_0 + \bar{E}_{\text{пок}} = \bar{E}_1 V_1/d$ бўлиб, V_1 — конденсатор қопламалари орасидаги кучланиши, d — қопламалар оралиги.

Демак,

$$\bar{E}_{\text{аф}} = \bar{E}_1 + \bar{E}_c + \bar{E}_{\text{дип}} \quad (12.12)$$

Агар атом атрофида танланган ҳажмни сфера десак,

$$\bar{E}_e = \left(\frac{4\pi \bar{P}}{3} \right). \quad (12.13)$$

Бу ҳолда, агар панжара куб шаклида бўлса, $\bar{E}_{\text{дип}}=0$ бўлиб қолади. Бинобарин ($\bar{E}_t=\bar{E}$).

$$\bar{E}_{\text{сп}} = \bar{E} + \frac{4\pi \bar{P}}{3}. \quad (12.14)$$

(12.2) ифодадан (12.14) га \bar{P} ни қўйсак, кубик (изотроп) панжаранинг атом жойлашган тугунида эффектив маҳаллий майдон

$$\bar{E}_{\text{сп}} = \frac{\epsilon + 2}{3} \bar{E} \quad (12.15)$$

бўлади.

12.2. Диэлектрикларда қутбланиши механизмлари

Диэлектриклар қутбланишининг учта муҳим ҳолини кўриб чиқамиз.

1. Кутбли молекулалар дипол моментларининг маҳаллий электр майдони бўйлаб қисман ёки тўла тизилиши ҳоли. Юқорида айтганимиздек, муайян симметрик бўлмаган молекулалар доимий электр дипол моментга эга. Электр майдон ўз йўналиши томон бу молекулаларни буради. Бу жараённи диполлар орIENTRланиши ёки паразэлектр қабулчанлик дейилади. Бирюқ, молекулаларнинг иссиқлик ҳаракати (тебраниши) уларнинг майдон бўйлаб тизилишига тўсқинлик қиласи.

2. Қаттиқ жисмларда электр майдон ва манфий ионларнинг бир-бирига нисбатан силжиши содир бўлади. Бу ҳолисан ионлар қутбланиши дейилади.

3. Ҳамма диэлектрикларда юз берадиган қутбланиш – электронлар қутбланишидир: электр майдон таъсирида атомнинг электронлари ядроға нисбатан сијлжийди, яъни электр майдон ҳир бир атомнинг электронлари қобиқларини деформациялади. Ўнда ядролар оралиги ўзгариши ҳам мумкин.

Диэлектрик сингдирувчанлик умумий ҳолда: $\epsilon = \epsilon_m + \epsilon_n + \epsilon_s$.

Энди бу ҳолларни айрим-айрим равишда батафсилроқ қўраймиз.

12.2.1. Ориентацион қутбланиш

Умуман, доимий диполларнинг бурилиши оқибатида қутбланиш асосан газлар ва суюқликларга хосдир. Қаттиқ жисмларда қутбли молекулалар бўлсада, улар электр майдон таъсирида эркин бурила олмайди. Бундай жараённи молекуларнинг бир турғун ҳолатдан иккинчисига сакраб ўтиши оқибатида дипол момент билан электр майдон орасидаги бурчакнинг кичрайиш тарзида қараш мумкин.

Бирлик ҳажмида ҳар бири р моментли N та доимий электр диполлари бор бирор муҳитни қарайлик. Электр майдон йўқлигига диполлар тартибсиз йўналган. Энди E статик майдон диполларни тартиблашга уринади. У ҳолда бирлик ҳажмнинг қутбланиши (майдон йўналишига электр моментнинг проекцияси) бундай ёзилади:

$$P_D = \sum_N p \cos \theta_N = N p \langle \cos \theta \rangle.$$

Бунда θ - ҳар бир дипол ва электр майдон йўналишлари орасидаги бурчак.

Диполлар тартибланиши жараёнига зарралар иссиқлик ҳаракати халақит беради. Иссиқлик ҳаракатини Болцманнинг энергиялар буйича тақсимот функцияси тавсифлайди деб ҳисобласак, $\cos \theta$ нинг ўртача қиймати

$$\langle \cos \theta \rangle = \frac{\int_0^\pi 2\pi \sin \theta \cos \theta \exp(-U/kT) d\theta}{\int_0^\pi 2\pi \sin \theta \exp(-U/kT) d\theta} \quad (12.16)$$

ифода билан аниқланади, бунда U диполнинг E майдонидаги энергияси:

$$U = \bar{p}E = -pE \cos \theta \quad (12.17)$$

(12.17) ифодани (12.16) даги интегралларга қўйиб, ҳисоблашни бажарсак,

$$\langle \cos \theta \rangle = \left[\frac{1 + \exp(-2pE/kT)}{1 - \exp(-2pE/kT)} \right] = \operatorname{cth}\left(\frac{pE}{kT}\right) - \frac{kT}{pE} = L\left(\frac{pE}{kT}\right). \quad (12.18)$$

Агар ташқи майдон E старлича катта бўлса, $L \rightarrow 1$. Аммо, кучсиз майдонлар ($E \ll kT/p$) ҳолида

$$\langle \cos \theta \rangle = \frac{pE}{3kT} \quad (12.19)$$

Демак, бирлик ҳажмнинг қутбланиши

$$P = \left(\frac{Np^2}{3kT} \right) E. \quad (12.20)$$

Бунга мос диэлектрик қабулчанлик

$$\chi = P/E = \frac{Np^2}{3kT}, \quad P/E = \frac{Np^2}{3kT}. \quad (12.21)$$

Қутбли суюқликлар ва қаттиқ жисмлар учун бу қабулчанлик ҳиссаси 1 билан тақосланарли бўлиши мумкин.

Диэлектрик доимийнинг ўзгарувчан ташқи майдон частотасига (такрорийликка) боғлиқлиги. Доимий диполларга эга бўлган қаттиқ жисмда уччала механизм ҳам қутбланишга (диэлектрик доимийга) ҳисса қўшади. Паст такрорийликларда уларнинг ҳиссалари турлича. Юқори такрорийликларда уларнинг диэлектрик доимийси комплекс $\epsilon = \epsilon' - i\epsilon''$ катталик бўлиб, унинг ҳақиқий қисми ташқи майдон билан бир фазада ўзгарувчи диэлектрик қутбланишини ифодалайди, мавхум қисми эса ташқи майдондан фаза бўйича орқада қолаётган механизм пайдо қиласидиган диэлектрк йўқотишларни акс эттиради. Мазкур қисмлар Крамерс-Крониг лисперсион муносабатири билан боғланган:

$$\epsilon' - 1 = \frac{1}{\pi} P \int_{-\infty}^{+\infty} \frac{\epsilon''(x)}{x - \omega} dx, \quad (12.22)$$

$$\epsilon'' = -\frac{1}{\pi} P \int_{-\infty}^{+\infty} \frac{\epsilon'(x) - 1}{x - \omega} dx. \quad (12.23)$$

Бу ифодалардаги P — интегралнинг бош қиймати белгиси, тоғликомагнит майдон такрорийлиги.

Умуман айтганда, ϵ' ва ϵ'' ўзгарувчан электр майдон такрорийлигига боғлиқ. Диэлектрик доимийнинг модули $|\epsilon| = \sqrt{\epsilon'^2 + \epsilon''^2}$ индукция вектори D нинг тебранишлари амплитудасини аниқлайди. Доимий электр майдонда $\epsilon''=0$, $\epsilon'=\epsilon$ бўлиди.

Доимий диполлар орнентрланиши билан бөглиқ күтбланиш 10 Гц дан юқори тақрорийликдаги электр майдон ўзгаришлари кетидан улгура олмайды. Бу ҳолда ϵ' камайиб кетади, аммо ϵ'' нолдан фарқли бўлади, яъни анча диэлектрик йўқотишлар пайдо бўлади. Каттароқ ω ларда бу механизм ҳиссаси йўқ даражада бўлади.

Оптик диапазондаги юқори частотали электр майдонларда диэлектрик хоссаларини синдириш кўрсаткичи n ва ютиш кўрсаткичи k орқали тавсифланади. n , k , ϵ орасида қўйидаги боғланиш бор:

$$n(1+ik) = \sqrt{\epsilon' - i\epsilon''} \quad (12.24)$$

Ионлар кристалларидаги $\omega \sim 10^{13}$ Гц яқинида ϵ' яна ҳам камайди. Бу тақрорийликдан юқорида ионлар ҳам майдон ўзгариши кетидан улгура олмайди. Янада юқорироқ $\omega > 10^{15}$ Гц тақрорийликларда электронлар күтбланиши ҳисобига ϵ' бирдан катта бўлиб олади. Аммо, $\omega > 10^{15}$ Гц ларда бу механизм ҳам майдондан орқада қолади. Бу ҳолда қаттиқ жисм I га яқин диэлектрик ϵ сингдирувчаникка эга бўлади.

12.2.2. Электрон күтбланувчаник

Синусоидал ташқи майдон таъсирида силжийдиган электрон ҳаракатини қарайлик. Силжиган электронни ўз вазиятига қайтарувчи квази эластик кучни βx , унинг хусусий тақрорийлигини $\omega_0 = (\beta/m)^{1/2}$ деб белгиласак, $E_{\text{зф}} = eE_0 \exp(i\omega t)$

маҳаллий электр майдон таъсирида электроннинг ҳаракат тенгламаси

$$m \frac{d^2 x}{dt^2} + \beta x = eE_0 \exp(i\omega t) \quad (12.25)$$

кўринишида бўлади.

Бу тенгламанинг мажбурий тебраниш амплитудаси x_{\max} учун ечими

$$x_{\max} = \frac{eE_0}{m(\omega_0^2 - \omega^2)}, \quad (12.26)$$

Бу эса $|p|=ex_{\max}$ дипол моментаға мөс келади. Индукцияланған электрон дипол момента мақаллар майдонға пропорционал, яғни $\bar{p} = \alpha \bar{E}_{\text{эфф.еки.}}$, $|p| = \alpha_e E_0$.

Пропорционаллык коэффициенти α_e — электрон қутбланувчанлик:

$$\alpha_e = ex_{\max} / E_0 = \frac{e^2}{m(\omega_0^2 - \omega^2)}. \quad (12.27)$$

Бу қутбланувчанлик механизмнинг диэлектрик синдирувчанликка ҳиссаси $\omega < \omega_0$ тақрорийликларда бир хил:

$$\alpha_e = \frac{e^2}{m\omega_0^2}. \quad (12.27')$$

У күринадиган ёргулук соҳасида (оптик соҳада) диэлектрик доимий ва синдириш күрсаткичи $n = \sqrt{\epsilon}$ ни I дан катта бўлишининг ягона сабабидир. Бу ҳолда Клаузиус-Мосотти муносабатини қўйидагича ёзиш мумкин:

$$\alpha_e = \frac{3}{N_e} \left(\frac{\epsilon - 1}{\epsilon + 2} \right) = \frac{3}{N_e} \left(\frac{n^2 - 1}{n^2 + 2} \right), \quad (12.28)$$

бундаги N_e — электронлар зичлиги. (12.27') ва (12.28) ифодалар асосида ҳисоблашдан $\omega_0 \sim 1,7 \cdot 10^{16}$ Гц, бу тақрорийлик электромагнит спектрнинг ултрабинафша соҳасига мөс тушади.

Яна бир мулоҳаза юқоридаги ҳисобга тузатма киритади: маълумки, тебранаётган электрон энергия пурлантариши керак; бундан ташқари бу электрон нозластик тўқиашиншларга (ишқаланишга) дучор бўлиб туради. Бу омилларни ҳисобга олсан, (12.25) тенглама қўйидаги кўринишни олади:

$$m \frac{d^2x}{dt^2} + m\gamma \frac{dx}{dt} + \beta x = eE_0 \exp(i\omega t). \quad (12.29)$$

Бу тенгламанинг ечими:

$$x = \frac{eE_0 \exp(i\omega t)}{m(\omega_0^2 - \omega^2 + i\gamma\omega)}. \quad (12.30)$$

Бундан электрон қутбланувчанлик

$$\alpha_e = \frac{e^2}{m(\omega_0^2 - \omega^2 + i\gamma\omega)}. \quad (12.31)$$

(12.28) ва (12.31) ифодалардан:

$$\epsilon = \epsilon' - i\epsilon'' = \left[1 + \frac{e^2 N_e}{m(\omega_0^2 - \omega^2 + i\gamma\omega) - e^2 N_e / 3} \right] \quad (12.32)$$

Энди $\omega_1 = [\omega_0^2 - (e^2 N_e / 3m)]^{1/2}$ белгилаш қилиб, ϵ' ва $i\epsilon''$ ни топамиз:

$$\epsilon' = \left[1 + \frac{(e^2 N_e / m)(\omega_0^2 - \omega^2)}{(\omega_1^2 - \omega^2)^2 + \gamma^2 \omega^2} \right], \quad (12.33)$$

$$-i\epsilon'' = i \left[\frac{(e^2 N_e / m)\gamma\omega}{(\omega_1^2 - \omega^2) + \gamma^2 \omega^2} \right]. \quad (12.34)$$

12.2.3. Ионлар қутбланувчанлиги

N_c та қутбланувчи электронга ва N_i та қутбланувчи ионлар жуфтига эга бүлган ион боғланиши қаттық жисмни қарайлик. Бу ҳолда (12.28) Клаузиус-Мосотти тенгламаси асосида статик диэлектрик сингдирувчанлик ϵ_0 ва қутбланувчанликтер α_i ва α_e орасыда боғланишини қыйидагича ёзib оламиз:

$$3\left(\frac{\epsilon_0 - 1}{\epsilon_0 + 2}\right) = N_i \alpha_i + N_e \alpha_e \quad (12.35)$$

Индукцияланган ионлар диполлари ҳиссаси жуда кичик буладиган, аммо электронлар қутбланувчанлиги сезиларлы камаядиган юқори такрорийликда юқоридаги муносабат

$$3\left(\frac{\epsilon_\infty - 1}{\epsilon_\infty + 2}\right) = N_e \alpha_e \quad (12.36)$$

күринишни олади. Ионлар қутбланувчанлиги шу икки ифода айирмасидан аниқланади:

$$\alpha_i = (3/N_i) \left[\frac{\epsilon_0 - 1}{\epsilon_0 + \infty} - \frac{\epsilon_\infty - 1}{\epsilon_\infty + 1} \right] \quad (12.37)$$

Ион боғланиши қаттық жисмларда α_i катталик $10^{-40} \Phi \text{ m}^2$ тартибида. Масалан, NaCl кристалли учун $\alpha_i = 3,8 \cdot 10^{-40} \Phi \text{ m}^2$.

M+ ва M- массали ионлар жуфти учун электр майдон таъсирида вужудга келганд мажбурий төбранишлар тенгламаси

$$\left(\frac{M_+ M_-}{M_+ + M_-} \right) \left[\frac{d^2 x}{dt^2} + \gamma, \frac{dx}{dt} + \omega_0^2 x \right] = e E_{\text{зф}} \quad (12.38)$$

күринишила бўлади, бўнда γ — энергия сочилишинни тасвирлайди, ω_0 — хусусий тақрорийлик. Бу тенгламанинг ечими комплекс каталик бўлади. Кутбланишнинг иккала тури ҳисобга олинганда Клаузиус — Мосотти муносабати қўйидаги ифодани берали:

$$\epsilon(\omega) = \epsilon_\infty + \frac{(\epsilon_0 - \epsilon_\infty)\omega_0^2}{(\omega_0^2 - \omega^2 + i\gamma\omega)} \quad (12.39)$$

Бу ифоданинг ҳақиқий ва мавхум қисмларини ажратиш мумкин. Диэлектрик сингдирувчанлик ҳақиқий қисмининг узгариши, олдинги ҳолдагидек, сўниш жараёнини акс эттираш. Қаралаётган ҳолда ёт мавхум қисм ё тақрорийликда етарлича юксак максимум қийматга эта бўлади, бу максимум мазкур спектрал соҳида мазкур қаттиқ жисмларнинг яхши маълум бўлган оптик хоссаларини аниқлаиди. Масалан, бўйлама ва кўндаланг оптик тебранишлар тақрорийларни ω_L ва ω_T статик диэлектрик поимий ($\epsilon_0, \epsilon_\infty$) билан боғлиқ:

$$\omega_L^2 = \frac{\epsilon_0}{\epsilon_\infty} \omega_T^2 \quad (12.40)$$

бундаги ω_T^2 нинг ўзи ҳам $\epsilon_0, \epsilon_\infty$ ларга боғлиқ бўлади.

$$\omega_T^2 = \omega_0^2 \left(1 - \frac{\epsilon_0 - \epsilon_\infty}{\epsilon_0 + 2} \right) \quad (12.41)$$

(12.40) ифода анча кенг қўлланиш соҳасига эгадир.

12.1-жадвал

Баъзи ишқорий — галоид ионлар кристалларига тетниши маълумот

Кристалл	ϵ_0	ϵ_∞	$\hbar\omega_1/k, \text{K}$
LiF	9.01	1.96	442
NaF	5.05	1.74	354
NaCl	5.90	2.34	245
NaBr	6.28	2.59	195
LiI	16.85	3.80	

Диэлектрик сингдирувчанлик ϵ яримутказгичларда киришима сатҳиар назариясида жуда муҳим ўрин тутганлиги учун баъзи ковалент (ярим ўтказгич хоссали) кристаллар учун нинз қийматларини келтирамиз.

Ковалент, ковалент – ион кристалларнинг статик диэлектрик доимийлари

Кристалл	Тузилши	ϵ_r
Кремний Si	олмос	12,0
Германий Ge		16,0
Қалай Sn		23,8
Кремний карбиди	ZnS га ухаш	6,7
Галлий фосфиди		8,4
Галлий арсениди		10,9
Индий арсениди		12,2
ZnS	вюрцит	5,1
Сурмали индий InSb	ZnS	15,7
ZnSe		5,8
ZnTe		8,3
CdS	вюрцит	5,2
CdSe		7,0
CdTe	ZnS	7,1

Ковалент кристалларда электронлар зарядининг анча қисми атомлар (ионлар) оралиғида жойлашган. Бу ташкил этувчи қутбланишга муҳим ҳисса қўшади. Шунинг учун ковалент кристалларнинг диэлектрик хоссалари ҳисобланганида зоналар назариясига (V бобни қаранг) ёки “богланишлар қутбланувчанлиги” деб номланган усулга мурожат қилинади.

12.3. Пироэлектриклар

Қиздирилганда ёки совутилганда сиртида электр зарядлар пайдо бўладиган баъзи кристалларни пироэлектриклар дейилади. Пироэлектрнинг бир томони қиздирилганда манфий зарядланади, иккинчи тамонида аксинча бўлади. Бу ҳодиса шундай тушунтирилади. Пироэлектрлар электр майдон ёки бошқа ташқи таъсир бўлмаганида ҳам ўз-ўзининг (спонтан) P_c қутбланишига эга бўлади, бунинг сабаби мусбат ва манфий зарядлар марказларининг мос тушмаслигидир. Одатда P_c спонтан қутбланиш эмас, балки ўзгариши ΔP_c кузатилади, бу эса температуранинг тез ΔT ўзгаришида юз беради (пироэлектр эфект). Пайдо бўладиган сиртий заряд зичлиги $\sigma = p \Delta T$ ифодасидаги p ни пироэлектр доимий дейилади. Энг ёрқин

пироэлектр-турмалин, унда температура 1° қадар ўзгарганда $E=40000$ В/м чамасидаги электр майдон вужудга келади. Агар температура ўзгариши тезлиги заряднинг релаксация вақтидан юқори бўлса, бу ҳолда электрланиш интенсивлиги энг катта бўлади. Барча пироэлектриклар пъезоэлектриклар бўлади, аммо, ҳамма пъезоэлектриклар ҳам пироэлектриклар бўлавермайди. Баъзи пироэлектриклар сегнетоэлектрик хоссаларга молик бўлади. Пироэлектриклардан техникада ёруғлик индикаторлари ва қабуллагичлари сифатида фойдаланилади.

12.4. Пъезоэлектрик ҳодиса

Баъзи диэлектрик кристалларнинг қутбланишини, механик деформация таъсирида ўзгаришини ва аксинча электр майдон таъсирида деформация пайдо бўлишини пъезоэлектрик ҳодиса дейилади, мазкур кристалл моддаларни пъезоэлектриклар деб италади. Фақат механик деформация таъсирида электр қутбланиш вужудга келишини тўғри пъзоэффект, аксинча бўлишини эса тескари пъзоэффект дейилади. Пъезоэлектрик хоссалар жуда кўп моддаларда кузатилади. Пъезоэлектрик ҳодисани ошкор қилиш учун кристалл пластинкаси ёқларига металл қопламалар ўрнатилади. Агар қопламалар бир-бирига тугашмаган бўлса, пластина деформацияланганда улар орасида потенциаллар айирмаси пайдо бўлади. Агар қопламалар туашган бўлса, қопламаларда пластина сиртларидаги зарядларни тент ва қарама-қарши ишорали зарядлар пайдо бўлади ва инжирда ток оқа бошлиди. Қопламаларга ташки Э.Ю.К. уланса кристалл деформацияланади.

Пъезоэлектрик ҳодисалар фақат симметрия марказлари бўлмаган кристалларда кузатилади. Аммо, баъзи симметрия элементлари (масалан, симметрия текислиги) бўлишилиги баъзи нұналишларда ёки деформациялашда қутбланиш пайдо бўлишини ман қиласи — пъезоэлектриклар сонини чеклайди. Фақат 20 та симметрия нүқтавий гурӯҳларига тегишли моддалар пъезоэлектриклар бўла олади. Пъзоэффектни тавсифловчи каттилик электр каттиликлар билан механик каттиликлар орасидаги пропорционаллик коэффициентидир. Масалан, σ механик кучиниш таъсирида пъезоэлектрикда вужудга келадиган P қутбланиш σ га пропорционал: $P=\alpha\sigma$. Тўла қутбланишга яна

электр майдон ҳиссаси ҳам киради: $P=\alpha\sigma+\chi E$ Умумий ҳолда 18 та турли пъездодоимийлар бўлиши мумкин.

Турли кристаллар учун пъездодоимийлар қийматлари кучли даражада фарқ килади. Масалан, сегнет тузининг пъезозелектрик коэффициентлари нисбий қиймати жуда катта, бироқ турмалин ва α -кварцники анча кичик. Аммо, кварцнинг юқори механик ва термик маҳкамлиги туфайли уни юқори даражада барқарор пъезозелектрик генераторлар тайёрлашда энг маъқул материал сифатида исплатилади. Бу асбоблар радиоузатгичлар, кварц соатлар тақориyllигини барқарорлаштиради. Бошқа амалий мақсадлар учун юқори даражада пъезозелектрик эффективлик зарур. Шунинг учун сегнет тузи кўп йиллар давомида сезгир ўзгартиргичлар учун материал бўлиб хизмат қилади. Энг янги нусхаларда барий титанати – стронцийдан ишланган маҳсус шаклли керамик пластиналар қўлланилади, чунки бу материаллар катта пъезозелектрик эффективликка эга ва яна қиздириш ва намиқишига нисбатан бардошлигидир. Бу материаллардан тозалаш ванналарида ультратовуш манбалари ва сув ости товуш қурилмаларида узатгич ҳамда қабуллагич сифатида фойдаланилади. Биринчи тақрибда электр майдонда диэлектрикнинг деформацияланиши чизиқий боғланиши, механик кучланиш пайдо қилган кутбланиш деформациясига пропорционал. Ионлардан таркиблangan ҳар қандай қаттиқ жисмда, унинг пъезозелектрик бўлиш-бўлмаслигидан қатъий назар, электр майдон кучланганини квадратига пропорционал бўлган қисилиш (электрострикция) кузатилади. Бу энг умумий электрострикция ҳодисаси ташки майдон қўйилганда ионлараро масофанинг ўзгаришини тавсифлаганда Гук қонунининг бузилиши билан боғлиқ. Демак, электрострикция кузатиладиган қаттиқ жисмда ангармоник эффективлар кристалл панжарасининг тебранишлари хоссаларига сезиларли таъсир кўрсатади.

12.5. Сегнетоэлектриклар

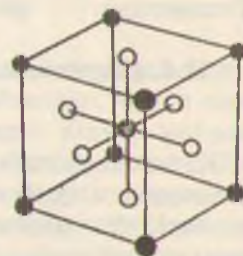
Сегнетоэлектриклар муайян температуралар оралиғида ташки таъсирлар остида муҳим даражада ўзгарадиган спонтан (ўз-ўзидан) кутбланиши кристаллсизмон диэлектриклардир. Сегнетоэлектрик хоссалар биринчи марта (1920) сегнет тузи $\text{NaC}_4\text{H}_4\text{O}$ кристалларида кузатилган ҳозир бир неча юз сегнетоэлектрик моддалар маълум. Сегнетоэлектрик хоссалар

Пайдо бўлиши учун кристалл тузилишида инерция маркази бўлмаслиги ва ҳеч бўлмагандага битта ноэквивалент йўналиш бўлишлиги зарур. Пъезоэлектрик хоссалари мавжуд бўлган кристалларнинг 20 та нуқтавий гурухларидан 10 таси иккинчи шартни қаноатлантиради. Демак, сегнетоэлектрик модда пъезоэлектрик бўлиши керак, аммо ҳар қандай пъезоэлектрик ҳам сегнетоэлектрик бўла олмайди. Сегнетоэлектрикларни баъзан ферроэлектрлар дейилади. Бунинг сабаби шуки, ферромагнитлардаги доменлар каби сегнетоэлектрикларда ҳам доменларнинг – катта спонтан (ўз-ўзидан) кутбланган соҳаларнинг (ташқи электр майдон бўлмаганида ҳам электр диполлар тартибланган катта электр моментлари бўлган соҳаларнинг) бўлишлигидир. Сегнетоэлектриклар учун маҳсус Кюри нуқталари деб аталадиган T_c температуралар мавжуд. Бу нуқтадан юқори температурада сегнетоэлектрик ҳолат (доменлар) бузилади, чунки бу ҳолда иссиқлик тебранишлари амплитудаси электр диполлар тартибли жойлашишига йўл бермаслик даражасида каттариб қолади. Паст температурада сегнетоэлектрик бўлган қаттиқ жисм Кюри нуқтаси T_c дан юқори температурада $\chi = C(T - T_c)$ қабулчанликка эга бўлган паразэлектрик булиб қолади.

12.3-жадвал

Модда	Кимёвий ифодаси	T_c, K	$P_s, Kл/m^2$
Барий титанати	$BaTiO_3$	393	$2,6 \cdot 10^{-1} (300K)$
Стротций титанати	$SrTiO_3$	32	$3,0 \cdot 10^{-2} (4,2K)$
Калий ниобати	$KNbO_3$	710	$3,0 \cdot 10^{-1} (600K)$
Аммоний сульфати	$(NH_4)_2 SO_4$	223	$4,5 \cdot 10^{-3} (220K)$
Сегнет тузи	$NaKC_4H_4O_6 \cdot 4H_2O$	296(юқориси) 255(пасткиси)	$2,5 \cdot 10^{-3} (275K)$

12.3-жадвалнинг охирги устунидаги P_s кагталик Кл/м² бирликларда спонтан (ўз-ўзидан) ҳажмий кутбланишни ифодайди. $BaTiO_3$ нинг спонтан (ўз-ўзидан) кутбланиши келиб чиқишини қўрайлилек. Бу бирикма первовскит тузилишига эга (12.4-чизма). $BaTiO_3$ нинг пашхлараси $T_c = 393K$ дан юқорида кубсимон шаклда бўлади, сегнетоэлектрик ҳолига ўтишда кубдан тетрагонал четлишишлар пайдо бўлади. T_c дан паст



12.4-чизма. Барий титанати $BaTiO_3$ нинг тузилиши.

температурада элементар ячейкада ўзгаришлар юз беради: у бир ўқ (с ўқ) йұналиши бўйлаб 1% қадар чўзилади, бу йұналишга тик ўқлар бўйлаб тахминан 0.5% қадар қисилади. Барий ва титаннинг барча катионлари панжараачаси кислород анионлари панжараачасига нисбатан с ўқ бўйлаб юқорига ёки пастга силжийди, бу эса кристалл энергиясини пасайтиради. Шу икки панжараачаларнинг ўзаро силжиши тахминан 0.1°
A га тенг бўлиб, катта ҳажмий кутбланиш вужудга келишли-
ги учун етарлидир.

Тетрагонал сегнетоэлектрик BaTiO_3 кристаллда P_s панжара-
чалар нисбий силжиши йұналишига боғлиқ равищда, ё «юқорига» ёки «пастга» силжийди. Титан (ёки барий) ҳар бир
иони кристалл панжарасида энергияси энг кичик бўладиган
икки вазиятга эга, уларни энергетик тўсиқ бир-биридан ажра-
тиб туради. T_c дан юқори температураларда бу тўсиқ йўқ
бўлади. Турли сегнетоэлектрик моддалар гурӯхлари учун улар-
нинг табиати турлича тушунтирилади, аммо барча тушунти-
ришлар кристалл энергиясининг ионлар вазиятига боғланиши
икки минимумли эгри чизик кўринишида бўлади, дейди.

Юқорида айтилганидек, T_c дан юқори температураларда
сегнетоэлектрикнинг спонтан кутбланганлиги йўқ бўлади, ам-
мо қаттиқ жисм жуда катта диэлектрик доимиийга эга бўлади.
Масалан, BaTiO_3 дан тайёрланган керамикада ϵ то 6000 гача
етади. T_c температурадан пастда сегнетоэлектриклар статик
кутбланиши бошқа илмий мақсадларда ишлатилади.
Кутбланган сегнетоэлектрикли конденсатор микрофони талаб-
горлари кўп. BaTiO_3 ва бошқалар лазер нурини оптик (кувур)
ичак ичида ҳам, ташқарисида ҳам модуллаш ва оғдириш учун
қўлланилади.

12.6. Сегнетоэлектрик доменлар ва антисегнетоэлектрик ходисалар

Катта сегнетоэлектрик монокристалл турли йұналишда
кутбланишли доменлар (дипол моментлар бир хил йұналган
соҳалар) тўпламидан иборат бўлганлиги сабабли бутун ўзи
спонтан кутбланган бўлишлиги мажбурий эмас. Мазкур домен
қарама-қарши кутбланишли доменлар билан ўралган ҳол кўп
учрайди. Бу ҳолда 180-градусли домен деворлари ҳақида гапи-

рилади. Таңқи E электр майдон қўйилганда домен деворлари кўчиш имконига эга бўлади. Бунда P_s қутбланиш йўналиши E майдон билан мос тушган ёки деярли мос тушган доменлар ўсади, P_s қутбланиши қарама-қарши йўналган доменлар қисқара боради. Сегнетоэлектрикларнинг доменлардан тузилиши муайян даражада ферромагнетикларнига ухшашиб кетади, аммо улар орасида муҳим фарқ бор: магнит доменлар орасидаги деворлар қалинлиги 750 \AA (ва энергия нисбатан кичик), сегнетоэлектрик доменлар орасидаги деворлар қалинлиги бир ёки икки атомлараро масофага teng ва энергияси катта зичликка эга.

Кўпчилик сегнетоэлектрик материалларда микроскопик доменлар тузилиши анча мураккаб бўлади.

Шундай қилиб, сегнетоэлектрик материалларда T_c Кюри шукгасидан паст температураларда индукцияланган диполларнинг тартибли жойлашиши вужудга келади, бу эса кристалл энергиясини камайтиради. Антисегнетоэлектрик қаттиқ жисмларда ҳам T_c дан пастда индукцияланган диполлар тартибланиди, бу моддалар синфи ҳажмий спонтан қутбланишга эга ўмас, чунки ҳар бир дипол кўшни диполларга антипаралел йўналган. Умуман айтганда, кўшни занжирчалар (қатламлар) диполлари антипаралел тизилиб, бирор температурадан пастда занжирчалар диполларининг параллел йўналганилиги қолидагига нисбатан пастроқ тўла энергия бўлишигини тъминлайди. Натрий ниобати NaNbO_3 ва кўргошин цирконати PbZrO_3 бирикмалар муайян температурадан пастда антисегнетоэлектриклардир.

12.7. Диэлектрик йўқотишлар

Ё ўзгарувчан электр майдон энергиясининг бир қисми диэлектрикни қайта қутблашда иссиқликка айланади, чунки заррияларнинг моддада барча ҳаракатлари уларга электр майдон бергун энергиянинг қисман икрофи билан боғлиқ бўлади. Шу икрофни диэлектрик йўқотишлар дейилади. Зарралар ҳаракати қонгя катта бўлса, диэлектрик йўқотишлар шунча катта бўлиши. Демак, улар Ё майдоннинг ω такрорийлигига боғлиқ, Агар диэлектрик қутбланишда асосий ўринда электронлар ва ионларнинг кичик силжишлари бўлса, бу ҳолда диэлектрикни гармоник тебрангичлар (осцилляторлар) тўпламидан иборат

деб қаралыши ва бу тебрангичлар ўзгарувчи E майдонда мажбурий тебранишлар қиласы дейилса, агар ω тебрангичнинг ω_0 хусусий тақорийлигига яқин бўлганда энергия йўқотиш энг катта бўлади (резонанс). Асосий кутбланиш электронлар силжиши билан боғлик бўлса, бу ҳолда йўқотишлар оптик тақориийликда ($\approx 10^{15}$ Гц) максимумга эришади, аммо электротехник ва радиотехник тақориийликда назарга олмаслик даражасида кичик бўлади. Ионлар силжиши билан аниқланадиган кутбланишда диэлектрик йўқотишлар I_K нурлар соҳасида (10^{12} - 10^{13} Гц) энг катта бўлади. Ориентацион кутбланишда диэлектрик йўқотишлар яна ҳам кичик тақориийликларда сезиларли бўлади. Юқори тақориийликларда дипол моментлар ўз йўналишини майдонга мослаб улгурмайди, йўқотишлар кичик. Паст тақориийликларда кутбланиш майдон кетидан улгуриб боради, силжитшлар катта, аммо уларнинг вақти ҳам катта бўлганлигидан диэлектрик йўқотишлар кичик. Ташки ўзгарувчи $E(\omega)$ майдоннинг тақориийлиги молекулалар ориентрланиши ўрнашиши зақтигига (релаксация вақтига) тенг бўлса, диэлектрик йўқотишлар зиг катта бўлади. Масалан, сувда кутбланиш асосан ориентацион механизмга эга, $\omega_{\max} = 10^{11}$ Гц чамасида.

Диэлектрик йўқотишлар миқдоран диэлектрик йўқотишлар бурчаги t_g билан аниқланади. Бурчак кутбланиш вектори P ва электр майдон кучланганлиги E орасидаги фаза фарқини ифодалайди.

Хақиқий диэлектриклар қандайдир σ электр ўтказувчанликка эга, диэлектрик йўқотишларнинг бир қисми ана шу σ га боғлик. Паст тақориийликларда ўтказувчанлик билан боғлик жоул иссиқлиги ажралиши муҳим бўлиши мумкин, чунки $\omega \rightarrow 0$ да ҳам у нолга тенг эмас, агар диэлектрик йўқотишлар факат ўтказувчанликка боғлик бўлса, у ҳолда $t_g = 4\pi\sigma/\omega$ бўлади.

12.8. Диэлектриклар тешвилиши (бузилиши)

Диэлектриклардан ўтаётган ток зичлиги (унча кучли бўлмаган электр майдонлар ҳолида) Ом қонуни $j = \sigma E$ асосида майдон кучланганлигига пропорционал бўлади. Аммо, етарлича кучли электр майдонларда Ом қонунидан четланиш, яъни токнинг E га боғлик равишда жуда тез ўсиши юз беради. Му-

айян $E=E_0$ майдонда диэлектрикнинг электр тешилиши содир бўлади, яъни буида диэлектрик ўтказувчанлиги кўп даражада ортиб кетади, чунки унда юқори ўтказувчаникли канал (каналлар) пайдо бўлади. E_0 ни диэлектрикнинг электр маҳкамлиги дейилади. Кварц шиша мисолида $\rho=10^{16}-10^{18}$ Ом см, $E_0 = (2-3)\cdot 10^5$ В/см.

Қаттиқ диэлектрикларда электр тешилишдан ташқари яна иссиқликдан тешилиш ҳам мавжуд. Бу ҳолда ток ортиши билан температура (жоул иссиқлиги ортади, бу эса ҳаракатчан заряд ташувчилар сони ортишига ва солиштирма қаршилик камайишига олиб келади. Электр тешилишдан майдон кучайиши билан унинг тасирида заряд ташувчилар ҳосил бўлиши тез кўпаяди. Диэлектрикда тешилиш муқаррар нобиржинслилар ёрдамлашади, чунки у жойларда E бошқа жойлардан катта бўлади.

Диэлектрик тешилганда ҳосил бўлган ўтказувчан ингичка каналларни шнурлар (найчалар) дейилади, ток шу каналлардан катта зичликда оқади, канал ҳатто эриб кетиши мумкин.

Диэлектрикнинг тешилиши қайтар ва қайтмас бўлиши мумкин: тешилиш жараёнида диэлектрик тузилиши ўзгармаса, бу тешилиш қайтар бўлади ва аксинча.

Диэлектриклар қўлланиши. Кўпчилик диэлектриклар кейинги давргача асосан электроизоляцион материаллар сифатида ишлатиб келинарди. Аммо, диэлектриклар қўлланадиган соҳалар кенгайиб борди, улар хилма-хил вазифаларни ўтайдиган бўлди. Диэлектрикларнинг конденсаторларда ишлатилиши мъалум, электр токи ўтказгичларини электр энергиянинг бехуда истроф бўлишига йўл кўймайдиган диэлектрик (изоляцион) қатламлар билан ўралишини ҳам биламиз. Пъезоэлектриклар товуш тебранишларини электр тебранишларга ва аксинча айлантириш вазифасини бажаради, пироэлектриклар ИК нурланишини ошкорлаш ва интенсивлигини (Энергияси зичлигини) ўлчашда қўлланилади, сегнетоэлектриклар радиотехникада ночиzigий элементлар сифатида ишлатилади. Диэлектрикларга киришмалар киритиб, уларни рангли қилиш, ишни оптик фильтрлар тайёрлаш мумкин. Кўпгина диэлектрик кристаллар ($AlGaAs$, CdS , рубин ва б.) квант электроникасиди лазерлар ва кучайтиргичлар асоси бўлиб хизмат қиласи.

Диэлектриклар яримўтказгичлар электроникасида муҳим ўрини эгаллайди. Улар интеграл микросхемалар элементлари

сифатида, ярим ўтказгич асбобларнинг сақлагич сиртий қопламлари кўринишида ишлатилади, металл-диэлектрик – ярим ўтказгич транзисторлар таркибига киради.

Масалалар

1. $+q$ ва $-q$ зарядлардан ташкил топган электр диполнинг дипол марказидан $\vec{r} \gg \vec{l}$ (\vec{l} – дипол елкаси) нуқтадаги майдоннинг

кучланганлиги $\vec{E}(\vec{r}) = \frac{3(\vec{p}\vec{r})\vec{r} - r^2\vec{p}}{4\pi\epsilon_0 r^5}$ ифодага мос келишини аниқланг.

2. Бирлик ҳажмининг дипол моменти \vec{P} бўлган бир жинсли диэлектрик ичидаги сферик ковак бор. P вектори z ўқ бўйича йўналган деб ҳисоблаб, z ўқ билан ковак сиртидаги бирор нуқтага ковак марказидан ўтказилган радиус-вектор r орасидаги бурчакни θ деб белгилаб, ковак марказидаги майдон $E = 4\pi P / 3$ бўлишлигини исботланг.

3. Кутбли қаттиқ жисм учун Дебай температураси 153 К. $T=270$ К да 110 кГц тақорориликда диэлектрик йўқотишлар эгри чизигида максимум кузатилган. Бунинг ўртасида 0.4 зВ тўсиги билан диполларнинг икки имконий ориентрланиши мавжудлигига мос тушишлигини исботланг. Бу ҳолда қўйидаги Дебай ифодаси ўринли: $\epsilon = \epsilon' + i\epsilon'' = A + \frac{B}{1 - i\omega t}$, бундаги $\tau = (2\pi\nu_D)^{-1} \exp(U/kT)$ икки имконий ориентирланиш орасида ўтиш (релаксация) вақти, $\nu_D = k\theta_D/h$, θ_D – Дебай температураси, $A=5$ ва $B=15$ деб юқоридаги ифода асосида $\epsilon'(\omega)$ ва $\epsilon''(\omega)$ боғланишлар графигини чизинг. 250 дан 290 K гача оралиқда $\epsilon'' = 0.5\epsilon''_{\max}$ бўлиб чиқиши керак.

XIII БОБ

КЕРАМИК ҚАТТИҚ ЖИСМЛАР. КОМПОЗИТЛАР

13.1. Керамик материаллар ҳақида умумий маълумот

Ҳозирги замонда керамик материаллар соҳаси жуда кўп моддаларни — қурилишда ишлатиладиган гиштдан то энг янги юқори температурада ўта ўтказувчан керамик қотишмаларгача бўлган қаттиқ жисмларни ўз ичига олади. Улар хилма-хил хоссаларга эга ва фан, техникада кенг кўлланмоқда. Шунинг учун ушбу қўлланмада керамика тўғрисида тўлароқ маълумот келтиришнинг иложи йўқ ва биз бу ҳақда асосий хоссаларнинг қисқа баёнини келтирамиз.

Керамик материалларнинг атомлари орасида иондарга хос ши ковалент боғланишлар учрайди. Бу боғланишлар ҳақида I бобнинг I.5.1- ва I.5.2-бандларида маълумот берилган. Бу ерда шуни таъкидлаш керакки, ионлар боғланиши ҳолида электронлар зарядлари ионлар атрофида йиғналган, ионлар орасида, табиий, электростатик кучлар таъсир қиласи. Ковалент боғланиш ҳолида электронлар заряди (зичлиги) кўшни атомлар орасида унча мунча текис тақсимланган, бунда электростатик ўзаро таъсир кучсиз, аммо квант ўзаро таъсири асосий бўлади.

Технологик жарабённинг қандай боришига қараб бир модда турли тузилма ҳосил қиласи. Масалан, SiO_2 моддасини суюлтириб сўнг секин совута борилса, кристобалит кристалли ҳосил бўлади, агар SiO_2 нинг суюлмаси тез совутилса — силикат шиша (аморф жисм) олинади. Бу иккови қаттиқ жисм керамикага мансубдир.

Ҳозир керамика дейилганда металл табиатли бўлмаган қамда полимер (занжирсизон) тузилишга эга бўлмаган қаттиқ моуда тушунилади. Шиshalар, монокристаллар, конгломератлар, майда кристаллар ва уларнинг бирлашмалари керамик материаллардир.

Алюминий оксиди Al_2O_3 асосида керамик материалларга турли хоссалар берилүү мумкинligини күрайлик.

Al_2O_3 нинг айрим доналари (корунд) материалларни силлиқлаш, ва сайқалылашда ишлатилади. Доңдор тузилишши Al_2O_3 поликристаллари күринадиган ёруғлик соҳасида яхши шаффоф (тиник) бўлганилиги туфайли улардан юқори температура ва юқори босимда ишлай оладиган оптик деразалар тайёрланади. Al_2O_3 намунасида титан кришмаси бўлса, уларни сапфир дейилади ва у спектрнинг И^к соҳасида шаффоф, оптоэлектроникада қўлланилади.

Al_2O_3 кристалига хром қўшилса, уларни рубин дейилади. Рубин оптик квант генераторларда ишчи жисм сифатида ишлатилади.

13.2. Курilmалар ва асбобларда қўлланиладиган керамика

Керамиканинг кимёвий ва термик чидамлиги улардан курilmаларда фойдаланиш имконини беради. Бу хоссалар атомлараро боғланишларнинг кучли бўлишлиги ва кўпчилик металлар оксидларидан таркиблантган керамик моддаларнинг (КМ) яна оксидланиши амалда мумкин эмаслигидан келиб чиқади.

Кимёвий боғланишларнинг мустаҳкамлиги КМларнинг юқори суюлиш температурасига ва қаттиқликка эга бўлишларини тақозо этади, атомлар қатламларнинг ўзаро сирпанишига йўл бермайди, КМ ташки кучланиш берилганда ўз шаклини сақлайди, лекин агар юклама бирор бўсағавий қийматга эришганда бирданига барбод бўлади, уларда металлардагидек пластик деформация бўлмайди.

КМларнинг мазкур хоссаларини тушуниш учун уларда мавжуд бўладиган нуқсонларни – киришмалар, якка вакансиялар ва уларнинг ўломлари (ваканцион коваклар), микродарзларни кўриб чиқиш зарур.

Кристалл керамика ва шишанинг мўртлигини миқдоран қайишқоқлик аниқлайди, у тахминан $\text{MPa}/\text{m}^{1/2}$. Металлар учун 40 $\text{MPa}/\text{m}^{1/2}$ чамасида.

КМ даги киришмалар ва микроваклар ҳам қўйилган ташки юкламани ўзига жалб қиласди. Улар атомлараро боғланишларни сусайтиради, осон узиладиган қиласди, шунинг учун нуқтавий чуқсонлар атрофида боғланишларнинг пластик деформацияси бўлиши қийин. Оқибатда нуқсонлар жойида коваклар катталаша боради.

Демак, нүқсонларнинг таъсирини ўрганиш КМларнинг фойдали хоссаларини яхшилашга қаратилган. Коваклар, агломератлар, кимёвий киришмалар каби нүқсонларни бартараф қилиш зарур, чунки улар дарзларнинг пайдо булиши манбалариidir. Бунинг учун дастлабки кукунни (порошокни) синчиклаб тозаланади ва жуда майдалаб, зичлаб таҳланади.

Технологик жараён куйидаги босқичлардан иборат: металл оксиднинг, масалан, TiO_2 нинг кичкина диаметрли ($<1\text{мкм}$) заррачалари эритмадан ўтказилади. Бу зарралардан (масалан, метанолда) маҳсус суспензия тайёрланади, унга қўшилган полимер заррачалар сиртига ёпишиб, уларнинг агломератлар шаклида уюшиб кетишига йўл қўймайди. Олинган порошок (кукун) «назорат қилинадиган таҳлашга» дучор қилиниб, ивиштирилади. Натижада амалда коваксиз материал олинади. «Назоратли таҳлаш» энг муҳим жараён қисмидир. Бунда катта босим остида қолилларда қисиш билан бир қаторда қиздириладиган пресс-қолилда зичлаш, замбаракнинг ёпиқ стволида портлаш ёрдамидаги зичлаш, динамик зичлаш, электр майдонда полимер қобиқли порошок (кукун) зарралари ҳаракати – электрофоре兹 ёрдамида зичлаш усуллари қўлланилгади. Майда кукун (порошок) олишда лазерлар технологияси муваффақиятли қўллана бошлади. Бу $Al(CH_3)_3$ $B(CH_3)_3$ туридаги органометалл молекулалар ёки $SiCl_4$ турдаги молекулаларни лазер нурлари таъсирида парчалашга асосланган. Бу ҳолда металл зарралари мазкур бирикмалар гази тўлдирилган камера деворларида майда донали кукун (порошок) кўрининишида ўтиради. Баъзан камерага маҳсус таглик жойланади.

Кукун (порошок)ни ўйдириш соҳасида асосий вазифа зичланган зарралар тутиниши мустаҳкамлигини оширишdir. Одатда зарралар чегарасида вакансиялар ва вакансион коваклар кўп бўлади. Масалан, SiC ёки Si_3N_4 кукунларига сийрак ер metallари оксидлари қўшилади, улар бор бўлган SiO_2 билан реакция қиласидилар. Қиздиришда $K_2CO_3 + SiO_2 \rightarrow K_2SiO_3 + CO_2 \uparrow$ ёки $CaCO_3 + SiO_2 \rightarrow CaSiO_3 + CO_2 \uparrow$ реакциялар оқибатида вакансион ковакларни тўлдирувчи K_2SiO_3 , $CaSiO_3$ сутоқ силикатлар ҳосил бўлади. КМ мустаҳкамлигини оширишнинг яна бир йўли юклама (босим) остида дарзлар ўсишини тўхтатишидир.

Босим остида кристалл тузилишини ўзгартериш усули ҳам КМ мустаҳкамлигини оширишга хизмат қилади. Масалан, босим остида тетрагонал тузилишли диоксид ZrO_2 моноклин тузилишли бўлиб қолади. Моноклин тузилишли ZrO_2 пинг ҳажми тетрагонал тузилишидан 3...5% қадар катта. Кенгайиб бориб, доналари дарзни қисади, дарз энди кенгая олмайди.

Яна бир усул шундан иборатки, мазкур керамикага ундан мустаҳкамроқ керамика толалари киритилади. Бундай КМда дарз ўсишида толага дуч келади ва нарига ёйилмайди. Амалда SiC кремний карбиdi толаларидан фойдаланилади.

Дарзларни тўхтатишнинг учинчи усули дарзнинг учини тумтоқлашдир.

Мазкур КМга бошқа моддаларнинг оз қўшимчасини киритганда ҳосил бўладиган бир жинс (гомоген) соҳалар пайдо бўлади, албатта. Шу соҳаларни имкони борича торайтириш КМ ларни мустаҳкамрөқ қилиади. Ҳозир шу асосда $0 \leq X \leq 5$ оралиқда $Si_{6-x}Al_xN_{8-x}O_x$ каби юқори мустаҳкамлиги:га эга бўлган КМ лар — сиалонлар яратилган.

КМ лар иккита муҳим соҳада — металлга ишлов берадиган кесувчи асбобни ва ҳаракатлантиргичлар қисмларини тайёрлашда қўлланилмоқда.

Керамик асбоб, мустаҳкамланган керамикадан ясалган кескичлар узоқ муддат ишлаши шароитида, кесиш тезлигини кўп марта ошириш имконини беради, анча энергия тежашга олиб келади.

Ҳаракатлантиргичларнинг қисмлари — турбиналарнинг ҳаракатланувчи ва қўзғалмас кураклари юқори даражада мустаҳкам бўлган ва унча мўрт бўлмаган керамикадан тайёрланса, унгар металл ва қотишмаларга нисбатан, анча юқори температураларда ҳам ишлай олади, Ф.И.Кси анча юқори бўлади, зичлиги кам, чидамлиги юқори.

КМлар автомобил ҳаракатлантиргичлари қисмларини тайёрлашда ҳам қўлланилади, механик зичлантиргичлардан сув қувурларни беркитувчи жўмракларда фойдаланилади.

13.3. Радиоактив материаллар ва чиқиндиларни сақтайдыган контейнерлар учун керамика

Ушбу мақсадга эришишнинг учта босқичи бор:

- 1) Чиқиндилар нисбатан эриб кетмайдыган кимёвий жиҳатдан чидамли моддага киритилади,
- 2) Бу модда герметик контейнерга жойланади,
- 3) Контейнерларни қуруқ ва барқарор геологик заминда күмилади.

Биринчи босқичда борсилкат шиша ва бор (В) ли керамика қўлланади, чунки бу моддалар нейтронлар ва γ -квантларни кучли даражада юта олади. Бу модда ичида кўрғошин ҳам бўлади. PbO ва $2PbO$, $PbSO_4$ оксидлар γ -нурларни энг яхши ютади. Уларни зичлаш олдидан B_2O_3 , B_4C , MgO_4 , MB , MB_2 моддалар кукунига аралаштирилади.

Иккинчи босқичда бетонлар ва бор (В) — кўрғошинли ерамика қўлланилади. А. Рингвуд (1978й. Австралия) «синрок» деган махсус керамикани яратди, у жуда барқарор бўлиб, перовскит ва цирконлит табиий минераллари асосида яратилган. Шундай қилиб, керамик материаллар радиоактив материаллар ва чиқиндиларни сақлашща қўлланилади.

13.4. Керамик ферритлар

Маълумки, модданинг магнит хоссалари кристалл панжарасини ҳосил қилиган атомлар магнит моментларининг ўзаро таъсири қандай бўлишлигига боғлиқ.

Ферритлар темир ва бошқа элементлардан таркибланган мураккаб оксидларdir. Уларнинг кўпчилиги ферримагнитлар бўлади ва ўзида ферромагнит ва ярим ўтказгич ёки диэлектрик хоссаларни мужассамлаштирган, радиотехникада радиоэлектроникада, ҳисоблаш техникасида магнит материаллар сифатида қўлланилади.

Ферритларнинг кристалл панжараси иккита таркиби панжарарадан иборат бўлиб, улардаги атомларнинг магнит моментлари қарама-қарши йўналган, аммо улар бир-бирига тенг эмас. Бошқача айтганда, бундай моддаларнинг кристали панжарасида табиати турли атомлар кўшни бўлади. Табиий ферримагнитнинг энг ёрқин мисоли магнетит $FeO \cdot Fe_2O_3$ бўлади. Унинг кристаллида кислороднинг манфий ионлари

кубик панжара ташкил қиласы, унда ҳар бир $\text{FeO} \cdot \text{Fe}_2\text{O}_3$ молекулалага бир Fe^{++} ион ва иккита Fe^{+++} ион тұғри келады. Бу ионлар үрнини икki вәлентли бошқа металлар (Mg , Ni , Co , Mn , $\text{Cu}...$) ионлари M^{++} әгаллаши мүмкін. Бундай ферритларда бир таркибий панжара Fe^{+++} ионларнинг ярмидан тузилган, иккинчи эса Fe^{+++} ионларнинг иккинчи ярми ва M^{++} ионлардан ташкил топған.

Металлнинг $M^{++}\text{O} \cdot \text{Fe}_2\text{O}_3$ мураккаб оксиддеги қотишимаси (қаттық әзіртмаси), масалан, $\text{Li}_x\text{Mn}_{1-x}\text{O} \cdot \text{Fe}_2\text{O}_3$, $\text{Zn}_{1-x}\text{Mn}_x\text{Fe}_2\text{O}_3$ ва бошқалар катта ақамиятлайдыр. Ферритларнинг ферромагнит материаллардан иккита мүхим фарқи бор: 1) уларда юқори магнит хоссалар (кичик коэрцитив күч, магнит қабулчанлықтарнинг катта бұлишлігі ва ҳ.к.) билан биргаликда юқори даражада изоляцион хоссалар ҳам мавжуд;

2) ферритларнинг солиширма электр қаршилигі $10^3 \Omega \cdot \text{см}$ га етады, бу эса темирницидан миллион марта тартибіда катта, гистерезис сиртмоғи тұғри тұртбұрчак шаклида.

Ана шу фазилатлар ферритларнинг кенг амалий құлланышында сабаб бұлған. Улар индуктивлик ғалттаклары трансформаторлар, дросселлар, магнит антенналар ва бошқа магнит үтказғышлар ұзаклары сифатыда юқори тақрорийліктердада ишлеши таъминлады. Феррилар тұлқын қувирларыда үтә юқори тақрорийлікли электромагнит тұлқынларнан бошқарадын асбобларда құлланады.

Хисоблаш техникасында құлланадын ферритлар тұғри тұртбұрчаклы гистерезис сиртмоғига ва нисбатан кичик коэрцитив күчге зәға бұлады.

$\text{BaO} \cdot (\text{Fe}_2\text{O}_3)_6$ туридеги ферритлар катта коэрцитив күчга эга (80 kA/m дан ортиқ) ва улардан доимий магнит тайёрланады.

Ферритнинг таркибий панжараларыда Fe^{++} ионлар, катионлар тақсимоти ва уларда нүксонлар миқдори газнинг таркибига, күйдириш температурасидан совутиш тезлигига бағытталған. Бу бағланыштардан ферритларнинг магнит ва электр хоссаларини шакллантиришада фойдаланилады.

13.5. Сегнетоэлектрик ва пироэлектрик керамик материаллар

XII бобда сегнетоэлектрик ва пироэлектриклар тұғрисида мәліумот берилған эди. Бу ерда сегнетоэлектрикларнинг диэлектрик қабулчанлығы және электр майдоннинг ноңзигий

функцияси бўлишигини эслатиб ўтамиз, бунинг сабаби уларда спонтан (ўз-ўзидан) кутбланишнинг мавжуд бўлишилигидир, у, муайян температура оралиғида, электр майдон бартараф қилинганилигидан кейин ҳам сақланади. Бу биринчи марта сегнет тузи $KNaC_4H_4O_6 \cdot 4H_2O$ да -18 ва $+24^{\circ}C$ оралиғида спонтан қутбланиш кузатилган.

Пастки температуралдан қўйида сегнетоэлектриклиги зарядлар ҳаракатсиз, юқори температуралдан баландда эса кучли иссиқлик ҳаракати оқибатида зарядлар қутбланиши йўқолади. Сегнетоэлектрик ҳолат мавжуд соҳада бу моддалар пироэлектрик хоссага ҳам эга: иситилганда қутбланиши ўзгаради ва э.ю.к. вужудга келади.

Барий титанати $BaTiO_3$ (Б.М.Вул, 1945й) кашф қилингандан кейин сегнетоэлектрикларнинг техникада (аввало, конденсаторларнинг диэлектрик қатлами сифатида) кенг кўлланиши бошланди. Сегнетоэлектрик яхши изолятор, у қутбланиш эвазига электр заряд жамғаради.

Агар сегнетоэлектрик керамика кристалларида кристалл марказига нисбатан зарядлар симметриклас тақсимланган бўлса, у ҳолда механик деформация оқибатида қутбланиш силжийди, бу ҳодисадан пъезоэлектрик керамикада фойдаланилади. Баъзи пъезоэлектрик материаллар намуналари учлари орасида 10^4 В дан катта кучланиш ҳосил бўлиши мумкин. Қисқа тугашишда чиқадиган учқундан ўт олдирувчи қурилмаларда (масалан, ҳаракатлантиргичларда) фойдаланилади. Пъезокерамикада механик энергияни электр энергияга айлантиришда истроф кам бўлганлиги учун, ултратовушдан фойдаланиладиган медицина асбобларида ва бошқаларда самарали кўлланади.

Сегнетоэлектрик керамика фавқулодда нозик, субмикрометрли диапазонда кўча оладиган ҳаракатлантиргичлар яратиш имконини берди, бу асосда туннел микроскоп кашф қилинди.

Сегнетоэлектриклар асосида ёргулик модуляторлари тайёрланган.

Ҳозир кўп микдорда сегнетоэлектрик моддалар маълум. Уларнинг табиати тўла аниқланмаган бўлсада, аммо бир қатор муҳим қонуниятлари топилган. Масалан, сегнетоэлектрик ҳолат бўлиши учун қандайдир ички деформация ёки тартибсизлик даражаси бўлмоғи зарур. Масалан, $BaTiO_3$ да титан ва барийнинг панжаралари кислород панжарасига

нисбатан силжиган бўлади. Керамикани тайерлашда электр кучланиши берилганда кристалл доналари тартибсизлик тартиблиликка ўтадиган бўлиб қайта йўналади. Барий титанатида панжаралар силжиши билан боғлиқ ички деформация намёён бўлади. Бошқа ички деформациялар ҳам бўлади.

Пироэлектрик керамика I^{\pm} нурланиш детектори (ошкорлагичи) сифатида қўлланилади, бундай детекторларнинг сезгирлиги жуда юқори, уларнинг ёрдамида температуранинг 10^{-6} К қадар ўзгаришини ўлчаш мумкин.

13.6. Ўта ўтказувчан керамика

Голландия физиги Х. Камерлинг-ОНнес биринчи марта газларни суюлтириб паст температуralар ҳосил қила бошлаган олим – 1911 йилда симобнинг электр қаршилигининг температура пасайганида сакрашсимон йўқолишини биринчи марта кузатиб, симоб $T=4.15\text{ K}$ да ўта ўтказувчанлик деб аталган янги ҳолатга ўтади деган холосага келди. Бундан бир неча йиллар олдин кўпгина металл элементлар, қотишмалар, интерметалл бирикмалари, бавзи ярим ўтказгичлар, полимерлар паст температуralарда ўта ўтказувчанлик деб қолишлиги аниқланган эди. Nb_3Ge германий ниобат энг юқори ўтиш температурасига (23 K атрофида) эга деб ҳисобланар, 1986 йилда Г. Беднорц ва А. Мюллер (Швейцария) лантан, барий ва мис оксиди асосида 35 K да ўта ўтказувчан бўлиб қоладиган керамика олдилар. Бундан кейин жаҳоннинг кўп итмий лабораторияларида “ўта ўтказувчанлик жазаваси” кўтарилди. Г. Беднорц ва А. Мюллер рекорди бир неча ой давомида бир неча марта орқада қолдирилди, ниҳоят 1987 йилда П. Чу раҳбарлигидаги бир гурух америка олимлари ўта ўтказувчанлик ҳолатига ўтиш критик темпераси $T_c=93\text{ K}$ бўлган иттрий-барий-мис оксиди таркибли керамика ҳақида хабар қилдилар. Бу ажойиб воқеа эди, чунки осон ва арzon суюқ азотнинг қайнаш температураси 77 K бўлиб, юқоридаги керамик бирикмани ўта ўтказувчан ҳолатга ўтказиш учун шу суюқ азотнинг ўзи кифоя бўлади. Келажакда ўта ўтказувчан материалларнинг техникада кенг қўлланилиши имконияти очилди.

II. Чуваңдан кейин бопқалар синтез қилған керамикада иттрій Y, барий Ba ва мис Cu үчүн мөс равишида 1:2:3 ишебатдаги таркиб аниқланған. Шунинг учун бу керамикани "1:2:3" керамика деб ҳам аталади. Y^{++} ва B^{++} топилған зарядлар ва миснин имконий Cu^+ , Cu^{++} , Cu^{+++} зарядлари бұлишилиги күрсаталыны. мазкур бирикма атомлари гурұхыда тұла мусбат заряд 10 дан 16 гача бұлиши мүмкін. Кислороднинг заряды -2 га тең, мусбат ва манфий зарядлар сони тең бұлиши керак. Шунинг учун бирикмада 6 та металл ионига 8 тача кислород атоми түгри келиши лозим. Шу мұлоҳазалардан 1:2:3 бирикманинг кимёвий ифодаси $YBa_2Cu_3O_{6.5}$ бұлишилиги аниқланған.

1:2:3 бирикмалар первскит тузилишга эга бұлишилиги ишончлы тасдиқланған.

$Y\text{-Ba-Cu-O}$ ута үтказгичнинг хусусияти – қатламдорликтер: иккі йұналишиша панжара даври 0.28 нм, учинчи йұналишида эса 1.2 нм. Асосий үтказувчанлик мис-кислород қатламига түгри келади, бунинг сабаби мис атомлари электронлари д-қобигишининг кислород атомлари электронлари р-қобиги билан үстма-уст тушишидір. Аммо, аниқланған мазкур қатламдор тузилиш тасвирланаётган ҳодисаны физик нұқтаи назардан тұла түшиниб олиш учун етарли эмас.

Сайрак ер элементлары атомларининг, кислороднинг бу бирикмалари ута үтказувчанлигига құшадын ҳиссасини аниқлаш масаласини ечиш зарур. Керамик ута үтказгичларда (Купер) электронлар жуфтлары бу хоссаны көлтириб чиқариши ишботланған, аммо электронлараро тортишиш күчләри табиати ҳали аниқ эмас.

Юқори температурали ута үтказувчанлик құлланиши мүмкін соқалардан бири электрон техникадир. Бу асосда интеграл схемаларда элементлары зичлигини $10^8/\text{см}^3$ га етказиш мүмкін.

Транспорт соқасида ҳам ута үтказувчанлик кагта самара беради. Келажақда ута үтказувчан материалдан электр қарқатлантиргич ясап мүмкін. Унинг ұажми үшандай қувватли одатдагисидан 10 марта кичик бұлади.

Материаллардан магнит осмали транспорт, электроэнергия жамғаргичлар, МГД-генераторлар ва электр энергияны үзитиш йүллари ишлаб чиқышда фойдаланса бұлади.

Янги материаллар қилириш ишлари ҳам давом этмоқда. Висмут ва таллий асосида ($\text{Bi}-\text{Sr}-\text{Ca}-\text{Cu}-\text{O}$) ва ($\text{Ti}-\text{Ba}-\text{Ca}-\text{Cu}-\text{O}$) бирикмалар кашф қилинди.

Бу соҳада назарий ва экспериментал тадқиқотлар жадал олиб борилмоқда, бинобарин, янги ажойиб кашфиёт ва қўлланишларни кутиш мумкин.

Композицион материаллар

Композицион материаллар (композитлар) бирор асосий модда ичизда бошқа модданинг толалари ёки зарралари муайян тарзда тақсимланган материаллар. Тақсимланган моддани арматура лейилади. Арматура тартибли ёки тартибсиз жойлашган бўлиши мумкин.

Композитларни ишлаб чиқиши мақсадлари қўйидагилардан иборатлар. Техника ва технологияда мустаҳкамлиги, қаттиқлиги, иссиқликка бардошлиги, кимёвий таъсирга барқарорлиги юқори даражада бўлган материаллар керак. Бунга эришиш учун даврий системанинг ўртасида жойлашган элементлар - C, Al, Si, O, N лардан фойдаланилади, улар ўзаро мустаҳкам барқарор bogланган бирикмалар ҳосил қиласи. Бу бирикмалар мисоллари: кремний карбиди SiC , нитриди Si_3N_4 , оксиди SiO_2 , алюминий оксиди Al_2O_3 . Агар уларни майда зарралар ёки ингичка толалардан тайёрланса, мустаҳкамлиги анча ортади.

Масалан, ойна шишаси мўрт модда, аммо шиша тола чўзилишга нисбатан жуда мустаҳкам бўлади.

Толаларнинг энг катта имконий мустаҳкамлигидан фойдаланиш мақсадида уларни асосий модда ичига жойланади, бунда асосий модда толаларни бир-бирига бирлаштириб, материалга қаттиқ шакл беради. Шунинг учун тола иплар иншоотлар, қурилмаларда ишлатиладиган композитларнинг муҳим таркибий қисми бўлади. Толаларнинг / узунлиги уларнинг d диаметридан анча катта бўлиши керак ($l/d > 100$). Узун толалардан фойдаланишла синергизм ҳодисаси юз беради. Синергетика ички тескари bogланишили системаларда ўз-ўзини бошқарини ўрганадиган фан. Композит ҳолида синергизм толанинг асосий моддага (матрицага) ва асосий модданинг толага таъсирилар. Агар чўзиш деформацияси вақтида тола узилса, асосий модда бу

узилиш жойларини қисали ва тола қисқа толалардек ишлай беради. Шундай қилиб композитларни тайёрлашнинг асосий мақсади ундаги толаларнинг мустаҳкамлигини сақлашадир. Умуман, композитлар уларни таркиблаган қисмларига нисбатан юқори сифатли бўлмоғи керак.

Композитлар таркиби қандай танланади?

Композитнинг муайян температуралар оралигида ишлай олиш қобилиятини таъминлайдиган асосий модда ва арматурани танлаши энг муҳим вазифадир.

200°C дан гача температураларда ишлайдиган композитларни тайёрлашда полимер моддалар қўлланади. Масалан, шишапластик композит полиэфир смола ичидаги тақсимланган қисқа шиша толалардан иборат. Бу композит автомобил, кемава турли асбоблар танасини тайёрлашда ишлатилади.

Термореактив пластиклар деб аталаған композитлар полимерлар асосида тайёрланған бўлиб, уларда молекуляр занжирилар орасидаги кундаланг боғланишлар қаттиқ уч улчошли тўр шаклидаги молекуляр тузилишни ҳосил қиласди. Уларнинг мисоллари – эпоксид смолалар, 350°C гача қиздиришга чидайдиган полимер смолалар.

Юқори температураларда ишлайдиган композитлар учун асосий модда (матрица) сифатида металлар олинади. Металл моддаси, иссиқликка чидамлиликдан ташқари, толалар мустаҳкамлигига мустаҳкамлик қушади. металлнинг пластиклиги композитга қайишқоқлик хоссасини беради.

Жуда юқори температураларда керамик матрицалар қўлланади. Уларга киритилган толалар керамикада дарзларнинг катталашиб кетишига тусиқлик қиласди.

SiC, Si₃N₄, Al₂O₃ моддалар асоси қилиб олинса, улар композитнинг ишлани температурасини 1700°C гача кўтаради. Карбон асосидаги композитлар юқори қаттиқликка эга, кам товаклиқ бўлади. Бунда матрица сифатида аморф карбон олинса, арматура толалари кристалл карбон – графитдан бўлса, бу композит 2500°C гача чидаш беради.

Учувчи апаратлар учун материалнинг σ мустаҳкамлигини ошириш, ρ зичлигини камайтириш зарур, яъни σ/ρ нисбатининг катта бўлишига эришиш керак.

Карбон матрициали композитнинг бальзи камчиликларини бартараф қилиш учун уни чидамлироқ SiC юнқа қатлами

билин қопланади. Бу композит «Шаттл» космик кемасида құлланилған.

Демак, матрица мөддаси бириңчи нағызда композитнинг ишлаш температурасыға қараб танланади.

Хар қандай мөддадан тайёрланған толалар мустаҳкам бұлади, аммо бошқа хоссалари күчли даражала фарқ қилиши мүмкін. Масалан, шиша толаларнинг чүзиша нисбетен мустаҳкамлиги карбон толалариникідек, аммо уларнинг қаттиқлигі ҳар хил: шиша тола күчли чүзилади. Карбон тола деңгели чүзилмайды. Шунинг учун кагта юкламалар берилғанда қаттиқлигі талаб қилинғанда шиша толани құллаб бұлмайды.

Зарбаларға дүйнірек туралған буюмлар, қурилмаларда масалан, ҳарбий техникада ишлатыш учун юқори зарбавий мустаҳкамликка әга бұлған композитлар құлланади. Толани танлашып шиши матрица мөддаси билан кимёвий қаммавжуд булиштігі мұхым. Аммо, композит тайёрлашда толани бузадиган кимёвий реакциялар юз бермасын керак. Тола мөддаси ҳали қотмаган матрица мөддасини яхши ұллайдырып бұлса, юқори сифатлы композит ҳосил бұлади. Ҳулланишни яхшилаш мақсадыла ҳам тола, ҳам матрица билан үзаро таьсирлашадын мәнсус қатламлар үтқазылады.

Демак, тола мөддасини танлаша қойыдаги түрттә қоидага риоя қилинали: композитнинг мустаҳкамлигі; композитнин қаттиқлигі; толаниншы ұлланиши және шиши матрица суюлмасида кимёвий барқарорлығы.

Композитнинг түзилиши масаласи ҳам жуда мұхым, унинг геометрик ички түзилишига қараб хоссалари ҳам ҳар түрли бұлади.

Композит арматураси шакли композит мустаҳкамлигининг толалар йұналғанлығы, толалар эгилувчанлығы болғықлигі, арматуралы тайёрлаш қараждатыға қараб танланади.

Шу талаблар асосида композитлар ишлаб чиқариш технологиясын үсуллари яратылған.

Масалан, металлнинг юпқа қатлами ёки күкүні тола үстигі үтқазылады және металлнинг суюлиши температурасыдан пастроқ температура ларда қиздиріледи. диффузия жараёни оқибатыда металл матрицаси тола билан бояланади. Бошқа бир неча үсуллар ҳам мавжуд.

Саволлар

1. Қандай моддалар керамик моддалар бұлади?
2. Керамик ва металл қаттың жисмларнинг барбод булиши механизмлари фарқи нимадан иборат?
3. Керамикани мустаҳкамлашнинг қандай усуллари бор?
4. Керамика қайси соҳаларда құлланылади?
5. Ферритлар қандай моддалар?
6. Сегнетоэлектрик ҳодисаси нимадан иборат?
7. Юқори температурали ўта ўтказувчанлик ҳодисаси қандай моддаларда мавжуд бұлади?
8. Ўта ўтказувчанлик құлланадиган соҳалар ҳақида сұзлаб беринг.
9. Композитни таърифланг.
10. Композит таркиби қандай қоидалар асосида танланади?

XIV БОБ

ҚАТТИҚ ЖИСМЛАРДА ҲАЖМИЙ ҮЗГАРИШЛАР

Қаттиқ жисмларда ҳажмий үзгаришлар фазавий үтишларга мансубдир. Фазавий үтиш нұқтасида фазалар мувозанати шартты кимёвий потенциаллар тенглигидан иборат, яғни $\mu_1=\mu_2$. Маълумки, I жинс фазавий үтишларда модданинг зичлиги ва термодинамик функциялар үтиш нұқтасида сакраб үзгаради, уларда үтиш иссиқлиги ажралади (ютилади). Бундай үтишлар мисоллари: суюлиш, буғланиш, кристалланиш, кристалларнинг шакл үзгаришлари.

II жинс үтишларда иссиқлик ажралмайды (ютилмайды), термодинамик функцияларнинг үзи үтиш нұқтасида сакраб үзгармайды, балки уларнинг ҳосилалари бўлмиш иссиқлик сигими ($c_p=d^2\Phi/dT^2$), қисилувчанлик (dV/dP), иссиқликдан кенгайиш (dV/dT) ва бошқалар сакраб үзгаради. Бундай үтишларга мисоллар: температура үзгариши билан ферромагнетикнинг параметрикка аврилиши, суюқ гелийнинг ўта окувчан ҳолатга үтиши.

Қаттиқ жисмларда ҳажмий үзгаришлар кимёвий таркиб үзгармаган ҳолда ва кимёвий таркиб үзгарган ҳолда юз бериши мумкин.

Аллотропик аврилишлар

«Аллотропия» сүзи юнон тилидан олинган ва «бошқа шакл» деган маъненин анлатади. Аллотропия (полиморфизм) атамаси кимёвий элемент ёки қаттиқ бирикмаларнинг бир неча шаклда (модификациясида) бўлишлигини тавсифлаш учун киритилган.

Моддаларнинг аллотроплари (шакллари) бир-биридан кристаллда атомларнинг турлича жойлашиши билан фарқланади, бунда

- 1) молекулаларда атомлар сони ҳар хил бўлади;
(мисол: олти ва сakkiz атомли олтингугурт молекуласи);

2) молекуладаги атомлар сони бир хил бүлгани ҳолда молекулаларнинг ўзаро йўналиши турли (мисол: олтингугуртнинг ромбик ва моноклин шакллари);

3) металлар кристалларида атомлар қатламларининг тахланиш кетма-кетлиги бошқача бўлади.

Муайян температурада (ўтиш температурасида) бир хил аллотропик шаклдан иккинчисига ўтиш содир бўлади.

Масалан, олтингугурт $T_c=368.5K$ да ромбик кристалл шаклidan моноклин кристалл шаклига ўтади, бунда ўтиш иссиқлиги 90 кал/(г-атом)га тенг бўлади, кимёвий таркиб ўзгармайди. Ички энергия кристалл панжарасида атомлар жойлашиши функцияси, яъни кимёвий bogланиш функциясидир. Шунинг учун аллотропик аврилишларда (ўтишларда) унинг ўзгариши эвазига иссиқлик ажралади (ютилали), демак, бу жараёнлар I жинс фазавий ўтишларга мансуб.

Мана шунаقا аллотропик аврилишлар Ti, Zr, Hf, Cr, Fe, Mn, Co, Tl элементлар кристалл панжараларида ҳам бўлади.

Кристалл тузилиши ўзгариши билан бир қаторда кимёвий bogланишлар табиати ҳам ўзгариши мумкин. Бунда бир аллотропик шаклда қаттиқ жисм металл ўтказувчаникка, бошқа шаклда эса ярим ўтказгич ёки диэлектрик хоссаларига эга бўлиши мумкин. Масалан, қалайи Sn ни олсак, у юқори температураларда тетрагонал панжарали (ва координацион сони K=6 бўлган) асл металл (оқ қалайи) бўлади, t=13.2 °C да оқ қалайи кулранг қалайига аврилади, кейинги эса кубик шаклдаги олмос (K=4) панжарасига эга бўлган ярим ўтказгичdir.

Se селенининг учта аллотропик шакли бор: кулранг селен – ярим ўтказгичdir, қизил ва қора селенда ярим ўтказгичлик хоссаси йўқ, қизил селен моноклин тузилишга эга, қора селен эса аморф мoddадан иборат бўлади.

Кимёвий bogланишлар ўзгарадиган аллотропик аврилишлар олтингугурт S, маргимуш As, фосфор P, карбон C (графит ва олмос) элементларга ҳам хосdir.

Мартенсит аврилишлар

Баъзи металлар ва қотишмаларда ҳажмий ўзгариш алоҳида хусусиятга эга. Бундай ўзгаришлар металлар ва қотишмалар технологиясида муҳим ўрин тутади. Мартенсит номи машҳур металлург Мартенс номидан келиб чиққан.

Мартенсит аврилишлар (ўзгаришлар, ўтишлар) бирор температурада тугалланмайды, албаттa қатъий термодинамик маънода қайтмас, аммо тузилиш маъносида қайтар жараёнлардир.

Айтайлик, қаттиқ жисм (металл) икки аллотропик шаклда бўлиши мумкин. Агар юқори температурада мавжуд бўладиган аллотропа шаклдаги жисмни T гача совутсак, бунда иккала шаклнинг эркин энергиялари бирдай бўлса, у ҳолда паст температурали шаклга ўтиш юз беради. Қаттиқ жисмни пастроқ мартенсит аврилиш (ўтиш) бошланадиган T_m – температурага совутиш зарур. Агар T_m га етганда совутиш тұхтатилса, бу ҳолда ўтиш тұхтайди. Агар T_m дан кейин совутиш яна давом эттирилса, паст температурали фаза (шакл) ҳосил бўла беради. Ниҳоят қандайдир T'' паст температурада ўтиш (аврилиш) тамомила тугалланади. Юқори температурали фазага (шаклга) тескарича ўтиш ҳам мумкин, лекин, температуralар оралиқлари олдинги йўналишда ўтишдан фарқ қиласи, яъни бунда гистеризис пайдо бўлади – бу ҳодиса мартенсит ўтишлар (аврилишлар)нинг муҳим ҳусусиятидир.

Мартенсит аврилишларни диффузиясиз ўтишлар ҳам дейилади, чунки улар бир ёки бир неча текисликларнинг жуда кичик (атомлараро масофасининг улушлари чамасидаги) масофаға бир вақтда силжишларидан иборат, бунда текисликлар орасидаги боғланиш бузилмайди. Бу мазкур ўтишларнинг яна бир ҳусусиятидир. Атомлар текисликларнинг тузилишининг унча катта бўлмаган пластинасимон бузилишига олиб келади. Намуна сиртидаги бу пластинасимон шакллар микроскопда яхши кўринади. Масалан пўлатлар тобланганда, яъни юқори температурадан бошлаб уларни тез совутилганда ёки марказлашган куб панжарали γ -Fe даги карбон С нинг қаттиқ эритмаси тетрагонал панжарали мартенсит шаклга ўтади. С нинг миқдори қанча кўп бўлса, тетрагоналлик даражаси ортиқ бўлади. Бир вақтнинг ўзида мартенсит пўлатнинг мустаҳкамлиги ортади.

Бир тоза металлар (Fe , Co , Ti , Li , Na ва б.) ва кўп қотишмалар ($Fe-Ni$, $Fe-Mn$, $Ti-Mn$, $Au-Cd$, $Mn-Cu$ ва б.) да мартенсит аврилишлар бўлишлиги маълум.

Үтә түйинган эритманинг парчаланиши

А эритувчилда В молда эриган бўлсин. Юқори T_1 температурада В моддасининг эритмада мувозанатий зичлиги C_1 етарли-ча катта. Температура T_2 гача пасайтганда система C_2 гача камайган зичликли ҳолатга ўтади.

В эрүвчининг зичлиги камайиши ҳисобига “чўкма” ҳосил бўлади, бу эса ўтә түйинган эритма парчаланиди демаклир.

Термодинамик таҳлилнинг кўрсатишича, икки фаза аралаш-масининг барқарор бўлишиларига учун бу аралашманинг эркин энергияси энг кичик бўлиши керак.

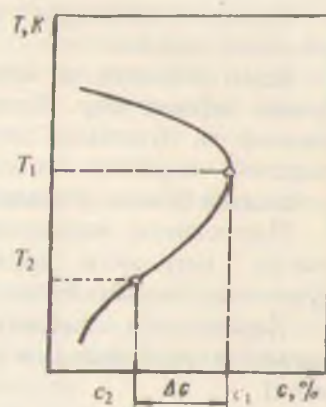
A ва B таркибловчидан иборат $A_{1-x}B_x$ ($x < 1$ – мазкур таркибловчининг улуши) бўлган эритмада барқарорлик температурага боғлиқ, чунки эркин энергия температура функцияси бўлади.

Температура T ўзгарганда (пасайтганда) x улуш ўзгарида, бу эритманинг қисман парчаланиши, оқибатида эса томомила парчаланишга олиб келади. Бундай парчаланишнинг икки тури мавжуд: *активацион, активационы мас парчаланиши*.

Биринчи ҳолда эритма парчаланиши учун қандайдир миқдорда қўшимча энергия сарфлаш (энергетик тўсиқдан ўтиш) зарур бўлади. Шунинг учун дастлабки эритма иккита эритмага бўлиши мумкин.

Иккинчи ҳолда парчаланиш энергиянинг пасайиши билан боради. Мұнайян шароитда активацион парчаланиш ноактивацион парчаланишга ўтади. Қаттиқ эритма парчаланиши жараёнининг биргачча солдайштирилган тасаввурлари бор.

Қаттиқ эритманинг парчаланиши унинг ичидаги янги фаза марказлари (хомиртуруннадари)нинг пайдо бўлишидан бошлиниди. Хомиртуруннадарига (марказнинг) ўлчами бирор критик r_c қийматга стуюча эркин энергия ошили, бундай марказлар қайта эриб кетишга мөнил. Аммо, ўлчами r_c дан катта бўлиб



14-1-чизма. Қаттиқ эритманинг температура пасайтганда парчаланишини тушунтирадиган чизма.

олган марказлар ўса боради, чунки бу ҳолда кристаллнинг эркин энергияси камая боради. Энг биринчи марказ сифатида ҳар қандай нүқсонни қабул қиласа бўлади, уларнинг ўлчами панжара доимийси (антстрем) тартибida бўлиб, улар қаттиқ эритмада ҳамма вақт мавжуд бўлади. Атом ўлчамидаги бундай марказларни «сегрегатор ёки кластерлар» дейилади.

Умуман айтганда, эритманинг парчаланиши – кўп босқичли жараён.

Ярим ўтказгич ва металл қаттиқ эритмалар орасида жуда муҳим тафовут бор. Ярим ўтказгичларда ажralиб чиқадиган атомлар ва нүқсонлар зичлиги таққосланурли металларда эса ажralиб чиқаётган атомлар миқдори нүқсонлар миқдоридан анча катта бўлади. Бундан муҳим фарқлар келиб чиқади.

Парчаланиш марказларининг ўсиш жараёни (кинетикаси) асосан янги-янги атомларнинг марказ сиртига келиб қўшилиши тезлиги билан боғланган.

Парчаланиш ёзибатида пайдо бўлаётган янги β фазанинг ҳажмий улуши қўйидаги кинетика тенгламаси (Авраам тенгламаси)

$$\xi = \frac{V_\beta}{V} = 1 - \exp(-K(t)^\alpha)$$

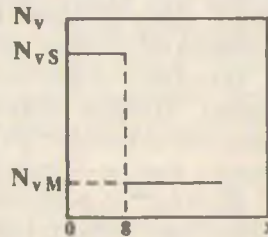
орқали ифодаланади, бунда K – доимий кўпайтувчи, α – ўтиш механизмига боғлиқ кўрсаткич.

Қатъий назарий таҳлил мақсадида

$$\frac{dc(r,t)}{dt} = D\nabla^2 c$$

диффузион тенгламанинг турли ҳоллари учун ечимларини Авраам тенгламасига келтириш мумкин эканлиги аниқланди.

Яна бир ҳодиса устида тўхталамиз. Кристаллни механик ишловга дучор қилинганда – уни шилганда ва сайқаллаганда сиртий қатлам бузилали ва ортиқча (ҳажмдагига нисбатан) вакансиялар билан тўйинади. Оқибатда кристаллда дастлабки погонасимон вакансиялар тақсимоти ҳосил бўлади: ҳажмда мувозанатий вакансиялар қаттиқ эритмаси, δ -қатламда эса номувозанатий вакансиялар қаттиқ эритмаси мавжуд бўлади.



14.2-чизма. Сиртий δ -қатламни туйинтирғандан сўнг вакансиялар тақсимоти.

Албайта, ортиқча вакансиялар ҳосил булиши ҳамон уларнинг бутун кристалда тенглашишига томон йўналган жараён бошланади. Бу жараённи икки босқичга ажратиш мумкин. Биринчи босқичда вакансияларнинг ўға тўйиниган эритмаси парчаланади ва бир вақтда уларнинг диффузияси боради. Кўп вакансиялар коваклар ҳосил қилишига кетади, иккинчи босқичда қолган номувозанатий вакансиялар диффузияланади ва майда коваклар камайиши ҳисобига йирик коваклар кўпаяди. Бу босқич охирида ортиқча вакансиялар б қатламдан чиқади, кристалда коваклар ва вакансияларнинг мувозанатий ҳолати үрнашади.

Қаттиқ жисмларда температурага боялиқ бўлмаган фазавий аврилишлар

Қаттиқ жисмдаги ҳажмий ўзгаришларга босим ҳам катта таъсир кўрсатади. Катта босимлар ҳосил қилиш техникаси на- мунага ҳам ҳар тарафлама (гидростатик), ҳам бир тарафлама (бир ўқди) босим берин имконини яратган.

Катта энергияни зарралар (у - квантлар, нейтронлар ва б.) билан нурлаганда, механик таъсирлар оқибатида ҳам ҳажмий ўзгаришлар юз беради.

Нурлаш натижасида нуктавий нуксонлар ҳосил булиши бизга маълум: катта энергияни зарра уз йўлида вакансиялар ва тугунлараро атомлар пайдо қиласади. Бу зарра йўлининг охирида у ўз энергиясини тўла сарфлаб булганда кристалда диаметри 5-10 кристалл панжараси доимийси чамасида бўлган сийракланган зона пайдо бўлади, бу соҳада панжара тартибсанланади, энг чегаравий ҳолда тўла аморфланиши вужудига келади. «Яхланган» ҳолатда бу соҳа узоқ мавжуд булиши мумкин, лекин кристалл қиздиришганда бу соҳалар уз ҳолига қайтади, кристалл мувозанатий ҳолатини олади.

Механик таъсирлар (ишқаланин, майдаланин, зарб ва б.) кристалда панжаранинг кучли даражада тартибсанланшишига ҳатто аморфланишига олиб келади. Механик таъсирлар оқибатида кристалл панжараси бир кўринишдан бошқа кўринишга утиши мумкин. Масалан, ишқаланини оқибатида олмоссимон панжарали кремний Si кристали аморф ҳолатга утиши, тексагонал панжарали кобалт Со ёки марказлашган куб панжара бўлиб қолиши мумкин.

Энди қаттиқ жиһемларда юз берадиган ҳажмий үзгаришлардан амалда қандай фойдаланилади деган саволга қисқача жавоб берамыз.

Күп технологик жараёнларни амалта оширишда температура, босим, механик ишлов ва бошқа таъсирларни ҳисобга олишга тұғри келади.

Олдин айтганимиздек, мартенсит аврилишлар карбонлы пұлатларнинг термоишлоуда кенг құлланилади. Қотишимада карбоннинг миқдори 2% (масса бүйича)дан ошмайды. Энг муҳими пұлатда карбон графит ҳамда темир қарбиди Fe_2C құренишларда бұлады. Агар пұлатни ҳосил қилиш ёки термоишлоу беришда кескин тоблаш қилинса, оралық фаза мартенсит деформацияланған ҳажмий марказлашган куб панжарали бұлиб, пұлатнинг мустаҳкамлигини анча оширади. Бу ҳолат хона температурасыда узоқ вақт мавжуд бўлиши мумкин.

Металл қотишмаларнинг дисперсион қаттиқланиши ҳодисаси қаттиқ эритманинг парчаланиши вақтида юз берадиган ажратмалар ўлчамлари ошган сари қотиshmанинг қаттиқлиги ошишидан иборатdir. Мустаҳкамлик орта боради, максимумдан ўтади, кейин ажralаётган иккинчи фаза қириндилари ўлчамлари ортиши билан мустаҳкамлик камая боради. Бу ҳодиса дюралюминда ($Al+4\%Cu+0,5\%Mg$) юз беради. Бу қотиshmанинг мустаҳкамлик хоссалари хона температураси ёки ундан юқорида вақт үтиши билан яхшиланиб боради. Бу жараённи қотиshmанинг қариси деб аталади. Мустаҳкамланишнинг сабаби: қаттиқ эритма парчаланғанда қотиshmанинг тузилишида панжарани мустаҳкамловчи оралық фазанынг вужудга келишидир.

Күп қотишмаларда дисперсион қаттиқланиш хона температурасыдан анча юқоригоқ температураларда күзатилди. Шунинг учун бу температуралардан бошлаб (паст томонға) тобланса паст температураларда қотиshmани мустаҳкамланған ҳолатда узоқ сақдашы даундан аманай мақсадларда фойдаланиши мумкин.

Саволлар ва масалалар

1. Қаттиқ жисмларда ҳажмий ўзгаришларнинг қандай асосий күринишлари бор?
2. 1 ва 2 жинс фазавий ўтишлар бир-биридан қандай фарқ қилади?
3. Аллотроп ўзгаришларнинг моҳияти нимадан иборат?
4. Мартенсит ўзгаришларнинг моҳияти нимадан иборат?
5. Температурага боғлиқ бўлмаган фазавий ўзгаришлар хақида нималарни биласиз?
6. Ҳажмий аврилишлардан амалда қандай фойдаланилади?

Баъзи физик катталиклар

Катталиклар	Белгиси	СИ тизим бирликларидан	СГС бирликларидан
Электроннинг тиричинк масаси	m_e	$9,11 \cdot 10^{-31} \text{ кг}$	$9,11 \cdot 10^{-28} \text{ г}$
Электроннинг заряди	e	$1,6 \cdot 10^{-19} \text{ Кл}$	$1,6 \cdot 10^{-19} \text{ сесз}$
Планк доимийси	h	$6,63 \cdot 10^{-34} \text{ Жс}$	$6,63 \cdot 10^{-27} \text{ эргс}$
Аногадро сони	N_A	$6,02 \cdot 10^{23} \text{ мол}^{-1}$	$6,02 \cdot 10^{23} \text{ мол}^{-1}$
Бодиман доимийси	K	$1,38 \cdot 10^{-23} \text{ Ж К}^{-1}$	$1,38 \cdot 10^{-16} \text{ эрг К}^{-1}$
Газ доимийси	$R=kN_A$	$8,3142 \text{ Ж мол}^{-1} \text{ К}^{-1}$	$8,31 \cdot 10^7 \text{ эрг мол}^{-1} \text{ К}^{-1}$
Электрон-волт	эВ	$1,6 \cdot 10^{-19} \text{ Ж}$	$1,6 \cdot 10^{-12} \text{ эрг}$
Бор магнитони	$\mu_B = \frac{eh}{2m_e}$	$9,27 \cdot 10^{-24} \text{ Ж Тл}^{-1}$	
Вакуумда ёргулук тезлигиги	c	$3 \cdot 10^8 \text{ м/с}^{-1}$	$3 \cdot 10^{10} \text{ см/с}^{-1}$
Вакуумнинг диэлектрик синг-дирүччилиги	ϵ_0	$8,85 \cdot 10^{-12} \Phi \text{ м}^{-1}$	
Вакуумнинг магнит сингдирүччилиги	μ_0	$1,26 \cdot 10^{-6} \text{ Ги м}^{-1}$	
1 эВ энергиясти фотон тулқын узунлигиги	λ_0	$1,24 \cdot 10^{-6} \text{ м}$	$1,24 \cdot 10^{-8} \text{ см}$
1 эВ энергия фотон такрорийлиги	v_0	$2,42 \cdot 10^{14} \text{ Гц}$	$2,42 \cdot 10^{14} \text{ Гц}$

Бу жадвалда келтирилган қийматлар вергулдан кейинги икки рақамгача аниқликда олинган.

АДАБИЁТЛАР

1. В. И. Фистуль, «Физика и химия твердого тела» (икки жилди), Москва «Металлургия» 1995 г.
2. Дж. Займан. Принципы теории твердого тела. Москва, «Мир», 1974 г.
3. Ч. Киттель. Введение в физику твердого тела. Москва, Физматгиз, 1993 г.
4. Б. Н. Бушманов, Ю. А. Хромов «Физика твердого тела», Москва, «Высшая школа», 1971 г.
5. Н. Ашкрофт, Н. Мермин, «Физика твердого тела», (икки жилди) Москва, «Мир», 1979 г.
6. Г. С. Жданов, А. Г. Хунлжуа. Лекции по физике твердого тела. Москва, МГУ, 1988 г.
7. С. Зайнабиддинов, Х. С. Далиев. Дефектообразование в кремнии. Тошкент, «Университет» 1993 й.
8. С. Зайнабиддинов, А. Тешабоев. Ярим ўтказгичлар физикаси. Тошкент, «Ўқитувчи», 1999 й.
9. Дж. Блейкмор. Физика твердого тела. Москва, «Мир», 1988
10. Задачи по физике твердого тела (Г. Дж. Голдсмид таҳрири остида). Москва, «Наука», 1976 г.
11. Ленч, Николайдес. Задачи по физической электронике.
12. Ф. Ф. Волкенштейн. Физико-химия поверхности полупроводников. Москва, «Наука», 1973 г.
13. А. И. Ансельм. Введение в теорию полупроводников. Москва, «Наука», 1978 г.
14. Ф. Зейтц. Физика металлов. Москва-Ленинград, ГИТТЛ, 1947 г.
15. Г. Фрелих. Теория диэлектриков. Москва, ИЛ, 1960 г.
16. Дж. Барфут. Введение в физику сегнетоэлектрических явлений. Москва, «Мир», 1970 г.
17. Я. С. Уманский, Ю. А. Сканов. Физика металлов. Москва, Атомиздат, 1978 г.
18. С. С. Горелик, М. Я. Дащевский. Материаловедение полупроводников и диэлектриков. Москва, «Металлургия», 1988 г.
19. И. С. Желудев. Физика кристаллических диэлектриков. Москва, «Наука», 1968 г.
20. С. В. Вонсовский. Современное учение о магнетизме. Москва, ГИТТЛ, 1953 г.
21. Г. Сликтер. Основы теории магнитного резонанса. М., «Мир», 1967 г.
22. Ю. И. Аксентьев ва бошқалар. Физика твердого тела (спецпрактикум). Из-во МГУ, 1982 г.

МУНДАРИЖА

Сүз боси 3

I БОБ. ҚАТТИҚ ЖИСМЛАРНИНГ ТУЗИЛИШИ ВА ТУРЛАРИ 5

1.1.	Кристалл қаттиқ жисмлар.....	6
1.2.	Кристалл панжараси.....	7
1.3.	Кристалларда симметрия.....	7
1.4.	Миллер индекслари.....	12
1.5.	Кристалл атомларининг ва молекулаларининг боғланиш турлари.....	14
1.6.	Кристалларни ўстириш.....	22
1.7.	Полиморфизм.....	23
1.8.	Кристалларда рентген нурлари дифракцияси.....	24
1.9.	Тескари панжара.....	26
1.10.	Бриллюэн зонаси.....	27

II БОБ. КРИСТАЛЛ ПАНЖАРАСИ ТЕБРАНИШЛАРИ 29

2.1.	Чизигий содда панжара атомлари тебранишлари.....	29
2.2.	Чизигий мураккаб панжарала тебранишлар ва тўлқинлар.....	33
2.3.	Уч улчовли мураккаб кристалл панжараси атомлари тебранишлари.....	38
2.4.	Изотроп континиум тақрибидаги кристалларда тебранишлар ва тўлқинлар.....	42
2.5.	Кристалл панжараси тебранишларининг квантланиши. Фоноилар.....	48
	Масалалар ва саволлар.....	51

III БОБ. ФИЗИК СТАТИСТИКА ҚОНУНЛАРИ 52

3.1.	Тасодифий катталикларнинг ўргача қийматлари.....	54
3.2.	Тақсимот функциялари мисоллари.....	56
3.3.	Бир неча тасодифий катталик учун тақсимот функцияси..	57
3.4.	Максвелл тақсимоти.....	58
3.5.	Классик статистик физиканинг асосий тасавурлари.....	62

3.6.	Гиббснинг каноник тақсимоти.....	64
3.7.	Гиббснинг катта каноник тақсимоти.....	69
3.8.	Квант статистика асослари.....	70
3.9.	Қора нурланиш.....	75
	Саволлар ва масалалар.....	77

IV БОБ. ҚАТТИҚ ЖИСМЛАРДА ИССИҚЛИК ХОДИСАЛАРИ

78

4.1.	Иссиқлик сифимининг классик назарияси.....	78
4.2.	Кристалл панжараси иссиқлик сифимининг квант назарияси.	81
4.3.	Кристалл қаттиқ жисмнинг панжаравий иссиқлик үтказувчанлиги.....	86
4.4.	Қаттиқ жисмларнинг иссиқликдан кенгайиши ва узайиши.....	89
	Саволлар ва масалалар.....	93

V БОБ. ИДЕАЛ КРИСТАЛЛДА ЭЛЕКТРОНЛАРНИНГ ЭНЕРГИЯЛАРИ СПЕКТРИ

94

5.1.	Кристалл учун Шредингер тенгламаси. Адиабатик тақриб.....	94
5.2.	Хартри-Фок усули. Бир электронли яқинлашиш.....	96
5.3.	Даврий электр майдонда ҳаракатланыётган электрон масаласи.....	99
5.4.	Кучсиз ва кучли боғланган электронлар тақриблари.....	101
5.5.	Крониг-Пенни модели.....	105
5.5.	Идеал кристаллда электронлар энергиялари спектри тұрысидаги умумий хуласалар.....	110
5.6.	Электронларнинг кристаллдаги эффектли массаси. Конвак. Электрон энергияси ва импульси.....	112
5.7.	Энергия зоналари. Металлар. Ярим үтказгичлар. Диэлектриклар.....	115
	Саволлар ва масалалар.....	120

VI БОБ. ҲАҚИҚИЙ КРИСТАЛЛ ҚАТТИҚ ЖИСМЛАРДАГИ НУҚСОНЛАР

121

6.1.	Кристаллдардаги нұқсонлар ҳақида умумий мұлоҳазалар.....	121
6.2.	Нүктавий нұқсонлар.....	124
6.3.	Қаттиқ жисмларда чизигий нұқсонлар.....	140
6.4.	Қаттиқ жисмларда ясси нұқсонлар.....	144
6.5.	Қаттиқ жисмларда ұажмий (макроскопик) нұқсонлар.....	146
6.6.	Нұқсонлар диффузияси.....	151
	Савол ва масалалар.....	156

VII БОБ. АМОРФ ҚАТТИҚ ЖИСМЛАР. СҮЮҚ КРИСТАЛЛАР

158

7.1	Аморф қаттиқ жисмлар	159
7.2.	Гидридалған аморф кремний. (α - Si : H)	161
7.3	Сүюқ кристаллар..... Саволлар.....	163 168

VIII БОБ. ҚАТТИҚ ЖИСМЛАР СИРТИДАГИ ХОДИСАЛАР

169

8.1	Умумий маңлумот.....	169
8.2	Сиртнинг туидиши. Энергетик ҳолатлар	170
8.3	Хұлланиш та ейилиб оқиши ҳодисалари.....	173
8.4	Электронлар эмиссияси ва сирттій ионлаш.....	174
8.5.	Қаттиқ жисмлар сиртгіде адсорбция ҳодисаси.....	176
8.6.	Сирттій диффузия	179
	Назорат учун саволлар.....	182
	Масалалар.....	182

IX БОБ. ҚАТТИҚ ЖИСМЛАР ДЕФОРМАЦИЯСИ

184

9.1	Бир үлчөвли деформация.....	185
9.2	Иккى үлчөвли деформация	185
9.3.	Уч үлчөвли деформация	188
9.4	Күчланиш тензори	189
9.5.	Деформация билан механик күчланиш орасидаги бөгләниш. Умумлаштыру Фук қонуны. Эластикалық модуллари.....	191
9.6.	Изотроп қаттиқ жисмнинг эластикалық модуллари	194
9.7.	Соғыл деформация ва уларда түрді эластикалық модуллари орасидаги бөгләниш	195
9.8.	Кичик деформациялар энергияси	199
9.9.	Тензозаршилик ҳодисаси	201
	Саволлар ва масалалар.....	202

X БОБ. МЕТАЛЛАР

203

10.1.	Металларнинг электр хоссалари	203
10.2.	Металларда иссиқшылк ҳодисалари	216
10.3.	Металларнинг зоналар нағариясы	226
10.4.	Металларда электрон өмиссиясы	228
10.5.	Фотоэмиссия (ташқы фотозеффект)	232
10.6.	Металларнинг магнит хоссалари	233
10.7.	Де Гааз – Ван Алфен эффекти	237

321

10.8. Электрон – парамагнит резонанс (ЭПР).....	238
10.9. Ядромагнит резонанс.....	239
10.10. Металларнинг электромагнит тұлқинлар билан үзаро таъсири.....	239
10.11. Циклотрон резонанс.....	240
10.12. Металларда плазма тебранишлари..... Саволлар ва масалалар.....	241 243

XI БОБ. ЯРИМ ҮТКАЗГИЧЛАР

244

11.1. Ярим үтказгичларнинг турлари.....	245
11.2. Ярим үтказгичларда хусусий үтказувчанлик ва зоналар тузилиши	246
11.3. Эффективли масса.....	249
11.4. Хусусий ярим үтказгичларда электронлар ва коваклар зичлиги	251
11.5. Заряд ташувчилар ҳаракатчанлиги	254
11.6. Ярим үтказгичда киришмайлар.....	255
11.7. Компенсиранган ярим үтказгичлар.....	258
11.8. Айниган ярим үтказгич.....	258
11.9. Айнимаган ярим үтказгич.....	259
11.10. Ярим үтказгичларнинг электр үтказувчанлиги	260
11.11. Ярим үтказгичларда циклотрон резонанс	262
11.12. Ярим үтказгичларда Холл ҳодисаси	264
11.13. Магнитик қаршилик ҳодисаси	265
11.14. Ярим үтказгичларда диффузион ток	265
11.15. Ярим үтказгичларнинг магнит хоссалари	266
11.16. Ярим үтказгичларда контакт ҳодисалар. Металл-ярим үтказгич контакти	268
Саволлар ва масалалар.....	274

XII БОБ. ДИЭЛЕКТРИКЛАР

276

12.1. Диэлектрикларга оид асосий түшүнчалар ва каттапицалар	277
12.2. Диэлектрикларда қутбланиш механизмлари	281
12.3. Пироэлектриклар	288
12.4. Пъезоэлектрик ҳодиса	289
12.5. Сегнотоэлектриклар	290
12.6. Сегнотоэлектрик доменлар ва антисегнотоэлектрик ҳодисалар	292
12.7. Диэлектрик іүқотишлар	293
12.8. Диэлектриклар тешисиши (бүзилиши). Масалалар	294 296

XIII БОБ. КЕРАМИК ҚАТТИҚ ЖИСМЛАР. КОМПОЗИТЛАР

13.1.	Керамик материаллар ҳақида умумий маълумот.....	297
13.2.	Қурилмалар ва асбобларда құлланиладиган керамика.....	298
13.3.	Радиоактив материаллар ва чиқындилаңарни сақтайтын контейнерлар учун керамика.....	301
13.4.	Керамик ферритлар.....	301
13.5.	Сегнетоэлектрик ва пироэлектрик керамик материаллар.....	302
13.6.	Үта үтказувчан керамика..... Саволлар.....	304 309

XIV БОБ. ҚАТТИҚ ЖИСМЛАРДА ҲАЖМИЙ ҰЗГАРИШЛАР

Аллотропик аврилишлар.....	310
Мартенсит аврилишлар.....	311
Үта түйинган эритманинг парчаланиши.....	313
Қаттиқ жисмларда температурага бояғып бүлмаган фаза зияй аврилишлар.....	315
Саволлар ва масалалар.....	317
Баъзи физик катталиклар.....	317
Алабиётлар.....	318

10.
10.
10
10
10

АЛИШЕР ТЕШАБОЕВ,
СИРОЖИДДИЙ ЗАЙНОБИДДИНОВИЧ ЗАЙНОБИДДИНОВ,
ШУКРУЛЛО АБДУЛФАЙЗОВИЧ ЭРМАТОВ

ҚАТТИҚ ЖИСМ ФИЗИКАСИ

Тошкент — «Молия» нашриёти — 2001

Мұхтарріп

Техник мұхтарріп

Компьютердә сағиғаловчы

Рассом

Ш. Миркомилов

А. Майдинов

Ф. Корахонова

М. Одилов

Теришігі берилди 02.04.2001 й. Босишигі рухсат этилди 10.08.2001 й.
Бичими 60x84 1/16. «TimesUZ» қарфіла терилиб, оффсет усулида
босилди. Босма табоги 20.3. Нашриёт ҳисоб табоги 19.3. Адади 2000.
Буюртма №233. Баҳсси шартнома асосида

«Молия» нашриёти. 700000. Тошкент. Якуб Колас күчаси, 16-үй
Шартнома №10-01.

Андоқты нұсқа Ўзбекистон Республикасы Банк-молия
академиясыннан «Молия» нашриётида тайёрланды.

«ДИТАФ» босмахонасіла чоп этилди. Тошкент ш. Олмазор күч. 171 үй

